

**MINISTERUL EDUCATIEI SI INVATAMINTULUI
INSTITUTUL POLITEHNIC " TRAIAN VUIA " TIMISOARA
FACULTATEA DE CONSTRUCTII**

ING. DAN DUBINA

**CONTRIBUTII LA PERFECTIUNAREA METODELOR DE CALCUL ALE
CONSTRUCTIILOR METALICE HIDROTEHNICE, STAVILE**

TEZA

**PENTRU OBTINEREA TITLULUI STIINTIFIC DE
" DOCTOR INGINER "**

**BIBLIOTECA CENTRALĂ
UNIVERSITATEA "POLITEHNICA"
TIMIȘOARA**

CONDUCATOR STIINTIFIC :

ACAD. DAN MATRESCU

- 1986 -

517.402
359 E

INTRODUCERE.....	7
CAP.1. METODE MODERNE DE CALCUL UTILIZATE ÎN PROIECTAREA STAVILELOR METALICE.....	11
1.1. Generalități.....	11
1.2. Tipuri de structuri utilizate în construcția stavelilor metalice.....	11
1.3. Ecuațiile diferențiale ale coriajelor stavelilor metalice.....	11
1.4. Analiza metodelor de calcul utilizate în proiectarea stavelilor metalice.....	12
1.4.1. Clasificarea metodelor de calcul.....	12
1.4.2. Analiza critică a metodelor de calcul.....	13
1.4.3. Exemple numerice.....	15
1.4.3.1. Stăvilă plană cu secțiune închisă.....	15
1.4.3.2. Stăvilă segment cu secțiune închisă.....	15
1.4.3.3. Stăvilă clapetă "burtă de pește".....	15
1.5. Concluzii.....	15
CAP.2. TEORIA MATEMATICĂ A STRUCTURILOR.....	17
2.1. Generalități.....	17
2.2. Clasificarea problemelor sistemelor fizice.....	17
2.3. Modelul matematic în mecanica structurilor.....	18
2.3.1. Ecuațiile de echilibru.....	19
2.3.2. Ecuațiile constitutive.....	19
2.3.3. Relațiile de legătură între deformațiile specifice și deplasări.....	20
2.3.4. Ecuațiile de compatibilitate.....	20
2.3.5. Condițiile de limită în tensiuni și deplasări.....	20
2.4. Definierea câmpului structural.....	21
2.5. Regile de generare a modelelor aproximative de calcul numeric.....	23
2.6. Criterii de convergență și unicitate a soluțiilor aproximative.....	25
2.7. Clasificarea metodelor de calcul.....	28
2.8. Concluzii.....	28
CAP.3. UTILIZAREA TEORIEI REZIDUURILOR PONDERATE ÎN MECANICA STRUCTURILOR.....	30
3.1. Generalități.....	30
3.2. Metoda reziduurilor ponderate.....	30
3.2.1. Reziduuri și forme integrale.....	30
3.2.2. Transformări integrale.....	31
3.2.2.1. Integrarea prin părți.....	31
3.2.2.2. Construirea formelor integrale adiționale.....	34
3.2.3. Funcționale.....	34
3.2.4. Discretizarea formelor integrale.....	36
3.2.4.1. Soluții aproximative.....	36
3.2.4.2. Discretizarea formei integrale.....	38
3.2.5. Stabilirea funcțiilor de pondere.....	38
3.2.6. Discretizarea funcționalei.....	38
3.2.7. Proprietățile sistemelor de ecuații.....	39
3.3. Clasificarea metodelor de calcul bazate pe teoria reziduurilor ponderate.....	41

3.4.	Aplicarea formulării reziduale în mecanica structurilor..	42
3.5.	Concluzii.....	43
CAP.4.	FORMULAREA GENERALIZATA A METODEI ELEMENTELOR FINITE.....	44
4.1.	Generalități.....	44
4.2.	Metoda elementelor finite.....	45
4.2.1.	Ecuatia fundamentală.....	45
4.2.2.	Condiții de convergență.....	47
4.3.	Discretizarea formelor integrale.....	49
4.3.1.	Expresia matricială a formelor integrale elementare.....	49
4.3.2.	Operatori diferențiali neliniari.....	50
4.3.3.	Exprimarea formelor integrale în sistemul de axe local.....	52
4.3.4.	Exemple de forme integrale și matrici elementare.....	53
4.3.5.	Determinarea vectorilor și matricilor elementare.....	54
4.3.5.1.	Matricea de rigiditate elementară.....	54
4.3.5.2.	Matricea masei elementare.....	54
4.3.5.3.	Vectorul încălzirilor.....	54
4.3.5.4.	Vectorul reziduurilor elementare.....	55
4.3.5.5.	Gradientul deplasărilor.....	55
4.3.5.6.	Exemple: determinarea matricilor elementare pentru un element finit izoparametric cu 8 noduri și pentru elementul finit de bară încovoiată.....	56
4.3.6.	Asamblarea formelor integrale elementare.....	58
4.3.7.	Generarea sistemului de ecuații.....	62
4.3.7.1.	Formularea sistemului de ecuații.....	62
4.3.7.2.	Introducerea condițiilor de margine.....	62
4.3.7.3.	Transformarea variabilelor.....	62
4.4.	Proceduri numerice.....	63
4.4.1.	Rezolvarea sistemelor de ecuații neliniare.....	63
4.4.2.	Rezolvarea problemelor neliniare.....	64
4.4.2.1.	Neliniaritate fizică și neliniaritate geometrică.....	64
4.4.2.2.	Algoritmul metodei substituției.....	65
4.4.2.3.	Algoritmul metodei Newton-Raphson modificate.....	67
4.4.2.4.	Algoritmul metodei Newton-Raphson.....	68
4.4.2.5.	Algoritmul metodei incrementale (pas cu pas).....	69
4.4.2.6.	Algoritm pentru schimbarea variabilelor independente.....	70
4.4.2.7.	Alegerea metodei de rezolvare.....	71
4.4.3.	Rezolvarea problemelor staționare.....	73
4.4.3.1.	Probleme nestaționare (de propagare sau dependente de timp).....	73
4.4.3.2.	Metoda integrării directe.....	74
4.4.3.2.1.	Metoda diferențelor finite.....	74
4.4.3.2.2.	Metoda lui Rôlândt.....	74
4.4.3.2.3.	Metoda lui Newmark-β.....	75
4.4.3.3.	Metoda supraaproximării nodurilor elementare.....	75
4.4.4.	Rezolvarea problemelor de valori proprii.....	77
4.4.4.1.	Probleme de valori proprii.....	77

4.4.4.1.	Caracteristici fundamentale ale problemelor de valori proprii.....	78
4.4.4.2.1.	Formularea simplificată a problemelor de valori proprii.....	78
4.4.4.2.2.	Valori proprii.....	79
4.4.4.2.3.	Vectori proprii.....	79
4.4.4.2.4.	Descompunerea spectrală.....	80
4.4.4.2.5.	Transformarea matricilor $[K]$ și $[M]$	81
4.4.4.2.6.	Securarea și schimbarea valorilor proprii.....	81
4.4.4.3.	Metode de calcul al valorilor proprii.....	82
4.4.4.3.1.	Metoda iterării inverse.....	82
4.4.4.3.2.	Notafia Jacobi.....	83
4.4.4.3.3.	Metoda Ritz.....	84
4.4.4.3.4.	Metoda iterării pe subspații.....	84
4.5.	Concluzii.....	85
CAP.5.	METODA ELEMENTELOR DE CONTUR. O PREZENTARE COMPARATA CU METODA ELEMENTELOR FINITE.....	86
5.1.	Generalități.....	86
5.2.	Aplicarea metodei elementelor de contur la rezolvarea problemelor plane din teoria elasticității.....	86
5.2.1.	Formulara ecuațiilor integrale.....	86
5.2.2.	Discretizarea integralilor.....	88
5.2.3.	Formulara matricială a ecuațiilor metodei.....	90
5.3.	Formulara generalizată a metodei elementelor de contur.....	91
5.3.1.	Ecuația fundamentală.....	91
5.3.2.	Cuplarea metodei elementelor de contur cu metoda elementelor finite.....	93
5.4.	Comparație cu metoda elementelor finite.....	95
5.5.	Concluzii.....	97
CAP.6.	METODA NUMERICA PENTRU CALCULUL STAVILELOR METALICE CU SECȚIUNE CHESONATA.....	98
6.1.	Generalități.....	98
6.2.	Calculul structurilor prismatice cu pereți subțiri cu secțiune cheșonată.....	98
6.2.1.	Definirea componentelor cîmpului de deplasări.....	98
6.2.2.	Condițiile de echilibru.....	100
6.2.3.	Efectul temperaturii.....	101
6.2.4.	Aplicarea metodei elementelor finite.....	101
6.3.	Aplicarea simplificată a metodei la calculul stavelor clasice cu secțiune dublu cheșonată.....	102
6.3.1.	Ipoteze simplificatoare.....	102
6.3.2.	Condițiile de echilibru simplificate.....	102
6.3.3.	Rezolvarea sistemului de ecuații.....	104
6.3.4.	Condiții de margine.....	104
6.3.5.	Exemple numerice.....	105
6.3.5.1.	Stavilă clasică cu secțiune prismatică.....	106
6.3.5.2.	Stavilă clasică "burtă" de păste.....	106
6.4.	Concluzii.....	107
CAP.7.	FORMULE DE CALCUL AL NELINIARității STAVILOR CU PERETE	

7.1.	Generalități.....	108
7.2.	Formularizarea generalizată a teoriei liniare a barelor cu pereți subțiri.....	110
7.2.1.	Reflecția în normele de calcul a problemei.....	110
7.2.2.	Ecuatiile diferențiale de instabilitate ale barelor cu pereți subțiri.....	111
7.2.3.	Ecuatiile generalizate ale barelor cu pereți subțiri solicitate la încovoiere cu torsiune.....	112
7.2.4.	Forme de instabilitate și soluții particulare în analiza de stabilitate a barelor cu pereți subțiri solicitate la încovoiere cu torsiune.....	114
7.3.	Teoria neliniară a barelor cu pereți subțiri.....	115
7.3.1.	Ipoteze fundamentale.....	115
7.3.2.	Determinarea cîmpului de deplasări.....	115
7.3.3.	Energia potențială de deformare a barelor cu pereți subțiri.....	118
7.3.4.	Stabilirea funcționalei energetice.....	119
7.3.5.	Cîmpul deplasărilor generalizate.....	122
7.3.6.	Aplicarea criteriului variațional.....	122
7.3.7.	Discretizarea funcționalei în elemente finite.....	123
7.3.8.	Ecuatiile de echilibru liniarizate.....	125
7.3.9.	Influența imperfecțiunilor.....	126
7.3.10.	Forma generală a matricii de rigiditate incrementale.....	128
7.4.	Forme de echilibru și soluții particulare în analiza neliniară a barelor cu pereți subțiri.....	129
7.5.	Concluzii.....	130
CAP. 8.	COMPORTAREA CRITICĂ ȘI POSTCRITICĂ A STRUCTURILOR CU PEREȚI SUBȚIRI ALE STĂVILELOR METALICE.....	132
8.1.	Generalități.....	132
8.2.	Conceptul de comportare postcritică.....	132
8.3.	Aspecte privind comportarea critică și postcritică a bordajelor stăvililor metalice. Relații pentru calculul practic la stabilitate.....	133
8.3.1.	Criterii simplificate pentru verificarea platelajelor.....	133
8.3.2.	Verificarea la stabilitate a platelajelor compozite.....	134
8.3.2.1.	Placa dreptunghiulară plană.....	134
8.3.2.2.	Placa dreptunghiulară cilindrică.....	136
8.3.3.	Verificarea la stabilitate a platelajelor compozite și încovoiate.....	136
8.3.3.1.	Placa dreptunghiulară plană.....	136
8.3.3.2.	Placa dreptunghiulară cilindrică.....	137
8.3.4.	Conceptul de lățime echivalentă în analiza postcritică a stăvililor metalice.....	137
8.4.	Forme de instabilitate ale barelor cu pereți subțiri.....	137
8.5.	Caracteristici geometrice echivalente în analiza postcritică a barelor cu pereți subțiri.....	138
8.5.1.	Rezonanța voalării.....	139
8.5.2.	Determinarea caracteristicilor geometrice echivalente.....	141
8.5.2.1.	Reflecția problemei în literatura tehnică.....	141

8.5.2.2.	Reflectarea în normele de calcul a conceptului de "lățime echivalentă".....	142
8.5.2.3.	Analiza și sinteza relațiilor de calcul pentru determinarea lățimii echivalente.....	143
8.5.2.4.	Formulă pentru determinarea caracteristicilor geometrice ale barelor cu pereți subțiri forțate la rece.....	144
8.5.3.	Determinarea curbelor de voalare.....	148
8.6.	Tensiuni și forțe critice pentru calculul barelor cu pereți subțiri în domeniul postcritic. Interacțiunea flambajului general cu voalarea.....	148
8.7.	Metodă și algoritm pentru analiza instabilității barelor cu pereți subțiri solicitați la compresiune centrică și excentrică.....	150
8.7.1.	Prezentarea generală a metodei.....	150
8.7.2.	Algoritmul de calcul.....	151
8.8.	Concluzii.....	153
CAP.9.	CERCETARI EXPERIMENTALE ASUPRA COMPORTĂRII POSTCRITICE A BARELOR CU PEREȚI SUBȚIRI FORȚATE LA RECE SOLICITATE LA COM- PRESIUNE CENTRICĂ ȘI EXCENTRICĂ.....	155
9.1.	Obiectul cercetărilor.....	155
9.2.	Stabilirea parametrilor programului experimental.....	155
9.3.	Efectuarea încercărilor.....	157
9.4.	Analiza rezultatelor experimentale.....	158
9.5.	Concluzii.....	162
CAP.10.	PROGRAME DE CALCUL AUTOLAT.....	163
10.1.	Generalități.....	163
10.2.	Programul multifuncțional cu structură modulară MOEF pentru Analiza Structurilor cu Elemente Finite.....	163
10.2.1.	Domeniul de aplicabilitate.....	163
10.2.2.	Structura programului.....	164
10.2.2.1.	Modularizarea programelor de calcul.....	164
10.2.2.2.	Scheme logice funcționale și structuri de segmentare.....	164
10.2.3.	Performanțe și rezultate oferite de program.....	164
10.2.4.	Exemple de control.....	165
10.3.	Programul PLM pentru rezolvarea problemelor plane de elasticitate cu metoda elementelor de contur.....	167
10.3.1.	Domeniul de aplicabilitate.....	167
10.3.2.	Structura programului.....	167
10.3.3.	Performanțe și rezultate oferite de program.....	167
10.3.4.	Exemple de control.....	167
10.4.	Programul SINSAS pentru analiza instabilității barelor cu pereți subțiri solicitați la compresiune centrică și la compresiune cu încovășire.....	167
10.4.1.	Domeniul de aplicabilitate.....	167
10.4.2.	Structura programului.....	168
10.4.3.	Performanțe și rezultate oferite de program.....	168
10.4.4.	Exempla de control, comparație cu rezultatele experimentale.....	168
10.5.	Concluzii.....	170
CAP.11.	CONCLUZII GENERALE, CONTRIBUȚII.....	173
BIBLIOGRAFIE	177

I N T R O D U C E R E

" Programul național de perspectivă, pentru amenajarea bazinelor hidrografice din Republica Socialistă România, care fixează liniile directoare ale dezvoltării amenajării bazinelor hidrografice pe o perioadă de 30 de ani, adoptat de Marea Adunare Națională prin Legea nr.1. din 15 aprilie 1976 prevede realizarea unui număr însemnat de lacuri de acumulare, galerii și canale de aducțiune pentru deservirea obiectivelor hidroenergetice, în cadrul Programului de realizare a independenței energetice a țării, pentru lucrările de alimentare cu apă a localităților și a obiectivelor industriale și pentru realizarea lucrărilor de hidroameliorații ; la acestea se adaugă lucrările de regularizare și amenajare a căilor de navigație pe râurile interioare.

Astfel, pînă la sfîrșitul cincinalului 1986-1990 numărul lacurilor de acumulare în țara noastră se va ridica la 450, cu un volum de cca $18,3 \cdot 10^9$ m.c., iar canalele și galeriile de aducțiune vor însuma 1430 km, scopul acestor lucrări fiind de a asigura instalarea unei puteri de 7400 MW în centrale hidroelectrice, realizarea unor debite de $100 \text{ m}^3/\text{s}$ pentru consumul populației și de $400 \text{ m}^3/\text{s}$ pentru industrie și complexe agrozootehnice, irigarea unei suprafețe $5,5 \cdot 10^6$ ha. În cincinalul următor se va da în folosință Canalul Poarta Albă-Midia-Năvodari și se va realiza în cea mai mare parte Canalul București-Dunăre.

În cadrul acestor lucrări vor fi necesare un număr însemnat de echipamente hidromecanice, stavile, vane de adîncime și de suprafață, porți de ecluze însumînd consumuri de zeci de mii de tone de oțel.

Din acest punct de vedere, elaborarea unor metodologii de calcul pentru proiectarea rațională, sigură și economică a acestor echipamente este oportună și justificată.

Stavilele metalice sînt structuri complexe similare ca alcătuire cu structurile tablurilor podurilor metalice și cu structurile utilizate în construcțiile navale și aeronautice. Față de acest nivel de complexitate, dezvoltarea metodelor de calcul și analiză a stării de tensiuni și deformații a stavilelor metalice se înscrie în efortul general depus de cercetători și proiectanți în vederea elaborării unor metode de calcul care să asigure proiectarea sigură și economică a construcțiilor.

În acest context, lucrarea de față are ca obiect ca, plecînd de la analiza critică a metodelor de calcul utilizate în prezent în proiectarea stavilelor metalice, să contribuie la formularea, dezvoltarea și elaborarea unor modele matematice și metode de calcul cu aplicabilitate generală, concomitent cu elaborarea unor metodologii specifice pentru analiza structurilor sau a elementelor structurale ale stavilelor metalice.

Proiectarea unei structuri de construcții trebuie să asigure respectarea a trei criterii fundamentale : de rezistență, de rigiditate și de stabilitate. În acest scop proiectantul trebuie să dispună de modele și metode de calcul care să-i permită, pe de o parte, să determine starea de tensiuni și deformații în structură, iar pe de altă parte, să studieze comportarea critică și postcritică a acesteia sub diferite încărcări. Elaborarea unor metode de calcul practice, u-

tilizabile în proiectare, analitice sau numerice, nu se poate realiza, fără precizarea unui cadru matematic riguros pentru modelarea fenomenului fizic, prin formularea teoremelor și ipotezelor în baza cărora pot fi elaborate aceste metode de calcul, care trebuie să fie justificate prin analiza convergenței soluțiilor aproximate către soluția exactă și, care, trebuie să aibă limitele de aplicabilitate bine definite.

Aceasta este concepția principială care stă la baza acestei lucrări, a cărei structură respectă dezideratele generale expuse mai sus. Lucrarea este structurată în 11 capitole grupate în trei părți: Partea I, care se referă la calculul de rezistență în domeniul liniar elastic; Partea II-a care se referă la calculul neliniar și la analiza instabilității structurilor cu pereți subțiri; Partea III-a, care cuprinde, în principal, programele de calcul automat elaborate pe baza metodelor de calcul elaborate sau dezvoltate în primele două.

Principalele contribuții ale autorului sînt concentrate în capitolele 2,4,6,7,8,9 și 10.

Capitolul 1 prezintă analitic și sintetic stadiul actual al dezvoltării metodelor de calcul utilizate în proiectarea stăvililor metalice. Pe baza unor exemple de stavile analizate comparativ cu diferite metode de calcul se stabilesc limitele de aplicabilitate, performanțele și deficiențele acestora.

Capitolul 2 se ocupă cu formularea unei teorii matematice generale a structurilor. Se definește modelul matematic exact și se stabilesc legile de generare ale modelelor aproximative pentru calculul structurilor din acesta. Se stabilesc condițiile de unicitate și convergență a soluțiilor și propune un criteriu de analiză în acest sens.

Capitolul 3 prezintă teoria reziduurilor ponderate și aplicarea acesteia la problemele din mecanica structurilor, realizîndu-se o clasificare a principalelor metode de calcul numeric formulate în cadrul acestei teorii.

Capitolul 4 prezintă formularea generalizată a metodei elementelor finite, pe baza teoriei reziduurilor ponderate. Se deduce ecuația fundamentală a metodei și se dezvoltă procedurile numerice pentru rezolvarea problemelor statice și dinamice, liniare și neliniare din mecanica structurilor și pentru problemele nestaționare din teoria cîmpurilor.

Capitolul 5 tratează rezolvarea problemelor plane din mecanica structurilor cu metoda elementelor de contur. Se determină ecuația fundamentală a metodei în formulare directă și se arată posibilitățile de cuplare cu metoda elementelor finite, procedîndu-se totodată și la analiza critică comparativă a celor două metode.

Capitolul 6 prezintă o metodă numerică pentru calculul stăvililor cu structură chesonată. Metoda are la bază teoria suprafețelor prismatice lungi și poate fi rezolvată, în formularea generală, pe baza unei discretizări cu elemente finite, sau, în varianta simplificată, cu procedeele obișnuite ale algebrei matriciale.

Capitolul 7 se referă la formularea unei teorii liniare generalizate și a teoriei neliniare a barelor cu pereți subțiri, avînd ca punct de pornire ipotezele generale ale teoriei lui Vlasov.

Capitolul 8 se ocupă cu analiza critică și postorică a structurilor cu pereți subțiri ale stăvililor metalice. Se prezintă

relații practice pentru calculul de stabilitate a bordajelor plane și cilindrice ale stăvililor metalice și se face o analiză a relațiilor de calcul a caracteristicilor geometrice echivalente utilizate în literatură și în diferite norme de calcul la analiza postcritică a barelor cu pereți subțiri. Se propune o formulă de calcul în acest sens și trasează curbele de voalare. Se prezintă un algoritm pentru analiza instabilității barelor cu pereți subțiri comprimate și încovoiate.

Capitolul 9 prezintă programul experimental realizat pentru verificarea metodologiilor și relațiilor de calcul propuse în capitolul 8 și pentru studiul fenomenologic al comportării barelor cu pereți subțiri în domeniul postcritic.

Capitolul 10 descrie programele de calcul elaborate pe baza algoritmilor dezvoltati în capitolele 4,5 și 8. Se arată domeniile de aplicabilitate și performanțele acestor programe prezentându-se exemple de control cu rezultate comparate cu cele obținute cu alte metode și programe de calcul sau cu rezultatele experimentale obținute în cadrul cercetărilor descrise în capitolul 9.

Capitolul 11 conține concluziile finale, principalele contribuții ale autorului și referiri la modalitățile de valorificare a rezultatelor.

Rezultatele parțiale ale cercetărilor întreprinse de autor pe parcursul elaborării lucrării au fost valorificate prin publicarea a peste 40 de articole și studii științifice, cu conținutul unor capitole sau subcapitole din teză, în reviste de specialitate și în publicațiile unor manifestări științifice din țară și străinătate. În mod direct sau indirect aceste rezultate s-au aplicat la rezolvarea unui număr de 7 contracte de cercetare și colaborare cu producția.

C A P I T O L U L I

METODE DE CALCUL UTILIZATE IN PROIECTAREA MODERNA

A STAVILELOR METALICE /52/, /54/, /57/.

1.1. GENERALITATI

Stavilele metalice sînt echipamente hidromecanice care intră în alcătuirea amenajărilor hidrotehnice fiind destinate să asigure retenția și/sau reglarea nivelului de retenție al apei din bieful amonte. Stavilele sînt construcții metalice care pot ajunge la dimensiuni importante - deschideri $L = 25-35$ m și înălțimi $H = 10-17$ m - avînd o structură de rezistență complexă compusă din platelaj, lonjeroani, antretoaze și grinzi longitudinale care conlucrează spațial.

Stavilele se clasifică după mai multe criterii (fig.1.1). Dintre acestea se menționează următoarele clasificări /170/, /172/.

(a) După formă :

1. Stavile plane ;
2. stavile segment ;
3. stavile cilindrice ;
4. stavile sector ;
5. stavile clapetă ;
6. stavile ferme hidraulice ;
7. alte tipuri mai puțin uzuale.

(b) După modul de transmitere a presiunii apei :

1. stavile care transmit presiunea apei pilelor și culeelor (plane, segment, cilindrice, batardouri) ;
2. stavile care transmit presiunea apei radierului (sector, clapete, ferme hidraulice) ;
3. stavile care transmit presiunea apei pilelor și radierului (plane, clapete rotative).

(c) După sensul mișcării :

1. stavile ridicătoare (plane, segment, cilindrice) ;
2. stavile coborîtoare (sector, clapete, ferme hidraulice) ;
3. stavile mixte, alcătuite din două elemente mobile (stavile plane duble, stavile cu clapete) .

(d) După modul de acționare :

1. Cu acționare mecanică (toate tipurile de stavile) ; cu acționare hidraulică (sector, clapete, ferme hidraulice).

Stabilirea soluției constructive și a elementelor structurale ale stavilei depinde de încadrarea în aceste criterii.

1.2. TIPURI DE STRUCTURI UTILIZATE IN CONSTRUCTIA STAVILELOR METALICE

Din punct de vedere al alcătuirii constructive stavilele se pot realiza cu secțiune deschisă, cu secțiune semi-închisă și cu secțiune chesonată (fig.1.2). În principiu, toate tipurile de stavile se pot realiza constructiv în oricare din cele trei variante, elementele structurale principale ale structurii de rezistență fiind puse în evidență în figura 1.3, pe exemplul unei stavile plane.

1.3. ECUAȚIILE DIFERENTIALE ALE BORDAJELOR STAVILELOR METALICE

Bordajul stavilelor metalice este alcătuit din platelaj și ele-

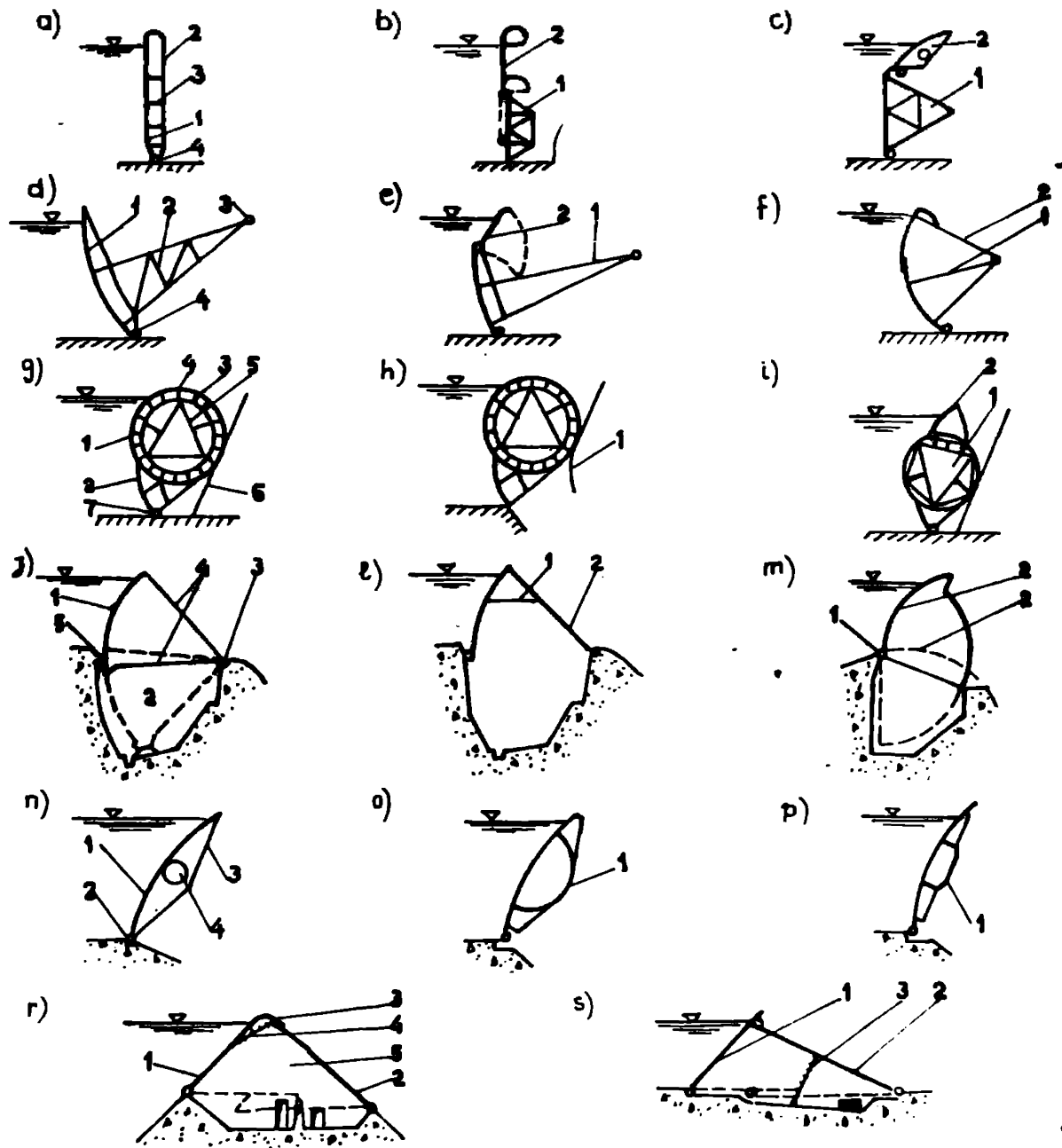


fig. 1.1 TIPURI DE STAVILE

a) stavilă metalică, 1-tolă (manta), 2-antretoaze, 3-grinzi de rezistență, 4-grindă de etansare; b) stavilă plană dublă (tip cirtig), 1- stavilă principală, 2- stavilă secundară (cirtig); c) stavilă plană cu clapetă, 1- stavilă plană, 2- stavilă clapetă; d) stavilă segment, 1- pahou alcătuit din manta, antretoaze, longjeroane, grinzi de rezistență, 2-brate laterale, 3-articulație, 4-etansare de fund; e) stavilă segment cu clapetă, 1- stavilă segment, 2- stavilă clapetă; f) stavilă segment dublă, 1- stavilă principală, 2- stavilă secundară; g) stavilă cilindrică, 1- cilindru metalic, 2- cioc inferior, 3-longjeroane, 4-antretoaze, 5-cadre de rigidizare, 6-cremalieră; h) stavilă cilindrică mixtă (ridicătoare și coborâtoare), 1- cremalieră curbă; i) stavilă cilindrică cu clapetă, 1- stavilă principală cilindrică, 2- stavilă secundară-clapetă; j) stavilă sector-plufoasă, 1- manta, 2- cameră de presiune, 3-articulație, 4-căptuseală etanșă, 5-opritor; k) stavilă sector înecată, 1-grindă de rigidizare, 2-căptuseală etanșă; l) stavilă tambur, 1-articulație, 2-manta cu profil de versant; m) stavilă clapetă, 1-manta, 2-articulație, 3-diafragma de rigidizare, 4-tub de rigidizare; n) stavilă clapetă - burta de peste, 1-burta de peste rigidă; o) stavilă clapetă casetată, 1-casetă de rigidizare; p) stavilă acoperis, 1-clapeta amonte, 2-clapeta aval, 3-raia, 4-lant de limitare a cursei, 5-cameră de presiune; q) stavilă capcană de urs, 1, 2 clapete, 3-lant de limitare a cursei.

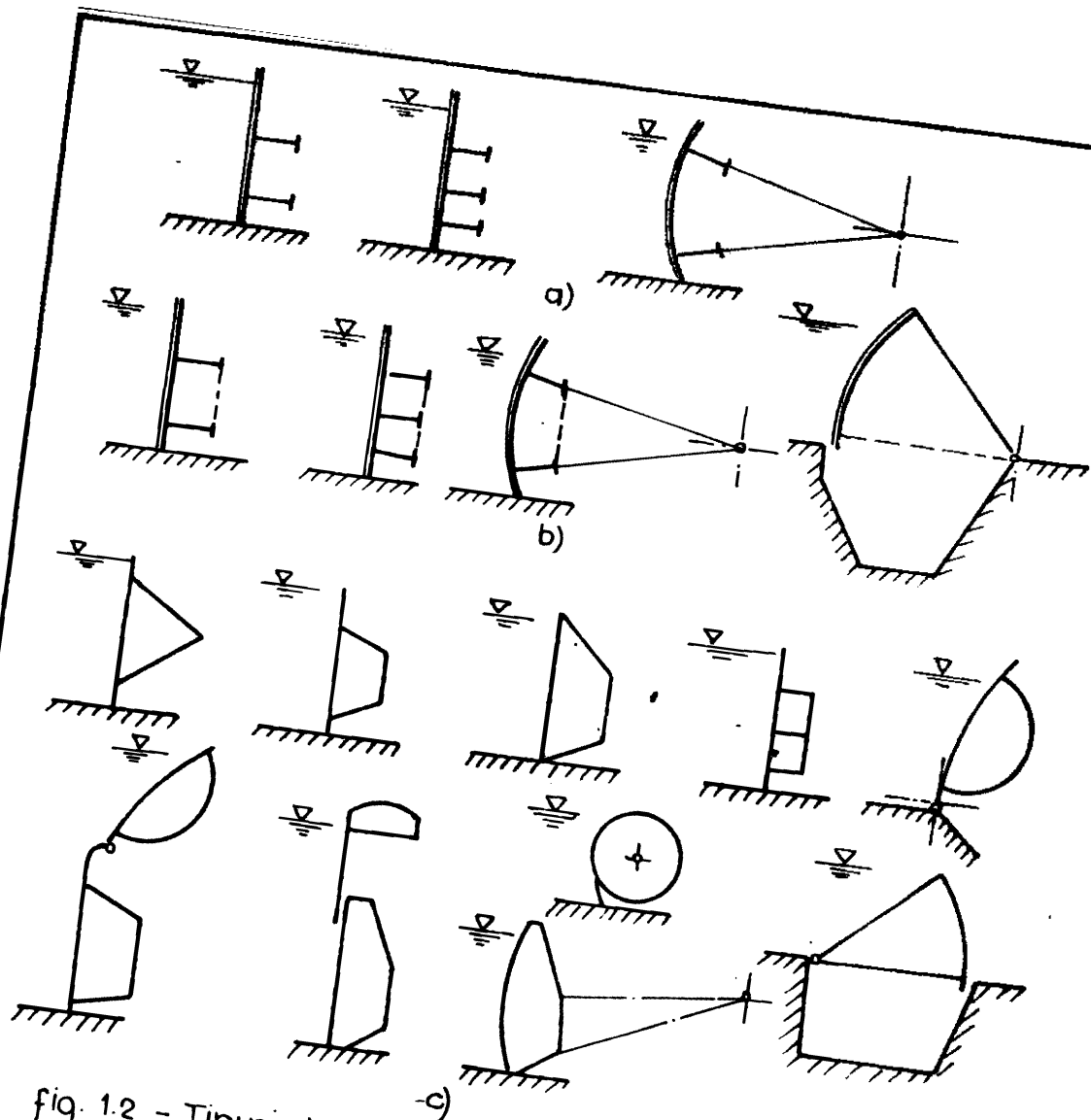
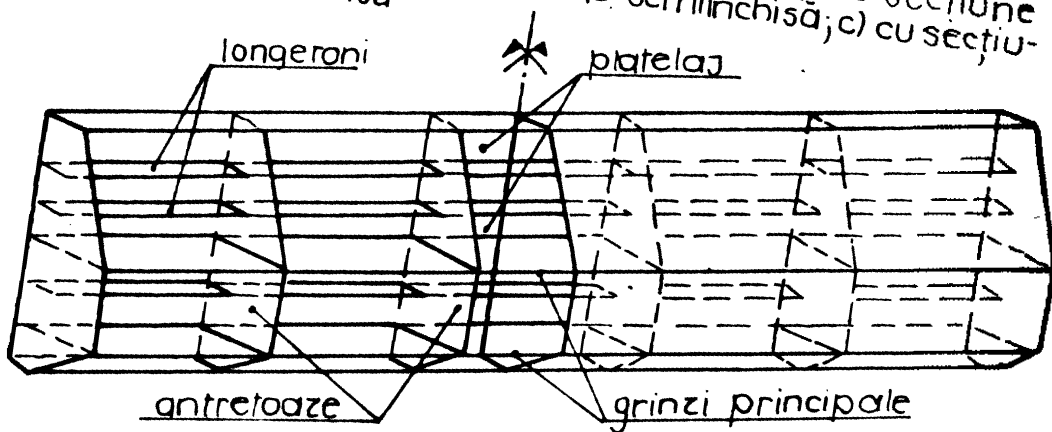


fig. 1.2 - Tipuri de structuri de stăvile : a) cu secțiune deschisă; b) cu secțiune semiînchisă; c) cu secțiune închisă.



1.3 Elemente structurale la o stăvilă

tabelul 1.1. ECUAȚIILE DIFERENȚIALE ALE BORDAJELOR.

	ordin	domeniu	material izotrop	material ortotrop
plăci plane	I	linear	$K \Delta \Delta w = p$	$\Delta \Delta_K w = p$
	II	nelinear	$K \Delta \Delta w = p + t(F \ddot{w}'' - 2F' w'' + F'' w'' + F'' w'');$ $\Delta \Delta F = E[(w'')^2 - w'' w''];$	$\Delta \Delta_K w = p + t(F \ddot{w}'' - 2F' w'' + F'' w'' + F'' w'');$ $\Delta \Delta_D w = \frac{1}{t} [D_x D_y - \mu^2 D^2] [(w'')^2 - w'' w''];$
		linearizat	$K \Delta \Delta w = p + t(F \ddot{w}'' - 2F' w'' + F'' w'' + F'' w'');$ $\Delta \Delta F = 0$	$\Delta \Delta_K w = p + t(F \ddot{w}'' - 2F' w'' + F'' w'' + F'' w'');$ $\Delta \Delta_D w = 0$
	plăci circulare	I	linear	$K \Delta \Delta w = p + \frac{t}{r} F''$ $\Delta \Delta F = -\frac{E}{r} w''$
II		nelinear	$K \Delta \Delta w = p + t [F \ddot{w}'' - 2F' w'' + F'' (\frac{1}{r} + w'')];$ $\Delta \Delta F = E [(w'')^2 - w'' (\frac{1}{r} + w'')];$	$\Delta \Delta_K w = p + t [F \ddot{w}'' - 2F' w'' + F'' (\frac{1}{r} + w'')];$ $\Delta \Delta_D F = \frac{1}{t} [D_x D_y - \mu^2 D^2] [(w'')^2 - w'' (\frac{1}{r} + w'')];$

NOTAȚII:

$w(x, y)$: săgeata; r = raza cilind;

$p(x, y)$: forța normală distribuită pe placă;

$F(x, y)$: funcția de tensiuni;

$(\cdot)' = \frac{\partial}{\partial x}; (\cdot)'' = \frac{\partial}{\partial y};$

$\sigma_{yy} = \frac{\eta_y}{t} \cdot F''; \sigma_{xx} = \frac{\eta_x}{t} \cdot F'';$

$\sigma_{xy} = \sigma_{yx} = -\frac{\eta_{xy}}{t} = -\frac{\eta_{yx}}{t} = F'';$

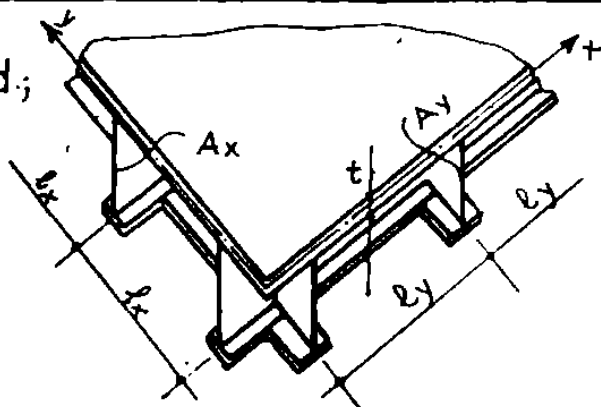
$K = \frac{Et^3}{12(1-\mu^2)}; K_x = \frac{EI_x}{l_x}; K_y = \frac{EI_y}{l_y};$

$K_{xy} = \frac{1}{2}(1-\mu)K; K_1 = \mu K;$

$D = \frac{Et}{1-\mu^2}; D_x = D + \frac{EA_x}{l_x}; D_y = D + \frac{EA_y}{l_y};$

$T = \frac{1-\mu}{Et} (D_x D_y - \mu D^2); I_{ti} = \frac{1}{3} \sum t_i^3 l_i;$

$H = K + \frac{G}{2} (\frac{I_{tx}}{l_x} + \frac{I_{ty}}{l_y});$



$\Delta \Delta = \frac{\partial^4}{\partial x^4} + 2 \frac{\partial^4}{\partial x^2 \partial y^2} + \frac{\partial^4}{\partial y^4};$

$\Delta \Delta_K = K_x \frac{\partial^4}{\partial x^4} + 2H \frac{\partial^4}{\partial x^2 \partial y^2} + K_y \frac{\partial^4}{\partial y^4};$

$\Delta \Delta_D = D_x \frac{\partial^4}{\partial x^4} + 2T \frac{\partial^4}{\partial x^2 \partial y^2} + D_y \frac{\partial^4}{\partial y^4};$

E = modul de elasticitate longitudinal;
 G = modul de elasticitate transversal;
 μ = coeficientul lui Poisson.

mente de rigidizare longitudinale, lonjeroni, și transversale, an-tretoaze sau diafragme. Ca formă poate fi plan, sau cilindric. După valoarea raportului săgeată maximă / grosime placă, calculele se pot conduce după teoria de ordinul I ($W_{max}/t \leq 0,5$) sau teoria de ordinul II ($W_{max} > 0,5$), /196/.

În general în calculul stavilelor metalice se utilizează teoria de ordinul I, dar nu este exclus, ca în condițiile reducerii consumului de material, bordajul stavilelor să se dimensioneze după teoria de ordinul II avînd în vedere că deformațiile secțiunii transversale nu aduc impedimente de natură funcțională.

În tabelul 1.1 se prezintă sistematizat ecuațiile diferențiale ale bordajelor stavilelor metalice. Ecuațiile sînt formulate în deformații- săgeata $w(x,y)$ - și funcții de tensiuni $-F(x,y)$. În figura 1.4. se pun în evidență forțele și momentele marginale produse de presiunea hidrostatică care apar între platelaj și grinzile marginale. Condițiile de margine cu care se intră în ecuațiile din tabelul 1.1, se formulează în deplasări u, v și w . Mărimea acestor deplasări este funcție de rigiditățile la încovoiere, torsiune, forfecare și axiale ale grinzilor. Pentru fiecare margine este posibilă o gamă largă de combinații: (1) margine liberă (rigiditatea = 0); (2) rezemare elastică (rigiditatea $(0, \infty)$); (3) margine încastrată (rigiditatea = ∞). În mod evident cazurile limită cu rigiditate 0 și ∞ nu apar în realitate, dar deoarece

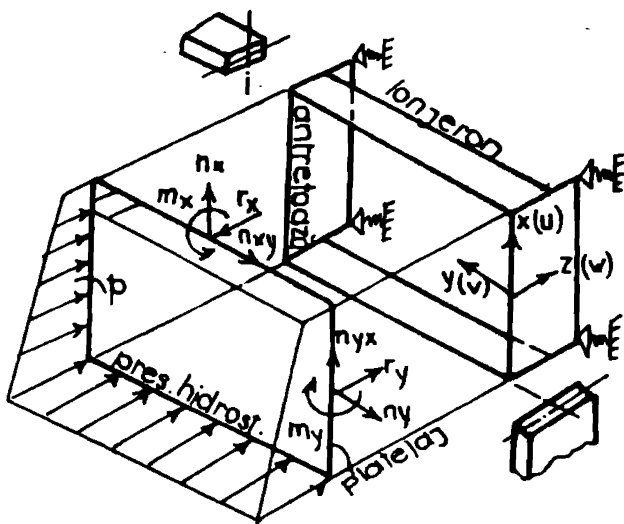


fig. 1.4

se tratează cu ușurință, se utilizează pentru deducerea condițiilor de margine. Dacă aceste condiții de margine ar putea fi evaluate cu suficientă precizie pentru a modela conlucrarea dintre elementele componente ale structurii de rezistență, modelul matematic prezentat sintetic în tabelul 1 ar da posibilitatea unui calcul exact. Cum acest lucru este practic imposibil se recurge la metode analitice sau numerice cu caracter aproximativ.

1.4. ANALIZA METODELOR DE CALCUL UTILIZATE ÎN PROIECTAREA STAVILELOR METALICE /52/, /54/.

1.4.1. Clasificarea metodelor de calcul.

Metodele analitice, aplicate în mod curent în proiectare, care țin seama, într-o măsură mai mare sau mai mică, de conlucrarea spațială a elementelor structurale utilizate pentru analiza statică și dimensionarea stavilelor metalice le încadrează pe acestea, din punct de vedere structural într-una din următoarele ipoteze: (1) rețea de grinzi în conlucrare cu platelajul; (2) bare cu pereți subțiri; (3) suprafețe prismatice; (4) plăci sau bordaje cilindrice ortotrope. Fiecare din aceste schematizări își are propria sa teorie și metodă de calcul. Pe aceste scheme de calcul, care constituie modele continue echivalente ale structurii reale, sau pe modele fizice mai apropiate de structura reală se pot aplica metodele numerice de calcul bazate pe procedee de discre-

tizare fizică sau matematică. In figura 1.5. se prezintă o schemă de clasificare a metodelor de calcul a stăvililor metalice din această perspectivă.

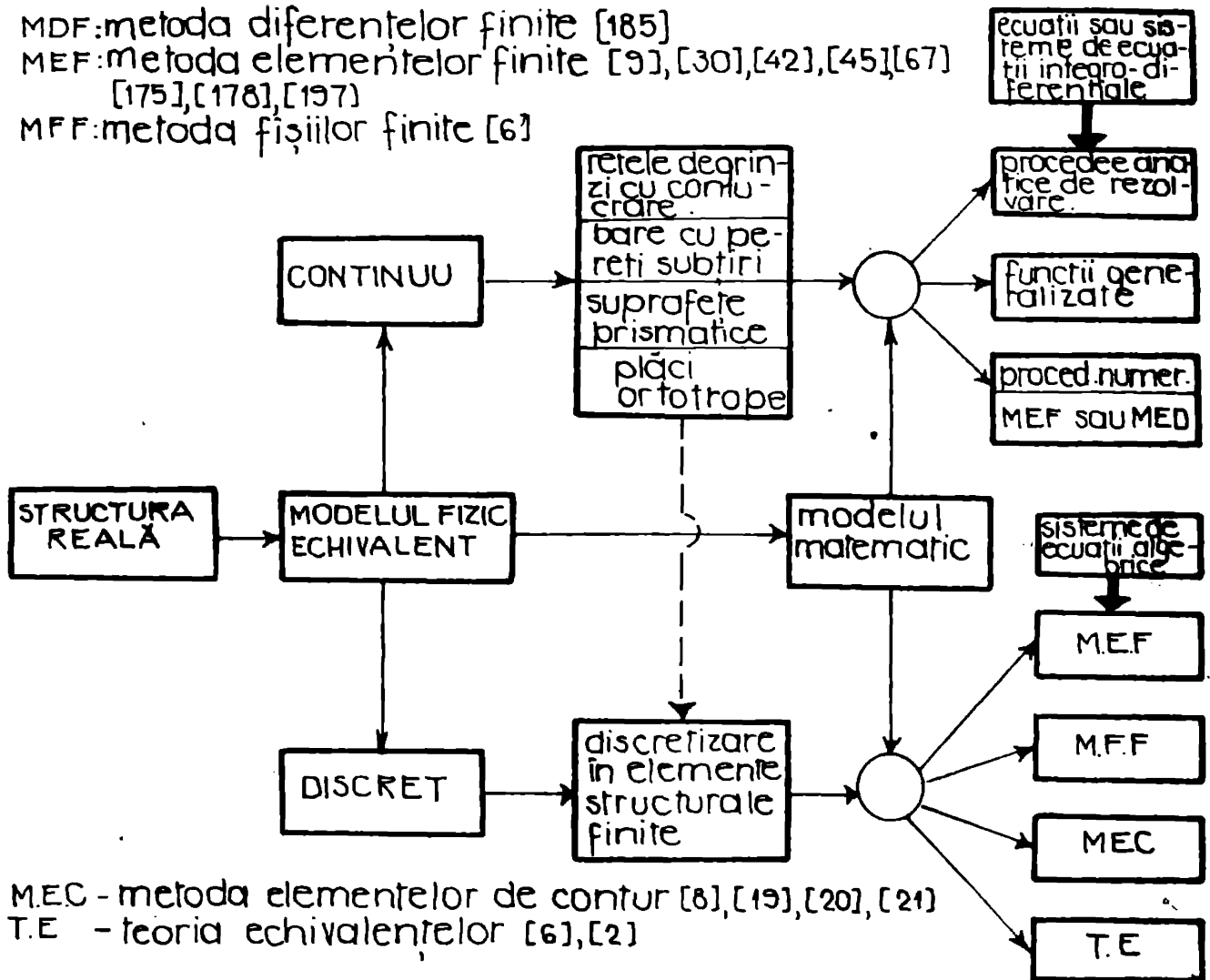


fig. 1.5

Aplicarea acestor metode pune, însă, întrebarea în ce măsură schema de calcul utilizată asigură modelarea fizică corectă a structurii reale. Din acest punct de vedere, o analiză a metodei utilizate, prin prisma ipotezelor care stau la baza acesteia, este necesară în fiecare caz de aplicare.

1.4.2. Analiza critică a metodelor de calcul

Schematizarea structurii de rezistență a stăvililor prin rețele de grinzi pune problema conlucrării dintre acestea și platelaj. Aprecieră lățimii conlucrătoare de placă este aproximativă în situația în care momentul încovoietor are o lege de variație neuniformă - situația reală - ceea ce conduce la o nesiguranță a calculului din acest punct de vedere. Metoda rețelelor de grinzi se pretează stăvililor cu secțiune deschisă.

Tratarea stăvililor cu bare cu pereți subțiri sau suprafețe prismatice are la bază ipoteza nedeformabilității formei secțiunii transversale. In teoria barelor cu pereți subțiri este presupusă menținerea nedeformată a formei secțiunii transversale pe toată lungimea

barei. In teoria plăcilor prismatice se impune menținerea formei secțiunii transversale numai în dreptul diafragmelor (sau antretoazelor). Din punct de vedere funcțional stavilele nu trebuie să respecte restricții prea severe în ceea ce privește deformabilitatea secțiunii transversale în ansamblul structurii, cu excepția capetelor care intră în nișele pilelor și, care, trebuie să îndeplinească anumite condiții mecanice și de etanșare.

In practică secțiunea transversală a stavilelor este întotdeauna deformabilă din următoarele motive : (1) grosimea pereților "barei" sau a "prisme" este mică, rigiditatea la încovoiere fiind neglijabilă ; (2) distanțele dintre elementele de rigidizare transversale, diafragme sau antretoaze, este mare ; (3) diafragmele sau antretoazele au o comportare elastică fiind la rîndul lor deformabile în planul lor. In aceste condiții, tensiunile normale repartizate pe secțiunea transversală se încadrează între acelea obținute prin aplicarea teoriei de bară cu pereți subțiri și cele rezultate din teoria de placă prismatică.

Considerarea bordajului stavilei ca fiind o placă ortotropă /12/, /13/ elimină problema evaluării "lățimii conlucrătoare" și este admisă pentru structurile deschise cu condiția ca elementele de rigidizare, transversale și longitudinale - antretoaze (diafragme) și lonjeroni - fie dispuse suficient de des și la distanțe egale.

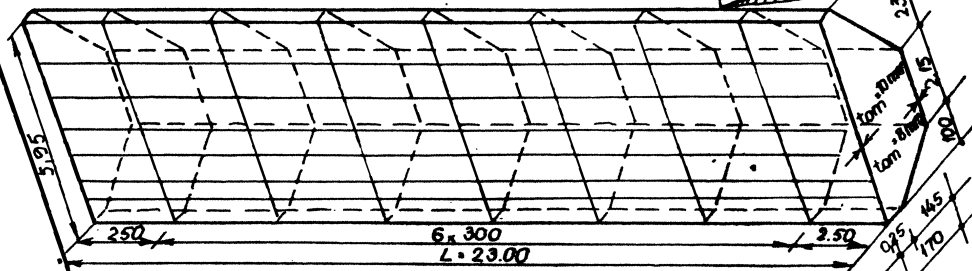
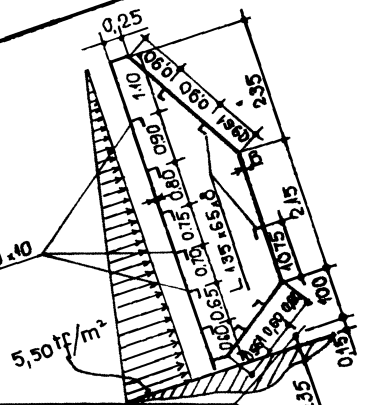
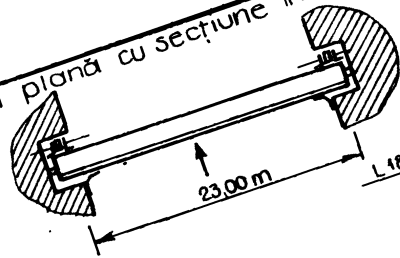
Corespunzător acestor tipuri de scheme de calcul sînt cunoscute și metodele de calcul respective, analitice sau numerice, nivelul de exactitate al uneia sau al altelea dintre aceste metode fiind dependent de măsura în care schema adoptată modelează corect structura reală.

In prezent în practica de proiectare sînt puse la punct metodologii de calcul bazate pe teoria barelor cu pereți subțiri: /28/, /129/ pentru stavile cu secțiune închisă și, respectiv, pe teoria rețelelor de grinzi pentru stavilele cu secțiune deschisă. Metodele de calcul bazate pe teoria de placă ortotropă se aplică în general structurilor deschise de tipul porților de ecluză, iar metodele de calcul care utilizează teoria suprafațelor prismatice, care se aplică cu bune rezultate structurilor închise, fiind mai aproape de comportarea reală a acestora decît modelul de bară cu pereți subțiri, sînt încă insuficient elaborate.

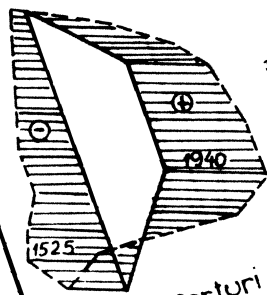
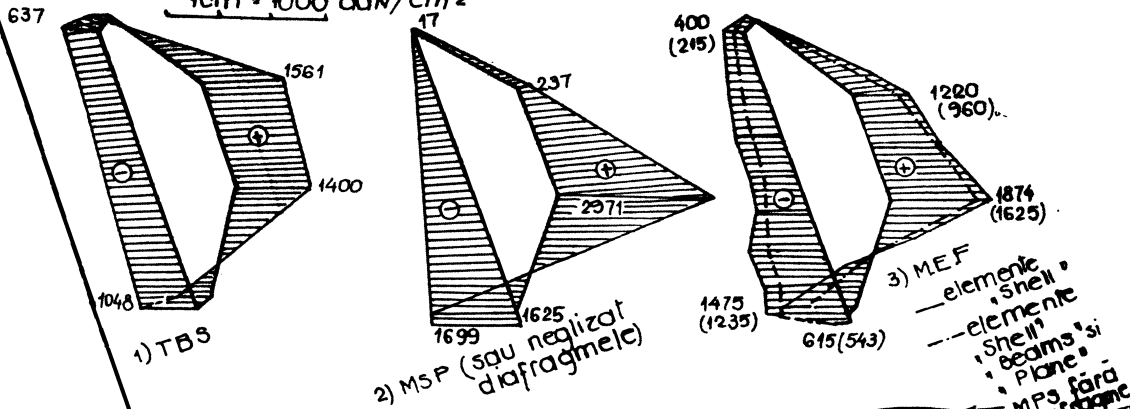
Metoda de calcul numeric care permite analiza cea mai complexă, în concordanță cu comportarea reală a structurii de rezistență a stavilelor metalice, este metoda elementelor finite. Există și alte metode de calcul bazate pe discretizarea fizică a structurii, care se pot utiliza pentru analiza statică și dinamică a stavilelor, cum ar fi metoda fișiiilor finite, care reprezintă de fapt o particularizare a MEF, teoria echivalențelor și, apărută în ultimii ani, metoda elementelor de contur. Nici una, însă, dintre aceste metode, cu performanțe în rezolvarea unor anumite tipuri de structuri, nu oferă posibilitățile de modelare, în condițiile utilizării eficiente a tehnicii de calcul automat, pentru obținerea unor rezultate cu precizia dorită ca MEF.

O metodă analitică interesantă cu aplicații cunoscute în calculul bordajelor echipamentelor hidromecanice /38/, /39/, /40/, este metoda funcțiilor generalizate sau a liniilor de sarcină. Această metodă este opusă principial metodelor bazate pe discretizare fizică sau matematică, în sensul că modelează discontinuu prin modele matematice formal continue. Metoda utilizează funcții generalizate

1.4.3.1 Stavilă plană cu secțiune închisă



Diagrame de tensiuni normale σ la jumătatea deschiderii
1cm = 1000 daN/cm²



4) MRG eforturi in lonjeroni

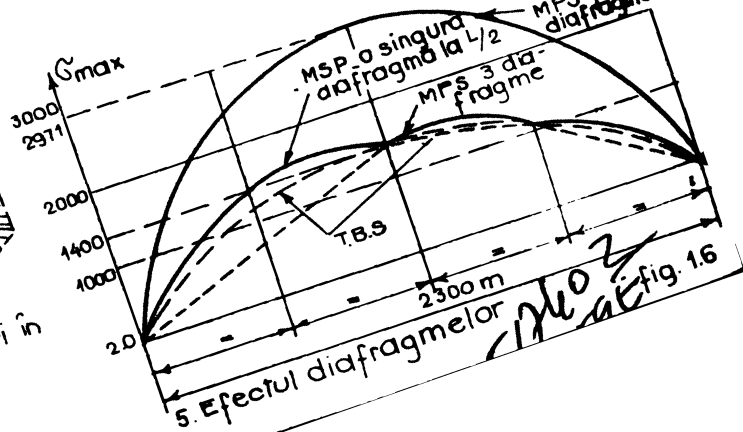
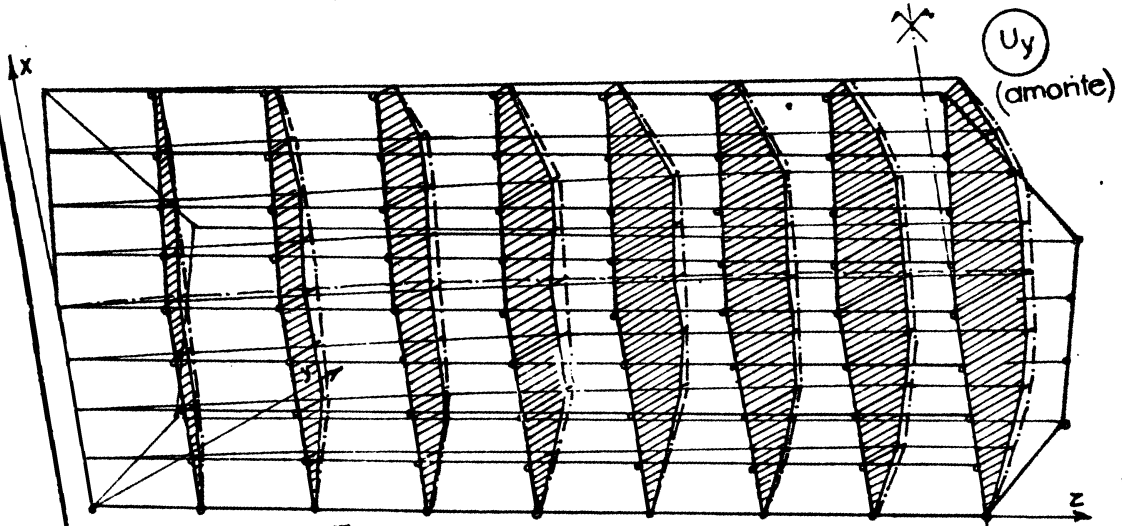
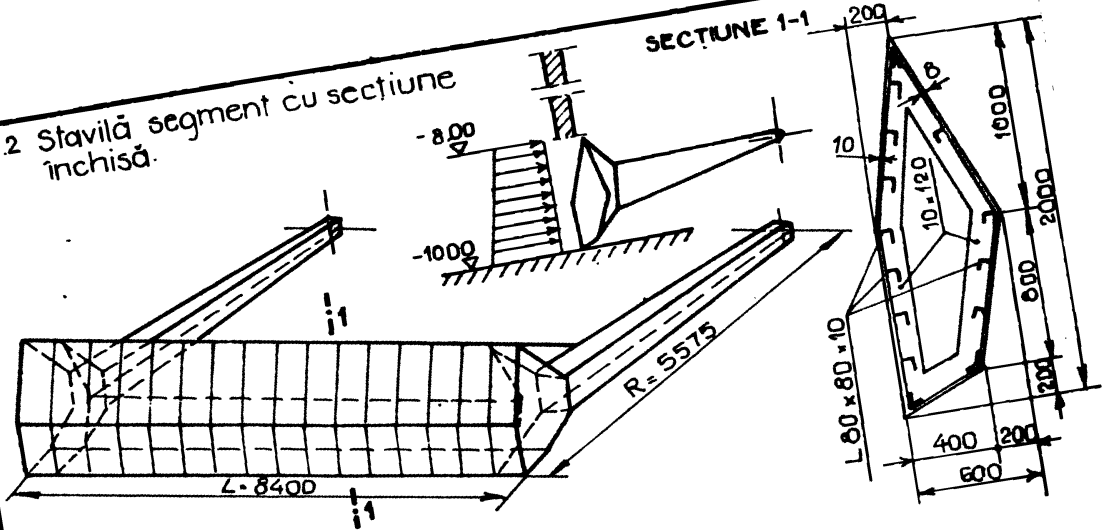


fig. 16

1.4.3.2 Stavilă segment cu secțiune închisă.



— MEF
 - - - MRG
 0 1 2 3 4 5 cm

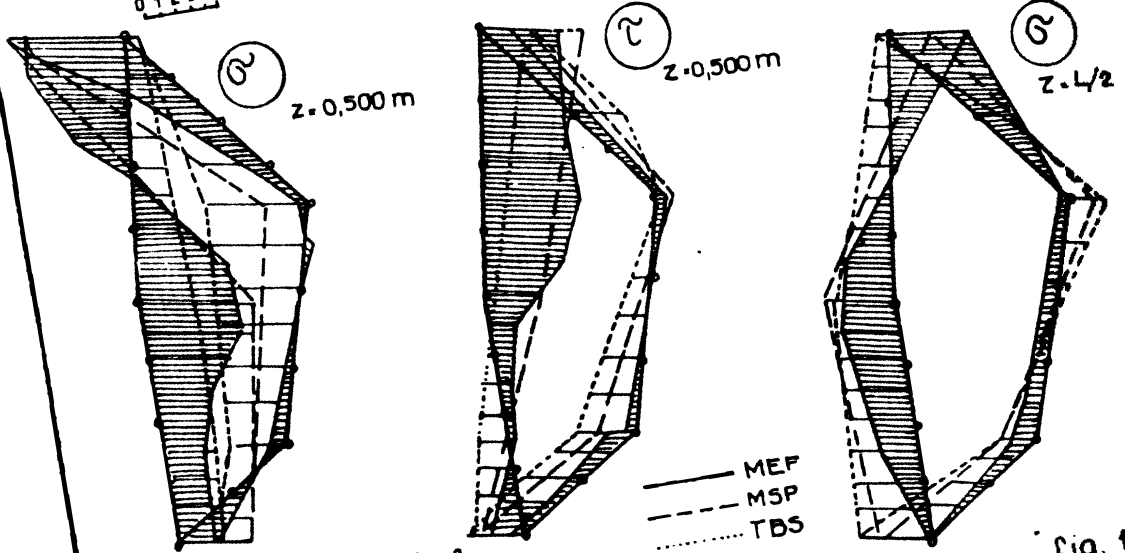


fig. 1.7

1.4.3.3 Clapetă tip „burtă de pește”

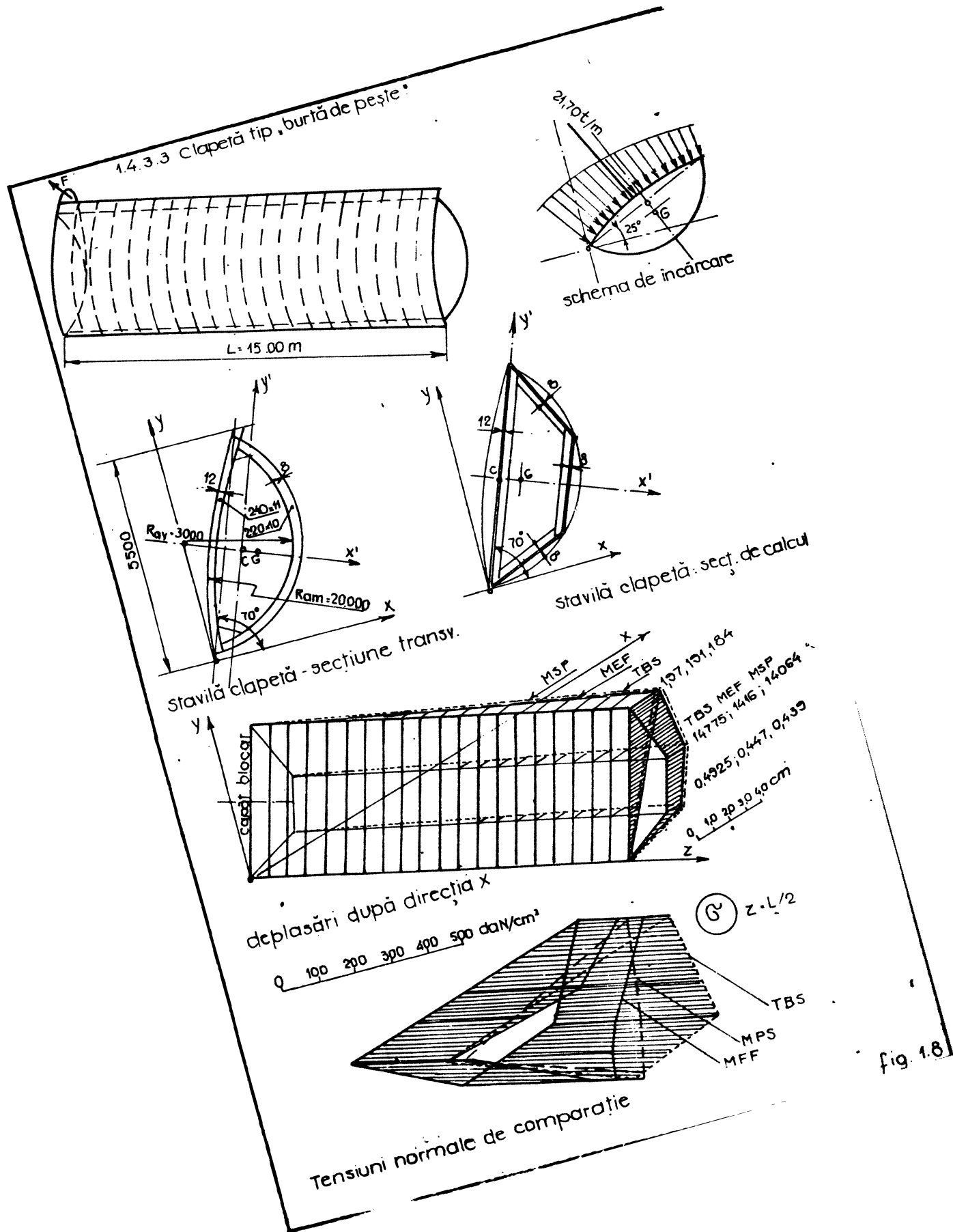


fig. 1.8

sau distribuții de tip Heaviside și Dirac, modelând suprafețele rigidizate prin suprafețe continue și punând condiția ca liniile de tensiuni să fie dirijate după axele nervurilor. Pentru determinarea acestor tensiuni liniare se utilizează ecuații integrale Fredholm de speța a II-a degenerate în sume. Prezența acestor ecuații în modelul matematic conduce la ideea unei posibile legături cu M.E.C. care utilizează același aparat matematic.

În prezent există tendința de a combina două sau trei metode de calcul pentru rezolvarea aceleiași structuri. De exemplu, se rezolvă structura luată în ansamblu ca o structură spațială din bare, care modelează echivalent rigiditatea structurii reale și, apoi, pentru analiza de detaliu a unor subansamble sau îmbinări se utilizează MEF. Se economisește în acest mod manopera și timpul necesar pentru pregătirea datelor de intrare, precum și memoria și timpul de utilizare a calculatorului. O interesantă metodă pentru rezolvarea structurilor chesonate ale podurilor metalice, care cu unele modificări poate fi aplicată și pentru calculul stăvililor, este prezentată în lucrarea /146/. Această metodă combină metoda suprafețelor prismatice, derivată din teoria generală a barelor cu pereți subțiri a lui Vlasov, cu MEF. Într-o altă lucrare /20/, tot pentru calculul tablierelor chesonate ale podurilor, metoda suprafețelor prismatice se combină cu MEC. Zonele de reazeme ale structurii se modelează cu elemente de contur quadratice, iar cîmpul se tratează ca o suprafață prismatică închisă.

1.4.3. Exemple numerice.

Prin intermediul a 3 exemple de calcul se prezintă comparativ rezultatele obținute prin aplicarea a 4 metode de calcul: (1) metoda rețelelor de grinzi (MRG); (2) teoria barelor cu pereți subțiri (TBS); (3) Metoda suprafețelor prismatice în varianta din capitolul 6 (MSP); (4) MEF.

1.5. CONCLUZII

Analizînd comparativ rezultatele obținute pentru cele 3 exemple prezentate în subcapitolul anterior se desprind următoarele concluzii:

1. Toate metodele analizate i-au în considerare conclucrarea spațială dintre elementele componente ale structurii de rezistență a stăvililor metalice, ceea ce este de natură să conducă la o dimensionare mai sigură și mai economică. Soluțiile moderne de realizare a stăvililor merg, în general, pe secțiuni închise, de tip cheson, din table sudate. În acest sens, utilizarea pentru proiectare a unor metode de calcul adecvate este absolut necesară. Este de datoria inginerului proiectant să aleagă metoda de calcul care să satisfacă în mod optim parametrii de realizare a proiectului: soluție tehnică eficientă, siguranță în exploatare, cost minim și nu în ultimul rînd manoperă și timp minim pentru realizarea proiectului.

2. Din punct de vedere a capacității de modelare a structurilor și a posibilităților de obținere a unor rezultate cu un grad de precizie dorit, metoda care se impune în mod incontestabil este MEF. Aplicarea MEF pentru analiza comportării unor structuri de mare complexitate, cum este cazul stăvililor metalice, presupune asigurarea a două condiții absolut necesare: (a) existența unui program de calcul cu elemente finite multifuncțional, cu un număr suficient de tipuri de elemente; (b) un calculator de capacitate cel puțin medie

(≥512.K.O) . Pentru rezolvarea exemplurilor prezentate s-a folosit programul SAP 05. Este un program complex, care consumă însă multă memorie (180 K.O) și care, prin urmare, nu poate fi implementat pe echipamentele de calcul moderne- minicalculatoare INDEPENDENT și CORAL - pe care le produce în prezent industria electronică românească. Totodată, manopera pentru pregătirea și introducerea datelor inițiale, precum și pentru prelucrarea rezultatelor este deosebit de laborioasă. Pentru utilizarea eficientă a metodei sînt necesare programe cu structură modulară, utilizabile în regim interactiv, cu pre-și postprocesoare pentru introducerea și prelucrarea grafică a rezultatelor.

3. T.B.S. trebuie aplicată cu rezerve întrucît nu se pretează decît la stavilele lungi, cu dimensiunile secțiunii transversale reduse. Aici trebuie luate în considerare rapoartele limită impuse de Vlasov /195/ pentru încadrarea structurilor în categoria barelor cu pereți subțiri : $L/H \geq 10$; $t/H \geq 10$. Chiar și în cazul stavilelor clapetă "burtă de pește", care respectă în general, aceste condiții, metoda are neajunsul că nu ține seama de efectul diafragmelor.

4. M.R.G. poate fi aplicată cu rezultate bune dacă se apreciază în mod corect "lățimea conlucrătoare". În acest sens se recomandă normele germane DIN 19704 /198/, care s-au aplicat și în cazul exemplurilor considerate. Metoda are avantajul că poate fi aplicată prin intermediul programelor de calcul pentru structuri spațiale din bare : programul GIPSI, care permite calculul pe substructuri, programul SPAT 1 cuplat cu programul de prelucrări grafice Y, implementate pe I 100.

5. M.S.P. este o metodă competitivă pentru calculele ingineresti din proiectarea curentă, fiind recomandabilă pentru structurile chesonate. Algoritmul acestei metode se prezintă în capitolul 6. Metoda are avantajul că poate fi ușor programată de microcalculatoare de capacitate medie (48 K.O) și, din acest punct de vedere, la îndemîna proiectanților.

6. Pentru analiza stării de tensiuni și deformații în zonele de concentrări de tensiuni se recomandă utilizarea combinată a MEF cu MSP sau cu M.R.G. O variantă, competitivă din acest punct de vedere , este cuplarea MEF cu MEC.

CAPITOLUL II

FORMULAREA TEORIEI MATEMATICE A STRUCTURILOR

/50/, /114/, /115/.

2.1. GENERALITATI

Componentă a mecanicii solidului, mecanica structurilor conține modelele fizice și matematice pentru studiul stării de echilibru și analiza stării de tensiuni și deformații a structurilor și elementelor structurale.

Considerind aspectul matematic al problemei este important să se studieze analogiile formale dintre modele și modul în care modelele matematice pot genera unele din altele. Baza și argumentele acestui studiu sînt furnizate de teoremele analizei funcționale. Abordată din acest punct de vedere, teoria matematică a structurilor cuprinde trei grăpuri de legi fundamentale și teoreme, după cum urmează /50/ /114/:

1. Modelul matematic elaborat pe baza legilor sistemului fizic.
2. Legile de generare a modelelor aproximative de calcul numeric.
3. Teoremele care stabilesc existența și unicitatea acestor legi, respectiv convergența și stabilitatea soluțiilor obținute prin aplicarea unui anume model de calcul numeric.

În figura 2.1. se reprezintă schematic componentele principale ale teoriei matematice a structurilor prin intermediul metodei elementelor finite formulate în cadrul teoriei reziduurilor medii ponderate.

Formularea unei teorii matematice generalizate pentru un sistem fizic oferă avantaje teoretice și practice evidente în ceea ce privește caracterizarea și definirea unitară a problemelor, pe de o parte, și stabilirea unor modele de calcul numeric general aplicabile la rezolvarea acestor probleme, pe de altă parte.

2.2. CLASIFICAREA PROBLEMELOR SISTEMELOR FIZICE

Orice sistem fizic poate fi caracterizat printr-o mulțime de variabile care sînt funcții de coordonate spațiale $x(x, y, z)$ și de timp t . Sistemul este staționar sau nestaționar după cum $t \neq 0$. Un număr r de variabile pot fi prestabilite: proprietățile fizico-mecanice ale materialului, dimensiunile geometrice, forțele aplicate, condițiile de margine. Restul variabilelor, u , sînt necunoscutele problemei: deplasări, viteze, temperaturi, tensiuni, etc.

Un model matematic acestui sistem rezultă în a stabili o relație între u și r în urma aplicării legilor fizice caracteristice. Aceste relații formează un sistem de ecuații de definiție de forma

$$\mathcal{L}(u_1, u_2, \dots, u_n, r_1, r_2, \dots, r_n) = 0 \quad (2.1)$$

sau

$$\mathcal{L}(u) + f_v = 0, \text{ pe domeniul } V, \quad (2.2)$$

la care se atașează un set de condiții la limită :

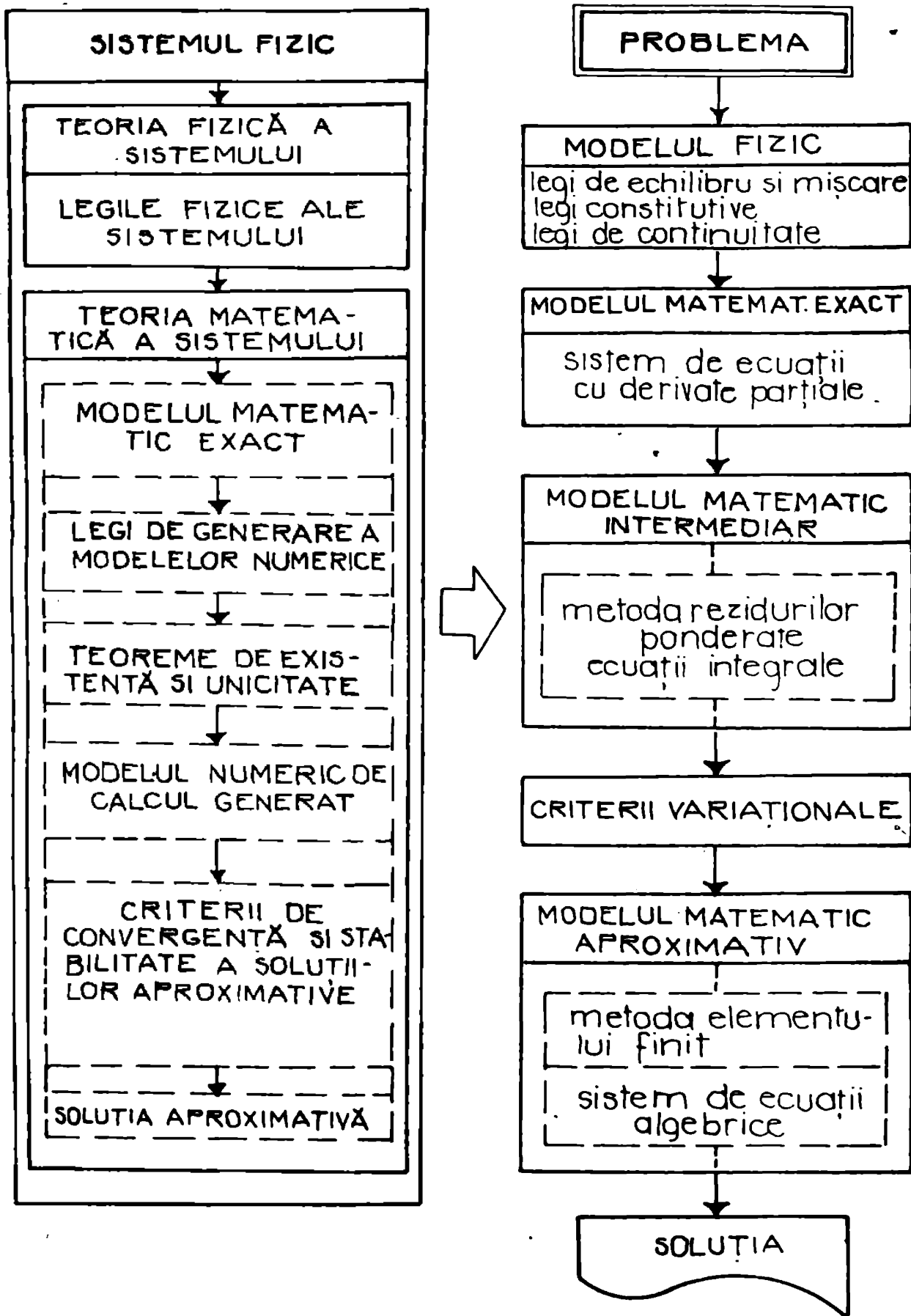


fig. 2.1

$$\mathcal{L}(u_1, u_2, \dots, u_n, r_1, r_2, \dots, r_m) = 0 \quad (2.3)$$

sau

$$\mathcal{L}(u) = f_s, \text{ pe frontiera } S \text{ a domeniului } V, \quad (2.4)$$

Ecuatiile de definiție împreună cu condițiile la limită formează ecuațiile de guvernare a sistemului ale cărui soluții vor fi de forma următoare:

$$u = u(r_1, r_2, \dots, r_m) \quad (2.5)$$

În ecuațiile (2.2) și (2.4) \mathcal{L} și \mathcal{L}_0 sînt operatori diferențiali caracteristici sistemului, u reprezintă necunoscutele problemei iar f_v și f_s sînt funcții date. În practică sistemul de ecuații (2.2) se descompune adesea prin eliminarea unui număr de q variante între ecuațiile inițiale ale sistemului fizic rezultînd:

$$\mathcal{L}_0(q) - f_v = 0 - \text{ecuațiile de echilibru} \quad (2.6)$$

$$\mathcal{L}_0(q, u) = 0 - \text{ecuațiile constitutive} \quad (2.7)$$

Operatorul \mathcal{L} este în general de ordin superior în raport cu operatorii \mathcal{L}_0 și \mathcal{L}_c .

Numărul gradelor de libertate ale sistemului este egal cu numărul parametrilor r necesari pentru definirea lui u la un moment t dat. Sistemul este discret dacă numărul gradelor de libertate este finit; el este continuu dacă numărul gradelor de libertate este infinit.

Problemele sistemelor continue și discrete se pot diviza în probleme de echilibru, de valori proprii și de propagare. În tabelul 2.1. se exemplifică, pe baza unei clasificări pe domenii, cele trei categorii de probleme.

Un sistem discret poate fi descris printr-un sistem de ecuații algebrice, în timp ce un sistem continuu este guvernat de ecuații diferențiale, ecuații cu derivate parțiale și/sau integro-diferențiale cărora li se atagează un sistem de condiții de margini spațiale și/sau temporale (tabelul 2.2).

Sistemul de ecuații algebrice se poate rezolva direct, prin metode numerice, în timp ce un sistem continuu trebuie mai întîi discretizat, adică înlocuit printr-un sistem echivalent de ecuații algebrice.

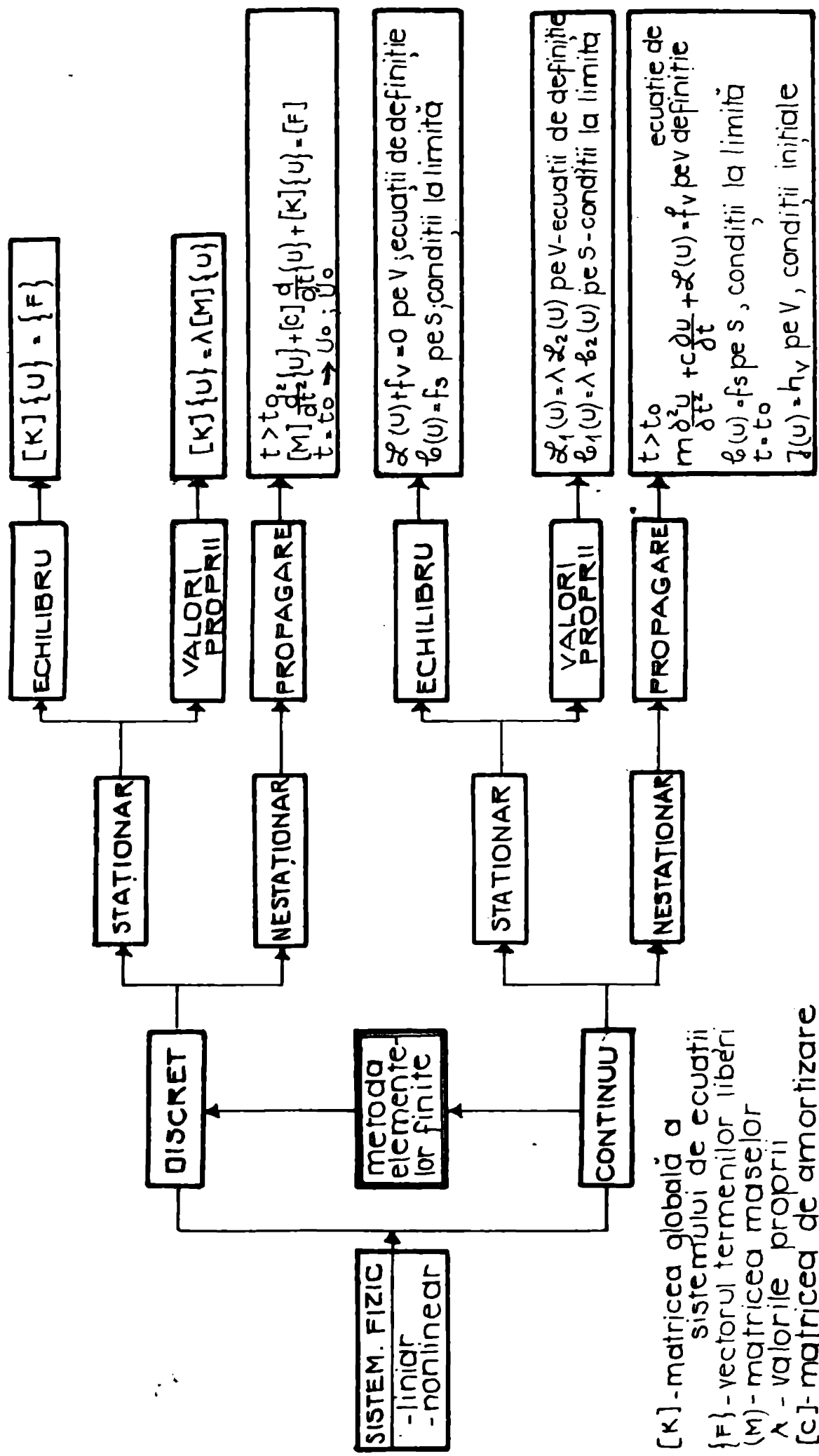
Procesul de discretizare implică, de fapt, înlocuirea modelului matematic exact, care caracterizează sistemul fizic definit prin ecuațiile de guvernare, printr-un model de calcul aproximativ abordabil prin metode numerice. În figura. 2.2. acest proces este pus în evidență prin intermediul metodei elementelor finite.

2.3. MODELUL MATEMATIC ÎN MECANICA STRUCTURILOR /114/

Modelul matematic în mecanica structurilor conține trei grupe de ecuații cunoscute sub numele de ecuații de echilibru și mișcare, ecuații constitutive și ecuații de compatibilitate. În cele ce urmează se definesc cele trei grupuri de ecuații pentru cazul unui material cu comportare liniar elastică, condiție care, evident, nu afectează generalitatea problemei puse în discuție /113/, /188/.

Tabelul 2.1

DOMENIUL	PROBLEME DE ECHILIBRU	PROBLEME DE VALORI PROPRII	PROBLEME DE PROPAGARE
<p>mecanica structurilor</p>	<p>Analiza stării de tensiuni și deformații în structuri din bare, plăci și pinze. Analiza stării de tensiuni și deformații în structuri masive. Torsiunea elementelor prismatice. Analiza structurilor compuse.</p>	<p>Stabilitatea structurilor Determinarea frecvențelor proprii și analiza modală a structurilor Amortizarea viscoelastică liniară</p>	<p>Propagarea undelor de tensiuni. Răspunsul dinamic al structurilor sub acțiunea unor solicitări neperiodice Probleme de termoviscoelasticitate viscoelasticitate</p>
<p>mecanica pământurilor mecanica rocilor</p>	<p>Analiza bi- și tridimensională a stării de tensiuni și deformații în masive din pământ și roci Stabilitatea rocilor Interacțiune structură-teren</p>	<p>Determinarea frecvențelor proprii și analiza modală a structurilor ținând seama de interacțiunea cu terenul de fundate.</p>	<p>Interacțiunea dinamică teren-structură. Propagarea undelor de tensiuni prin pământuri și roci Consolidarea fluidelor în medii poroase deformabile. Infiltrare tranzitorie în pământ și roci.</p>
<p>conducția caldurii</p>	<p>Distribuția staționară a temperaturii în solide și fluide</p>		<p>Propagarea tranzitorie a temperaturii în solide și fluide.</p>
<p>mecanica fluidelor</p>	<p>Curgerea potențială a fluidelor Curgerea viscoasă a fluidelor Infiltrarea staționară în medii poroase și acvifere Analiza structurilor hidraulice</p>	<p>Determinarea frecvențelor proprii și a modurilor de oscilație a apei din lacuri și bazine Mișcarea fluidelor în rezervoare rigide și elastice.</p>	<p>Transportul aluviunilor Curgerea staționară a fluidelor Propagarea valurilor Studii privind salinitatea și poluarea estuarelor (problemedif). Infiltrarea tranzitorie</p>
<p>ingineria nucleară</p>	<p>Analiza structurilor reactorilor nucleari Distribuția staționară a temperaturii în reactori și în structura reactorilor.</p>		<p>Analiza dinamică a structurilor reactorilor nucleari Analiza termoviscoelastică a structurilor reactorilor. Distribuția staționară a temperaturii.</p>



[K] - matricea globală a sistemului de ecuații
 {F} - vectorul termenilor liberi
 (M) - matricea masei
 λ - valorile proprii
 [c] - matricea de amortizare

fig. 2.2

tabelul 2.2

tipul problemei	ECUAȚIILE DE GUVERNARE	
	domeniul continuu	domeniul discret
ECHILIBRU	ecuații diferențiale ordinare sau cu derivate parțiale cu condiții de margine impuse.	ecuații algebrice și/multane (sistem de ecuații)
VALORI PROPRII	ecuații diferențiale ordinare sau cu derivate parțiale cu condiții de margine impuse.	ecuații algebrice simultane sau ecuații diferențiale ordinare reducibile la ecuații algebrice.
PROPAGARE	ecuații cu derivate parțiale cu condiții initiale și de marg. imp.	ecuații diferențiale ordinare simultane cu condiții initiale impuse.

2.3.1. Ecuațiile de echilibru

Ecuațiile echilibru dinamic care guvernează o structură cu comportare liniar elastică supusă la acțiuni dinamice sînt :

$$\sigma_{1j,j} + F_1 = \rho \ddot{u}_1 ; \quad 1,j = x,y,z, \quad (2.8)$$

în care σ_{1j} reprezintă componentele tensorului tensiunilor, F_1 sînt componentele vectorului F al forțelor masice, iar $\rho \ddot{u}_1$ reprezintă forțele inerțiale ale lui D'Alembert corespunzătoare unității de volum; ρ este masa specifică, iar \ddot{u}_1 este vectorul accelerației. Dacă structura este supusă la acțiuni statice se anulează forțele inerțiale și rezultă ecuațiile de echilibru static.

$$\sigma_{1j,j} + F_1 = 0 ; \quad 1,j = x,y,z \quad (2.9)$$

2.3.2. Ecuațiile constitutive

Relațiile de legătură între tensiuni și deformațiile specifice se exprimă pentru o structură cu comportare elastică prin ecuațiile constitutive (legea lui Hooke) :

$$\sigma_{1j} = c_{ijkl} \epsilon_{kl} ; \quad 1,j,k,l = x,y,z, \quad (2.10)$$

în care c_{ijkl} este tensorul de ordinul patru al coeficienților elastici.

$$c_{ijkl} = \lambda \delta_{ij} \delta_{kl} + \mu (\delta_{ik} \delta_{jl} + \delta_{il} \delta_{jk}), \quad (2.11)$$

în expresia căruia δ_{ij} este simbolul lui Kronecker, iar λ și μ sînt constantele lui Lamé.

2.3.3. Relațiile de legătură dintre deformațiile specifice și deplasări. (ecuațiile lui Cauchy)

În domeniul elastic, în ipoteza deformațiilor infinitezimale, există următoarele relații de legătură între componentele tensorului deformațiilor specifice ε_{ij} și componentele vectorului deplasărilor, u :

$$\varepsilon_{ij} = \frac{1}{2} (u_{i,j} + u_{j,i}) = e_{ij} ; \quad i, j = x, y, z \quad (2.12)$$

2.3.4. Ecuațiile de compatibilitate (ecuațiile lui Saint Venant)

Eliminând deplasările u_i din ecuațiile (2.12) se obțin ecuațiile de compatibilitate de forma :

$$\varepsilon_{ij,kl} + \varepsilon_{kl,ij} - \varepsilon_{jl,ik} - \varepsilon_{ik,jl} = 0, \quad i, j, k, l = x, y, z \quad (2.13)$$

2.3.5. Ecuațiile în deplasări (ecuațiile lui Lamé)

Dacă se elimină tensiunile și deformațiile între (2.8) și (2.12) se obțin așa numitele ecuații ale lui Lamé.

$$\mu \Delta u_i + (\lambda + \mu) u_{j,ji} + F_i = Q \ddot{u}_i ; \quad i, j = x, y, z, \quad (2.14)$$

care în cazul problemelor statice devine

$$\mu \Delta u_i + (\lambda + \mu) u_{j,ji} + F_i = 0 ; \quad i, j = x, y, z \quad (2.15)$$

Dacă forțele masice sînt neglijate în ecuația (2.15) și se aplică operatorul lui Laplace se obține ecuația fundamentală a problemelor de elasticitate.

$$\nabla^2 \nabla^2 u = 0 \quad (2.16)$$

2.3.6. Condițiile la limită în tensiuni și deplasări.

Dacă pe frontiera S care mărginește domeniul V - structura - se cunosc forțele p_i condițiile la limită în tensiuni se scriu sub forma :

$$\sigma_{ij} n_j \Big|_S = p_i ; \quad i, j = x, y, z, \quad (2.17)$$

în care prin n_j sau notat cosinuzii directori formați de normala la S cu axele de coordonate .

Dacă se cunosc deplasările h_i pe S se formulează condițiile la limită în deplasări.

$$u_i(u, t) \Big|_S = h_i(u, t) ; \quad i = x, y, z \quad (2.18)$$

Condițiile inițiale referitoare la deplasări se scriu astfel:

$$u_i(t) \Big|_{t=0} = \bar{u}_i ; \quad \dot{u}_i(t) \Big|_{t=0} = \hat{u}_i ; \quad i = x, y, z \quad (2.19)$$

Condițiile la limită admit și o formulare mixtă atunci cînd se cunosc forțele p_i pe o porțiune $S_1 \subset S$ și, respectiv, deplasările h_i pe $S_2 \subset S$, astfel încît $S_1 + S_2 = S$, definită prin

relațiile

$$\sigma_{ij} n_j \Big|_{S_1} = p_i ; \quad (2.20 \text{ a și b})$$

$$u_i(u, t) \Big|_{S_2} = h_i(u, t) ; \quad i, j = x, y, z$$

2.4. DEFINIREA CÂMPULUI STRUCTURAL

Un câmp de tensiuni și un câmp de deformații sau deplasări cu relațiile de legătură (2.10) formează un câmp structural.

Un câmp structural este numit compatibil în raport cu un sistem de incompatibilități - mulțimea condițiilor la limită - dacă satisface (compatibilizează) ecuațiile (2.12) în prezența condițiilor (2.18).

Un câmp structural este în echilibru (echilibrat) în raport cu un sistem de forțe exterioare - mulțimea acțiunilor și forțelor de legătură pe frontiera S - dacă satisface ecuațiile (2.8) și (2.10) în prezența condițiilor (2.17).

Un câmp structural care este în același timp compatibil și în echilibru satisface ecuațiile (2.14) și condițiile (2.20).

Dacă se asociază unei structuri elastice oarecare o mulțime X de câmpuri structurale se poate demonstra că mulțimea X formează un spațiu Banach (spațiu vectorial normat complet).

Pentru aceasta, se demonstrează, în primul rând, că mulțimea X formează un spațiu vectorial prin definirea operațiunilor de adunare $x_1 + x_2$ și înmulțire cu scalari λx ; $x_1, x_2 \in X, \lambda \in R$. Schematic problema de analiză funcțională se prezintă în felul următor :

x_1 corespunde lui σ_1	x_1 corespunde lui u_1	(2.21a și b)
x_2 corespunde lui σ_2	x_2 corespunde lui u_2	
$x_1 + x_2$ corespunde lui $\sigma_1 + \sigma_2$	$x_1 + x_2$ corespunde lui $u_1 + u_2$	
λx_1 corespunde lui $\lambda \sigma_1$	λx_1 corespunde lui λu_1	
$(x_1 + x_2)$ corespunde lui $\lambda(\sigma_1 + \sigma_2)$	$\lambda(x_1 + x_2)$ corespunde lui $\lambda(u_1 + u_2)$	
$(\lambda + \mu)x_1$ corespunde lui $(\lambda + \mu)\sigma_1$	$(\lambda + \mu)x_1$ corespunde lui $(\lambda + \mu)u_1$	

Este ușor de demonstrat că elementele din spațiul X se supun cunoscutelor axiome de comutativitate, asociativitate, distributivitate și independență liniară și că operația de bază din acest spațiu este produsul scalar a două funcții componente. x_1 și x_2 definit prin integrala pe domeniul V dat al produsului acestora. Existența produsului vectorial asigură existența normei în spațiul X. Un spațiu vectorial înzestrat cu o normă pentru fiecare din elementele sale formează un spațiu vectorial normat.

Norma unui element al spațiului (respectiv al unei funcții componente) se definește în forma următoare :

$$\|x\| = \sqrt{\int_V x^2 dV} \quad \text{sau} \quad \|x\| = \sqrt{\int_V x_1 x_2 dV} \quad (2.22 \text{ a și b})$$

adică

$$\|x\| = \sqrt{\int_V \sigma_1 \sigma_2 dV} \quad \Big| \quad \|x\| = \sqrt{\int_V u_1 u_2 dV} \quad (2.22 \text{ c și d})$$

În continuare se poate arăta cu ușurință că elementele din X formează șiruri Cauchy convergente și că, deci, spațiul X este un spațiu vectorial normat complet, adică un spațiu Banach. Întrucât, așa cum rezultă din relațiile (2.22) norma din X este generată de un produs scalar, spațiul Banach, definit anterior, este, de fapt, un spațiu Hilbert /143/.

Aceste elemente de analiză funcțională sînt deosebit de importante în analiza de convergență și stabilitate a soluțiilor aproximative, deoarece un spațiu Hilbert poate asigura prin însăși construcția lui convergența necesară problemei. /155/, /156/.

Se demonstrează /15/, că spațiul Hilbert definit pe X este un spațiu energetic H_E - pe care se definește un produs energetic și o normă energetică H_E - constituie o extindere a lui X , la ale cărei elemente se atașează produsul energetic corespunzător. Rezultatul este că apar o serie de funcții noi $x \in H_E$ care nu pot să satisfacă condițiile la limită naturale ale problemei. Dacă în schimb aceste condiții la limită sînt principale sau esențiale (geometrice sau cinematice) - adică, în cazul mecanicii structurilor, nu conțin derivate, atunci ele pot fi satisfăcute de către toate funcțiile spațiului energetic H_E . Se spune că are loc o relaxare a condițiilor la limită.

O mulțime de cîmpuri structurale X care satisface condițiile de echilibru formează o submulțime X_G , care se zice isoechilibrată - metoda deplasărilor.

O mulțime de cîmpuri structurale X care satisface condițiile de compatibilitate formează o submulțime X_u , care se zice izocompatibilă - metoda forțelor.

Ecuatiile de echilibru și compatibilitate se pot scrie acum într-o formă mult mai generală:

$$\begin{aligned} \sigma(x) &= \sigma; \quad x \in X \quad \text{și } \sigma \in X_G & (2.23 \text{ a și b}) \\ u(x) &= u; \quad x \in X \quad \text{și } u \in X_u \end{aligned}$$

Dacă mulțimea $X_G \cap X_u$ conține cel puțin un element $\sigma(x)$ sau $u(x)$ se poate stabili o corespondență biunivocă între elementele lui X și cele aparținînd produsului cartezian $X_G \times X_u = \Pi$. Se definește astfel prin Π spațiul acțiunilor exterioare, X constituind spațiul răspunsurilor structurii. Fiecărei perechi (σ, u) i se poate asocia o funcție continuă $\chi: \Pi \rightarrow X$, astfel ca

$$x = \chi(\sigma, u) \quad (2.24)$$

Soluția exactă a problemei - cîmpul structural compatibil și/sau echilibrat - se obține impunînd condiții de staționaritate energiei potențiale totale a sistemului Π sau energiei potențiale complementare Π^* , respectiv

$$\delta \Pi = \int_V \sigma \delta u \, dV \quad (2.25)$$

$$\delta \Pi^* = \int_V u \delta \sigma \, dV \quad (2.26)$$

Distanța între două cîmpuri structurale - între două elemente

x_1 și x_2 aparținând lui X - se definește ca normă a diferenței lor prin relația

$$d(x_1, x_2) = \min \int_{x_1}^{x_2} ds, \quad (2.27)$$

în care ds reprezintă distanța dintre două puncte foarte apropiate conținute în V

$$d^2s = \frac{1}{2} \int_V \delta u \delta \sigma dV \quad (2.28)$$

Pentru $x = \mathcal{X}(\sigma, u)$ se demonstrează că în același punct există dacă

$$\delta^2 \Pi = \int_V \delta \sigma \delta u dV \quad (2.29)$$

$$\delta^2 \Pi^* = \int_V \delta u \delta \sigma dV \quad (2.30)$$

egalitatea

$$\delta \Pi = \delta \Pi^* \quad (2.31)$$

În continuare, pe baza relației (2.28), pentru un Δ suficient de mic rezultă egalitățile

$$d^2(x + \Delta, x) = \Pi(x + \Delta) - \Pi(x) ; \Delta \in \mathcal{G}_0; \quad (2.32 \text{ a și b})$$

$$d^2(x + \Delta, x) = \Pi^*(x + \Delta) - \Pi^*(x) ; \Delta \in u_0,$$

unde prin \mathcal{G}_0 și u_0 notat elemente nule ale submulțimilor $X_{\mathcal{G}}$ și, respectiv X_u .

Cu aceste elemente modelul matematic și soluția problemei, respectiv câmpul structural, se pot considera definite în perimetrul analizei funcționale.

Se poate elabora și o achemă mai generală care să dea soluții pentru orice problemă în care există un principiu de extrem cunoscut.

2.5. LEGILE DE GENERARE A MODELELOR APROXIMATIVE DE CALCUL NUMERIC

Pentru a evidenția importanța legilor de generare a modelelor matematice, de la modelul exact la modelul aproximativ, se va face referire la generarea modelelor discrete din modelele continue, discretizarea fizică și matematică constituind procedee tipice analizei structurilor. Teoria generării modelelor matematice cuprinde descrierea legilor de generare și justificarea lor cu ajutorul analizei de convergență.

Procedurile pentru generarea modelelor noi în teoria structurilor se bazează pe metodele energiei potențiale de deformare totală și complementară.

Ecuatiile de generare (2.8) - sau (2.9) - (2.12) și condițiile la limită (2.17) și (2.18), respectiv (2.19), se introduc simultan și trebuie să fie satisfăcute identic în cadrul modelului generator.

Se realizează o corespondență între câmpurile generate și câmpul generator, originar, care se poate reprezenta printr-o ecuație de forma :

$$y = L_1(x) ; x \in X ; y \in Y, \quad (2.33)$$

în care $L_1 : X \rightarrow Y$ este un operator liniar, iar Y este spațiul câmpurilor structurale generate.

Utilizînd principiul lucrului mecanic virtual sau un alt principiu variațional derivat se pot stabili ecuațiile generale de echilibru și compatibilitate în cadrul noului model generat. Introducînd o ipoteză simplificatoare, spre exemplu ipoteza lui Kirchhoff din teoria plăcilor, ipoteza lui Bernoulli din teoria barelor sau definirea câmpului de deplasări din interiorul elementelor în metoda elementelor finite, se stabilește o corespondență între elementele definite pe X și cele definite pe Y . Se poate introduce, astfel, un nou operator liniar $L_2 : Y \rightarrow X'$; $X' \subset X$:

$$x = L_2(y) ; x \in X' \quad (2.34)$$

Metoda energetică pune condiția de invariabilitate a energiei potențiale de deformare totală sau complementară, ceea ce revine la satisfacerea expresiilor :

$$\Pi[L_2(y)] = \Pi(y) ; \Pi^*[L_2(y)] = \Pi^*(y) \quad (2.35 \text{ a și b})$$

Se definește, în concordanță cu cele arătate, operatorul liniar de interpolare $L : X \rightarrow X'$, astfel ca

$$L = L_1 L_2 \quad (2.36)$$

Elementele $x \in X$ și, respectiv, $x' \in X'$ definite prin intermediul operatorului de interpolare se numesc condiționate și se notează cu z , respectiv z' :

$$z' = L(z) ; z' \in Z', z \in Z, \quad (2.37)$$

Se spune că submulțimea condiționată Z' a imaginilor prin L a elementelor submulțimii condiționate $Z \subset X$ corespunde lui Z . Submulțimea câmpurilor structurale Z se zice izocondiționată dacă dispune de un minimizator α . Mulțimea M a minimizatorilor corespunzătoare submulțimilor izocondiționate Z din X formează o submulțime minimizatoare a lui X . Fiecărei submulțimi minimizatoare din X îi corespunde o funcțională $\mathcal{H} \in \mathcal{P}$, în care \mathcal{P} este o familie de funcționale definite pe X . O submulțime minimizatoare $M \subset X$ corespunde unei submulțimi minimizatoare $M \subset X$ dacă la ambele corespunde aceeași funcțională $\mathcal{H} \in \mathcal{P}$.

Operatorul de interpolare L are următoarele proprietăți :

(i) Imaginea prin L a oricărui element $x' \in X'$ coincide cu elementul

$$L(x') = x, \quad \forall x' \in X$$

(ii) Submulțimile condiționate și minimizatoare satisfac aceeași condiții în raport cu aceeași familie de funcționale \mathcal{P} .

(iii) Imaginea prin L a elementelor izocondiționate din X sînt elemente izocondiționate din X' .

Se introduce în continuare un operator secund A , numit de aproximare, care realizează corespondența dintre intersecția fiecărei submulțimi condiționate cu fiecare submulțime minimizatoare din X cu intersecția mulțimilor analoge din X' .

$$A : (Z \cap M) \rightarrow (Z' \cap M') ; Z, M \subset X ; Z', M' \subset X' \quad (2.38)$$

Operatorul de aproximare A are proprietățile :

(j) Este mărginit și continuu.

(jj) Imaginea prin A a fiecărui element $x \in X'$ coincide cu elementul

$$A(x') = x' ; \forall x' \in X'$$

Imaginea $x'_a \in A$ a elementelor $x \in X$ se numește aproximația lui x în X' . Imaginile prin A a elementelor izocondiționate din X vor fi elemente izocondiționate din X' , respectiv imaginile elementelor izominimizatoare din X vor fi elemente izominimizatoare din X' .

Considerarea operatorilor L și A permite discutarea conversiei unei probleme variaționale date într-una nouă, eventual mai simplă decât prima, capabilă să prevadă o soluție aproximativă a acesteia.

Dacă operatorul de interpolare este astfel ales încât $X \subset X'$ să constituie un spațiu n -dimensional X_n , problema variațională se poate rezolva cu ușurință. Funcționala \mathcal{J} devine o funcție de n variabile, iar elementele minimizatoare ale acesteia se rezolvă prin rezolvarea unui sistem de n ecuații ou n necunoscute, care rezultă prin egalarea cu zero a derivatelor funcționalei în raport cu fiecare variabilă. Ecuațiile sistemului vor fi liniare numai dacă funcționala \mathcal{J} este funcție analitică a variabilelor.

Dacă L este conform și $Z \subset Z'$, modelul de calcul aproximativ generat nu este altceva decât cunoscuta metodă Ritz, caz în care funcționala \mathcal{J} este energia potențială totală.

În figura 2.3 se prezintă o schemă generală a metodei variaționale aplicate în teoria liniară a mecanicii structurilor, conformă cu algoritmul funcțional prezentat.

O schemă mai generală poate fi compusă pe baza teoriei reziduurilor medii ponderate, care permite abordarea problemelor și în situațiile în care nu se poate defini funcționala \mathcal{J} . Această schemă este prezentată în figura 2.4.

2.6. CRITERII DE CONVERGENTA SI UNICITATE A SOLUTIILOR APROXIMATIVE

Evoluția teoriei moderne a structurilor a fost considerabil influențată de metoda elementelor finite. Ulterior a apărut, pe ramura din dreapta a schemei 2.4. metoda elementelor de contur sau de frontieră, cum mai este numită. Practic, în prezent aceste două metode de calcul numeric domină analiza structurală. În cele ce urmează, ideile din acest capitol se vor localiza pe metoda elementelor finite. Se impune însă, în mod evident, observația că orice model de calcul aproximativ generat din teoria exactă ridică problema justificării prin analiza convergenței soluțiilor aproximative către soluția exactă.

La modul general, problema convergenței se pune între elementele a două cîmpuri structurale : cel al soluțiilor aproxima-

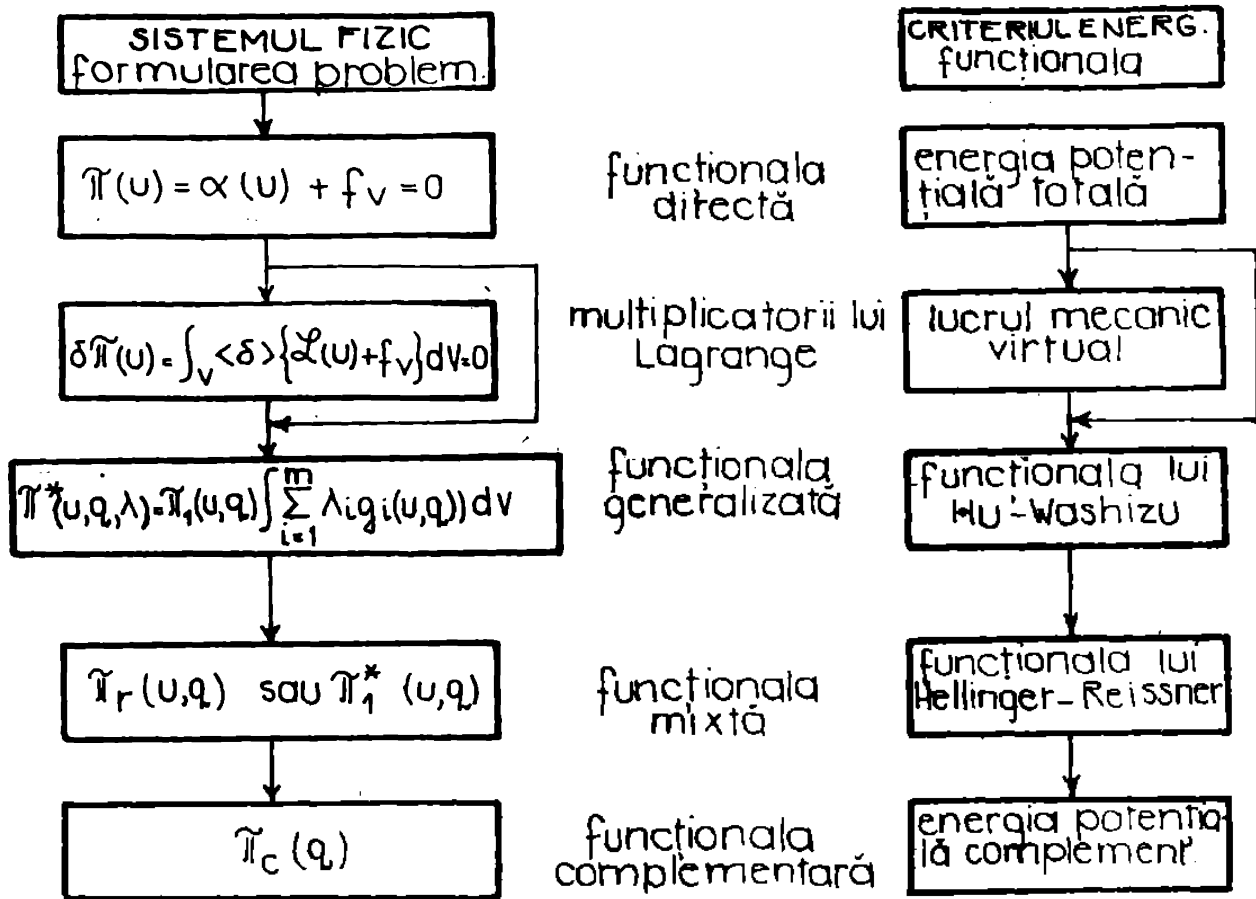


Fig. 2.3

tive X' și al soluțiilor exacte X . Condiția de convergență presupune că distanța dintre un element $x \in X$ care minimizează funcționala $\tilde{\pi}$ pe Z și corespondentul său aproximativ $x'_a \in X'$ satisface inegalitatea

$$d(x, x'_a) < \epsilon; \forall \epsilon > 0 \quad (2.39)$$

Dacă ne referim, spre exemplu, la metoda elementelor finite cîmpul soluțiilor necunoscute (cîmpul deplasărilor în interiorul elementului) aproximează prin funcții de forma

$$u_i = \sum_{k=0}^n \varphi_{ik} \bar{u}_{ik}, \quad (\bar{u}_{i0} = 1); \quad x'_a = x_i, \quad (2.40)$$

în care constantelor c_k li se atribuie semnificația concretă a parametrilor de deformăție a elementului finit, iar \bar{u}_{ik} sînt deplasările generalizate la nodurile k ale elementului finit i .

Pentru ca șirul soluțiilor aproximative (2.40), notat cu x'_a să fie convergent el trebuie să fie un șir fundamental (șir Cauchy), adică trebuie să respecte condiția (2.39).

Dacă orice șir fundamental are o limită, spațiul X' este un spațiu complet căruia i se poate aplica criteriul de convergență Cauchy. Limita șirului fundamental x'_a este funcția x către care aceasta converge. Această convergență este o convergență în medie, adică este satisfăcută inegalitatea :

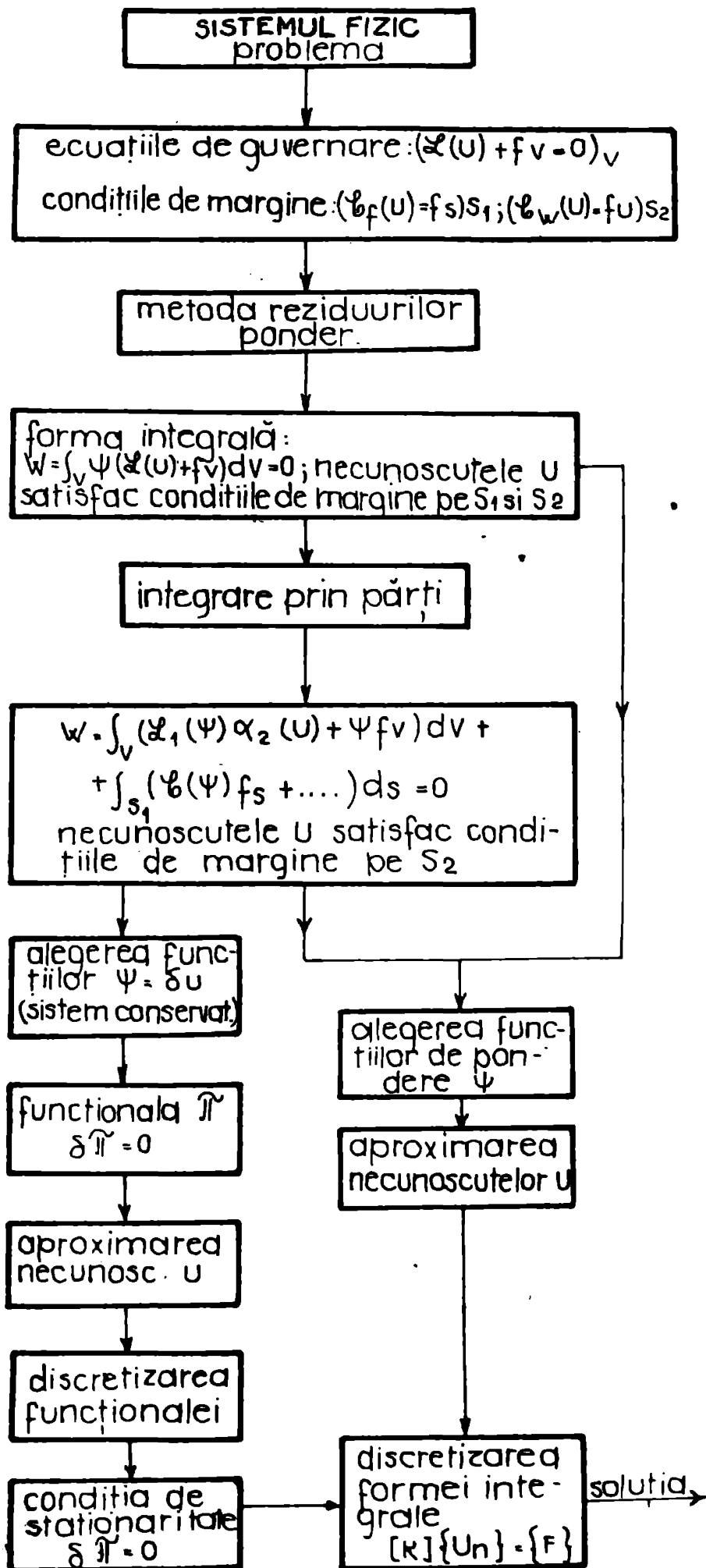


fig. 24

$$\int_V (x - x'_{an})^2 dV < \delta, \quad \forall \delta > 0 \quad (2.41)$$

Deoarece integrala este întotdeauna pozitivă, relația (2.41) se scrie sub forma

$$|x - x'_a| < \varepsilon, \quad \forall \varepsilon > 0 \quad (2.42)$$

care este de fapt distanța $d(x, x'_a)$ definită prin (2.39). În continuare se arată că șirul x'_{an} este un șir de funcții complete în sensul convergenței în medie, care are asigurată condiția de completitudine, condiție care asigură convergența și, în același timp, conformitatea soluțiilor. În cazul formulării variaționale a metodei elementelor finite completitudinea șirului de funcții x'_{an} este în energie, spațiul Hilbert al câmpurilor structurale X și X' fiind un spațiu energetic.

Aceasta ar constitui, expusă în principiu, analiza de convergență a soluțiilor aproximative $x'_a \in X'$ către soluția exactă $x \in X$ în perimetrul analizei funcționale. În cele ce urmează se prezintă un criteriu de convergență simplificat.

Se afirmă și se demonstrează că relația de convergență între $x'_a \in X'$ și $x \in X$ este de forma următoare:

$$d(x, x'_a) \leq d(x_a, x'_a) + \sqrt{|\delta_x \tilde{J}| + |\delta_a \tilde{J}|} \quad (2.43)$$

în care

$$\delta_x \tilde{J} = \tilde{J}(x') - \tilde{J}(x) \quad (2.44)$$

$$\delta_a \tilde{J} = \tilde{J}(x'_a) - \tilde{J}(x_a) \quad (2.45)$$

iar x_a este izocondiționat în raport cu x astfel încît

$$x'_a = L(x_a) \quad (2.46)$$

Dacă x minimizează funcționala \tilde{J} pe Z se poate scrie că

$$\tilde{J}(x) \leq \tilde{J}(x_a) \quad (2.47)$$

Pe de altă parte, dacă x'_a este aproximația lui x în X' , x'_a minimizează funcționala \tilde{J} pe Z' , adică :

$$\tilde{J}(x'_a) \leq \tilde{J}(x') \quad (2.48)$$

Înlocuind acum (2.44) și (2.45) în relația precedentă rezultă

$$\tilde{J}(x_a) + \delta_x \tilde{J} - \delta_a \tilde{J} \leq \tilde{J}(x) \quad (2.49)$$

Din (2.47) și (2.49) se obține

$$\tilde{J}(x_a) + \delta_x \tilde{J} - \delta_a \tilde{J} \leq \tilde{J}(x) \leq \tilde{J}(x_a) \quad (2.50)$$

de unde rezultă că

$$\tilde{J}(x_a) - \tilde{J}(x) \leq |\delta_x \tilde{J}| + |\delta_a \tilde{J}| \quad (2.51)$$

Totodată, relația (2.50) conduce la

$$d^2(x, x_a) = \tilde{\Pi}(x_a) - \tilde{\Pi}(x), \quad (2.52)$$

care se înlocuiește în (2.51) rezultînd

$$d(x, x_a) \leq \sqrt{|\delta_x \tilde{\Pi}| + |\delta_a \tilde{\Pi}|}, \quad (2.53)$$

ceea ce, în final, printr-o inegalitate triunghiulară conduce la inegalitatea de definiție (2.43).

Pentru exemplificare se aplică criteriul de convergență prezentat în cazul metodei Ritz, în cazul căreia $Z' \subset X$. Această înseamnă că x și x_a' sînt izocondiționate în raport cu x și x_a . Atunci, dacă $x_a' \subset Z$, rezultă că $x_a = x_a'$ și din (2.40) rezultă

$$d(x, x_a') \leq \sqrt{|\delta_x \tilde{\Pi}|}. \quad (2.54)$$

Pe de altă parte dacă x este izocondiționat în raport cu x' din (2.50) rezultă că

$$d^2(x, x') = \tilde{\Pi}(x') - \tilde{\Pi}(x) = \delta_x \tilde{\Pi}, \quad (2.55)$$

astfel încît (2.54) devine

$$d(x, x_a') \leq d(x, x') \quad (2.56)$$

Interpretarea relației (2.56) conduce la concluzia că eroarea de aproximare este mărginită superior de eroarea de interpolare. Rezultă de aici că metoda Ritz, care este la originea metodei elementelor finite, implică prin însăși structura ei convergența. Acest lucru este de fapt demonstrat pe baza teoremelor analizei funcționale, reafirmarea sa prin rezultatul obținut anterior fiind de natură să confirme și să întărească criteriul de convergență prezentat.

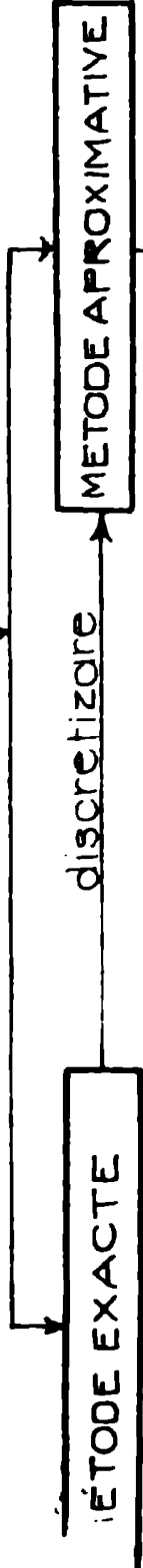
Pe baza criteriului de convergență prezentat problema convergenței soluțiilor furnizate de modelul de calcul aproximativ către soluțiile exacte se rezolvă în două etape importante :

- (1) Determinarea cîmpului soluțiilor aproximative x_a izocondiționate în raport cu x și stabilite pe baza unor funcții de interpolare a soluției exacte ;
- (2) Evaluarea ordinului variației $\delta \tilde{\Pi}$ a funcționalei asociate și a erorii de interpolare, atît pentru modelul de calcul exact cît și pentru cel aproximativ.

Evident, că schema de analiză a convergenței prezentată în acest paragraf nu epuizează nici pe departe aspectele legate de această problemă. Astfel, dacă se face referire numai la metoda elementelor finite trebuie arătat că problema preciziei și a convergenței metodei a preocupat și preocupă un număr mare de cercetători.

În prezent se caută noi căi de abordare a acestei probleme, care fie să înlocuiască criteriul convergenței monotone acceptat la începuturile metodei /183/, /186/, fie să determine erorile introduse de diversele tipuri de elemente și, prin urmare, precizia acestora. Din acest punct de vedere încadrarea teoriei mate-

METODE DE ANALIZĂ A STRUCTURILOR



- integrale particulare
- separarea variabil.
- integrare prin părți
- transformări Fourier
- transformări Laplace
- funcții generalizate

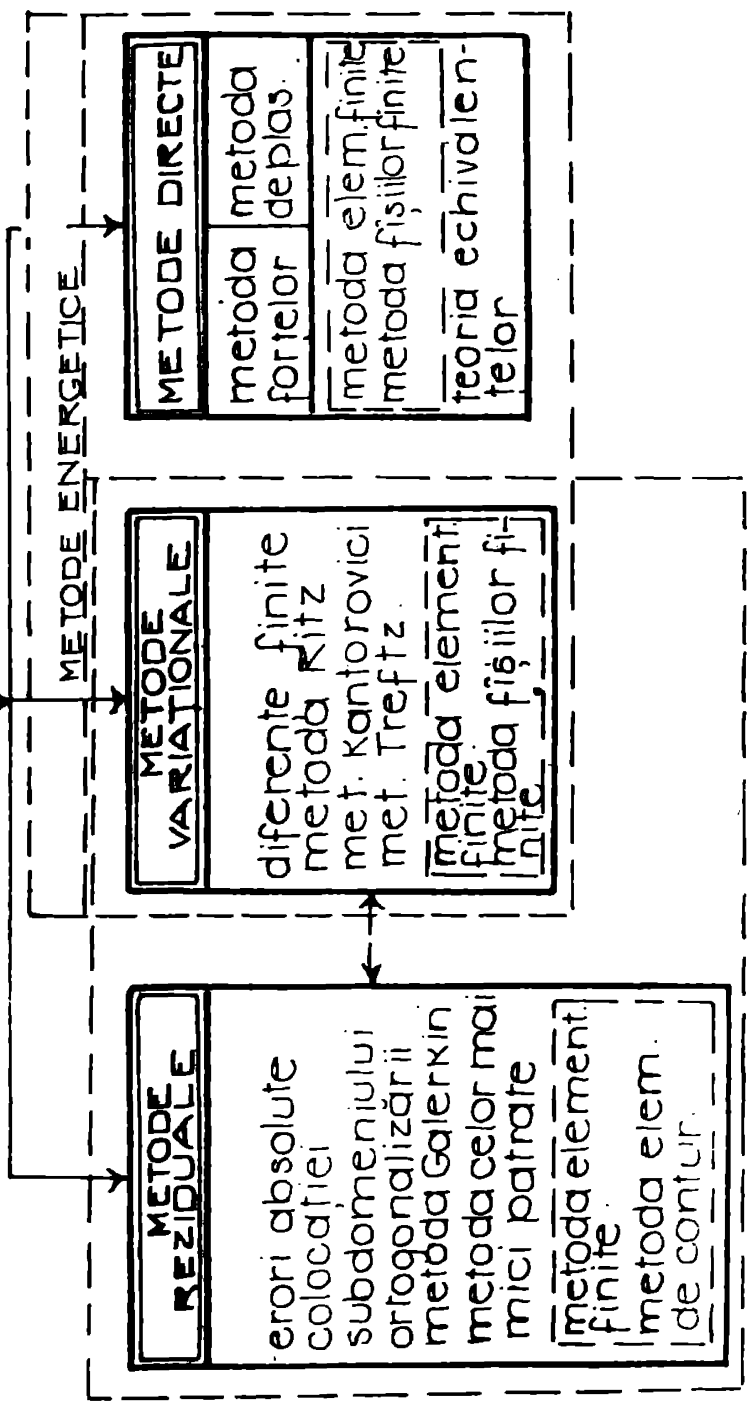


Fig. 2.5

matice a structurilor în perimetrul analizei funcționale este de natură să asigure suportul teoretic necesar.

2.7. CLASIFICAREA METODELOR DE CALCUL

În general modelele de calcul aproximative în cadrul cărora au fost elaborate metodele de calcul din mecanica structurilor sînt modele de calcul discrete - discretizare matematică sau fizică. Abordarea pe această cale are avantajul că permite formularea matriceală a problemelor, condiție absolut necesară atunci cînd se elaborează algoritmele programelor de calcul automat. Sînt cunoscute însă și metode aproximative continue, un exemplu bine cunoscut în acest sens fiind rezolvarea problemei încovoierii plăcilor curbe subțiri în cadrul teoriei de membrană; evident că și în acest caz analiza de convergență este necesară. Există și situații în care modelul discret se aproximează printr-un model continuu echivalent, spre exemplu în cazul structurilor reticulate.

Este dificil deci de stabilit un criteriu care să permită o clasificare exhaustivă a metodelor de calcul din mecanica structurilor. Acestea se vor împărți, în conformitate cu teoria matematică a structurilor formulată în acest capitol, în metode exacte și aproximative. Dintre metodele aproximative se vor menționa numai acelea care pot fi formulate și pe cale matriceală, întrucît în prezent nu se mai poate concepe o abordare competitivă a problemelor de analiză a structurilor astfel decît prin intermediul calculului automat.

Metodele exacte se folosesc la calculul structurilor în anumite cazuri particulare de acțiuni și geometrie a structurii. Numărul problemelor care pot fi rezolvate cu metode analitice exacte este redus și la ora actuală, sînt cunoscute. O dezvoltare de dată mai recentă o constituie metoda funcțiilor generalizate care permite abordarea formal continuă a problemelor sistemelor discrete sau discontinue cu singularități prin intermediul teoriei distribuțiilor.

Dintre metodele aproximative se rețin doar trei grupuri de metode: metodele matriciale directe care au la bază teoremele lucrului mecanic virtual, metodele variaționale și metodele reziduale.

În figura 2.5 se prezintă schematic o clasificare de principiu a acestor metode.

2.8. CONCLUZII

Teoria matematică a structurilor constituie un cadru general pentru formularea problemelor din mecanica structurilor, un suport teoretic pentru dezvoltarea modelelor și metodelor numerice de calcul. Parte integrantă a analizei funcționale, domeniu al matematicii aflat în continuă evoluție, teoria matematică a structurilor își are direcțiile sale proprii de dezvoltare, cu implicații directe și importante în rezolvarea problemelor ingineresti din mecanica structurilor.

Ca ramură a analizei funcționale, teoria matematică a structurilor a constituit și constituie preocuparea unor cercetători de prestigiu, matematicieni și ingineri, deopotrivă /36/, /47/. Sînt cunoscute în acest sens lucrările de pionierat ale lui Prager, Synge și Mikhlin, iar mai recent, ale lui Washizu, Oden /153/ și Oliveira /157/. La noi în țară merită a fi subliniată lucrarea lui Mazilu și Zburlan /143/.

Ca disciplină , în același timp matematică și inginerescă, teoria matematică a structurilor este o știință interdisciplinară, cu proprietăți intrinseci de dezvoltare.

C A P I T O L U L III

FORMULAREA PROBLEMELOR DIN MECANICA STRUCTURILOR IN

CADRUL TEORIEI REZIDUURILOR PONDERATE /56/, /68/.

3.1. GENERALITATI

Idea acestui capitol este de a prezenta un model matematic aproximativ generalizat pe baza căruia se pot elabora și formula unitar principalele metode de calcul numeric utilizate în mecanica mediilor continue și, în particular, în mecanica structurilor. Acest model matematic este furnizat de teoria reziduurilor ponderate (TRP).

Metodele energetice variaționale (MEV) folosesc teoremele (principiile) variaționale energetice și ale lucrului mecanic virtual care poate fi interpretat ca o măsură a energiei. Pornind de la aceste teoreme energetice - teorema energiei potențiale minime (în funcție de deplasări), teorema energiei complementare minime (în funcție de tensiuni), teorema Hellinger-Reissner (formulare mixtă cu deplasări și tensiuni), teorema lui Hamilton în cazul acțiunilor dinamice, etc - în baza principiului lucrului mecanic virtual se stabilesc funcțional de energie (fig.2.3) cărora li se determină valoarea staționară (se minimizează) folosind legile calculului variațional.

Sînt situații cînd problemele din fizică nu pot fi reprezentate printr-o funcțională, ele fiind modelate matematic însă prin ecuații diferențiale liniare sau neliniare. Prin intermediul metodei reziduurilor ponderate ecuațiile diferențiale sînt transformate în forme variaționale integrale echivalente. Din acest punct de vedere, metoda reziduurilor ponderate (MRP) permite extinderea formulărilor de tip variațional, în urma minimizării reziduuului rezultînd ecuații asemănătoare sau chiar identice cu cele determinate prin teoremele variaționale energetice.

Metoda reziduurilor ponderate are avantajul că permite formularea unitară a principalelor metode numerice utilizate în prezent în mecanica structurilor: metoda diferențelor finite (MDF), metoda elementelor finite (MEF) și metoda elementelor de contur (MEC) și, ceea ce este mai important, pe această bază, crează posibilitatea cuplării avantajoase a acestor metode în rezolvarea problemelor complexe.

În figura 3.1 se prezintă într-o schemă de principiu etapele de bază în rezolvarea problemelor prin T.R.P.

O detaliere a acestei scheme s-a prezentat în fig.2.4 din capitolul II.

3.2. METODA REZIDUURILOR PONDERATE

3.2.1. Reziduuri și forme integrale /19/, /45/, /46/.

Se consideră un sistem fizic continuu guvernat de un sistem de ecuații diferențiale cu derivate parțiale de ordinul m - liniare sau neliniare - de forma (2.2) la care se atașează condițiile la limită (2.4). Variabilele sistemului sînt funcții de coordonate. Soluțiile sistemului trebuie să satisfacă simultan (2.2) și (2.4).

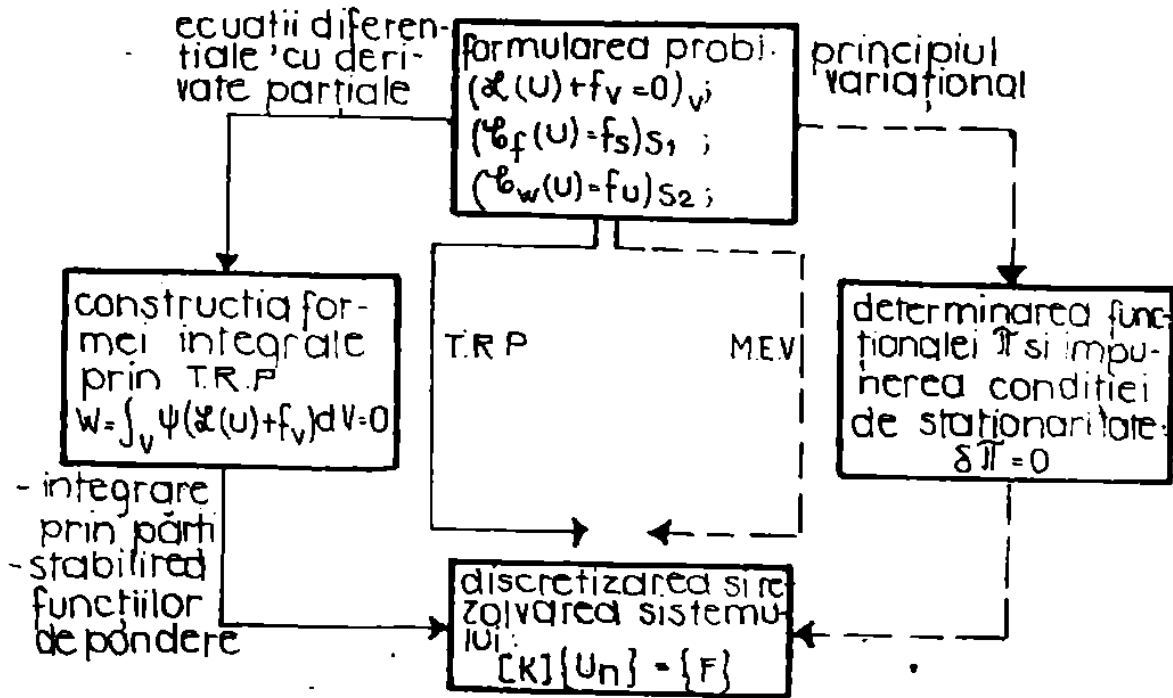


fig.3.1

Funcția reziduu se definește prin relația

$$R(u) = \mathcal{L}(u) + f_v \quad (3.1)$$

Metoda reziduurilor ponderate constă în determinarea funcțiilor u care satisfac următoarea ecuație integrală

$$W(u) = \int_V \langle \psi \rangle \{R(u)\} dV = \int_V \langle \psi \rangle \{ \mathcal{L}(u) + f_v \} dV = 0, \quad (3.2)$$

în care funcțiile de pondere ψ - se mai numesc funcții de corecție sau de interpolare - aparțin unei mulțimi E_ψ și se aleg astfel încât ecuația (3.2) să fie verificată simultan cu verificarea condițiilor la limită (2.4) de către soluțiile aproximative u . Se afirmă, în acest caz, că soluțiile u aparțin unei mulțimi admisibile E_u care este izocompatibilă în raport cu sistemul fizic guvernat de ecuațiile (2.2) și (2.4). Precizia soluției u depinde de alegerea funcțiilor de pondere ψ . Dacă, spre exemplu, E_ψ este o mulțime completă a funcțiilor lui Dirac, $\delta(x)$, pe domeniul V , atunci soluția u a ecuației (3.1) va fi soluție și pentru (2.2) și reziduuul $R(u)$ va fi identic nul în toate punctele $x \in V$; dacă E_ψ este o mulțime finită, funcția u care satisface ecuația (3.1) este, în general, soluție aproximativă pentru (2.2), ceea ce înseamnă că această ecuație nu va fi satisfăcută în toate punctele domeniului V .

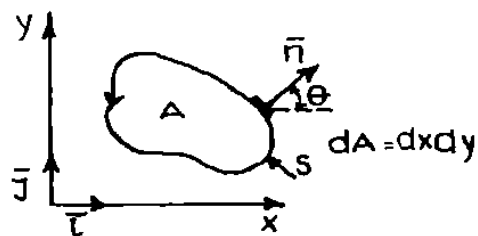
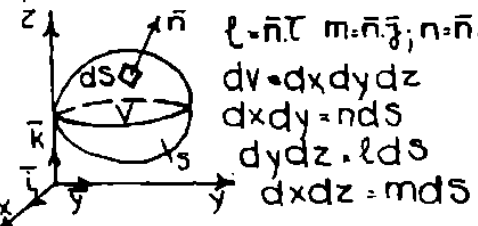
3.2.2. Transformări integrale.

3.2.2.1. Integrarea prin părți.

Procedeeul integrării prin părți se prezintă în continuare.

Pentru problemele uni-, bi-, și tridimensionale relațiile de bază în integrarea prin părți sînt de forma următoare (tabelul 3.1):

tabelul 3.1

domeniul V	relații pentru integrare prin părți
1) liniar $V \equiv S \equiv x$	$\int_{x_1}^{x_2} \psi \frac{du}{dx} dx = - \int_{x_1}^{x_2} \frac{d\psi}{dx} u dx + (\psi u) \Big _{x_1}^{x_2} \quad (3.3a)$ $\int_{x_1}^{x_2} \frac{d^2u}{dx^2} dx = - \int_{x_1}^{x_2} \frac{d\psi}{dx} \frac{du}{dx} dx + \left(\psi \frac{du}{dx} \right) \Big _{x_1}^{x_2} \quad (3.3b)$
2) bidimensional $V \equiv A$  <p> $l = \bar{n} \cdot \bar{r} = \cos \theta$ $n = \bar{n} \cdot \bar{j} = \sin \theta$ $\frac{\partial}{\partial n} = l \frac{\partial}{\partial x} + m \frac{\partial}{\partial y}$ $dx = -m ds$ $dy = l ds$ </p>	$\int_A \frac{\partial u}{\partial y} dx dy = - \int_A \frac{\partial \psi}{\partial y} u dx dy - \oint_S \psi u dx =$ $= - \int_A \frac{\partial \psi}{\partial y} u dx dy + \oint_S \psi u m ds \quad (3.4)$ $\int_A \frac{\partial u}{\partial x} dx dy = - \int_A \frac{\partial \psi}{\partial x} u dx dy + \oint_S \psi u l ds$ $\int_A \psi \frac{\partial^2 u}{\partial x^2} dx dy = - \int_A \frac{\partial \psi}{\partial x} \frac{\partial u}{\partial x} dx dy + \oint_S \psi \frac{\partial u}{\partial x} dx dy$ $\int_A (\psi \Delta u - u \Delta \psi) = \oint_S (\psi \frac{\partial u}{\partial n} - u \frac{\partial \psi}{\partial n}) ds \quad (3.5)$
3) tridimensional  <p> $l = \bar{n} \cdot \bar{i} \quad m = \bar{n} \cdot \bar{j}; \quad n = \bar{n} \cdot \bar{k}$ $dv = dx dy dz$ $dx dy = n ds$ $dy dz = l ds$ $dx dz = m ds$ </p>	$\int_V \psi \frac{\partial u}{\partial x} dx dy dz = - \int_V \frac{\partial \psi}{\partial x} u dx dy dz +$ $+ \int_S \psi u l ds \quad (3.6)$ $\frac{\partial}{\partial n} = l \frac{\partial}{\partial x} + m \frac{\partial}{\partial y} + n \frac{\partial}{\partial z}$

În urma integrării prin părți o formă integrală dată trece într-o așa numită formă integrală slabă. Dacă este necesar, procesul de integrare prin părți se poate aplica succesiv pînă se ajunge la forma integrală dorită. Aceasta are următoarele avantaje :

- ordinul derivatelor de ordin superior ale lui u se reduc, fapt care conduce la relaxarea condițiilor de continuitate necesare pentru asigurarea convergenței. Acest efect, deosebit de important, se referă la soluțiile u admisibile ale sistemului guvernate de (2.2) și (2.4) ;
- unele condiții de margine, care apar în integrala slabă, nu mai trebuie să fie identic satisfăcute de u .

Pe de altă parte, integrarea prin părți introduce derivatele funcțiilor de pondere ψ , pentru care condițiile de continuitate sînt mai drastice decît pentru u .

Se examinează în cele ce urmează efectul integrării prin părți asupra ecuației lui Poisson :

$$\frac{\partial^2 u}{\partial x^2} + \frac{\partial^2 u}{\partial y^2} + f_V = 0, \text{ pe } V \quad (3.7)$$

cu următoarele condiții la limită :

- de tip Dirichlet , în u

$$u|_{S_2} = u_s ; \quad u_2 \in C_s \quad (3.8)$$

- de tip Cauchy, în $\frac{\partial u}{\partial n}$

$$\frac{\partial u}{\partial n} + \alpha u \Big|_{S_1} = f_s ; \quad S_2 = S - S_1 \quad (3.9)$$

Dacă $\alpha = 0$ aceste condiții vor fi de tip Neuman.

Se pot rescrie în formulare matriceală ecuațiile de guvernare (2.2) și condițiile la limită (2.4).

$$\begin{aligned} [\mathcal{L}]\{u\} + \{f_v\} = 0, \text{ pe } V & \left[\left[\frac{\partial}{\partial x^2} + \frac{\partial}{\partial y^2} \right] \{u\} + \{f_v\} = 0 \right. \\ [\mathcal{L}_f]\{u\} = \{f_s\} = 0, \text{ pe } S_1 & \left. \left[\frac{\partial}{\partial n} + \alpha \right] \{u\} + \{f_s\} = 0 \right. \\ [\mathcal{L}_u]\{u\} = \{f_u\} = 0, \text{ pe } S_2 & \left. \left[1 \right] \{u\} = \{u_s\} \right] \end{aligned}$$

Forma integrală caracteristică ecuației lui Poisson este

$$W = \int_V \psi(x,y) \left(\frac{\partial^2 u}{\partial x^2} + \frac{\partial^2 u}{\partial y^2} + f_v \right) dv = 0, \quad (3.10)$$

în care u este o funcție de două ori diferentiabilă ce trebuie să satisfacă condițiile (3.8) și (3.9).

După integrare prin părți (3.10) devine

$$W = - \int_V \left(\frac{\partial \psi}{\partial x} \frac{\partial u}{\partial x} + \frac{\partial \psi}{\partial y} \frac{\partial u}{\partial y} - \psi f_v \right) dv + \int_{S_1} \psi \frac{\partial u}{\partial n} dS + \int_{S_2} \psi \frac{\partial u}{\partial n} dS = 0 \quad (3.11)$$

în care funcțiile u și ψ trebuie să fie o dată diferentiabile.

Tinând seama de (3.8) și eliminând integrala de contur pe S_2 prin alegerea adecvată a funcțiilor de pondere, $\psi|_{S_2} = 0$, rezultă:

$$W = - \int_V \left(\frac{\partial \psi}{\partial x} \frac{\partial u}{\partial x} + \frac{\partial \psi}{\partial y} \frac{\partial u}{\partial y} - \psi f_v \right) dv + \int_{S_1} \psi (f_s - \alpha u) dS = 0 \quad (3.12)$$

în care u și ψ trebuie să satisfacă următoarele condiții la limită

$$u|_{S_2} = u_s ; \quad \psi|_{S_2} = 0 \quad (3.13)$$

după două integrări prin părți (3.10) devine

$$W = \int_V \left(\left(\frac{\partial^2 \psi}{\partial x^2} + \frac{\partial^2 \psi}{\partial y^2} \right) u + \psi f_v \right) dV + \oint_S \left(\psi \frac{\partial u}{\partial n} - \frac{\partial \psi}{\partial n} u \right) dS = 0 \quad (3.14)$$

Dacă se aleg funcțiile de pondere ψ astfel încît

$$\frac{\partial^2 \psi}{\partial x^2} + \frac{\partial^2 \psi}{\partial y^2} = 0, \quad \forall (x, y) \in V \text{ și } f_v = 0$$

din (3.14) se elimină integrala de volum (sau suprafață)

$$W = \oint_S \left(\psi \frac{\partial u}{\partial n} - \frac{\partial \psi}{\partial n} u \right) dS = 0 \quad (3.15)$$

Acest ultim proces, de înlocuire a integralei pe domeniu cu integrala pe frontiera domeniului, stă la baza metodei elementelor de contur (MEC).

Pentru o problemă descrisă de un sistem de ecuații cu derivate parțiale (2.2) de ordinul m , cu forma integrală atașată (3.2) funcțiile admisibile u trebuie să fie derivabile de m ori și să satisfacă condițiile la limită. După integrare prin părți condițiile de admisibilitate pentru u și ψ sînt următoarele :

- u trebuie să fie de $m-s$ diferențiabile ;
- ψ trebuie să fie de s ori diferențiabile ;
- u trebuie să satisfacă numai acele condiții la limită care conțin derivatele de ordin mai mare decît $m-s-1$;
- ψ trebuie să fie nule pe porțiunea de contur pe care u satisfacă condițiile la limită care au mai rămas.

3.2.2.2. Construirea formelor integrale adiționale.

M.R.P. se aplică direct ecuațiilor (2.6) și (2.7) rezultînd o formă integrală adițională.

$$W_r = \int_V \langle \psi_u \rangle \{ \mathcal{L}_e(q) - f_v \} dV + \int_V \langle \psi_q \rangle \{ \mathcal{L}_c(q, u) \} dV = 0 \quad (3.16)$$

Dacă funcțiile de pondere ψ_u și ψ_q sînt independente (3.16) se descompune și rezultă

$$\begin{aligned} \int_V \langle \psi_u \rangle \{ \mathcal{L}_e(q) - f_v \} dV &= 0 \\ \int_V \langle \psi_q \rangle \{ \mathcal{L}_c(q, u) \} dV &= 0, \end{aligned} \quad (3.17 \text{ a și b})$$

în care u și q satisfacă condițiile de limită pe S_1 și S_2 .

3.2.3. Funcționale

Se poate demonstra că MRP este echivalentă cu minimizarea unei funcționale în anumite cazuri. În mecanica structurilor această funcțională este energia potențială totală a sistemului mecanic. Aceasta conduce la o formulare integrală direct din condiția de staționaritate pusă funcționalei. Acest mod de rezolvare este preferabil atun-

ci cînd expresia energiei potențiale totale este ușor de stabilit.

Se poate, deci, ca pentru unele probleme guvernate de ecuațiile (2.2) și (2.4) să se construiască o funcțională de forma :

$$\tilde{\mathcal{I}} = \tilde{\mathcal{I}}\left(u, \frac{\partial u}{\partial x}, \dots\right) \quad (3.18)$$

astfel încît

$$\delta \tilde{\mathcal{I}} \equiv W = 0, \quad (3.19)$$

în care W este o integrală particulară în care funcțiile ponderate ψ se aleg egale cu δu . Rezultă :

$$W = \int_V \langle \delta u \rangle \{ \mathcal{L}(u) + f_v \} dV = 0 \quad (3.20)$$

dacă

- \mathcal{L} și \mathcal{C} sînt operatori liniari cu toate derivatele de ordin par ;
- f_s și f_u sînt independente de u .

Dacă ecuației (3.20), se atașează condițiile (2.2) separate pe S_1 și S_2 se obține:

$$W(u) = \int_V \langle \psi \rangle \{ \mathcal{L}(u) + f_v \} dV = 0, \text{ pentru orice } \psi \quad (3.21)$$

$$\mathcal{C}_f(u) \Big|_{S_1} = f_s ; \mathcal{C}_u(u) \Big|_{S_2} = f_u \quad (3.22 \text{ a și b})$$

Alegînd funcțiile de pondere $\psi = \delta u$ și integrînd prin părți se poate construi o funcțională $\tilde{\mathcal{I}}$ care este staționară (minimizată) pentru o soluție u

$$\delta \tilde{\mathcal{I}}(u) \equiv W(u) = 0 \quad (3.23)$$

$$\mathcal{C}_u(u) \Big|_{S_2} = f_u \quad (3.24)$$

Principiul de staționaritate (variațional) se enunță în felul următor :

Dintre toate funcțiile admisibile u , care satisfac condițiile de derivabilitate și la limită pe S_2 , acelea care satisfac ecuația (2.2) și condițiile (3.22 a) fac funcționala $\tilde{\mathcal{I}}$ staționară.

Prin introducerea unor variabile adiționale q , de natură fizică, ca funcții necunoscute ale problemei, concomitent cu relaxarea condițiilor de continuitate pentru funcțiile admisibile u se poate construi o nouă funcțională generalizată $\tilde{\mathcal{I}}^*$ obținîndu-se astfel o problemă de extrem cu legături care se rezolvă prin metoda multiplicatorilor lui Lagrange.

$$\tilde{\mathcal{I}}^*(u, q, \lambda) = \tilde{\mathcal{I}}_1(u, q) + \int_V (\lambda_1 g_1(u, q) + \lambda_2 g_2(u, q) + \dots + \lambda_m g_m(u, q)) dV \quad (3.25)$$

cu condițiile :

$$g_i(u, q) = 0 \text{ pe } V ; \quad i = 1, 2, \dots, m \quad (3.26)$$

unde prin λ s-au notat multiplicatorii lui Lagrange. Condițiile de staționaritate pentru \mathcal{P}^* includ condițiile (3.26)

$$\frac{\partial \mathcal{P}^*}{\partial u} = 0 ; \quad \frac{\partial \mathcal{P}^*}{\partial q} = 0 ; \quad \frac{\partial \mathcal{P}^*}{\partial \lambda_i} = g_i = 0 ; \quad i = 1, 2, \dots, m \quad (3.27)$$

Se poate construi o funcțională mixtă \mathcal{P}_r prin eliminarea multiplicatorilor lui Lagrange din \mathcal{P}^* cu ajutorul condițiilor (3.27). În mecanica structurilor funcționala mixtă este funcționala Hellinger-Reissner.

Dacă valorile funcțiilor u sînt cunoscute pe S_2 și se impun condiții la limită numai pe S_1 (condiții de tip Neuman) se obține funcționala complementară \mathcal{P}_c , care în mecanica structurilor este energia complementară. În figura (2.3) s-a pus în evidență legătura între cele patru tipuri de funcționale \mathcal{P} , \mathcal{P}^* , \mathcal{P}_r și \mathcal{P}_c și interpretarea lor în mecanica structurilor.

3.2.4. Discretizarea formelor integrale.

3.2.4.1. Soluții aproximative.

Un model matematic a unui sistem fizic implică determinarea unui număr de variabile și funcții $u(x)$ reprezentînd deformații, temperaturi, viteze, etc., x fiind funcții de coordonate $x(x, y, z)$ definite în punctele domeniului. Dacă $u(x)$ este o aproximare a soluției exacte funcția eroare $e(x)$ este dată de relația

$$e(x) = u(x) - u_{ex}(x) \quad (3.28)$$

Pentru construirea unei soluții aproximative este suficient să se scrie o expresie care să conțină n parametri de aproximare

$$u(x) = u(x, a_1, a_2, \dots, a_n) \quad (3.29)$$

și să se determine acești parametri pe baza relației (3.28) și a unui criteriu de convergență adecvat.

Aproximarea poate fi nodală sau ne-nodală, respectiv:

$$u(x) = \langle N_1(x) N_2(x) \dots N_n(x) \rangle \begin{Bmatrix} u_1 \\ u_2 \\ \vdots \\ u_n \end{Bmatrix} = \langle N \rangle \{ u_n \} ; \quad (3.30)$$

$$u(x) = \langle p_1(x) p_2(x) \dots p_n(x) \rangle \begin{Bmatrix} a_1 \\ a_2 \\ \vdots \\ a_n \end{Bmatrix} = \langle P \rangle \{ a \} , \quad (3.31)$$

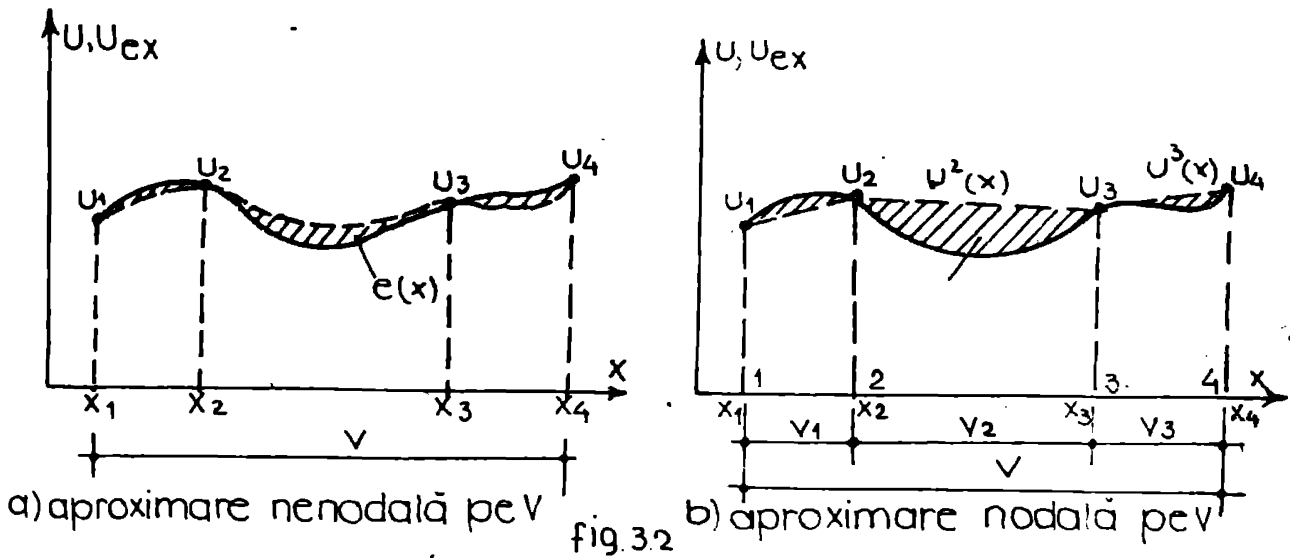
În aceste relații :

a_i sînt parametrii generalizați ai aproximării, care nu au o interpretare fizică concretă ;

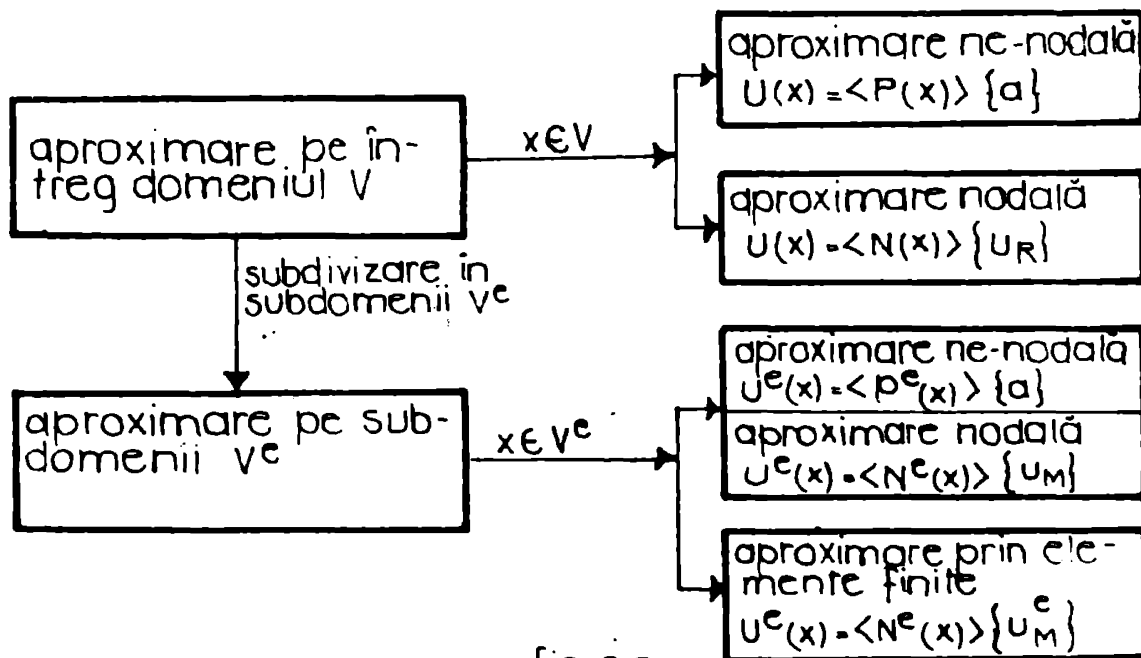
- u_i sînt parametrii nodali cu o interpretare fizică concretă ;
- $p(x)$ reprezintă funcțiile de bază ale aproximării și sînt seturi de funcții complete în sens matematic ;
- $N(x)$ reprezintă funcțiile de interpolare.

Soluțiile aproximative $u(x)$ pot fi definite pe întreg domeniul V sau pe subdomenii elementare $V^e \subset V$. (fig.3.2)

În MEF, spre exemplu, aproximarea este nodală, pe subdomenii V^e , funcțiile aproximative $u_i(x) = u^e(x_i) = u_{ex}(x_i)$ constituind variabilele nodale ale problemei.



Schematic procedurile de determinare a soluțiilor aproximative sînt prezentate în figura 3.3.



3.2.4.2. Discretizarea formei integrale.

Tinând seama de (3.29) ecuația 3.2. devine

$$W = \int_V \Psi(\mathcal{L}(u(a_1, a_2, \dots, a_n) + f_V)) dV = 0 \quad \forall \Psi \in E \Psi \quad (3.32)$$

Dacă se aleg n funcții de pondere Ψ independente (3.32) devine un sistem de n ecuații cu n necunoscute.

$$W_i = \int_V \langle \Psi_i \rangle \{ \mathcal{L}(u(a_1, a_2, \dots, a_n) + f_V) dV, \} \quad i=1, 2, \dots, n \quad (3.33)$$

care după integrare se transformă într-un sistem de ecuații algebrice din rezolvarea căruia se determină parametrii a_i .

$$[K] \{a\} = [F] \quad (3.34)$$

Algoritmul M.R.P este redat schematic în figura 2.4.

3.2.5. Stabilirea funcțiilor de pondere.

Pentru determinarea funcțiilor de pondere se pot utiliza mai multe metode, între care, cele mai cunoscute și mai frecvent utilizate sînt următoarele: metoda cologației, metoda Galerkin și metoda celor mai mici pătrate. În figura 3.4. se prezintă schematic aceste metode.

În metoda cologației, precizia soluției depinde de numărul și poziția punctelor de cologație. Metoda conduce la sisteme de ecuații cu matricea nesimetrică. Pentru obținerea unei matrici simetrice metoda cologației se utilizează în combinație cu metoda celor mai mici pătrate. Metoda cologației dă bune rezultate în rezolvarea unor probleme neliniare.

Dintre metodele prezentate cea mai cunoscută este, însă, metoda Galerkin, ea fiind utilizată, după cum se va vedea, în formularea reziduală a metodei elementelor finite.

3.2.6. Discretizarea funcționalei.

În metoda Ritz funcțională Π se discretizează prin aproximarea soluției u printr-o relație de tip (3.31).

$$\tilde{\Pi}(u) = \tilde{\Pi}(u(a_1, a_2, \dots, a_n)) \quad (3.35)$$

asupra căreia se pune condiția de staționaritate.

$$\delta \tilde{\Pi}(u) = \frac{\partial \tilde{\Pi}}{\partial a_1} \delta a_1 + \frac{\partial \tilde{\Pi}}{\partial a_2} \delta a_2 + \dots + \frac{\partial \tilde{\Pi}}{\partial a_n} \delta a_n = 0 \quad (3.36)$$

rezultînd următorul sistem de ecuații

$$\frac{\partial \tilde{\Pi}}{\partial a_i} = 0, \quad i = 1, 2, \dots, n \quad (3.37)$$

Dacă funcționale există, prima sa variație este edentică cu o formă integrală de tip Galerkin (3.24) și

$$\delta \tilde{\Pi} = W = 0, \quad (3.19)$$

$$W = \int_V \psi R(u) dv = \int_V (\psi(x(u) + f_v)) dv = 0$$

$$\text{sau } \begin{cases} u = \langle P \rangle \{a\} \\ u = \langle N \rangle \{u\} \end{cases}$$

ALEGEREA ψ FUNCTIILOR

metoda colocatiei prin puncte

$$\begin{aligned} \psi_i(x) &= \delta(x - x_i) \\ W &= \int_V \delta(x - x_i) R(x, u) dv = \\ &= R(x_i, u) = 0 \\ W_i &= (\langle \psi(u(x, a_1, \dots, a_n)) \rangle + \\ &+ f_v)_{x = x_i} = 0 \\ W_i &= \langle \langle P \rangle \{a\} + f_v \rangle_{x = x_i} = 0 \\ i &= 1, 2, \dots, n \end{aligned}$$

metoda colocatiei pe subdomenii

$$\begin{aligned} \psi_i & \text{ constant pe sub-} \\ & \text{domenii } V_i \\ \psi_i &= \begin{cases} 1, & x \in V_i \\ 0, & x \notin V_i \end{cases} \\ W_i &= \int_{V_i} (\langle \psi(P) \rangle \{a\} + f_v) dv = \\ &= 0 \\ i &= 1, 2, \dots, n \end{aligned}$$

metoda Galerkin

$$\begin{aligned} \psi \cdot \delta u &= \langle P \rangle \{ \delta a \} \\ \text{sau} \\ \psi &= \delta u \cdot \langle N \rangle \{ \delta u \} \\ W &= \int_V \delta u (\langle \psi(u) + f_v \rangle) dv = 0 \\ W &= \langle \delta a \rangle \int_V \{ P \} (\langle P \rangle \{ a \}) + \\ &+ f_v) dv = 0 \\ W_i &= \int_V P_i (\langle \psi(P) \rangle \{ a \}) + \\ &+ f_v) dv = 0 \\ \text{sau} \\ W &= \langle \delta u \rangle \int_V \{ N \} (\langle \psi \rangle \{ u \}) + \\ &+ f_v) dv = 0 \\ W_i &= \int_V N_i (\langle \psi \rangle \{ u \}) + f_v) dv = 0 \end{aligned}$$

metoda celor mai mici patrate

$$\begin{aligned} \psi &= \delta \langle \psi \rangle \{ u \}; \\ \text{sau } \psi &= \langle \psi \rangle \{ \langle P \rangle \}; \\ \text{sau } \psi &= \langle \psi \rangle \{ \langle N \rangle \}; \\ \text{sau } \psi &= \sum_{i=1}^m \int_V R_i dv \\ R &= \langle \psi(P) \rangle \{ a \} + f_v; \\ \text{sau} \\ R &= \langle \psi(N) \rangle \{ u \} + f_v; \\ W &= \delta \sum_{i=1}^m (a_i, a_2, \dots, a_n) \cdot 0 \\ W_i &= \int_V \langle \psi(P_i) \rangle \{ \langle \psi(P) \rangle \{ a \} + \\ &+ f_v \} dv = 0 \quad \text{sau} \\ W_i &= \int_V \langle \psi(N_i) \rangle \{ \langle \psi(N) \rangle \{ u \} + \\ &+ f_v \} dv = 0 \\ i &= 1, 2, \dots, n \end{aligned}$$

fig. 3.4

ceea ce conduce la concluzia că soluția aproximativă obținută cu metoda Ritz este identică cu aceea obținută cu metoda Galerkin aplicată prin M.R.P. Algoritmul celor două metode de discretizare a funcționalei este prezentat în figura 3.5.

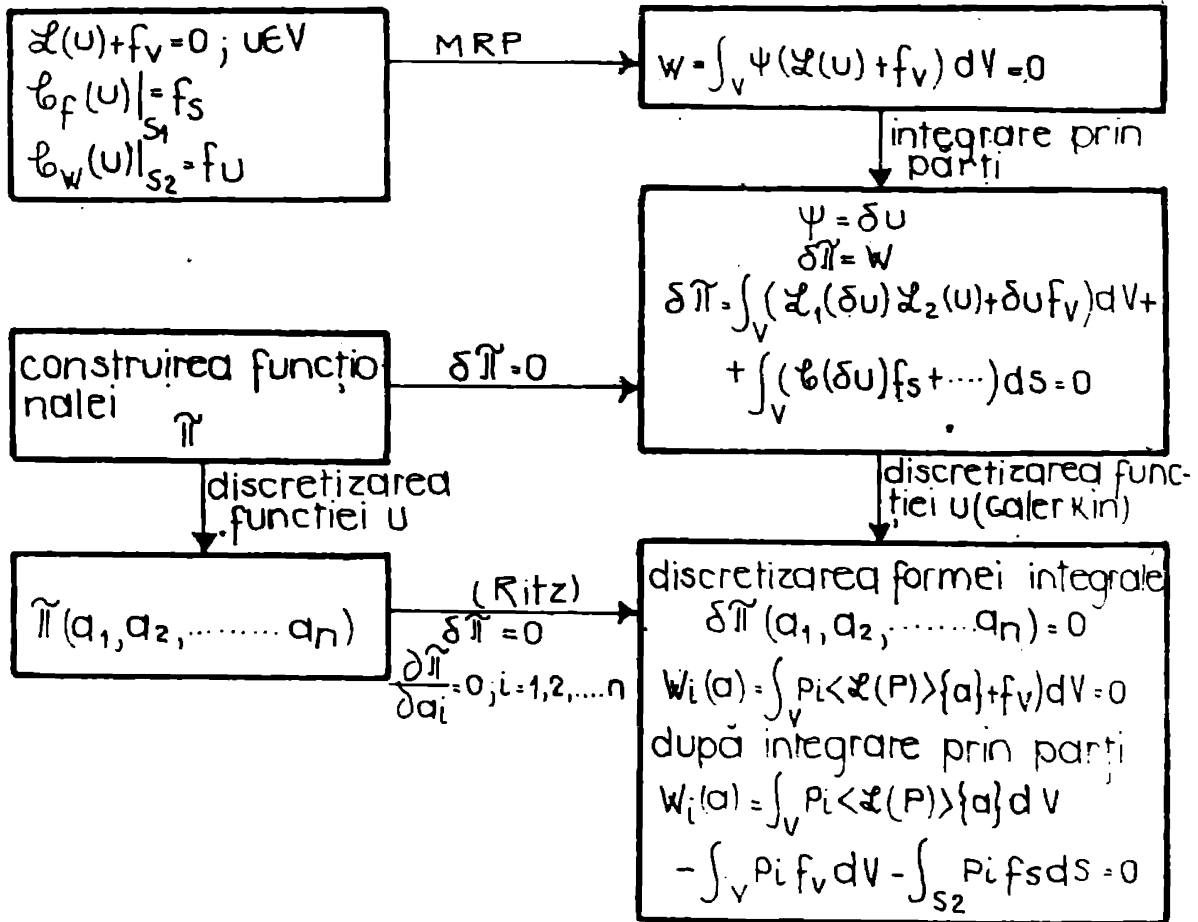


fig. 3.5

3.2.7. Proprietățile sistemului de ecuații

Indiferent de modul de alegere a funcțiilor ψ și de procedeul de discretizare utilizat se ajunge în final la rezolvarea unui sistem algebric de forma (3.34).

$$[K] \{a\} = \{F\}, \quad (3.34)$$

în care $[K] = [K_{ij}]$; $\{a\} = \{a_i\}$; $\{F\} = \{F_i\}$; $i, j = 1, 2, \dots, n$

În tabelul (3.2) se prezintă sintetic forma și proprietățile termenilor sistemului (3.34) în funcție de metoda de calcul utilizată pentru cazul cînd pentru aproximarea funcției u se folosește relația (3.31).

Pentru a aprecia eficacitatea metodelor de calcul prezentate se prezintă rezultatele obținute pe două exemple de calcul.

Exemplul nr.1.

$$L(u) + f_v = 0 : \frac{d^2 u}{dx^2} + u + x = 0$$

$$l(u) = f_s : \begin{cases} u=0 & ; & x=0 \\ u=0 & ; & x=1 \end{cases}$$

tabelul 3.2

nr. crt.	metoda de calcul	forma termenilor K_{ij} din matricea $[K]$	forma termenilor F_i din vectorul $\{F\}$	conditiile la limita pentru $U = \langle P \rangle \{a\}$	proprietățile matricei $[K]$
1	colocatiei prin puncte	$\mathcal{L}(P_j)$ în punctele $x = x_i$	$-f_v(x_i)$	pe S_1 pe S_2	nesimetrică
2	colocatiei pe subdomeniul	$\int_V v_i \mathcal{L}(P_j) dv$	$-\int_V f_v dv$	pe S_1 pe S_2	nesimetrică
3	Galerkin	$\int_V P_i \mathcal{L}(P_j) dv$	$-\int_V P_i f_v dv$	pe S_1 pe S_2	simetrică dacă \mathcal{L} este autoadjunct.
4	Galerkin, după integrare prin parti	$\int_V \langle \mathcal{L}_1(P_i) \rangle \{ \mathcal{L}_2(P_j) \} dv$	$\int_V P_i f_v dv + \int_{S_1} P_i f_s ds$	pe S_2	idem $\mathcal{L}_1 = \mathcal{L}_2$
5	cele mai mici pătrate	$\int_V \mathcal{L}(P_i) \mathcal{L}(P_j) dv$	$-\int_V \mathcal{L}(P_i) f_v dv$	pe S_1 pe S_2	simetrică și pozitiv definită
6	Ritz (dacă există funcțională)	$\int_V \langle \mathcal{L}_1(P_i) \rangle \{ \mathcal{L}_2(P_j) \} dv$	$\int_V P_i f_v dv + \int_{S_1} P_i f_s ds$	pe S_1	simetrică

Exemplul nr.2.

$$\mathcal{L}(u) + f_v = 0 : \frac{\partial^2 u}{\partial x^2} + \frac{\partial^2 u}{\partial y^2} + f = 0$$

$$b(u) = f_s : \{ u|_S = 0, S = (x = \pm 1; y = \pm 1) \}$$

Rezultatele se prezintă în tabelele 3.3. și , respectiv 3.4.

tabelul 3.3

$U = \langle P_1 P_2 \rangle \begin{Bmatrix} a_1 \\ a_2 \end{Bmatrix} = \langle P \rangle \{ a \}; \quad D_1 = x(1-x)$ $D_2 = x^2(1-x) = P_1 x$				
x	metoda de calcul			
	colocatie prin puncte $x_1 = 0,25; x_2 = 0,5$	colocatie pe subdomeniul $0 < x < 0,5; 0 < x < 1$	Galerkin și Ritz $0 \leq x \leq 1$	solutia exactă U
0,10	0,019078	0,018417	0,18853	0,018641
0,30	0,052258	0,050123	0,051162	0,051194
0,50	0,071428	0,68181	0,069444	0,069746
0,70	0,065806	0,064421	0,065504	0,065585
0,90	0,032350	0,03073	0,031146	0,030901

tabelul 3.4

$U = \langle P_1 P_2 \rangle \begin{Bmatrix} a_1 \\ a_2 \end{Bmatrix} = \langle P \rangle \{a\}; P_1 = (x^2-1)(y^2-1); P_2 = (x^2-1)(y^2-1)(x^2+y^2) = P_1(x^2+y^2)$				
Metoda de calcul (valori în centrul domeniului $V \left(\begin{matrix} x=0 \\ y=0 \end{matrix} \right)$				
colocație prin puncte	colocație pe subdomenii	Galerkin și Ritz	cele mai mici pătrate	soluția exactă
$x_1 = (0,0)$ $x_2 = (0,5,0,5)$	$V^1: [x_1(0,05); x_2(0,5,0)]$ $V^2: [x_1(0,1); x_2(1,0)]$	$\psi = \delta u = \langle P \rangle \{a\}$	$R = \langle \mathcal{L}(P) \rangle \{a\} + f_v$	serii Fourier cu 14 termeni
$a_1 = 0,2976 f$ $a_2 = 0,0476 f$ $u = 0,2976 f$	$a_1 = 0,2994 f$ $a_2 = 0,0630 f$ $u = 0,2994 f$	$a_1 = 0,2922 f$ $a_2 = 0,0592 f$ $u = 0,2922 f$	$a_1 = 0,2904 f$ $a_2 = 0,0627 f$ $u = 0,2904$	$u = 0,2947 f$

3.3. CLASIFICAREA METODELOR DE CALCUL BAZATE PE TEORIA REZIDUURILOR PONDERATE.

În funcție de modul în care se satisfac ecuațiile de guvernare (2.2) și condițiile la limită (2.4) se evidențiază trei formulări ale metodei reziduurilor ponderate.

(1) Formulara directă, în cadrul căreia soluțiile aproximative u satisfac identic condițiile (2.4) și aproximativ ecuațiile (2.2).

(2) Formulara intermediară (soluția slabă) în cadrul căreia condițiile de margine sînt parțial satisfăcute, iar ecuațiile de guvernare în mod aproximativ.

(3) Formulara inversă, care presupune satisfacerea identică a ecuațiilor (2.2) și în mod aproximativ a condițiilor la limită (2.4).

În figura (3.6) se prezintă o clasificare a metodelor de calcul care derivă din M.R.P. exemplificîndu-se cele trei formulări definite anterior prin formele integrale ale ecuației lui Poisson.

Este interesant de remarcat că trei metode numerice cu largă aplicabilitate în știință și tehnică - MEF, MEC și MDF - se pot formula în mod unitar pe baza teoriei reziduurilor ponderate.

Metoda diferențelor finite (MDF) operează cu funcții de bază diferite pentru u și ψ . Majoritatea tehnicilor de calcul cu diferențe finite se dezvoltă pe baza formulării directe a MRP, caz în care pentru funcțiile de pondere ψ se utilizează formele ale funcției $\delta(x)$ a lui Dirac. Pentru tehnicile de calcul cu diferențe finite bazate pe scheme energetice se utilizează formularea intermediară.

Metoda elementelor finite (MEF). în cadrul formulării intermediare, operează cu funcții de bază similare pentru u și ψ ceea ce conduce la obținerea matricei $[K]$ a sistemului (3.34) de formă

ECUAȚIA LUI POISSON

$$\nabla^2 u + b = 0$$

integrare prin părți:

$$\int_V \left(\frac{\partial u}{\partial x} \frac{\partial \psi}{\partial x} + b\psi \right) dv = \int_S q \psi ds$$

cu condiții la limită:

$u = \bar{u}$ pe S_1 (condiții esențiale)
 $q = \bar{q}$ pe S_2 (condiții naturale)

$$q_n = \frac{\partial u}{\partial n}$$

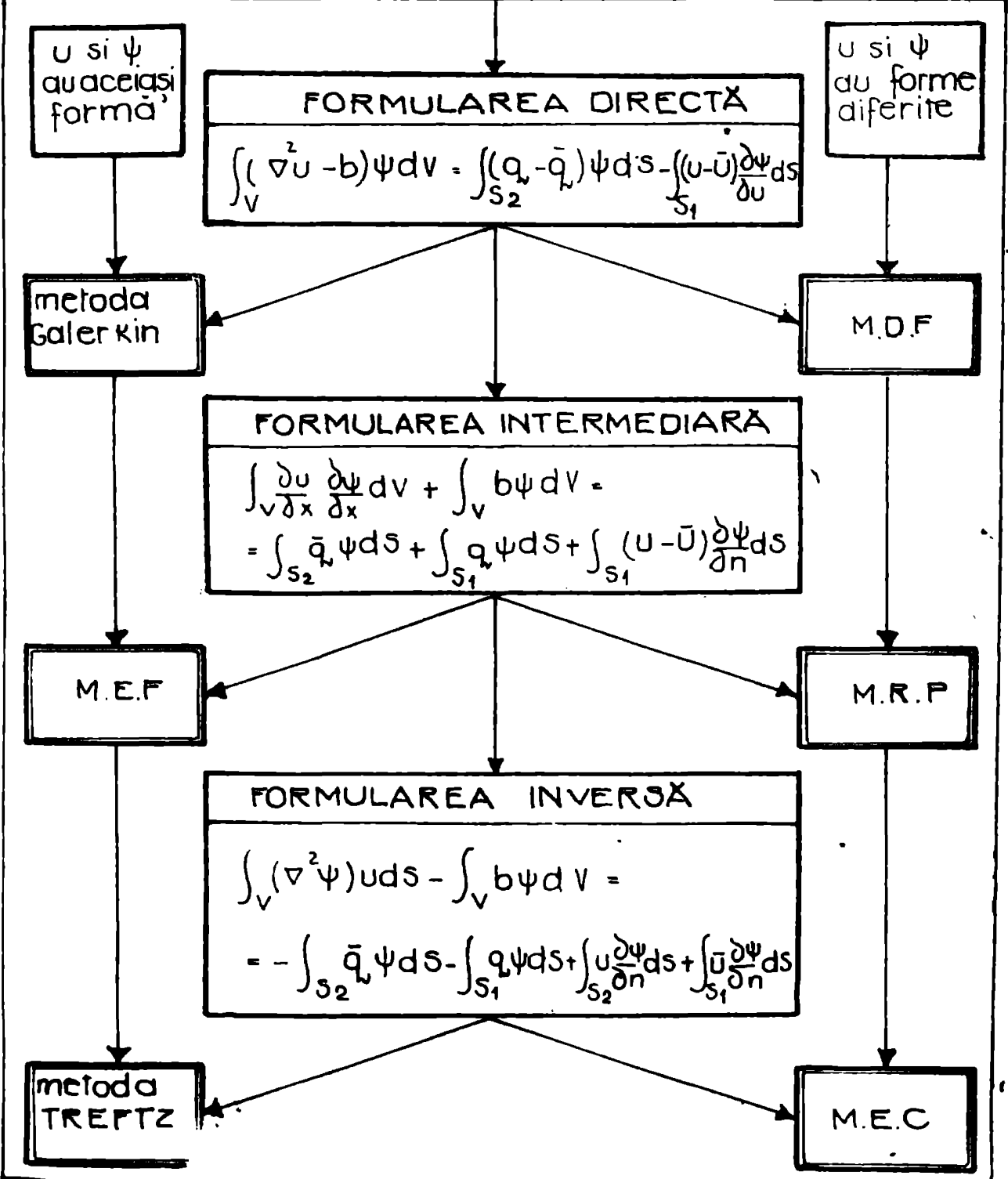


fig. 3.6

simetrică. Este marele avantaj al metodei, întrucît aceasta permite în continuare transformarea matricii $[K]$ într-o matrice bandă ceea ce crează mari facilități în rezolvarea sistemului de ecuații.

Metoda elementelor de contur (MEC), dezvoltată pe baza formulării inverse a MRP, utilizează, la fel ca MDF, funcții de bază diferite pentru u și ψ . Funcțiile ponderate ψ se aleg în asemenea manieră încît să reducă integralele pe domeniu la integrale pe frontiera domeniului (§ 3.2.2.1). Aceasta se poate obține, spre exemplu, luînd pentru ψ funcții $\delta(x)$ de tip Dirac, definite în puncte particulare de pe frontieră.

3.4. APLICAREA FORMULARII REZIDUALE ÎN MECANICA STRUCTURILOR /56/.

Ecuațiile de guvernare în mecanica structurilor sînt ecuațiile de echilibru (2.9).

$$(\mathcal{L}(u) + f_v = 0) : \sigma_{ij,j} + F_i = 0 ; \quad i,j = x,y,z.$$

cu condițiile la limită (2.20).

$$(\mathcal{L}_f(u) = f_s)_{S_1} : p_i|_{S_1} = \sigma_{ij}n_j|_{S_1} = \bar{p}_i$$

$$(\mathcal{L}_w(u) = f_v)_{S_2} : u_i|_{S_2} = \bar{u}_i$$

Forma integrală caracteristică problemelor din mecanica structurilor se scrie astfel :

$$W = \int_V (\sigma_{ij,j} + F_i) u_i^* dV = \int_{S_1} (p_i - \bar{p}_i) u_i^* dS + \int_{S_2} (\bar{u}_i - u_i) p_i^* dS \quad (3.38)$$

în care u_i^* și p_i^* reprezintă formele ponderate ale deplasărilor u_i și ale forțelor de suprafață p_i .

$$p_i^* = n_j \sigma_{ij}^* \quad (3.39)$$

Înlocuind în (3.38) în funcție de (2.10) și (2.12) se obține după integrarea prin părți

$$W = - \int_V C_{ijkl} \epsilon_{kl} \epsilon_{ij} + \int_V F_i u_i^* dV = - \int_{S_2} \bar{p}_i u_i^* dS - \int_{S_1} p_i u_i^* dS + \int_{S_1} (\bar{u}_i - u_i) p_i^* dS \quad (3.40)$$

Integrînd prin părți încă o dată primul termen din (3.40) și ținînd seama de simetria tensorului C_{ijkl} rezultă în final :

$$W = \int_V (\sigma_{ij,j}^*) u_i dV + \int_V F_i u_i^* dV = - \int_{S_2} (\bar{p}_i u_i^* - u_i p_i^*) dS - \int_{S_1} (p_i u_i^* - \bar{u}_i p_i^*) dS \quad (3.41)$$

Intrucît forțele masice se cunosc în general, cea de a doua integrală din membrul stîng al ecuației (3.41) nu introduce necunoscute. Prima integrală din membrul stîng introduce ca necunoscute deplasările u_i pe domeniul V , în timp ce integralele din membrul drept introduc ca necunoscute deplasările u_i și forțele de suprafață p_i pe frontiera S a domeniului V . Alegînd în mod convenabil funcțiile de pondere * se obțin rezolvări caracteristice metodelor de calcul numeric discutate anterior.

3.5. CONCLUZII

Tendențele actuale din mecanica structurilor conduc spre elaborarea unor algoritmi de calcul care cupleşază două și chiar trei metode de calcul diferite în rezolvarea problemelor de mare complexitate, coroborînd avantajele particulare fiecăreia și eliminîndu-le neajunsurile. Teoria reziduurilor ponderate asigură suportul matematic necesar în acest sens. Pe baza formulării reziduale se cunosc următoarele scheme de cuplare:

MEF + MEC
MEC + MDF
MFF + MEC + MDF

Posibilitatea realizării acestor scheme a fost, de altfel, demonstrată în §.3.3 și în §. 3.4.

C A P I T O L U L I V

FORMULAREA GENERALIZATA A METODEI ELEMENTELOR

FINITE /68/

4.1. GENERALITATI

Schema generală a MEF apare pentru prima dată într-o lucrare a lui Courant în anul 1943 referitoare la soluționarea problemei torsionii barelor. După formularea matriceală a calculului structurilor din bare de către Argyris în anul 1952 noțiunea de discretizare a continuului prin elemente finite este introdusă de Turner, Clough, Martin și Topp care în 1956 soluționează ecuațiile stării plane a teoriei elasticității utilizând elemente finite triunghiulare. Au urmat apoi perfecționări în ceea ce privește formularea matriceală și o utilizare extensivă a metodei în diferite variante stimulate de lucrările unor autori ca Melosh, Tocher, Przemiecki, Zienkiewicz /201/, Oden /153/, Gallager, Scordelis, Irons /112/, Pian, Cheung, Norrie și de Vries /152/, Huebner /110/, Bathe și Wilson /9/, Brebbia, iar în literatura română lucrările lui Beleş /15/, Căteanu și Marinov /30/, Avram /6/, Brăteanu /18/, Pascariu /159/ și alții.

Două motive stau la baza dezvoltării actuale MEF : pe de-o parte faptul că această metodă permite abordarea unei largi game de probleme din domeniul mecanicii mediilor deformabile, a fizicii mediilor continue și a teoriei câmpurilor, chimiei cuantice, etc., iar pe de altă parte nivelul mereu mai ridicat al tehnicii de calcul, care oferă posibilitatea ducerii calculelor pînă la nivelul de precizie dorit.

MEF cunoaște, pînă în prezent, patru procedee de formulare a ecuației fundamentale.

1. Formulara directă, derivată din mecanica structurilor pe baza metodei deplasărilor.
2. Formulara variațională, care constă în minimizarea energiei potențiale totale a solidului elastic, în baza principiului valorii staționare a energiei potențiale. Spre deosebire de procedeul direct, formulara variațională a extins aplicarea metodei și la alte categorii de probleme pentru care se poate defini o funcțională și un criteriu de staționaritate.
3. Formulara integrală pe baza teoriei reziduurilor ponderate, care permite abordarea problemelor liniare, neliniare și de valori proprii într-o exprimare unitară, cu caracter generalizat, și dă posibilitatea rezolvării unor probleme care nu pot fi caracterizate variațional.
4. Formulara pe baza bilanțului termoenergetic care, pornind de la prima lege a termodinamicii, dezvoltă considerabil gama de probleme ce pot fi investigate cu MEF.

Pornind de la ansamblul de fapte care constituie în prezent obiectul dezvoltării metodei elementului finit, în acest capitol se realizează o sistematizare și o formulare generalizată a MEF pe baza T.R.P.

4.2. METODA ELEMENTELOR FINITE

4.2.1. Ecuația fundamentală

Metoda elementelor finite constă în discretizarea formei integralei W (3.2) utilizând pentru funcțiile necunoscute u aproximații cu elemente finite în vederea transformării sistemului de ecuații integrale (3.33) într-un sistem de ecuații algebrice de forma (3.34). În /45/, /159/, /189/, /201/, sînt prezentate tehnicile de construire a funcțiilor de interpolare $N(x)$ (3.30), caracteristicile și proprietățile tipurilor de elemente finite.

Plecînd de la varianta Galerkin a formei integrale (fig.3.4 și tab.3.2) în care integrala pe domeniul V se înlocuiește cu o sumă de integrale pe subdomenii elementare V^e (elemente finite) rezultă :

$$W = \sum_{e=1}^n W^e = \sum_{e=1}^n \int_{V^e} \delta u^e (\mathcal{L}(u) + f_v) dV = 0 \quad (4.1)$$

Pentru fiecare termen W^e - numit formă integrală elementară - u și δu se înlocuiesc cu aproximații în elemente finite pe V^e :

$$\begin{aligned} u^e &= \langle N \rangle \{u_n\} \\ \delta u^e &= \langle N \rangle \{\delta u_n\} \end{aligned} \quad (4.2) \text{ a și b}$$

Matricea funcțiilor de interpolare $\langle N \rangle$ se definește astfel încît să fie nulă în afara subdomeniului V^e și să depindă de valorile nodale $\{u_n\} \in V^e$, ceea ce reduce problema la calculul pe domeniul elementar. Caracterul repetitiv al calculului matricii elementare a fost factorul care a contribuit în măsură decisivă la succesul MEF.

$$W^e = \langle \delta u_n \rangle \left(\int_{V^e} \{N\} \mathcal{L} \langle N \rangle dV \{u_n\} + \int_{V^e} \{N\} f_v dV \right) \quad (4.3)$$

În continuare, după integrarea prin părți, utilizînd exprimarea matriceală, în cazul unui sistem staționar, (4.3) devine :

$$W^e = \int_{V^e} \langle \delta(\partial u^e) \rangle [D] \{\partial u^e\} - \delta u^e f_v dV - \int_{S_1^e} du^e f_s dS, \quad (4.4)$$

în care:

$$\begin{aligned} \langle \delta u^e \rangle &= \langle u^e \frac{\partial u^e}{\partial x} \dots \frac{\partial^2 u^e}{\partial x^2} \dots \rangle \\ \langle \delta(\partial u^e) \rangle &= \langle \delta u^e \delta \left(\frac{\partial u^e}{\partial x} \right) \dots \delta \left(\frac{\partial^2 u^e}{\partial x^2} \right) \dots \rangle \end{aligned} \quad (4.5 \text{ a și b})$$

$[D]$, este o matrice pătrată independentă în raport cu u^e și derivatele acestora în cazul în care \mathcal{L} este un operator liniar. Dacă \mathcal{L} este un operator neliniar, $[D]$ este, în general, o matrice care depinde de funcțiile u^e și derivatele acestora.

f_v și f_s , sînt, respectiv, forțele masice și forțele de suprafață (în capitolul 2. F_1 și P_1).

V^e , domeniul elementar

$S_1^e = S^e - S_2^e$, porțiunea din frontiera elementară a domeniului V^e pentru care, în urma integrării prin părți rezultă integrale pe contur.

Procedeeul prezentat se exemplifică prin intermediul ecuației lui Poisson (3.7).

$$W = \sum_{e=1}^n W^e = \sum_{e=1}^n \int_{V^e} \delta u \left(\frac{\partial^2 u}{\partial x^2} + \frac{\partial^2 u}{\partial y^2} + f_v \right) dV = 0 \quad (4.6)$$

care după integrare prin părți devine :

$$W = \sum_{e=1}^n W^e = \sum_{e=1}^n \left(\int_{V^e} \langle \delta(\partial u) \rangle [D] \{ \partial u \} - \delta u f_v \right) dV - \int_{S_1^e} du (f_s - \alpha u) dS = 0 \quad (4.7)$$

în care:

$$\langle \delta(\partial u) \rangle = \left\langle \delta \left(\frac{\partial u}{\partial x} \right) \delta \left(\frac{\partial u}{\partial y} \right) \right\rangle$$

$$\langle \partial u \rangle = \left\langle \frac{\partial u}{\partial x} \quad \frac{\partial u}{\partial y} \right\rangle$$

$$[D] = \begin{bmatrix} 1 & 0 \\ 0 & 1 \end{bmatrix}$$

Se consideră subdomeniul rectangular plan V partiționat în subdomenii elementare V^e , din figura 4.1.

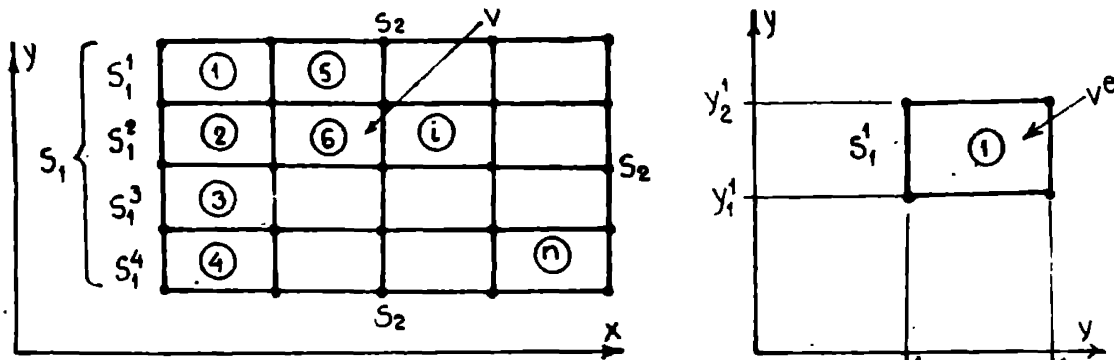


fig.4.1

Tinând seama de (4.2), (4.4) și (4.5) rezultă :

$$W^e = \langle \delta u_n \rangle \cdot ([k] \{ u_n \} - \{ f \}), \quad (4.8)$$

în care $[k]$ este matricea elementară, independentă de u_n dacă \mathcal{L} este un operator linear; $\{ f \}$ este vectorul acțiunii exterioare pe element; $\{ u_n \}$, vectorul valorilor nodale ale necunoscutelor u aferente elementului; $\{ \delta u_n \}$ prima variație a valorilor nodale elementare.

Insumând pe întreg domeniul se obține :

$$W = \sum_{e=1}^n W^e = \sum_{e=1}^n \langle \delta u_n \rangle ([K] \{u_n\} - \{f\}) = 0 \quad (4.9)$$

$$W = \langle \delta U_n \rangle ([K] \{U_n\} - \{P\}) = 0, \quad (4.10)$$

în care $[K]$ este matricea globală a sistemului ; $\{P\}$, vectorul acțiunilor exterioare ; $\{U_n\}$, vectorul valorilor nodale ale necunoscutelor u ; δU_n , o variație arbitrară a lui U_n .

Dacă (4.10) se anulează pentru variații arbitrare $\langle \delta U_n \rangle$, se obține ecuația fundamentală a MKF :

$$[K] \{U_n\} = \{P\} \quad (4.11)$$

4.2.2. Condiții de convergență .

În scopul asigurării unei convergențe monotone a soluției aproximative funcțiile aproximative u trebuie să satisfacă două condiții :

(1) Condiția de completitudine a dezvoltării polinomiale adoptate pentru funcțiile de aproximare. Dacă funcțiile u din expresia formei integrale W^e sînt de clasa C^m și funcțiile de interpolare N trebuie să fie polinoame complete de ordin cel puțin egal cu m . Astfel, spre exemplu, dacă pentru o problemă monodimensională

$$W^e = \int_{V^e} \delta \left(\frac{\partial^2 u^e}{\partial x^2} \right) \left(\frac{\partial^2 u^e}{\partial x^2} \right) dx, \quad (4.12)$$

funcțiile de interpolare vor trebui să fie polinoame complete de gradul doi, cel puțin, $N(1, x, x^2)$ sau în coordonate locale $N(1, \xi, \xi^2)$, dacă elementul este izoparametric.

(2) Condiția de compatibilitate, care reclamă continuitatea funcțiilor, aproximative u la interfața elementelor finite, ceea ce revine la a scrie că

$$W = \sum_{e=1}^n W^e \quad (4.13)$$

Compatibilitatea implică satisfacerea condițiilor de continuitate și pentru derivatele pînă la ordinul $m-1$ ale funcțiilor u prin urmare condiția de continuitate interelementară a funcțiilor u presupune ca acestea să fie de clasă C^{m-1} - pentru exemplul (4.12) funcțiile u trebuie să fie de clasă C^1 . În această situație se spune că funcțiile de aproximare - elementele finite - sînt conforme.

Dacă condițiile de continuitate nu sînt în întregime satisfăcute, elementele finite sînt non-conforme și (4.13) devine :

$$W = \sum_{e=1}^n W^e + W^d, \quad (4.14)$$

în care W^d este un termen datorat discontinuităților dintre elemente. Spluția u converge către u_{ex} dacă, și numai dacă, W^d tinde la zero cu creșterea fineței discretizării.

Este demonstrat în cadrul analizei funcționale că pentru a se asigura continuitatea funcțiilor u atât în interiorul, cât și pe conturul elementului finit, condiția necesară și suficientă constă ca în dezvoltarea polinomială adoptată pentru aproximarea funcțiilor u să fie cuprins un set complet de funcții de interpolare.

Intrucât, evident, acest set trebuie să fie finit, se pune problema care este numărul necesar pentru asigurarea completitudinii polinomului în sensul satisfacerii continuității. Pentru ca această cerință să fie îndeplinită în interiorul elementelor este suficient numai primul termen care este o constantă. Pentru a asigura însă și conformitatea lor - compatibilitatea funcțiilor u pe interfețele elementelor - mai trebuie adăugați și alți termeni. Oliveira (156), /157/ a demonstrat că, în general, pentru a fi complet, polinomul trebuie să aibe un număr de coeficienți arbitrari egali cu numărul parametrilor caracteristici ai elementelor.

Se poate afirma că, de fapt, completitudinea este suficientă prin ea însăși pentru asigurarea convergenței, implicând un același timp și conformitatea. Această concluzie conține cele trei criterii tehnice propuse de Zienkiewicz, /201/ și Bazeley /15/, cu reprezentare în mecanica structurilor.

(1) Dacă pentru anumite deplasări ale nodurilor, deformațiile specifice sînt constante în cuprinsul elementului, această situație trebuie să se regăsească și în aplicarea legii considerate.

(2) Considerîndu-se o deplasare de corp rigid dată elementului finit, din aplicarea legii trebuie să rezulte că elementul nu se deformează - adică nu sînt introduse deformații. Acest criteriu este de fapt, o consecință a primului, întrucît deplasarea de corp rigid poate fi echivalentă cu o deformație constantă nulă.

(3) Funcțiile trebuie să asigure continuitatea deplasărilor pe interfețele elementelor, pentru ca energia de deformare acumulată de acestea să fie nulă. Uneori această condiție nu este respectată (4.14), dar se pot obține, totuși, rezultate corecte dacă se respectă prima condiție deoarece la limita aceasta implică și continuitatea deplasărilor ($W^d = 0$).

Pentru cazurile în care condiția (3) nu este satisfăcută - nu este asigurată conformitatea elementelor - se procedează la efectuarea așa numitelor teste de control a convergenței (Patch tests). Acestea pot fi numerice sau variaționale. Pentru o formă integrală de tip Galerkin (3.33), testul variațional constă în verificarea relației

$$W(P_m) = \sum_{e=1}^n W^e(P_m) = 0 \quad (4.15)$$

în care $P_m(x)$ este un polinom arbitrar de ordinul m , $u = P_m(x)$.

În aceste condiții expresia integrală elementară W^e poate fi transformată, în cele mai multe cazuri, într-o integrală pe contur după efectuarea integrării prin părți.

$$\sum_{e=1}^n \int_{S^e} (\dots) dS = 0 \quad (4.16)$$

Pentru fiecare element integrala pe contur poate fi privită ca o sumă de două integrale.

$$\int_{S^e} (\dots) dS = \int_{S_C^e} (\dots) dS + \int_{S_{NC}^e} (\dots) dS, (4.17)$$

în care $S^e = S_C^e + S_{NC}^e$, S_C fiind porțiunea de contur pe care este asigurată conformitatea, iar S_{NC} porțiunea non-conformă. După asamblare, integralele pe S_C^e se anulează între ele și rămâne de verificat că

$$\int_{S_{NC}^e} (\dots) dS = 0 \quad (4.18)$$

Criteriul de analiză a convergenței prezentat în paragraful §.2.4. este perfect aplicabil în cazul de față, cu observația că pentru evaluarea ordinului de variație a funcționalei și a erorii de interpolare este uneori necesar să se apeleze la un test de control a convergenței, care poate fi de forma (4.15)

4.3. DISCRETIZAREA FORMELOR INTEGRĂLE ELEMENTARE

4.3.1. Expresia matricială a formelor integrale elementare.

În expresia (4.4) se fac înlocuirile :

$$\{\partial u\} = \begin{Bmatrix} U \\ \frac{\partial u}{\partial x} \\ \vdots \end{Bmatrix} = \begin{bmatrix} \langle N \rangle \\ \langle \frac{\partial N}{\partial x} \rangle \\ \dots \end{bmatrix} \{u_n\} = [B] \{u_n\} \quad (4.19)$$

$$\{\delta(\partial u)\} = \begin{Bmatrix} \delta u \\ \delta \left(\frac{\partial u}{\partial x} \right) \\ \vdots \end{Bmatrix} = \begin{bmatrix} \langle N \rangle \\ \langle \frac{\partial N}{\partial x} \rangle \\ \dots \end{bmatrix} \{\delta u_n\} = [B_\delta] \{\delta u_n\} \quad (4.20)$$

și ținând seama că în cazul unui operator \mathcal{L} autoadjunct

$$\{\delta(\partial u)\} = \delta(\{ \partial u \}) ; [B_\delta] = [B] \quad (4.21)$$

rezultă :

$$w^e = \langle \delta u_n \rangle \left(\int_{V^e} [B_\delta]^T [D] [B] dV \{u_n\} - \int_{S_1^e} \{N\} f_v dV - \int_{S_1^e} \{N\} f_s dS \right) \quad (4.22)$$

Comparând termenii din (4.9) cu cei din (4.22) se obțin relațiile :

$$[k] = \int_{V^e} [B_\delta]^T [D] [B] dV \quad (4.23)$$

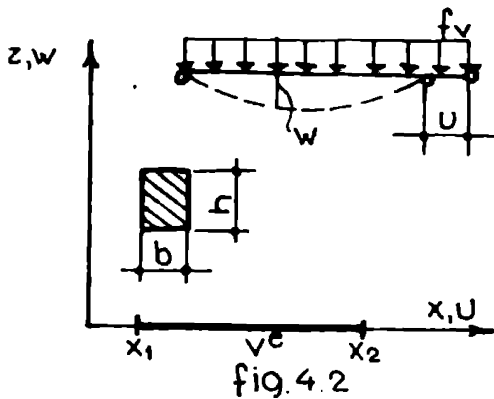
$$\{f\} = \int_{V^e} \{N\} f_v + \int_{S_1^e} \{N\} f_s dS \quad (4.24)$$

4.3.2. Operatori diferențiali neliniari.

În cazul problemelor neliniare matricea elementară $[k]$ - de rigiditate - conține termeni care depind de u_n .

$$[k(u_n)] = [k_l] + [k_{nl}] \quad (4.25)$$

În care $[k_l]$ este partea liniară din $[k(u_n)]$, iar $[k_{nl}]$ partea neliniară. Pentru exemplificare, în cele ce urmează se tratează problema barei drepte cu deplasări transversale mari (fig.4.2). Bara se consideră cu secțiune dreptunghiulară $b \times h$.



$$W^e = EA \int_{V^e} \delta \epsilon \cdot \epsilon dx + EI \int_{V^e} \delta \left(-\frac{d^2 w}{dx^2} \right) \left(-\frac{d^2 w}{dx^2} \right) dx - \int_{V^e} \delta w f_v \cdot dx \quad (4.26)$$

$$A = bh ; I = \frac{bh^3}{12}$$

$$\epsilon = \frac{du}{dx} + \frac{1}{2} \left(\frac{d^2 w}{dx^2} \right)^2$$

Cu aceste expresii rezultă :

$$W^e = EA \int_{V^e} \left(\delta \left(\frac{du}{dx} \right) \left(\frac{du}{dx} + \frac{1}{2} \left(\frac{d^2 w}{dx^2} \right)^2 \right) + \delta \left(\frac{dw}{dx} \right) \left(\frac{dw}{dx} \frac{du}{dx} + \frac{1}{2} \left(\frac{dw}{dx} \right)^3 \right) \right) dx + EI \int_{V^e} \left(\frac{d^2 w}{dx^2} \right) \frac{d^2 w}{dx^2} dx - \int_{V^e} \delta w f_v dx \quad (4.27)$$

Se face observația, că în acest caz, W^e reprezintă prima variație energiei potențiale totale.

Se descompune expresia (3.27) într-o sumă de două forme

W_l^e - liniară - și W_{nl}^e - neliniară :

$$W^e = W_l^e + W_{nl}^e \quad (4.28)$$

în care :

$$W_l^e = \int_{V^e} \langle \delta(\partial u) \rangle [D_l] \{ \partial u \} - \delta w f_v dx \quad (4.29)$$

cu:

$$\{\partial u\} = \begin{Bmatrix} \frac{du}{dx} \\ \frac{dw}{dx} \\ \frac{d^2w}{dx^2} \end{Bmatrix}; \quad \{\delta(\partial u)\} = \begin{Bmatrix} \delta\left(\frac{du}{dx}\right) \\ \delta\left(\frac{dw}{dx}\right) \\ \delta\left(\frac{d^2w}{dx^2}\right) \end{Bmatrix} \quad (4.30 \text{ a, b})$$

$$[D_\ell] = \begin{bmatrix} EA & 0 & 0 \\ 0 & 0 & 0 \\ 0 & 0 & EI \end{bmatrix} \quad (4.31)$$

și respectiv,

$$W_{nl}^e = \int_{V^e} \langle \delta(\partial u) \rangle [D_n] \{\partial u\} dx \quad (4.32)$$

cu

$$[D_{nl}] = EA \begin{bmatrix} 0 & \frac{1}{2} & \frac{dw}{dx} & 0 \\ \frac{dw}{dx} & \frac{1}{2} & \left(\frac{dw}{dx}\right)^2 & 0 \\ 0 & 0 & 0 & 0 \end{bmatrix}, \quad (4.33)$$

Dacă pentru u și w se fac aproximațiile

$$\begin{aligned} u &= \langle N_u \rangle \{u_n\} \\ w &= \langle N_w \rangle \{w_n\} \end{aligned} \quad (4.34 \text{ a, b})$$

Expresiile (3.30) devin

$$\{\partial u\} = \begin{bmatrix} \left\langle \frac{dN_u}{dx} \right\rangle & 0 \\ 0 & \left\langle \frac{dN_w}{dx} \right\rangle \\ 0 & \left\langle \frac{d^2N_w}{dx^2} \right\rangle \end{bmatrix} \begin{Bmatrix} u_n \\ w_n \end{Bmatrix} = B \{u_n\} \quad (4.35 \text{ a, b})$$

$$\{\delta(\partial u)\} = [B]^T [D_\ell] [B] dx$$

Tinând seama în expresia (4.9) de (4.28), (4.29), (4.32) și (4.35) rezultă în final:

$$[k_\ell] = \int_{V^e} [B]^T [D_\ell] [B] dx \quad (4.36)$$

$$[k_{n\ell}] = \int_{V^e} [B]^T [D_{n\ell}] [B] dx \quad (4.37)$$

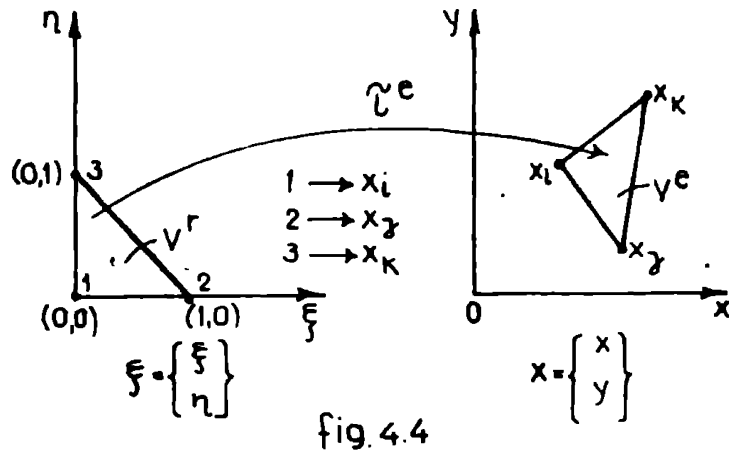
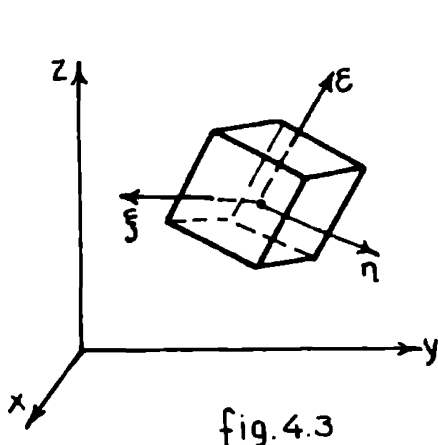
Mătricea $[k_{n\ell}]$ nesimetrică în condițiile în care matricea $[D_{n\ell}]$ este de forma (4.33). Dacă se ia pentru $[D_{n\ell}]$ o altă expresie

$$[D_{n\ell}] = \begin{bmatrix} 0 & \frac{1}{2} \frac{dw}{dx} & 0 \\ \frac{1}{2} EA \frac{dw}{dx} & \frac{1}{2} \left(\frac{dw}{dx}\right)^2 + \frac{1}{2} \frac{du}{dx} & 0 \\ 0 & 0 & 0 \end{bmatrix} \quad (4.38)$$

matricea $[k_{n\ell}]$ devine simetrică, păstrându-se aceeași formă pentru $[B]$.

4.3.3. Exprimarea formelor integrale în sistemul de axe local.

Intrucât funcțiile de interpolare sînt definite în sistemul de axe local al elementului (ξ, η, ξ) iar funcțiile u și derivatele acestora în expresiile anterioare au fost definite în sistemul de axe global (x, y, z) (fig.4.3), trebuie realizată trecerea lor în sistemul local (de referință).



Transformarea (fig.4.4) definește coordonatele fiecărui punct al elementelor V^e , în sistemul de axe global, în funcție de coordonatele abstracte ξ corespunzătoare nodurilor analoge ale elementului definit în sistemul de axe local (de referință), V^r .

$$\tau^e : \xi \rightarrow x^e = X^e(\xi) = [N(\xi)] \{x_n\} \quad (4.39)$$

în care $\{x_n\}$ sînt coordonatele nodurilor elementului V^e ($n=i, j, k$) iar $N(\xi)$ reprezintă funcțiile geometrice de transformare, care se aleg ca polinoame în ξ .

Pe baza transformării (4.39) rezultă în continuare :

$$U(\xi) = \langle N(\xi) \rangle \{u_n\}; \quad \xi = \begin{Bmatrix} \xi \\ \eta \\ \xi \end{Bmatrix} \quad (4.40)$$

$$\begin{Bmatrix} \frac{\partial u}{\partial \xi} \\ \frac{\partial u}{\partial \eta} \\ \frac{\partial u}{\partial \zeta} \end{Bmatrix} = \begin{bmatrix} \frac{\partial N}{\partial \xi} \\ \frac{\partial N}{\partial \eta} \\ \frac{\partial N}{\partial \zeta} \end{bmatrix} \{u_n\} = [B_\xi] \{u_n\} \quad (4.41)$$

$$\{\partial_\xi\} = [J] \{\partial_x\} \quad \text{și} \quad \{\partial_x\} = [j] \{\partial_\xi\}, \quad (4.42 \text{ a,b})$$

în care : $\xi = \langle \xi \ \eta \ \zeta \rangle$; $x = \langle x \ y \ z \rangle$, $[j] = [J]^{-1}$,
iar $[J]$ este matricea jacobiană.

Cu relațiile (4.40) și (4.41), matricele $[B]$, $[k]$ și $\{f\}$ devin :

$$[k] = \int_{V^r} [B_\delta \xi]^T [Q_\delta] [D] [Q] [B_\xi] \det (J) d\xi d\eta d\zeta \quad (4.43)$$

$$\{f\} = \int_{V^r} \{N\} f_v \det (J) d\xi d\eta d\zeta + \int_{S^r} \{N\} f_s \zeta_s ds_1 ds_2 \quad (4.44)$$

$$[B_\delta] = [Q_\delta] [B_\delta \xi] \quad \text{sau} \quad [B] = [Q] [B_\xi] \quad (4.45)$$

În aceste relații, dacă \mathcal{L} este un operator autoadjunct

$$[Q_\delta] = [Q] \quad \text{și} \quad [B_\delta \xi] = [B_\xi], \quad (4.46 \text{ a,b})$$

în care $[Q]$ este o matrice care conține termenii ai matricii $[j] = [J]^{-1}$ iar coordonatele curbilinii s_1 și s_2 relative la S sînt, în general, (ξ, η) , (ξ, ζ) sau (η, ζ) și

$$J_s = \sqrt{\left(\frac{\partial x}{\partial s}\right)^2 + \left(\frac{\partial y}{\partial s}\right)^2 + \left(\frac{\partial z}{\partial s}\right)^2} \quad (4.47)$$

cu

$$x = \langle N(s) \rangle \{x_n\}; \quad y = \langle N(s) \rangle \{y_n\}; \quad z = \langle N(s) \rangle \{z_n\}$$

4.3.4. Exemple de forme integrale și matrici elementare.

În general formele integrale W^e sînt sume de termeni independenți de tipul

$$W^e = \int_{V^e} \left(\delta \left(\frac{\partial u}{\partial x} \right) \frac{\partial u}{\partial x} + \delta \left(\frac{\partial u}{\partial y} \right) \frac{\partial u}{\partial y} \right) dV \quad (4.48)$$

În tabelul 4.1. se prezintă, în formă generală, termenii care se întîlnesc în mod uzual componența lui W^e și corespondenții acestora în matricele $[B]$ și $[D]$.

tabelul 4.1

nr. crt.	forma termenilor	$[\delta_\delta]^T$	$[D]$	$[B]$	proprietățile matricei $[K]$	
1	pătratic simetric $\int_{Ve} \delta u \cdot u \, dV$	$\{N\}$	1	$\langle N \rangle$	constantă	simetrică
2	$\int_{Ve} \delta \left(\frac{\partial u}{\partial x} \right) \cdot \frac{\partial u}{\partial x} \, dV$	$\left\{ \frac{\partial N}{\partial x} \right\}$	1	$\left\langle \frac{\partial N}{\partial x} \right\rangle$	constantă	simetrică
3	$\int_{Ve} \delta \left(\frac{\partial^2 u}{\partial x^2} \right) \cdot \frac{\partial^2 u}{\partial x^2} \, dV$	$\left\{ \frac{\partial^2 N}{\partial x^2} \right\}$	1	$\left\langle \frac{\partial^2 N}{\partial x^2} \right\rangle$	constantă	simetrică
4	$\int_{Ve} \delta \left(\frac{\partial^m u}{\partial x^m} \right) \cdot \frac{\partial^m u}{\partial x^m} \, dV$	$\left\{ \frac{\partial^m N}{\partial x^m} \right\}$	1	$\left\langle \frac{\partial^m N}{\partial x^m} \right\rangle$	constantă	simetrică
5	pătratic nesimetr. $\int_{Ve} \delta u \cdot \frac{\partial u}{\partial x} \, dV$	$\{N\}$	1	$\left\langle \frac{\partial N}{\partial x} \right\rangle$	constantă	nesimetrică
6	$\int_{Ve} \delta \left(\frac{\partial^m u}{\partial x^m} \right) \cdot \frac{\partial^n u}{\partial x^n} \, dV$	$\left\{ \frac{\partial^m N}{\partial x^m} \right\}$	1	$\left\langle \frac{\partial^n N}{\partial x^n} \right\rangle$	constantă	nesimetrică dacă $m \neq n$
7	neliniar $\int_{Ve} \delta u \cdot u \cdot \frac{\partial u}{\partial x} \, dV$	$\{N\}$ $\{N\}$	$\left\langle \frac{\partial N}{\partial x} \right\rangle \{u_n\}$ $\langle N \rangle \{u_n\}$	$\langle N \rangle$ $\left\langle \frac{\partial N}{\partial x} \right\rangle$	funcție de $\{u_n\}$ funcție de $\{u_n\}$	simetrică nesimetrică
8	$\int_{Ve} \delta \left(\frac{\partial u}{\partial x} \right) \cdot \frac{\partial u}{\partial x} \cdot \frac{\partial u}{\partial x} \, dV$	$\left\{ \frac{\partial N}{\partial x} \right\}$	$\left\langle \frac{\partial N}{\partial x} \right\rangle \{u_n\}$	$\left\langle \frac{\partial N}{\partial x} \right\rangle$	funcție de $\{u_n\}$	simetrică
9	$\int_{Ve} \delta \left(\frac{\partial^m u}{\partial x^m} \right) \cdot D(u, \frac{\partial u}{\partial x}) \cdot \frac{\partial^n u}{\partial x^n} \, dV$	$\left\{ \frac{\partial^m N}{\partial x^m} \right\}$	$D(\{u_n\})$	$\left\langle \frac{\partial^n N}{\partial x^n} \right\rangle$	funcție de $\{u_n\}$	nesimetrică dacă $m \neq n$
10	patratric $\int_{Se} \delta u \cdot u \, ds$	$\{N\}$	1	$\langle N \rangle$	constantă	simetrică
11	linear $\int_{Ve} \delta u \cdot f_v \, dV$	$\{N\}$	1	f_v	$w^e = \langle \delta u_n \rangle \{f\}$ $\{f\} = \int_{Ve} \{N\} f_v \, dV$	
12	$\int_{Se} \delta u \cdot f_s \, ds$	$\{N\}$	1	f_s	$w^e = \langle \delta u_n \rangle \{f\}$ $\{f\} = \int_{Se} \{N\} f_s \, ds$	
13	nestaționar $\int_{Ve} \delta u \cdot \frac{\partial u}{\partial t} \, dV$	$\{N\}$	1	$\langle N \rangle$	$w^e = \langle \delta u_n \rangle [c] \left\{ \frac{d u_n}{dt} \right\}$ $[c] = \int_{Ve} \{N\} \langle N \rangle \, dV$	
14	$\int_{Ve} \delta u \cdot \frac{\partial^2 u}{\partial t^2} \, dV$	$\{N\}$	1	$\langle N \rangle$	$w^e = \langle \delta u_n \rangle [m] \left\{ \frac{\partial^2 u_n}{\partial t^2} \right\}$ $[m] = \int_{Ve} \{N\} \, dV$	

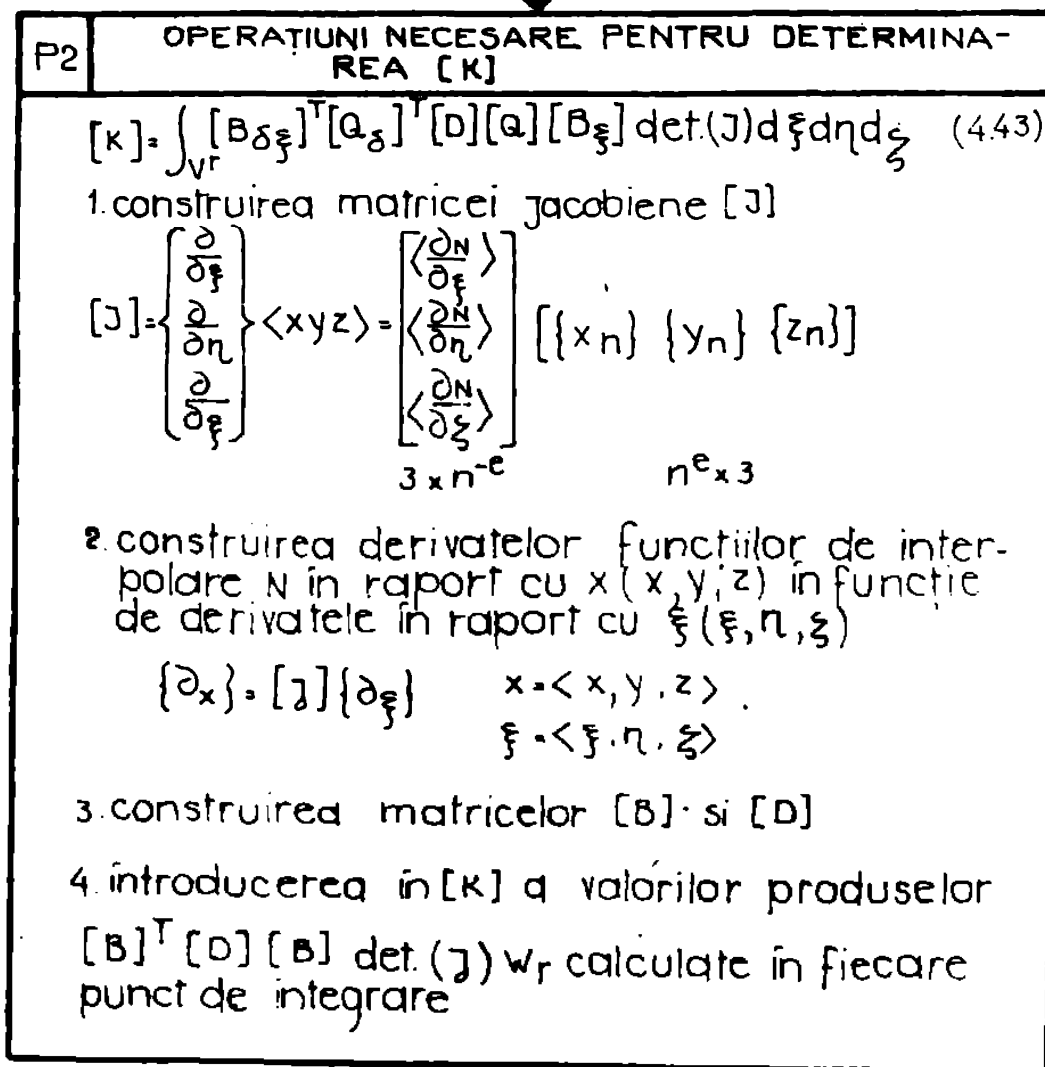
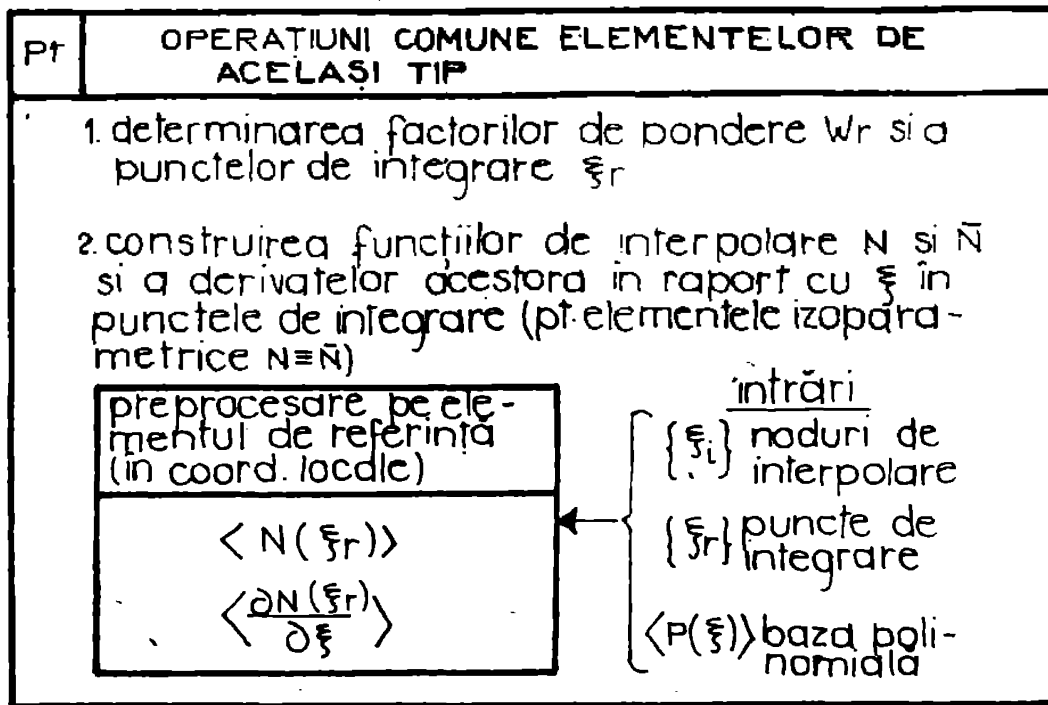


fig. 4.5

4.3.5. Determinarea vectorilor și matricelor elementare.

4.3.5.1. Matricea de rigiditate elementară.

Algoritmul general pentru determinarea matricii de rigiditate elementară $[k]$ este prezentat schematic în figura 4.5.

4.3.5.2. Matricea masei elementare.

Algoritmul pentru determinarea matricii masei elementare este prezentat în figura 4.6.

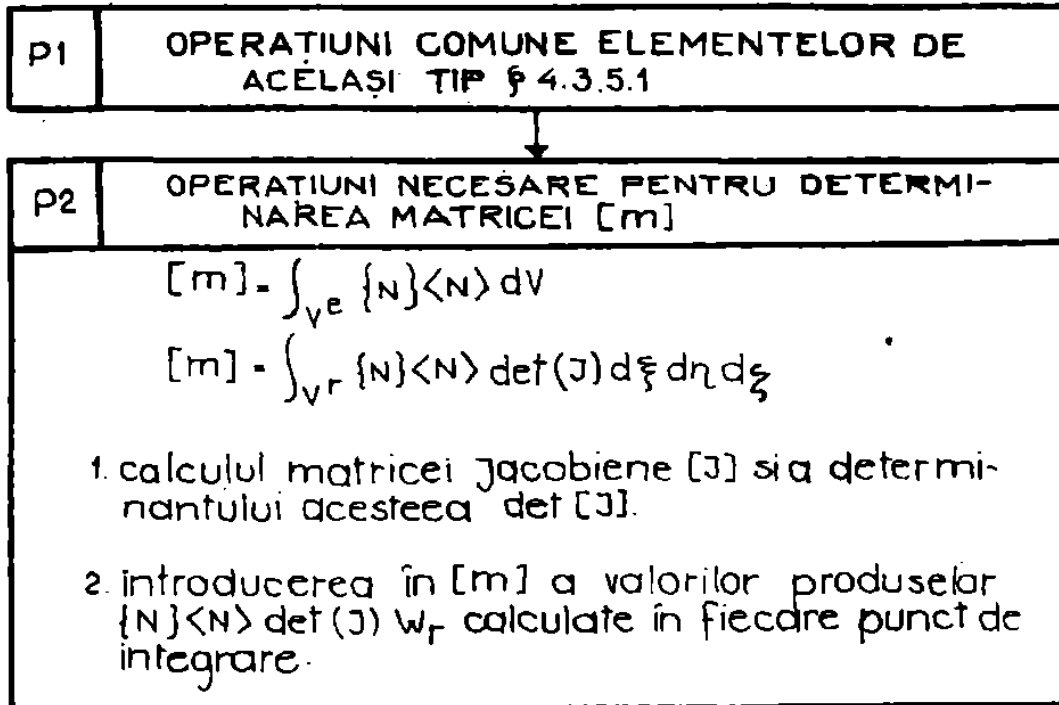


fig.4.6

4.3.5.3. Vectorul încărcărilor.

Vectorul $\{f\}$ a forțelor elementare se determină în ipoteza că acționează numai forțele masice (de volum) $\{f_v\}$. Algoritmul pentru determinarea vectorului forțelor elementare este prezentat în figura 4.7.

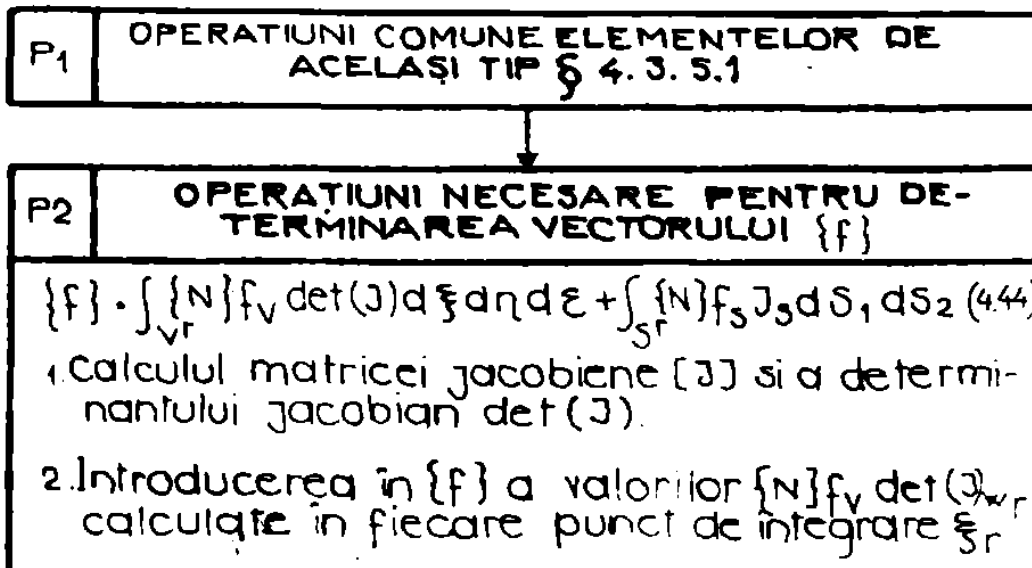


fig.4.7

4.3.5.4. Vectorul reziduurilor elementare.

Algoritmul pentru determinarea vectorului $\{r\}$ a reziduurilor din soluția aproximativă $\{u_n\}$ este prezentat în figura 4.8.

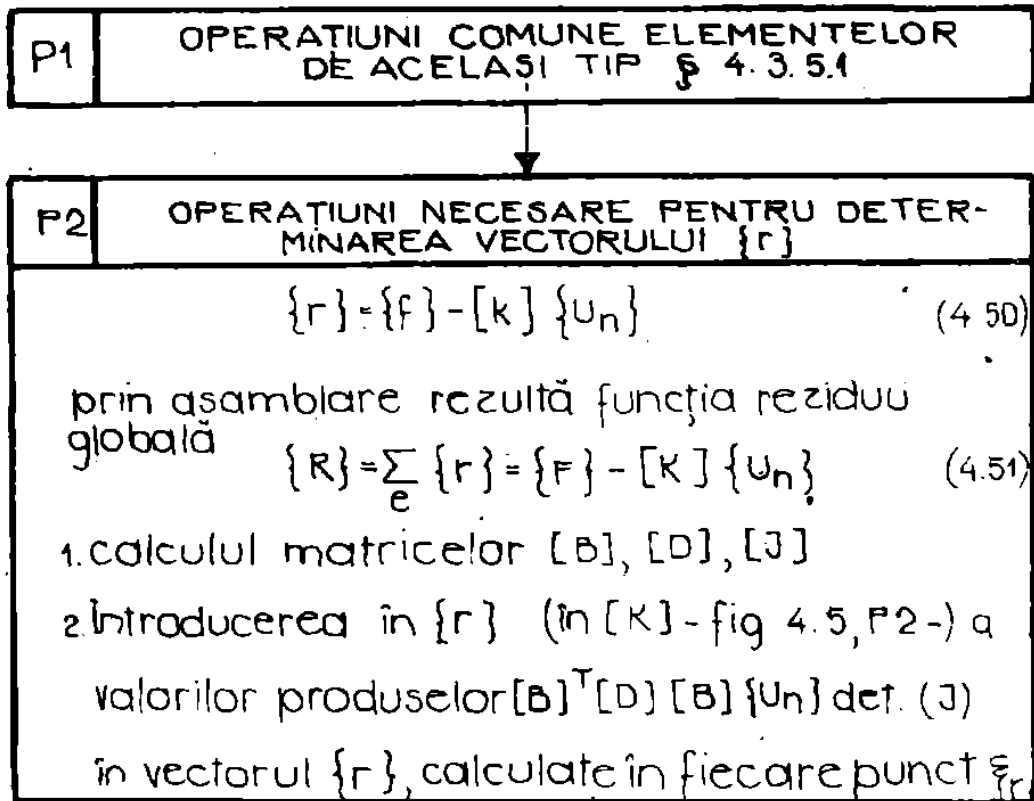


fig 4.8

4.3.5.5. Gradientul deplasărilor.

Algoritmul pentru determinarea gradientului deplasărilor $\{\partial u\}$ în punctele de integrare pentru deplasările nodale $\{u_n\}$ este prezentat în figura 4.9.

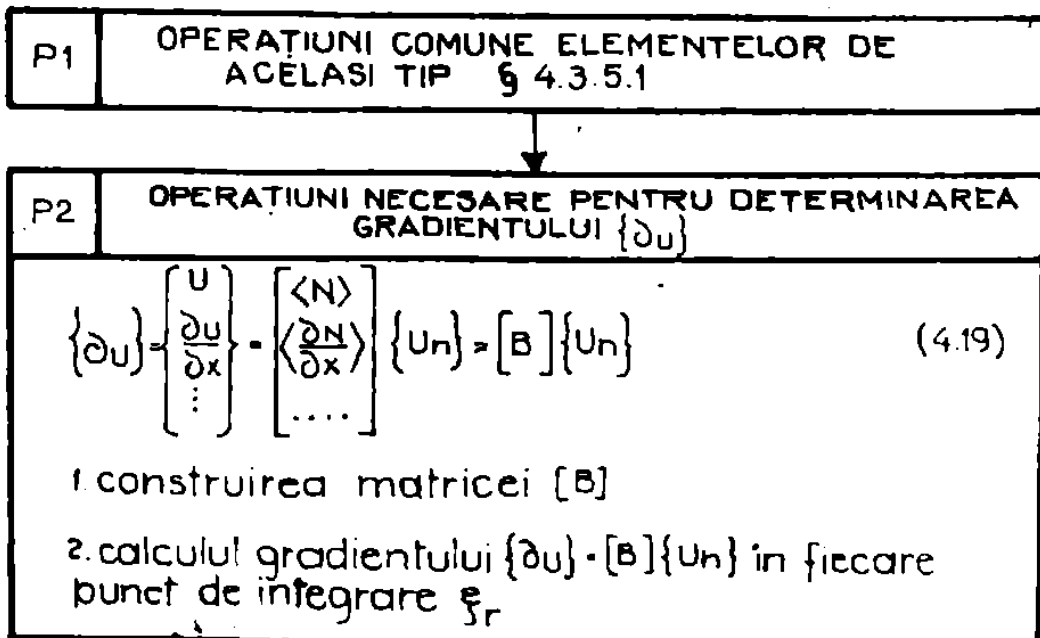


fig 4.9

4.3.5.6. Exemple : determinarea matricelor elementare pentru un element finit izoparametric cu 8 noduri pentru problemele plane de elasticitate și pentru un element finit de bază încovoiată în plan.

Forma integrală caracteristică problemelor plane de elasticitate rezultă din (3.40) de formă :

$$w^e = \int_{V^e} \langle \delta \epsilon \rangle [D] \{ \epsilon \} dV - \int_{V^e} \langle \delta u \rangle \begin{Bmatrix} f_{Vx} \\ f_{Vy} \end{Bmatrix} dV - \int_{S_f^e} \langle \delta u \rangle \begin{Bmatrix} f_{Sx} \\ f_{Sy} \end{Bmatrix} dS \quad (4.52)$$

în care:

- $\langle u \rangle = \langle u \ V \rangle$: deplasările într-un punct
- $\langle \delta u \rangle = \langle \delta u \ \delta y \rangle$: variațiile deplasărilor
- $\langle \epsilon \rangle = \langle \epsilon_x \ \epsilon_y \ \gamma_{xy} \rangle$ = deformațiile specifice
- $= \left\langle \frac{\partial u}{\partial x} \ \frac{\partial v}{\partial y} \ \frac{\partial u}{\partial y} + \frac{\partial v}{\partial x} \right\rangle$

f_{Vx}, f_{Vy} = forțele masice pe unitatea de volum după x și y

f_{Sx}, f_{Sy} = forțele pe unitatea de suprafață pe S_1^e

$$D = \begin{bmatrix} d_1 & d_2 & 0 \\ d_2 & d_1 & 0 \\ 0 & 0 & d_3 \end{bmatrix} \begin{matrix} - \text{matricea de elasticitate pentru nedeviale izotrope} \\ E(1-\alpha\nu) \\ d_1 = \frac{\nu d_1}{(1+\nu)(1-\nu-\alpha\nu)}; \quad d_2 = \frac{\nu d_1}{(1-\alpha\nu)}; \quad d_3 = \frac{E}{2(1+\nu)} \end{matrix}$$

E, ν : modulul de elasticitate și coeficientul lui Poisson;

$\alpha = 0$ - stare plană de tensiuni ;

$\alpha = 1$ - stare plană de deformații.

$$\{ \sigma \} = [D] \{ \epsilon \}$$

Pentru un element finit izoparametric cu 8 noduri (fig.4.10) cu două grade de libertate pe nod cîmpul deplasărilor se scrie :

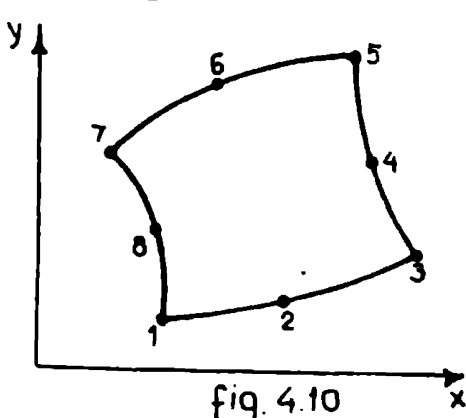


fig. 4.10

$$\{ u \} = \begin{Bmatrix} u \\ v \end{Bmatrix} = [N] \{ u_n \} \quad (4.53)$$

$$\{ \delta u \} = \begin{Bmatrix} \delta u \\ \delta v \end{Bmatrix} = [N] \{ \delta u_n \} \quad (4.54)$$

$$[N] = \begin{bmatrix} N_1 & 0 & N_2 & 0 & \dots & N_8 & 0 \\ 0 & N_1 & 0 & N_2 & \dots & 0 & N_8 \end{bmatrix} \quad (4.55)$$

în care funcțiile $N_1 \dots N_8$ sînt polinoame de interpolare /45/, /68/, /159/.

$$\langle U_n \rangle = \langle u_1 \ v_1 \ u_2 \ v_2 \ \dots \ u_8 \ v_8 \rangle \quad (4.56)$$

$$\langle \delta U_n \rangle = \langle \delta u_1 \ \delta v_1 \ \delta u_2 \ \delta v_2 \ \dots \ \delta u_8 \ \delta v_8 \rangle \quad (4.57)$$

$$w^e = \langle \delta U_n \rangle [k] \{ u_n \} - \langle \delta u_n \rangle \{ f \}$$

$$[K]_{(16 \times 16)} = \int_{-1}^1 \int_{-1}^1 [B]^T [D] [B] \det (J) d\xi d\eta \quad (4.58)$$

unde:

$$[B]_{3 \times 16} = \begin{bmatrix} \frac{\partial N_1}{\partial x} & 0 & \frac{\partial N_2}{\partial x} & 0 & \dots & \frac{\partial N_8}{\partial x} & 0 \\ 0 & \frac{\partial N_1}{\partial y} & 0 & \frac{\partial N_2}{\partial y} & \dots & 0 & \frac{\partial N_8}{\partial y} \\ \frac{\partial N_1}{\partial x} & \frac{\partial N_1}{\partial y} & \frac{\partial N_2}{\partial x} & \frac{\partial N_2}{\partial y} & \dots & \frac{\partial N_8}{\partial x} & \frac{\partial N_8}{\partial y} \end{bmatrix} \quad (4.59)$$

cu :

$$\frac{\partial N_i}{\partial x} = j_{11} \frac{\partial N_i}{\partial \xi} + j_{12} \frac{\partial N_i}{\partial \eta}$$

$$\frac{\partial N_i}{\partial y} = j_{21} \frac{\partial N_i}{\partial \xi} + j_{22} \frac{\partial N_i}{\partial \eta}$$

Vectorul forțelor este de forma

$$\{f\}_{16 \times 1} = \int_{-1}^1 \int_{-1}^1 [N] \begin{Bmatrix} fV_x \\ fV_y \end{Bmatrix} \det (J) d\xi d\eta \quad (4.60)$$

iar matricea maselor

$$[m]_{16 \times 16} = \int_{-1}^1 \int_{-1}^1 [N]^T [N] \det (J) d\xi d\eta \quad (4.61)$$

Pentru elementul finit de bară încovoiată în plan (fig.4.11) forma integrală (4.52) devine

$$w^e = \int_{V^e} \left\langle \delta \left(\frac{\partial^2 u}{\partial x^2} \right) \right\rangle D \left\{ \frac{\partial^2 u}{\partial x^2} \right\} dV - \delta w (f_v) dX \quad (4.62)$$

în care:

$$\langle u \rangle = \left\langle w \frac{\partial w}{\partial x} \right\rangle = [N] \{u_n\} \quad (4.63)$$

$$f_v = \text{forța uniform distribuită}$$

$$M = EI \frac{d^2 w}{dx^2} ; \varepsilon(x, z) = z \frac{d^2 w}{dx^2}$$

$$[N] = [N_1 \ N_2 \ N_3 \ N_4] \quad (4.64)$$

unde N_i sînt funcții Hermite /45/, /159/.

$$\langle u_n \rangle = \left\langle w_1 \frac{\partial w_1}{\partial x} \ w_2 \frac{\partial w_2}{\partial x} \right\rangle \quad (4.65)$$

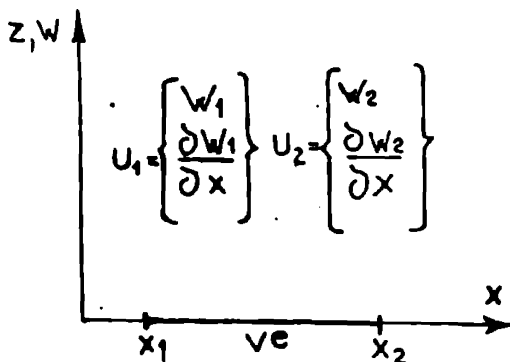


fig. 4.11

$$[K] = \int_{-1}^1 [B][D][B] \det(J) d\xi \quad (4.66)$$

4×4

ou: $= EI ; \quad \det(J) = \frac{\partial x}{\partial \xi} = l \quad l = x_2 - x_1$

$$[B] = \frac{1}{l^2} \begin{bmatrix} \frac{\partial^2 N_1}{\partial \xi^2} & \frac{\partial^2 N_2}{\partial \xi^2} & \frac{\partial^2 N_3}{\partial \xi^2} & \frac{\partial^2 N_4}{\partial \xi^2} \end{bmatrix} \quad (4.67)$$

Dacă se fac înlocuirile funcțiilor N_1 rezultă :

$$[k] = \frac{EI}{l^3} \begin{bmatrix} 12 & 6l & -12 & 6l \\ & 4l & -6l & 6l^2 \\ & & 12 & -6l \\ \text{simetric} & & & 4l \end{bmatrix} \quad (4.68)$$

In mod similar se obține matricea de masă

$$[m] = \int_{-1}^1 [N]^T [N] \det(J) d\xi = \frac{\rho A l}{420} \begin{bmatrix} 156 & 22l & 54 & -13l \\ & 4l^2 & 13l & -3l^2 \\ \text{simetric} & & 156 & -22l \\ & & & 4l^2 \end{bmatrix} \quad (4.67)$$

4.3.6. Asamblarea formelor integrale elementare.

După discretizare forma integrală elementară W^e este dată de expresia (4.8). Vectorii $\{\delta u_n\}$ și $\{u_n\}$ sînt diferiți pentru fiecare element. Vectorii $\{\delta U_n\}$ și $\{U_n\}$ sînt vectori globali care conțin valorile nodale din întreg domeniul V .

Forma integrală globală discretizată W se scrie ca sumă a formelor elementare W^e (4.9) și (4.10). Se poate însă exprima și W^e în funcție de $\{u_n\}$ și $\{\delta U_n\}$.

$$W^e = \langle \delta U_n \rangle ([K^e] \{u_n\} - \{F^e\}) \quad (4.68)$$

Matricea $[K^e]$ este construită prin expandarea matricelor $[k]$ într-o matrice nulă avînd aceeași dimensiune cu $[K]$. In mod similar $\{F^e\}$ este construit prin expansiunea vectorilor $\{f\}$ într-un vector nul de același rang cu $\{F\}$.

Procesul de expandare a matricelor $[k]$ se desfășoară în doi pași: prima dată post-factorul $\{u_n\}$ se înlocuiește cu $\{U_n\}$, apoi, pre-factorul $\{\delta u_n\}$ se înlocuiește cu $\langle \delta U_n \rangle$. Pentru ilustrarea procedurii se consideră următoarea situație :

$$W^e = \langle \delta u_I \delta u_J \rangle \begin{bmatrix} k_{11} & k_{12} \\ k_{21} & k_{22} \end{bmatrix} \begin{Bmatrix} u_I \\ u_J \end{Bmatrix} = \langle \delta u_n \rangle [k] \{u_n\} \quad (4.69)$$

Vectorul global al variabilelor nodale este

$$\langle U_n \rangle = \langle u_1 \ u_2 \ \dots \ u_I \ u_{I+1} \ \dots \ u_J \ u_{J+1} \ \dots \ u_n \rangle$$

pasul I : înlocuirea lui $\{u_n\}$ prin $\{U_n\}$.

Pentru a păstra valoarea lui w^e neschimbată matricea $[k]_{2 \times 2}$

se înlocuiește printr-o matrice $[k']_{2 \times n}$ în care coloana I este $\langle k_{11} \ k_{21} \rangle^T$,

iar coloana J este $\langle k_{12} \ k_{22} \rangle^T$, ceilalți termeni fiind nuli

$$w^e = \langle \delta u_I \ u_j \rangle \begin{bmatrix} 0 & 0 & \dots & \begin{Bmatrix} k_{11} \end{Bmatrix} & 0 & \dots & \begin{Bmatrix} k_{12} \end{Bmatrix} & 0 & \dots & 0 \\ 0 & 0 & \dots & \begin{Bmatrix} k_{21} \end{Bmatrix} & 0 & \dots & \begin{Bmatrix} k_{22} \end{Bmatrix} & 0 & \dots & 0 \end{bmatrix} \cdot \begin{Bmatrix} u_1 \\ \vdots \\ u_I \\ u_{I+1} \\ \vdots \\ u_J \\ u_{J+1} \\ \vdots \\ u_n \end{Bmatrix} \quad (4.70)$$

pasul II înlocuirea lui $\langle \delta u_n \rangle$ prin $\langle \delta U_n \rangle$

În acest caz matricea $[k']$ se înlocuiește prin matricea $[K^e]$ de același rang ou $[K]$ în care linia I este prima linie din $[k']$ iar linia J este linia a doua din $[k']$, ceilalți termeni fiind nuli.

$$\langle \delta U_n \rangle = \langle \delta u_1 \ \delta u_2 \ \dots \ \delta u_I \ \delta u_{I+1} \ \dots \ \delta u_J \ \delta u_{J+1} \ \dots \ \delta u_n \rangle$$

$$w^e = \langle \delta U_n \rangle \begin{bmatrix} 0 & \dots & 0 & \dots & 0 & \dots & 0 & \dots & 0 \\ \vdots & & \vdots & & \vdots & & \vdots & & \vdots \\ 0 & \dots & k_{11} & \dots & k_{12} & \dots & 0 & \dots & 0 \\ \vdots & & \vdots & & \vdots & & \vdots & & \vdots \\ 0 & & 0 & & 0 & & 0 & & 0 \\ \vdots & & \vdots & & \vdots & & \vdots & & \vdots \\ 0 & \dots & k_{21} & \dots & k_{22} & \dots & 0 & \dots & 0 \\ \vdots & & \vdots & & \vdots & & \vdots & & \vdots \\ 0 & & 0 & & 0 & & 0 & & 0 \end{bmatrix} \begin{matrix} (I) \\ \\ (j) \\ \\ \end{matrix} \cdot \begin{matrix} \{U_n\} \\ \\ \{U_n\} \\ \\ \end{matrix} = \langle \delta U_n \rangle [K^e] \{U_n\} \quad (4.71)$$

Pentru a ilustra expandarea lui $\{f\}$ se consideră expresia

$$w^e = \langle \delta u_I \ u_j \rangle \begin{Bmatrix} f_1 \\ f_2 \\ \vdots \\ f_I \end{Bmatrix} = \langle \delta u_n \rangle \{f\} \quad (4.72)$$

Pentru a păstra W^e neschimbat după înlocuirea lui u_n cu U_n trebuie substituit vectorul de rangul 2 $\{f\}$ prin vectorul $\{F^e\}$ de rang n în care termenul corespunzător liniei I este f_1 , iar cel corespunzător liniei J este f_2 , ceilalți termeni fiind nuli.

$$W^e = \langle \delta U_n \rangle \begin{Bmatrix} 0 \\ \vdots \\ f_1 \\ \vdots \\ f_2 \\ \vdots \\ 0 \end{Bmatrix} = \langle \delta U_n \rangle \{F^e\} \quad (4.73)$$

Forma integrală globală se obține prin sumare

$$\begin{aligned} W &= \sum_{e=1}^n W^e = \sum_{e=1}^n \langle \delta U_n \rangle ([K^e] \{U_n\} - \{F^e\}) \\ &= \langle \delta U_n \rangle \left(\left[\sum_{e=1}^n [K^e] \right] \{U_n\} - \left\{ \sum_{e=1}^n F^e \right\} \right) \\ &= \langle \delta U_n \rangle ([K] \{U_n\} - \{F\}) \end{aligned} \quad (4.74)$$

În care:

$$[K] = \sum_{e=1}^n [K^e] ; \quad \{F\} = \sum_{e=1}^n \{F^e\} \quad (4.75 \text{ a, b})$$

Se prezintă în continuare următorul exemplu de calcul : se dă domeniul V discretizat în două elemente triunghiulare cu câte un singur GDL pe nod (fig. 4.12).

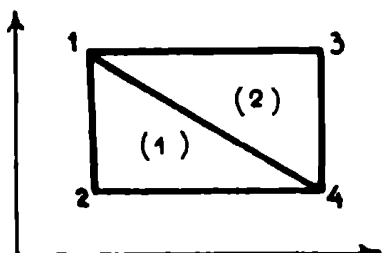


fig. 4.12

$$\begin{aligned} \langle u_n^{(1)} \rangle &= \langle u_1 \ u_2 \ u_4 \rangle \\ \text{Elementul (1): } \langle \delta u_n^{(1)} \rangle &= \langle \delta u_1 \ \delta u_2 \ \delta u_4 \rangle \end{aligned}$$

$$\begin{aligned} \langle u_n^{(2)} \rangle &= \langle u_1 \ u_4 \ u_3 \rangle \\ \text{Elementul (2): } \langle \delta u_n^{(2)} \rangle &= \langle \delta u_1 \ \delta u_4 \ \delta u_3 \rangle \end{aligned}$$

$$\langle U_n \rangle = \langle u_1 \ u_2 \ u_3 \ u_4 \rangle ; \quad \langle \delta U_n \rangle = \langle \delta u_1 \ \delta u_2 \ \delta u_3 \ \delta u_4 \rangle$$

$$W^{(1)} = \langle \delta u_n^{(1)} \rangle ([K^{(1)}] \{u_n^{(1)}\} - \{F^{(1)}\})$$

$$w^{(2)} = \langle \delta u_n^{(2)} \rangle ([k^{(2)}] \{u_n^{(2)}\} - \{f^{(2)}\})$$

$$w^{(1)} = \langle \delta u_1 \delta u_2 \delta u_4 \rangle \left(\begin{bmatrix} k_{11} & k_{12} & k_{13} \\ k_{21} & k_{22} & k_{23} \\ k_{31} & k_{32} & k_{33} \end{bmatrix}^{(1)} \begin{Bmatrix} u_1 \\ u_2 \\ u_4 \end{Bmatrix} - \begin{Bmatrix} f_1 \\ f_2 \\ f_3 \end{Bmatrix}^{(1)} \right)$$

Introducînd matricea expandată $[K^{(1)}]$ și vectorul expandat $\{F^{(1)}\}$ se rescrie

$$w^{(1)} = \langle \delta u_1 \delta u_2 \delta u_3 \delta u_4 \rangle \left(\underbrace{\begin{bmatrix} k_{11} & k_{12} & 0 & k_{13} \\ k_{21} & k_{22} & 0 & k_{23} \\ 0 & 0 & 0 & 0 \\ k_{31} & k_{32} & & k_{33} \end{bmatrix}}_{[K^{(1)}]}^{(1)} \begin{Bmatrix} u_1 \\ u_2 \\ u_3 \\ u_4 \end{Bmatrix} - \underbrace{\begin{Bmatrix} f_1 \\ f_2 \\ 0 \\ f_3 \end{Bmatrix}}_{F^{(1)}}^{(1)} \right)$$

În mod identic se obține pentru elementul (2)

$$w^{(2)} = \langle \delta u_1 \delta u_2 \delta u_3 \delta u_4 \rangle \left(\underbrace{\begin{bmatrix} k_{11} & 0 & k_{13} & k_{12} \\ 0 & 0 & 0 & 0 \\ k_{31} & 0 & k_{33} & k_{32} \\ k_{21} & 0 & k_{23} & k_{22} \end{bmatrix}}_{K^{(2)}}^{(2)} \begin{Bmatrix} u_1 \\ u_2 \\ u_3 \\ u_4 \end{Bmatrix} - \begin{Bmatrix} f_1 \\ 0 \\ f_3 \\ f_2 \end{Bmatrix} \right)$$

$$[K] = [K^{(1)}] + [K^{(2)}] = \begin{bmatrix} k_{11}^{(1)} + k_{11}^{(2)} & k_{12}^{(1)} & k_{13}^{(2)} & k_{12}^{(1)} + k_{12}^{(2)} \\ k_{21}^{(1)} & k_{22}^{(1)} & 0 & k_{23}^{(1)} \\ k_{31}^{(2)} & 0 & k_{33}^{(2)} & k_{32}^{(2)} \\ k_{31}^{(1)} + k_{31}^{(2)} & k_{32}^{(1)} & k_{23}^{(2)} & k_{33}^{(1)} + k_{22}^{(2)} \end{bmatrix}$$

$$\{F\} = \{F^{(1)}\} + \{F^{(2)}\} = \begin{Bmatrix} f_1^{(1)} + f_1^{(2)} \\ f_2^{(1)} \\ f_3^{(2)} \\ f_3^{(1)} + f_2^{(2)} \end{Bmatrix}$$

4.3.7. Generarea sistenului de ecuații.

4.3.7.1. Formularea sistemului de ecuații.

După discretizare și asamblare forma integrală devine

$$W = \langle \delta U_n \rangle ([K] \{U_n\} - \{F\}) = 0, \quad (4.76)$$

la care se atașează condițiile de margine

$$\begin{aligned} \delta U_1 &= 0 \\ U_1 &= \bar{U}_1 \end{aligned} \quad (4.77)$$

pentru toate gradele de libertate U_1 avînd valori specificate \bar{U}_1 .

În final, trebuie rezolvat sistemul de ecuații algebrice:

$$[K] \{U_n\} = \{F\} \quad (4.78)$$

modificat în prealabil în funcție de condițiile (4,77).

4.3.7.2. Introducerea condițiilor de margine :

Există trei tehnici de calcul, cunoscute în acest sens:

- a) introducerea unui număr foarte mare în diagonala principală, corespunzător condiției $U_1 = \bar{U}_1$;
- b) anularea termenilor liniei și coloanei corespunzătoare lui $U_1 = \bar{U}_1$;
- c) eliminarea liniei și coloanei corespunzătoare lui $U_1 = \bar{U}_1$.

Aceste metode sînt cunoscute din literatura de specialitate/ 9/. În programul - ASEP se utilizează ultimul procedeu.

4.3.7.3. Transformarea variabilelor.

Între deplasările nodale U_n și U'_n (orientate diferit de primele). există relația :

$$\begin{aligned} \delta U_n &= [R] \{U'_n\} \\ \{U_n\} &= [R] \{U'_n\}, \end{aligned} \quad (4.79)$$

în care $[R]$ este o matrice pătrată cu elemente constante, numită matrice de transformare. Înlocuind (4.79) în (4.76) rezultă

$$W = \langle \delta U'_n \rangle ([K'] \{U'_n\} - \{F\}) = 0 \quad (4.80)$$

în care:

$$\begin{aligned} [K'] &= [R^T] [K] [R] \\ \{F\} &= [R^T] \{F\}. \end{aligned}$$

4.4. PROCEDURI NUMERICE.

4.4.1. Rezolvarea sistemelor de ecuații liniare /41/, /48/, /112/, /133/, /159/, /179/.

Metodele de soluționare a sistemului 4.78 se grupează în general în două categorii :

- Metode exacte, cunoscute ca metode directe, bazate în general pe procedeul de eliminare Gauss.
- Metode iterative, între care procedeul Gauss-Seidel este cel mai cunoscut.

Metodele directe sînt "exacte" în limitele erorilor de tip "roundoff", caracteristice tuturor mașinilor de calcul provenind din surse specifice cum sînt: conversiunea constantelor, cumularrea efectelor rotunjirilor, utilizarea funcțiilor standard predefinite. Mărimea erorilor "roundoff" poate fi apreciată numai după rezolvarea sistemului de ecuații. Soluția găsită este introdusă pentru verificare în ecuațiile originale și se determină reziduurile. Valorile reziduurilor formează un nou vector al forțelor nodale cu care se reia rezolvarea de la capăt. Se determină astfel un al doilea vector al deplasărilor nodale care este o măsură a deteriorării soluției exacte din cauza erorilor roundoff. Pe de altă parte, suma vectorilor deplasărilor în cele două rulări ale programului, distincte prin vectorul "forțelor nodale", formează o soluție mai bună a sistemului ecuațiilor originale.

Algoritmi metodelor exacte se bazează pe înlocuirea succesivă a ecuațiilor originale prin ecuații echivalente a căror rezolvare este mai simplă.

Cea mai cunoscută și cu răspîndirea cea mai largă este metoda de eliminare parțială bazată pe numerotarea optimă a nodurilor. Ordinea nodurilor este factorul cheie pentru a obține formatul de matrice bandă cu cea mai redusă lățime de semibandă ; ordinea de numerotare a elementelor finite, precum și ordinea de formare și asamblare a matricelor elementare, este însă arbitrară. Această metodă de rezolvare, numită și "metoda de rezolvare cu bandă" este cel mai simplu procedeu utilizat pentru a se exploata avantajul rarefierii termenilor matricii sistemului. Nu este însă unicul procedeu. Un alt procedeu, deosebit de eficace este cel numit al "matricelor rare" (skyline matrix) în care "evidența" și "contabilizarea" pozițiilor submatricelor nenule în schema matricii globale [K] sînt ținute prin intermediul unor matrice (tablouri) de identificatori și de localizare. Programul ASEP utilizează o astfel de tehnică /70/.

O metodă directă, fundamental diferită, este metoda de rezolvare "frontală" ale cărei baze au fost puse de Irons /41/. În cadrul acestei metode în procesul de eliminare parțială necunoscutelor esențială e numerotarea elementelor finite, independentă de numerotarea nodurilor, care poate fi arbitrară. Se creează, astfel, un "front" care traversează nodurile și procedează la eliminarea parțială și succesivă a necunoscutelor. Metoda de rezolvare frontală este indicată pentru aplicarea, în special, în cazul unor structuri complexe cu multe grade de libertate nodale, ca urmare a folosirii elementelor finite tridimensionale, mai ales dacă sînt introduse noduri la mijlocul laturilor.

[K] Tot în categoria metodelor directe de triangularizare a matricii, în care toți termenii nenuli sînt poziționați deasupra diagonalei principale, sînt metodele de rezolvare care utilizează matricile ortogonale, în cadrul așa numitelor "factorizări matriceale" /45/. Astfel, în procedeul de factorizare Givens se folosește matricea ortogonală de rotație, iar factorizarea Householder utilizează matricea ortogonală de reflexiune. Ambele procedee sînt indicate în probleme de valori proprii, cît și în cazul sistemelor de ecuații ale cîror soluții sînt instabile din cauza disproporției relative foarte mari între mărimile diverșilor coeficienți de rigiditate. Nici una din aceste metode nu s-a impus, neavînd avantajul eficienței algoritmilor de tip Gauss.

Tot în cadrul metodelor directe se menționează factorizarea Choleski. Nici acest procedeu nu s-a impus, însă, în competiție cu metoda Gauss.

Metodele iterative operează cu valori inițiale aproximative, care se corectează succesiv pentru a se obține soluțiile sistemului de ecuații în limitele unor erori prestabilite. Metodele iterative sînt mai adecvate la rezolvarea sistemului de ecuații care guvernează probleme neliniare (flambaj, vibrații, etc.), în care soluțiile sînt căutate "pas cu pas". În domeniul problemelor liniare metodele iterative nu și-au cucerit popularitatea.

4.4.2. Rezolvarea problemelor neliniare.

4.4.2.1. Nelinearitate fizică și nelinearitate geometrică /11/, /153/.

În formularea problemelor sistemelor fizice apar două tipuri de nelinearități :

- proprietățile fizico-mecanice - ale materialului - caracteristice sistemului fizic depind de valorile variabililor nodale U . Această situație apare, spre exemplu în plasticitate, în curgerea newtoniană, a lichidelor, în curgerea lichidelor prin medii poroase nesaturate, etc. Acestea sînt nelinearități fizice ;
- nelinearitățile geometrice pot apărea în ecuațiile fundamentale care guvernează problema, spre exemplu în cazul sistemelor cu deplasări finite din elasticitate sau în ecuații de tip Navier- Stokes. Ecuația matriceală fundamentală a problemelor neliniare este de forma

$$W = \langle \delta U_n \rangle \left([K(U_n)] \{U_n\} - \{F\} \right) = 0, \quad \forall \langle \delta U_n \rangle \quad (4.81)$$

de unde

$$[K(u)] \{u\} = \{F\} \text{ sau } \{R(u)\} = \{F\} - [K(u)] \{u\} = 0 \quad (4.82)$$

Pentru unele probleme, cum sînt cele de plasticitate, relația (4.82) trece într-o formă incrementală.

$$[K(u)] \{\Delta u\} = \{\Delta F\} \quad (4.83)$$

Determinarea soluției sistemului neliniar constă în găsirea vectorului $\{u\}$, care să facă reziduul $\{R(u)\}$ cît mai mic posibil. Soluția exactă conduce la anularea reziduului. Căutarea soluției sistemului se realizează iterativ conform schemei din fig. 4.13.

Un număr mare de algoritmi de rezolvare a problemelor neliniare includ schemele de rezolvare a sistemelor de ecuații liniare la fiecare pas al iterației.

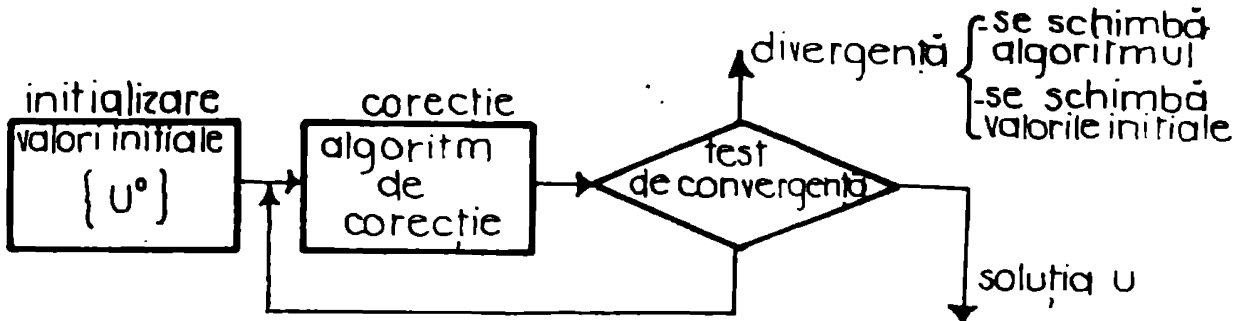


fig. 4.13

Alegerea unui algoritm trebuie să ia în considerare următoarele aspecte :

- tipul nelinearității ;
- răspîndirea nelinearității, indiferent dacă este localizată sau nu ;
- existența a mai multe soluții ;
- ușurința construcției algoritmului și a implementării în program ;
- precizia cerută a rezultatelor ;
- rapiditatea convergenței și riscul de divergență ;

Nu sînt metode care să acopere toate tipurile de probleme neliniare. Cele mai multe tehnici de rezolvare a problemelor neliniare au la bază una din următoarele trei metode, luate separat sau în combinație /45/, /153/, /154/, /199/, /201/:

- metoda substituției ;
- metoda iterativă Newton-Raphson ;
- metoda incrementală.

4.4.2.2. Algoritmul metodei substituției.

Metoda constă în construirea secvențială a soluțiilor $\{U^0\}, \{U^1\} \dots \{U^i\}$ unde $\{U^i\}$ este calculat din valoarea precedentă $\{U^{i-1}\}$ prin rezolvarea sistemului liniar de ecuații

$$[K(U^{i-1})]\{U^i\} = \{F\} ; i = 1, 2, 3 \quad (4.84)$$

Sistemul (4.84) se rescrie într-o formă incrementală, mai convenabilă.

$$\begin{aligned} \{R^i\} &= \{U^{i-1}\} = \{F\} - [K(U^{i-1})]\{U^{i-1}\} \\ [K(U^{i-1})]\{\Delta U^i\} &= \{R^i\} \\ \{U^i\} &= \{U^{i-1}\} + \{\Delta U^i\} \end{aligned} \quad (4.85)$$

Algoritmul metodei este prezentat în fig.4.14.

În testul de convergență se utilizează doi vectori normați.

Selectarea valorii aproximative inițiale $\{u^0\}$

Construirea vectorului global $\{F\}$ din vectorii elementari $\{f\}$
 $i=1, 2, \dots$ (pentru fiecare iteratie)

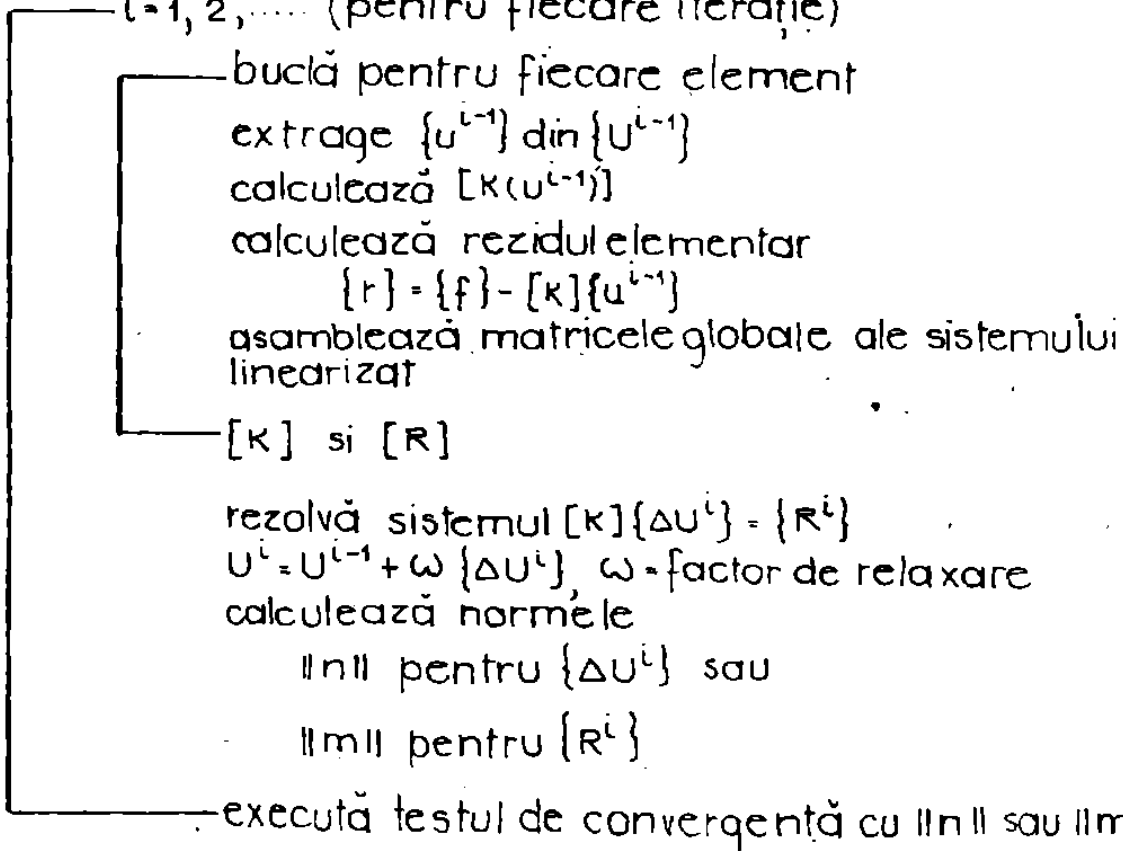


fig. 4.14

- norma maximă

$$\|n\| = \max_j |\Delta U_j|^i \quad \text{sau} \quad \|m\| = \max_j |R_j|^i \quad (4.86)$$

- norma euclidiană

$$\|n\| = \sqrt{\langle \Delta U^i \rangle \{ \Delta U^i \}} \quad \text{sau} \quad \|m\| = \sqrt{\langle R^i \rangle \{ R^i \}} \quad (4.87)$$

In mod frecvent în testele de convergență se utilizează normele valorilor relative /134/, /135/.

$$\|n\| = \max_j \left| \frac{\Delta U_j}{U_j} \right|^i, \quad (4.88)$$

care în cazul normei euclidiene pentru U_j suficient de mic, astfel încât poate fi substituit de U_j , devine :

$$\|n\| = \frac{\sqrt{\langle \Delta U^i \rangle \{ U^i \}}}{\sqrt{\langle U^i \rangle \{ U^i \}}} \quad (4.89)$$

Procesul iterativ se încheie când pentru un ϵ suficient de mic, prestabilit, $\|n\| < \epsilon$.

Dacă în ecuația (4.85) matricea $[K]$ se descompune într-o matrice constantă, liniară $[K_L]$ și o matrice neliniară $[K_{NL}]$ rezultă

$$([K_L] + [K_{NL}(U^{i-1})])\{\Delta U^i\} = \{R^i\}$$

Pentru pași de iterare suficient de mici $[K_{NL}]$ se poate neglija și expresia precedentă devine

$$\begin{aligned} [K_L]\{\Delta U^i\} &= \{R\} \\ \{U^i\} &= \{U^{i-1}\} + \{\Delta U^i\} \end{aligned} \quad (4.85')$$

Matricea $[K_L]$ fiind constantă trebuie să fie asamblată și factorizată numai o dată la începutul procesului. Algoritmul construit pe baza (4.85') constituie așa numita metoda Newton-Raphson modificată.

4.4.2.3. Algoritmul metodei Newton-Raphson modificate.

Schematic algoritmul acestei metode se prezintă în figura 4.15.

Selectează și calculează o soluție aproximativă inițială $\{U^0\}$; poate fi utilizat și un vector nul.

asamblează vectorul global $\{F\}$ din $\{f\}$

asamblează matricea globală liniară $[K_L]$ din $[K_L]$

factorizează $[K_L]$

$i = 1, 2, \dots$ (pentru fiecare iterație)

bucă pe fiecare element

extrage $\{u^{i-1}\}$ din $\{U^{i-1}\}$

asamblează $\{R^i\}$ din $\{r\}$

$$\{r\} = \{f\} - [K]\{U^{i-1}\} \quad (4.90)$$

rezolvă $[K_L]\{\Delta U^i\} = \{R^i\}$

calculează $\{U^i\} = \{U^{i-1}\} + \{\Delta U^i\}$

calculează $\|n\|$

execută testul de convergență

fig 4.15

4.4.2.4. Algoritmul metodei Newton-Raphson.

Se presupune că pentru o soluție U^{i-1} se obține reziduul

$$\{R(U^{i-1})\} = \{F\} - [K(U^{i-1})] \{U^{i-1}\} \neq 0, \quad (4.91)$$

ar putea fi iteratia U^i .

$$\{R(U^i)\} = \{R(U^{i-1}) + \Delta U^i\} \approx 0 \quad (4.92)$$

Se dezvoltă în serie Taylor funcția reziduală

$$\{R(U^{i-1} + \Delta U^i)\} = \{R(U^{i-1})\} + \left[\frac{\partial R}{\partial U} \right]_{U=U^{i-1}} \{\Delta U^i\} + \dots = 0 \quad (4.93)$$

Neglijând termenii de ordin superior rezultă

$$- \left[\frac{\partial R}{\partial U} \right] \{\Delta U^i\} = \{R(U^{i-1})\}$$

sau

$$\begin{aligned} \{[K_t(U^{i-1})] \{\Delta U^i\}\} &= \{R(U^{i-1})\} \\ \{U^i\} &= \{U^{i-1}\} + \{\Delta U^i\} \end{aligned} \quad (4.94)$$

Matricea tangentă $[K_t(U^{i-1})]$ se obține prin diferențierea expresiei (4.82).

$$[K_t(U)] = - \left[\frac{\partial R}{\partial U} \right] = - \left[\frac{\partial F}{\partial U} \right] + [K(U)] + \left[\frac{\partial [K(U)]}{\partial U} \right] \{U\} \quad (4.95)$$

Dacă $\{F\}$ este independent de $\{U\}$ rezultă

$$[K_t(U)] = [K(U)] + \left[\frac{\partial [K(U)]}{\partial U} \right] \{U\} \quad (4.96)$$

sau, exprimând această relație în termeni individuali

$$(K_t)_{ij} = K_{ij} + \sum_k \frac{\partial K_{ij}}{\partial U_k} U_k \quad (4.97)$$

Expresia (4.94) este similară ca formă cu (4.85), cu observația că matricea $[K]$ se înlocuiește cu $[K_t]$.

Matricea tangentă globală $[K_t]$ se obține prin asamblarea matricilor tangente elementare $[k_t]$. Pentru obținerea matricei $[k_t]$ se pleacă de la forma integrală.

$$W(u) = \sum_{e=1}^n w^e = \sum_{e=1}^n \int_V \delta(\partial u) R(u) dV = 0 \quad (4.98)$$

Se dezvoltă în serie Taylor $W(u)$ în vecinătatea lui U^{i-1}

$$W(u^i) = W(u^{i-1}) + \Delta(W)_{i-1} + \dots = 0, \quad (4.99)$$

unde $\Delta(W)$ este prima variație a lui W , care nu se confundă în genera cu termenii δ din 4.98.

Discretinzând în elemente finite se obține :

$$w(U^{i-1}) = \langle \delta U_n \rangle ([K(U^{i-1})] \{U_n^{i-1}\} - \{F\}) = -\langle \delta U_n \rangle \{R(U^{i-1})\}. \quad (4.100)$$

$$\Delta w(U^{i-1}) = \langle \delta U_n \rangle [K_t(U^{i-1})] \{\Delta U^i\}, \quad (4.101)$$

unde $\{\Delta U^i\}$ înlocuiește variația $\{\Delta U_n\}$ a lui $\{U_n\}$ pe parcursul unei iterații. În aceste condiții (4.99) devine

$$\langle \delta U_n \rangle ([K_t(U^{i-1})] \{\Delta U^i\} - \{R(U^{i-1})\}) = 0 \quad \forall \langle \delta U_n \rangle, \quad (4.102)$$

expresie care este identică cu (4.94).

În fig.4.16 este prezentat schematic algoritmul pe baza căruia se poate construi matricea tangentă $[K_t]$ cu punere în evidență a celor două ramuri corespunzătoare celor două relații (4.94) și (4.102).

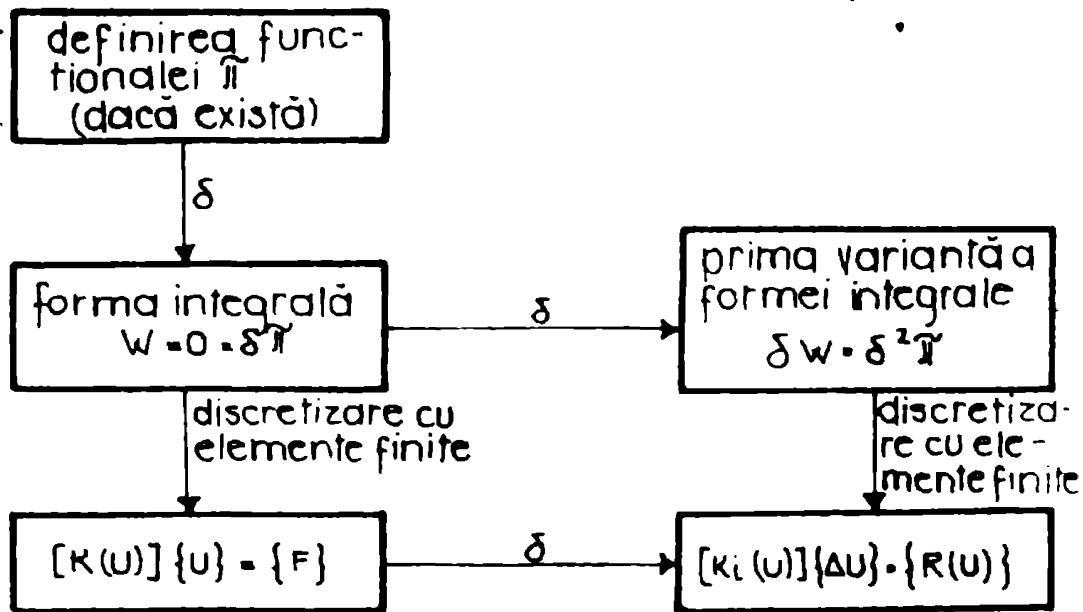


fig.4.16

4.4.2.5. Algoritmul metodei incrementale (pas cu pas)

Valoarea inițială a soluției $\{U^0\}$ joacă un rol esențial în metodele iterative. O alegere necorespunzătoare poate să conducă cu ușurință la rezultate eronate.

Metoda incrementală constă în înlocuirea soluției ecuației matriciale

$$[K(U)] \{U\} = \lambda \{F_0\} = \{F\} \quad (4.103)$$

prin soluții succesive ale ecuației

$$[K(U_j)] \{U_j\} = \lambda_j \{F_0\}; \quad \lambda_j = \lambda_1, \lambda_2, \dots, \lambda \quad (4.104)$$

Valoarea inițială utilizată pentru calculul lui U_j este soluția U_{j-1} obținută în pasul precedent. Fiecare pas este o problemă neliniară care trebuie rezolvată prin una sau mai mul-

te iterații cu metodele Newton-Raphson sau Newton-Raphson modificată. Dacă se utilizează prima dintre metode în fiecare pas se obține:

$$\begin{aligned} \{R(U_{j-1})\} &= \lambda_{j-1} \{F_0\} - [K(U_{j-1})] \{U_{j-1}\} \\ [K_t(u_{j-1})] \{\Delta U_j\} &= \{R(U_{j-1})\} + (\lambda_j - \lambda_{j-1}) \{F_0\} \\ \{U_j\} &= \{U_{j-1}\} + \{\Delta U_j\} \end{aligned} \quad (4.105)$$

Dacă se utilizează mai mult decît o singură iterație Newton-Raphson rezultă

$$\begin{aligned} [K_t(U_j^{i-1})] \{\Delta U_j^i\} &= \{R(U_j^{i-1})\} + (\lambda_j - \lambda_{j-1}) \{F_0\} \\ \{U_j^i\} &= \{U_j^{i-1}\} + \{\Delta U_j^i\}, \quad i = 2, 3, \dots \end{aligned} \quad (4.106)$$

4.4.2.6. Algoritm pentru schimbarea variabilelor independente.

Pentru mai multe probleme există mai multe soluții $\{U_n\}$ pentru o anumită treaptă de încărcare $\lambda \{F_0\}$ (fig.4.17).

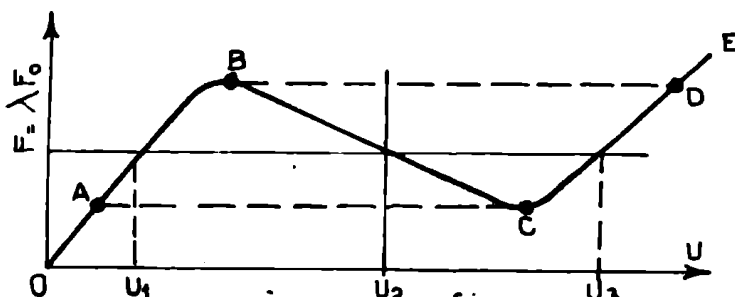


fig.4.17

Metodele prezentate pot da soluții în domeniile OAB și EDC. Pentru a avea soluții în intervalul BC se aleg valorile componentelor U_ℓ ale vectorului $\{U\}$, urmînd să fie determinat parametrul (factorul) λ , necunoscut, al încărcării.

Se subliniază că între punctele B și C există o singură valoare $\lambda \{F\}$ pentru un U_ℓ dat. Din (4.106) rezultă

$$[K_t] \{\Delta U\} = \{R\} + \Delta \lambda \{F_0\} \quad (4.107)$$

Introducînd $\Delta \lambda$ în vectorul necunoscutelor $\{\Delta U\}$ și impunînd condiția $\Delta U_\ell = 0$ rezultă

$$\begin{bmatrix} K_{t11} & \dots & K_{t1n} \\ \vdots & \ddots & \vdots \\ K_{tn1} & \dots & K_{tnn} \end{bmatrix} \begin{bmatrix} \vdots \\ -F_0 \\ \vdots \end{bmatrix} = \begin{bmatrix} U_1 \\ \vdots \\ U_{-1} \\ \vdots \\ U_{+1} \\ \vdots \\ U_n \end{bmatrix} = \{R\} \quad (4.108)$$

și

$$U_\ell = \bar{U}_\ell \quad (4.109)$$

Prin înlocuirea coloanei ℓ din $[K_t]$ prin vectorul $\{F_o\}$ s-a distrus simetria matricei și s-a schimbat lățimea semibenzii. Pentru a se evita această inconveniență se rezolvă (4.107) de două ori pentru vectorii ai încărcărilor nodale diferiți menținând aceeași matrice $[K_t]$.

$$\begin{aligned} [K_t] \{\Delta U^R\} &= \{R\} \\ [K_t] \{\Delta U^F\} &= \{F_o\} \end{aligned} \quad (4.110)$$

Soluția ecuației (4.107) va fi

$$\{\Delta U\} = \{\Delta U^R\} + \Delta\lambda \{\Delta U^F\} \quad (4.111)$$

Necunoscuta λ rezultă în baza condiției (4.109)

$$\begin{aligned} \Delta U_\ell &= 0 = \Delta U_\ell^R + \Delta\lambda U_\ell^F \\ \Delta\lambda &= - \frac{\Delta U_\ell^R}{\Delta U_\ell^F} \end{aligned} \quad (4.112)$$

Algoritmul acestui procedeu este dat în figura (4.18).

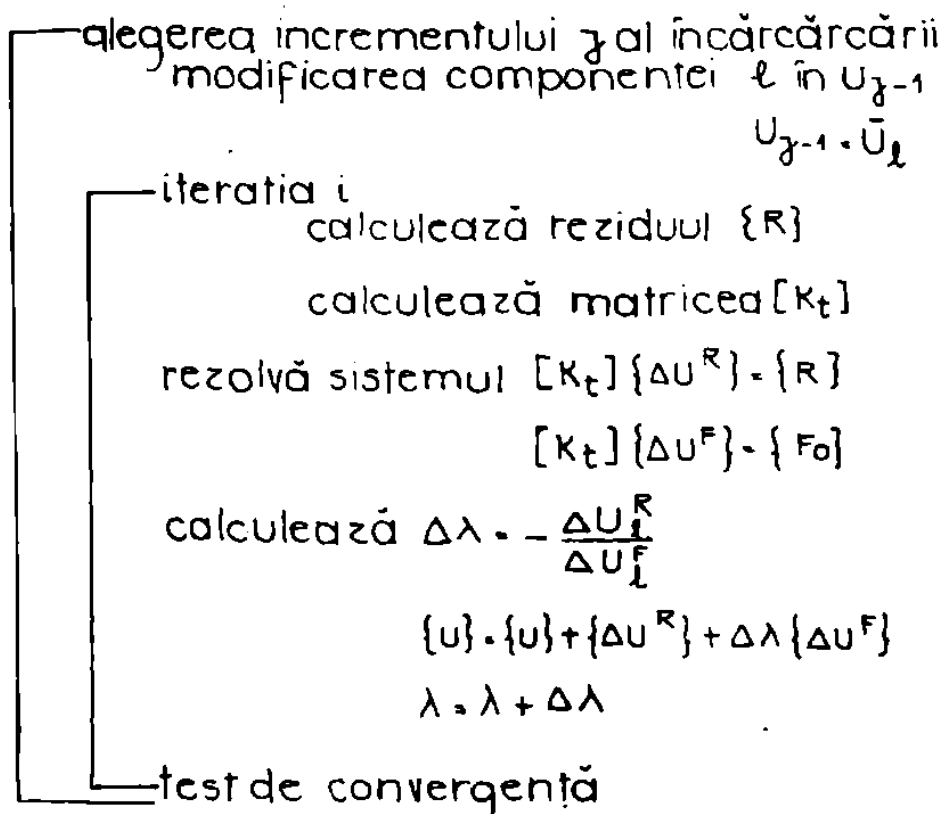
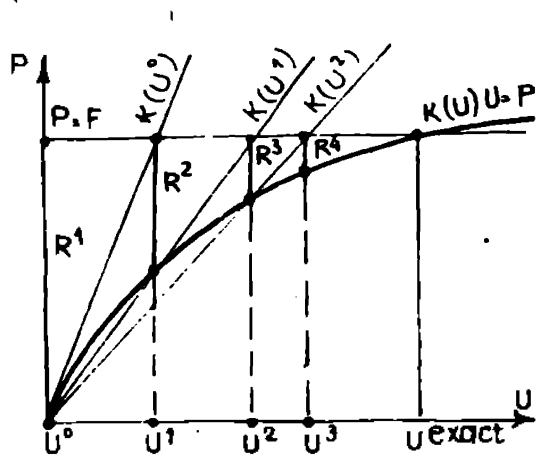


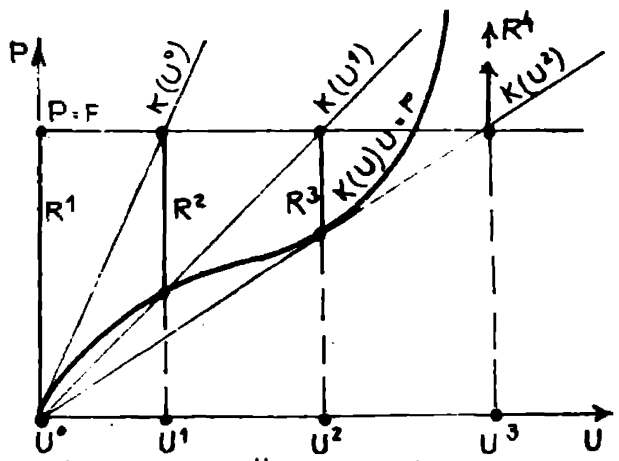
Fig.4.18

4.4.2.7. Alegerea metodei de rezolvare.

În figura 4.19 se prezintă imaginea grafică a algoritmilor prezentate anterior particularizate pentru o problemă uni-dimensională.

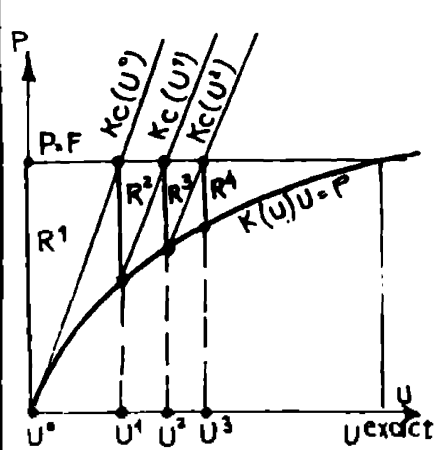


a) proces convergent

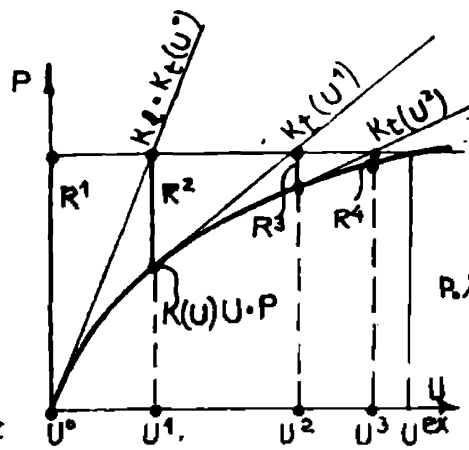


b) proces divergent

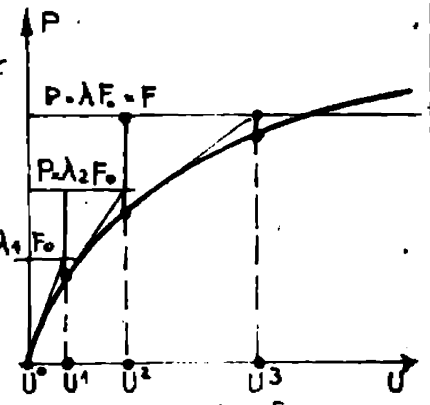
1) Metoda substituției : algoritmul (4.85)



2) Metoda Newton-Raphson modificată : algoritmul (4.91)

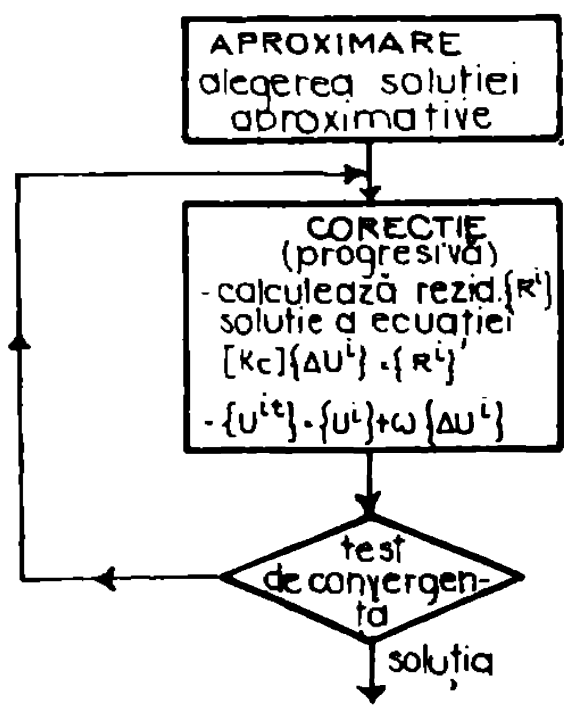


3) Metoda Newton-Raphson : algoritmul (4.95)



4) Metoda incrementală cu o iterare N-R algoritmul (4.105)

fig. 4.19



Algoritmul general al celor patru metode

fig. 4.20

Cele patru metode sînt conținute în algoritmul formal comun din figura 4.2.a. Pentru oricare metodă expresia rezidului $\{R\}$ este aceeași, ceea ce se schimbă cu metoda este expresia matricei $[K_c]$, cu efecte în procesul de convergență.

$$[K_c] = [K], \text{ metoda substituției}$$

$$[K_c] = [K], \text{ metoda Newton-Raphson modificată}$$

$$[K_c] = [K_t], \text{ metoda Newton-Raphson}$$

Algoritmul general pentru rezolvarea problemelor neliniare este prezentat în figura 4.21.

alege $\omega, \Delta\lambda, \text{IMET}$

$$IKT=1$$

$$\lambda=0$$

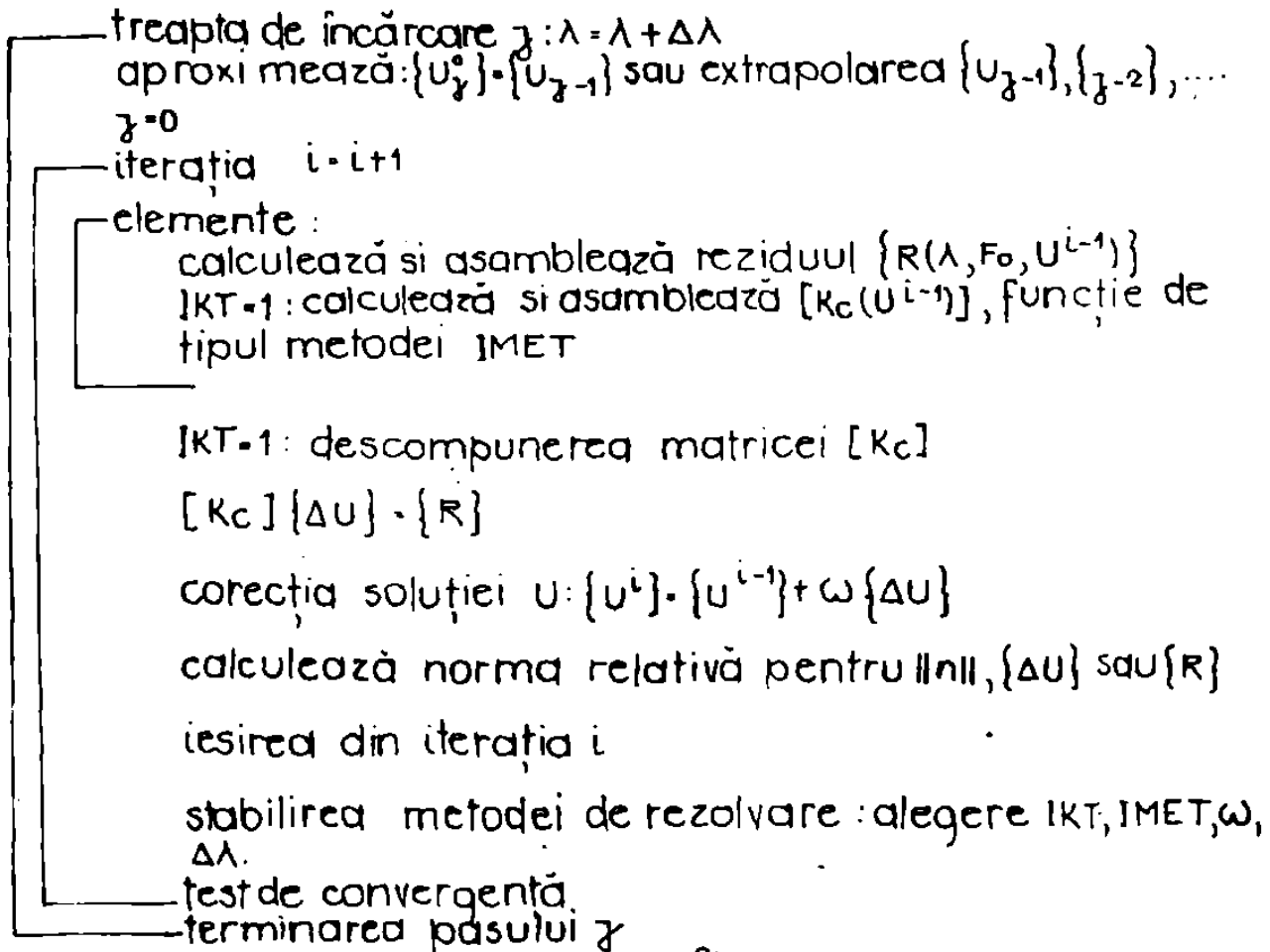


fig 4.21

Algoritmul din figura 4.21 intră în execuție pe baza următoarelor precizări:

- numărul și ordinul de mărime a incrementului încărcării $\Delta\lambda$;
- numărul maxim de iterații pentru o treaptă de încărcare și criteriul de convergență (tipul normei și precizia dorită);

- tipul matricii se stabilește în funcție de valoarea DMET: $[K_j]$ din (4.85'), $[K(U^{i-1})]$ din (4.85) sau $[K_t(U^{i-1})]$ din (4.96) ;
- stabilirea unei relații pentru aproximarea inițială a soluției U_j^0 , pentru fiecare treaptă j a încărcării ;
- valoarea factorului de relaxare.

4.4.3. Rezolvarea problemelor nestaționare /18/, /45/, /152/ /153/, /201/.

4.4.3.1. Probleme de propagare

Problemele dependente de timp- nestaționare - se numesc probleme de propagare. Discretizarea cu elemente finite conduce la două tipuri de sisteme de ecuații diferențiale ordinare care caracterizează problemele de propagare.

(1) Sisteme nestaționare de ordinul I

$$[C] \{U\} + [K] \{U\} = \{P\}, \quad t > t_0 \quad (4.113)$$

$$\{U(t_0)\} = \{U_0\}$$

(2) Sisteme nestaționare de ordinul II

$$[M] \{\ddot{U}\} + [C] \{\dot{U}\} + [K] \{U\} = \{P\}, \quad t > t_0 \quad (4.114)$$

$$\{U(t_0)\} = \{U_0\}; \quad \{\dot{U}(t_0)\} = \{\dot{U}_0\}$$

în care:

$$\dot{U} = \frac{\partial}{\partial t} \{U\}; \quad \ddot{U} = \frac{\partial^2}{\partial t^2} \{U\} = \frac{\partial}{\partial t} \{\dot{U}\}$$

$[M]$ = matricea maselor

$[C]$ = matricea de amortizare sau de expansiune

$[K]$ = matricea de rigiditate sau de conductivitate

$\{P\}$ = vectorul încărcărilor

$\{U(t)\}$ = vectorul necunoscutelor

Pentru rezolvarea sistemelor (4. 113) și (4.114) se vor prezenta în cele ce urmează două metode :

- integrarea directă, sau metoda pas cu pas ;
- metoda suprapunerii nodurilor fundamentale.

Integrarea directă constă în construcția secvențială a valorilor soluției din valorile inițiale $\{U_0\}$ la momentele $t_0 + \Delta t$; $t_0 + 2\Delta t$; ... $t_0 + n\Delta t$, ...

$$\{U(t_0)\} \rightarrow \{U(t_0 + \Delta t)\} \rightarrow \{U(t_0 + 2\Delta t)\} \rightarrow \dots \rightarrow \{U(t_0 + n\Delta t)\} \quad (4.115)$$

Un număr mare de tehnici de integrare directă sînt dezvoltate pe baza aproximării cu diferențe finite a necunoscutelor $\{U\}$ și $\{\ddot{U}\}$. Zenkiewicz a propus o metodă de discretizare a domeniului de timp utilizînd pentru aceasta elemente finite.

În metoda suprapunerii nodurilor fundamentale sistemele cuplate (4.113) și (4.114) se decuplează în ecuații modale. Fiecare ecuație modală se rezolvă numeric, iar rezultatul final se obține ca o combinație liniară a modurilor fundamentale.

Problemele de dinamica structurilor sînt caracterizate de sistemul de ordinul II (4.114), așa că în cele ce urmează se vor prezenta metode de rezolvare aplicate acestui gen de probleme.

4.4.3.2. Metoda integrării directe.

4.4.3.2.1. Metoda diferențelor finite.

Dacă se scriu în diferențe finite derivătele care intervin în (4.114) exprimate la momentul t :

$$\begin{aligned} \{\dot{U}_t\} &= \left\{ \frac{1}{2\Delta t} \right\} (\{U_{t+\Delta t}\} - \{U_{t-\Delta t}\}) \\ \{\ddot{U}_t\} &= \frac{1}{\Delta t^2} (\{U_{t+\Delta t}\} - 2\{U_t\} + \{U_{t-\Delta t}\}) \end{aligned} \quad (4.115, a, b)$$

se obține

$$\begin{aligned} [\bar{K}]\{U_{t+\Delta t}\} &= \{R_t\} \\ [\bar{K}] &= [M] + \frac{\Delta t}{2} [C] \end{aligned} \quad (4.116 a)$$

unde

$$\{R_t\} = \Delta t^2 \{F_t\} + [M](2\{U_t\} - \{U_{t-\Delta t}\}) + \frac{\Delta t}{2} [C]\{U_{t-\Delta t}\} - \Delta t^2 [K]\{U_t\}$$

sau în forma incrementală

$$\begin{aligned} [\bar{K}]\{\Delta U\} &= \{\bar{R}_t\} \\ \{\bar{R}_t\} &= \Delta t^2 \{F_t\} + [M](\{U_t\} - \{U_{t-\Delta t}\}) + \frac{\Delta t}{2} [C](\{U_t\} + \{U_{t-\Delta t}\}) - \Delta t^2 [K]\{U_t\} \\ \{U_{t+\Delta t}\} &= \{U_t\} + \{\Delta U\} \end{aligned} \quad (4.116 b)$$

4.4.3.2.2. Metoda Houbolt.

Derivatele necunoscutelor $\{U\}$ se exprimă în diferențe finite la momentul $t+\Delta t$, în forma următoare :

$$\begin{aligned} \{\ddot{U}_{t+\Delta t}\} &= \frac{1}{\Delta t^2} (2\{U_{t+\Delta t}\} - 5\{U_t\} + 4\{U_{t-\Delta t}\} - \{U_{t-2\Delta t}\}) \\ \{\dot{U}_{t+\Delta t}\} &= \frac{1}{6\Delta t} (11\{U_{t+\Delta t}\} - 18\{U_t\} + 9\{U_{t-\Delta t}\} - 2\{U_{t-2\Delta t}\}) \end{aligned} \quad (4.117, a, b)$$

Cu aceste relații 4.114 devine

$$[\bar{K}] \{U_{t+\Delta t}\} = \{R_{t+\Delta t}\}$$

$$[\bar{K}] = 2[M] + \frac{11}{6} \Delta t [C] + \Delta t^2 [K]$$

$$\{R_{t+\Delta t}\} = \Delta t^2 \{F_{t+\Delta t}\} + [M] (5\{U_t\} - 4\{U_{t-\Delta t}\} + \{U_{t-2\Delta t}\}) + \Delta t [C] (3\{\dot{U}_t\} - \frac{3}{2} \{U_{t-\Delta t}\} + \frac{1}{3} \{U_{t-2\Delta t}\}) \quad (4.118)$$

sau în funcție de $\{\Delta U\}$

$$[\bar{K}] \{\Delta U\} = \{R_{t+\Delta t}\} - [K] \{U_t\}$$

$$\{U_{t+\Delta t}\} = \{U_t\} + \{\Delta U\}$$

Acest algoritm conduce întotdeauna la soluții stabile.

Pentru probleme neliniare în care $[M]$ și $[C]$ sînt constante dar $[K]$ depinde de $\{U\}$, corecția $\{U_{t+\Delta t}\}$ pe parcursul fiecărei iterații în cadrul unui interval (pas) de timp este:

$$[K_{n\ell}] \{\Delta U^i\} = \{R_{t+\Delta t}\} - [\bar{K} (U_{t+\Delta t}^{i-1})] \{U_{t+\Delta t}^{i-1}\} \quad (4.119)$$

$$\{U_{t+\Delta t}^i\} = \{U_{t+\Delta t}^{i-1}\} + \{\Delta U^i\}$$

În metoda substituției

$$[K_{n\ell}] = [\bar{K}] \quad (4.120)$$

În metoda Newton-Raphson

$$[K_{n\ell}] = [K_t] = [\bar{K}] + \Delta t^2 \left[\frac{\partial K}{\partial U} U \right]_{t+\Delta t}^{i-1} \quad (4.121)$$

4.4.3.2.3. Metodele Newmark-Wilson

Aceste metode implicite introduc în ecuația (4.114) exprimată la momentul $t+\Delta t$ următoarele expresii pentru

$$\{\dot{U}_{t+\tau}\} \text{ și } \{U_{t+\tau}\}$$

$$\{\dot{U}_{t+\tau}\} = \{\dot{U}_t\} + \tau((1-a)\{\ddot{U}_t\} + a\{\ddot{U}_{t+\tau}\}) \quad (4.122, a, b)$$

$$\{U_{t+\tau}\} = \{U_t\} + \tau\{\dot{U}_t\} + \frac{\tau^2}{2} ((1-b)\{\ddot{U}_t\} + b\{\ddot{U}_{t+\tau}\})$$

algoritmul general al metodelor de integrare directă	metoda diferențelor finite	metoda Houbolt	metoda Newmark-Wilson
<p>operații preliminare: definirea parametrilor asamblarea și triangularizarea matricei $[K]$ $[K] \cdot a_0 [M] + a_1 [c] + a_2 [K]$ initializarea vectorilor $\{u\}$ în cadrul fiecărui pas de timp calculează rîndul rezolvă sistemul în $\{u_{t+\Delta t}\}$ pregătește pasul următor</p>	<p>Δt</p> <p>$a_0 = 1, a_1 = \frac{\Delta t}{2}, a_2 = 0$ $\{u_{t_0}\}$, cunoscut $\{u_{t_0+\Delta t}\}$ din (4.115)</p> <p>(4.116a)</p> <p>se transferă 2 vectori</p>	<p>Δt</p> <p>$a_0 = 2, a_1 = \frac{11}{6} \Delta t, a_2 = \Delta t^2$ $\{u_{t_0}\}$, cunoscut $\{u_{t_0+\Delta t}\}$ se determină cu alte metode $\{u_{t_0-\Delta t}\}$</p> <p>(4.116)</p> <p>se transferă 3 vectori</p>	<p>$\Delta t, \theta, a, b$</p> <p>$a_0 = 1, a_1 = \theta \Delta t a$ $a_2 = (\frac{\theta \Delta t}{2})^2 b$ $\{u_{t_0}\}$, cunoscut $\{\ddot{u}_{t_0}\}$, cunoscut $\{\ddot{u}_{t_0}\}$ din (4.115)</p> <p>(4.123)</p> <p>se calculează $\{u\}, \{\ddot{u}\}$, conform metodei Wilson ($\theta \neq 1$)</p>

fig. 4.22

Pentru $a = b = \frac{1}{2}$ aceste aproximații sînt echivalente din punct de vedere fizic cu a acceptă că accelerația este constantă și egală cu valoarea sa medie pe parcursul intervalului $(t, t+\tau)$.

Pentru $a = \frac{1}{2}$ și $b = \frac{1}{3}$ aceleași aproximații conduc la o variație liniară pe intervalul $(t, t+\tau)$.

Ecuația (4.114) scrisă la momentul $(t+\tau)$ devine :

$$[\bar{K}] \{U_{t+\tau}\} = \{R_{t+\tau}\} \quad (4.123)$$

unde

$$[\bar{K}] = [M] + \tau_q [C] + \frac{\tau^2}{2} b [K]$$

$$\begin{aligned} \{R_{t+\tau}\} = & \frac{\tau^2}{2} b \{F_{t+\tau}\} + [M] (\{U_t\} + \tau \{\dot{U}\} + \frac{\tau^2}{2} (1-b) \{\ddot{U}_t\}) \\ & + [C] (\tau_a \{U_t\} + \frac{\tau^2}{2} (2a-b) \{\dot{U}_t\} + \frac{\tau^3}{2} (a-b) \{\ddot{U}_t\}) \end{aligned}$$

În metoda Newmark $\tau = \Delta t$, iar în metoda Wilson $\tau = \vartheta \Delta t$ cu $\vartheta > 1$. Metoda Newmark este stabilă necondiționat dacă $a \geq \frac{1}{2}$ și $b \geq \frac{1}{2} (a + \frac{1}{2})^2$, iar metoda Wilson pentru $a = \frac{1}{2}$, $b = \frac{1}{3}$ și $\vartheta = 1,4$. În figura 4.22 se prezintă schematic algoritmele celor trei metode de integrare prezentate.

4.4.3.3. Metoda suprapunerii modurilor fundamentale.

Sistemul de ordinul II descris de ecuația (4.114) se scrie cu ajutorul valorilor și vectorilor proprii, λ și respectiv $\{X\}$ în forma

$$([K] - \lambda [M]) \{X\} = 0 \quad (4.124)$$

Introducînd transformarea

$$\{U(t)\} = [X] \{V(t)\} \quad (4.125)$$

în care matricea de transformare $[X]$ este constituită din n vectori proprii $\{X_i\}$ (4.124) devine

$$\{\ddot{V}(t)\} + [X]^T [C] [X] \{\dot{V}(t)\} + [\lambda] \{V(t)\} = \{\bar{F}(t)\} \quad (4.126)$$

Ecuația (4.126) se poate decupla în ipotezele

- (1) $[C]$ este o matrice nulă
- (2) $[C]$ este o combinație liniară între $[M]$ și $[K]$

$$[C] = c_1 [M] + c_2 [K] \quad (4.127)$$

și deci,

$$[X]^T [C] [X] = c_1 [I] + c_2 [\lambda]$$

Acest produs matricial se poate înlocui cu următoarea matrice diagonală :

$$[X]^T [C][X] = \begin{bmatrix} 2\xi_1 \omega_1 & & & \\ & 2\xi_2 \omega_2 & & \\ & & \dots & \\ & & & 2\xi_i \omega_i & \dots \\ & & & & \dots & \dots \end{bmatrix} ; \omega_i = \sqrt{\lambda_i} \quad (4.128)$$

în care ξ_i reprezintă rata (coeficientul) de amortizare pentru modul i . Ipoteza (4.127) permite obținerea a maximum două valori nenule pentru ξ_i .

Dacă ecuația (4.126) este decuplată se obține

$$\ddot{V}(t) + 2\omega_i \xi_i \dot{V}(t) + \omega_i^2 V(t) = F_i(t) \quad (4.129)$$

pentru care soluția generală se scrie cu ajutorul integralei lui Duhamel la momentul $t_0 = 0$:

$$V_i(t) = e^{-\xi_i \omega_i t} (\alpha_1 \sin \bar{\omega}_i t + \alpha_2 \cos \bar{\omega}_i t) + \frac{1}{\omega_i} \int_0^t e^{-\xi_i \omega_i (t-s)} \sin \bar{\omega}_i (t-s) \bar{F}_i(s) ds \quad (4.130)$$

$$\bar{\omega}_i = \omega_i \sqrt{1 - \xi_i^2}$$

$$F_i(t) = F_0 + \frac{F_1 - F_0}{t_1 - t_0} = a + bt \quad \text{pentru } 0 \leq t \leq t_1 - t_0$$

Introducînd notațiile de mai sus soluția ecuației (4.129) ia forma

$$V_i(t_0 + t) = a_0 + a_1 t + e^{-\xi_i \omega_i t} (a_2 + \cos \bar{\omega}_i t + a_3 \sin \bar{\omega}_i t) \quad (4.131)$$

$$a_0 = \frac{a}{\omega_i^2} - 2 \frac{\xi_i b}{\omega_i^3} ; a_1 = \frac{b}{\omega_i^2} ; a_2 = V_i(t_0) - a_0 ; a_3 = \frac{1}{\omega_i} (V_i(t_0) + \xi_i \omega_i a_2 - a_1)$$

4.4.4. Rezolvarea problemelor de valori proprii /45/, /110/, /112/, /152/, /159/, /201/.

4.4.4.1. Probleme de valori proprii.

Rezolvarea unei probleme matriceale de valori proprii constă în găsirea soluțiilor λ_i - valorile proprii și $\{X_i\}$ - vectorii proprii pentru ecuația:

$$[K] \{X_i\} = \lambda_i [M] \{X_i\} \quad (4.132)$$

cu condiția de normalizare a vectorilor proprii

$$\langle X_i \rangle \{ X_i \} = 1 \text{ sau } \langle X_i \rangle [M] \{ X_i \} = 1$$

Valorile și vectorii proprii caracterizează trei categorii de probleme :

(1) Dinamica structurilor, în care se pune problema determinării modurilor fundamentale de vibrații. În acest caz termenii ecuației (4.132) sînt :

[K] - matricea de rigiditate a structurii

[M] - matricea maselor

{X_i} - vectorul deplasărilor nodale ale structurii în modul i de vibrație

$\lambda_1 = \omega_1^2$, ω_1 = frecvența oscilațiilor proprii în modul i

(2) Stabilitatea structurilor în care se pune problema determinării încărcării critice de flambaj . În acest caz termenii ecuației (4.132) sînt:

[K] - matricea de rigiditate a structurii

[M] = [K_G] - este o matrice geometrică sau matricea tensiunilor inițiale

{X_i} - vectorul deplasărilor nodale pentru modul i de flambaj

λ_1 - definește amplitudinea forței critice

(3) Probleme nestationare de ordinul I și II.

Pentru rezolvarea ecuației (4.132) se precizează trei metode de calcul :

- iterația inversă
- rotația Jacobi
- iterația pe subspații.

4.4.4.2. Caracteristici fundamentale ale problemelor de valori proprii.

4.4.4.2.1. Formularea simplificată a problemelor de valori proprii.

Se consideră că matricile [K] și [M] sînt matrici reale, simetrice pozitiv definite . Ecuația generală (4.132) se poate reduce la :

$$[K] \{ \bar{X} \} = \lambda \{ \bar{X} \} \quad (4.133)$$

Dacă [M] este pozitiv definită se poate exprima pe baza descompunerii Cholesky - ca în cazul sistemelor liniare- în forma

$$[M] = [L][L]^T \quad ; \quad L = \begin{bmatrix} & & & 0 \\ & \sqrt{S_{1j}} & & \\ 0 & & & \end{bmatrix} \quad (4.134)$$

Rezultă:

$$\begin{aligned} \{\bar{X}\} &= [L]^T \{\dot{X}\} \\ [\bar{K}] &= [L]^{-1} [K] [K]^{-1,T} \end{aligned}$$

Dacă $[M]$ nu este pozitiv definită (4.132) se modifică în forma următoare :

$$[M] \{X\} = \frac{1}{\lambda} [K] \{X\} = \lambda [K] \{X\} \quad (4.135)$$

4.4.4.2.2. Valori proprii.

Fie n valori proprii λ_i distincte sau nu care satisfac (4.132) Dacă cele două matrice $[K]$ și $[M]$ sînt pozitiv definite toate valorile λ_i vor fi pozitive

$$\lambda_n \geq \lambda_{n-1} \dots \lambda_2 \geq \lambda_1$$

și (4.132) se poate scrie în forma

$$([K] - \lambda[M]) \{X\} = 0 \quad (4.136)$$

Ecuația (sistemul (4.136) are soluții nebanale dacă expresia $([K] - \lambda[M])$ este singulară, adică

$$\det([K] - \lambda[M]) = P(\lambda) = 0$$

4.4.4.2.3. Vectori proprii.

Fiecărei valori proprii îi corespunde o soluție a vectorilor proprii. Pentru a rezolva sistemul singular omogen (4.132) este necesară o ecuație suplimentară pentru definirea unică a vectorului, se poate utiliza o condiție de normalizare, spre exemplu

$$\langle X_i \rangle [M] \{X_i\} = 1 \quad (4.137)$$

Vectorii proprii vor satisface următoarele condiții de ortogonalizare

$$\langle X_i \rangle [K] \{X_j\} = \lambda_i \delta_{ij} ; \delta_{ij} = \begin{cases} 0, & i \neq j \\ 1, & i = j \end{cases} \quad (4.138, a, b)$$

$$\langle X_i \rangle [M] \{X_j\} = \delta_{ij}$$

Dacă aceste condiții sînt satisfăcute $[K]$ este ortogonală, iar $[M]$ ortonormală. Vectorii proprii se regroupează într-o matrice modală $[X]$.

$$[X] = [\{X_1\} \dots \{X_1\} \dots] \quad (4.139)$$

cu care (4.132) devine

$$[K] [X] = [M] [X] [\lambda], \quad [\lambda] = \begin{bmatrix} \lambda_1 & & & 0 \\ & \lambda_2 & & \\ & & \dots & \\ & & & \lambda_i & \\ & & & & \dots \\ 0 & & & & & \dots \end{bmatrix} \quad (4.140)$$

Ecuatiile (4.138) se transformă

$$[X]^T [K] [X] = [\lambda]$$

$$[X]^T [M] [X] = [I] \quad (4.141, a, b)$$

și, în plus, înmulțind și împărțind cu $[X]$ în (4.141 b)

$$[X] [X]^T [M] = [I]$$

4.4.4.2.4. Descompunerea spectrală.

Se înmulțește și se împarte (4.140) cu $[X]^T [M]$. rezultă dacă $[M]$ este simetrică :

$$[K] = [M][X][\lambda]([M][X])^T \quad (4.142)$$

sau notînd $\{Y_i\} = [M]\{X_i\}$

$$[K] = \sum_{i=1}^n \lambda_i \{Y_i\} \langle Y_i \rangle \quad (4.143 a)$$

Descompunerea spectrală a matricei $[K]$ este definită de (4.143 a) dacă $[M] = [I]$

$$[K] = \sum_{i=1}^n \lambda_i \{X_i\} \langle X_i \rangle = \sum_{i=1}^n \lambda_i [P_i] \quad (4.143 b)$$

$$[K]^P = \sum_{i=1}^n \lambda_i^P [P_i] \quad (P \geq 0) \quad (4.144 c)$$

Raza spectrală a matricei $[K]$ se definește prin

$$\rho(K) = \max |\lambda_i| \leq \|K\|_{\infty} \quad (4.145)$$

$$\|K\|_{\infty} = \max_i \left(\sum_{j=1}^n |K_{ij}| \right)$$

Matricea $[K]^P$ este mărginită (finită) cînd $p \rightarrow \infty$ dacă $\rho(K) < 1$.

Un vector arbitrar V definit în spațiu poate fi reprezentat luînd ca bază vectorii proprii.

$$\{V\} = \sum_{i=1}^n c_i \{X_i\} \quad (4.146)$$

cu componentele

$$c_i = \langle X_i \rangle [M] \{V\} \quad (4.147)$$

4.4.4.2.5. Transformarea matricelor $[K]$ și $[M]$. . .

$$[\bar{K}] = [Q]^T [K] [Q]; \quad [\bar{M}] = [Q]^T [M] [Q] \quad (4.148 a)$$

Valorile și vectorii proprii vor fi definiți de expresia transformată:

$$([\bar{K}] - \lambda [\bar{M}]) \{\bar{X}\} = 0 \quad (4.148 .b)$$

sau , echivalentă

$$[Q]^T ([K] - \lambda [M]) [Q] \{\bar{X}\} = 0$$

și deci.

$$\begin{aligned} \det ([\bar{K}] - \lambda [\bar{M}]) &= \det ([Q]^T ([K] - \lambda [M]) [Q]) = \\ &= \det ([Q]^T) \det ([Q]) \det ([K] - \lambda [M]) = 0 \end{aligned}$$

Expresia de mai sus demonstrează că valorile proprii $\bar{\lambda}$ ale sistemului transformat sînt identice cu valorile proprii λ ale sistemului (4.133) dacă $\det ([Q]) \neq 0$.

4.4.4.2.6. Separarea și schimbarea valorilor proprii.

Fie $\lambda_1, \lambda_2, \dots, \lambda_n$ valorile proprii ale sistemului (4.133) și $\ell_1, \ell_2, \dots, \ell_{n-1}$ cele $n-1$ valori proprii ale sistemului modificat.

$$[K]^1 \{X\} = \ell [M]^1 \{X\}, \quad (4.149)$$

în care $[K]^1$ și $[M]^1$ se obțin prin eliminarea ultimei linii și coloane din $[K]$ și, respectiv $[M]$. Se mai pot scrie inegalitățile

$$\lambda_1 \leq \ell_1 \leq \lambda_2 \leq \ell_2 \leq \dots \leq \lambda_{n-1} \leq \ell_{n-1} \leq \lambda_n \quad (4.150)$$

Similar se definesc matricele $[K]^r$ și $[M]^r$ prin eliminarea ultimelor r coloane și linii din $[K]$ și $[M]$. Dacă $p^r(\lambda)$ este polinomul caracteristic, rădăcinile polinomului $p^{r-1}(\ell)$ alternează cu cele ale polinomului $p^r(\lambda)$

$$\lambda_1 \leq \ell_1 \leq \lambda_2 \leq \dots \leq \lambda_{n-r-2} \leq \ell_{n-r-1} \leq \lambda_{n-r-1} \leq \ell_{n-r} \quad (4.151)$$

Descompunînd $[K] - \mu [M]$, μ fiind numărul arbitrar diferit de valorile proprii rezultă

$$[K] - \mu [M] = [L][D][L]^T, \quad (4.152)$$

Dacă valorile proprii din (4,133) sînt pozitive numărul termenilor negativi din matricea diagonală $[D]$ este egal cu numărul valorilor proprii mai mici decît μ . Acest proces de separare, denumit și "secvența Sturm" a polinomului $p^r(\lambda)$, servește la a verifica dacă valorile proprii se înscriu într-un domeniu de valori dat.

Dacă matricea $[K]$ din (4.133) se înlocuiește prin

$$[\bar{K}] = [K] - a [M] \quad (4.153)$$

se obține următorul sistem de valori proprii modificat.

$$[\bar{K}] \{X\} = \bar{\lambda} [M] \{X\} \text{ sau } [K] \{X\} = \{\bar{\lambda} + a\} [M] \{X\} \quad (4.154)$$

Vectorii proprii ai acestui sistem sînt identici cu aceea din (4.133) dar valorile proprii sînt schimbate cu cantitatea a

$$\bar{\lambda} = \lambda - a \quad (4.155)$$

4.4.4.3. Metode de calcul a valorilor proprii.

4.4.4.3.1. Metoda iterării inverse.

Iterarea inversă dă cea mai mică valoare proprie și vectorul propriu corespunzător $\{X_1\}$ ale sistemului 4.133. Matricea $[K]$ trebuie să fie pozitiv definită; dacă nu este necesară o schimbare de forma (4.153) pentru a o face pozitivă. Algoritmul metodei este prezentat în figura 4.23.

triangularizează $[K] = [L]^T [D] [L]$

alege un vector inițial $\{v^1\}$ care nu este M -ortogonal în raport cu vectorul căutat ($d \neq 0$)

calculează $\{F^1\} = [M] \{v^1\}$

buclă pe fiecare iterație $i = 1, 2, \dots$,

rezolvă $[L]^T [D] [L] \{v^{i+1}\} = \{F^i\}$

calculează: $\{\bar{F}\} = [M] \{v^{i+1}\}$

evaluează $d \cdot \langle v^{i+1} \rangle \{\bar{F}\}$

calculează cîtul Rayleigh: $R(\{v\}) = \frac{\langle v \rangle [K] \{v\}}{\langle v \rangle [M] \{v\}} \quad (4.156)$

$$\lambda_1^{i+1} = R(\{v^{i+1}\}) = \frac{\langle v^{i+1} \rangle \{\bar{F}\}}{d}$$

calculează:

$$\{F^{i+1}\} = \frac{1}{\sqrt{|d|}} \{\bar{F}\}$$

verifică convergența $\lambda_1^{i+1} : |\lambda_1^{i+1} - \lambda_1^i| < \epsilon$

calculează vectorul propriu normalizat în raport cu M

$$\{x_1\} = \frac{1}{|d|} \{v^{i+1}\}$$

fig.4.23

Pentru determinarea celei mai mari valori proprii λ_n se aplică iterarea inversă sistemului:

$$[M] \{X\} = \frac{1}{\lambda} [K] \{X\} = \lambda' [K] \{X\} \quad (4.156)$$

Dacă $[M]$ nu este pozitiv definită se face o schimbare de tipul (4.153) cu $[\bar{M}] = [M] - a [K]$.

Valorile proprii intermediare λ_p cuprinse între λ_1 și λ_n se obțin prin iterare inversă pentru schimbări $a \approx \lambda_p$ definite de 4.153.

4.4.4.3.2. Rotatia Jacobi.

Aplicarea acestei metode este restrînsă la cazurile cînd $[K]$ și $[M]$ sînt simetrice și pozitiv definite. Metoda constă într-un proces secvențial de diagonalizare a matricelor $[K]$ și $[M]$ rezultînd matricele diagonale $[K^d]$ și $[M^d]$

$$\begin{aligned} [K^1] &= [K] & [M^1] &= [M] \\ [K^2] &= [Q^1]^T [K^1] [Q^1] & [M^2] &= [Q^1]^T [M^1] [Q^1] \\ [K^{k+1}] &= [Q^k]^T [K^k] [Q^k] & [M^{k+1}] &= [Q^k]^T [M^k] [Q^k] \end{aligned} \quad (4.157)$$

Diagonalizarea matricilor $[K^{k+1}]$ și $[M^{k+1}]$ se realizează prin construirea adecvată a matricei de transformare $[Q^i]$,

$$Q = \begin{bmatrix} 1 & & & 0 \\ & 1 & a & \\ & & b & 1 \\ 0 & & \vdots & \\ & & & 1 \end{bmatrix} \begin{array}{l} \dots \text{ linia } i \\ \dots \text{ linia } j \\ \text{col. } i \text{ col. } j \end{array} \quad (4.158)$$

Coeficienții a și b se calculează pentru $K_{ij}^{k+1} = M_{ij}^{k+1} = 0$

$$\begin{aligned} aK_{ii} + (1+ab)K_{ij} + bK_{jj} &= 0 \\ aM_{ii} + (1+ab)M_{ij} + bM_{jj} &= 0 \end{aligned} \quad (4.159)$$

In cazul general

$$a = \frac{c_2}{d} \quad ; \quad b = -\frac{c_1}{d} \quad (4.160)$$

$$c_1 = K_{ii} M_{ij} - M_{ii} K_{ij}$$

$$c_2 = K_{ij} M_{ij} - M_{jj} K_{ij}$$

$$c_3 = K_{ii} M_{jj} - M_{ii} K_{jj}$$

$$d = \frac{c_3}{2} + \text{sign}(c_3) \sqrt{\left(\frac{c_3}{2}\right)^2 + c_1 c_2}$$

Dacă M este pozitiv definită c_1 și c_2 sînt deasemeni pozitivi.

Dacă $d=0$ $a=0$ și $b = -K_{ij}/K_{jj}$.

După diagonalizare se obține:

STABILIREA RATEI DE CONVERGENȚĂ DORITĂ.

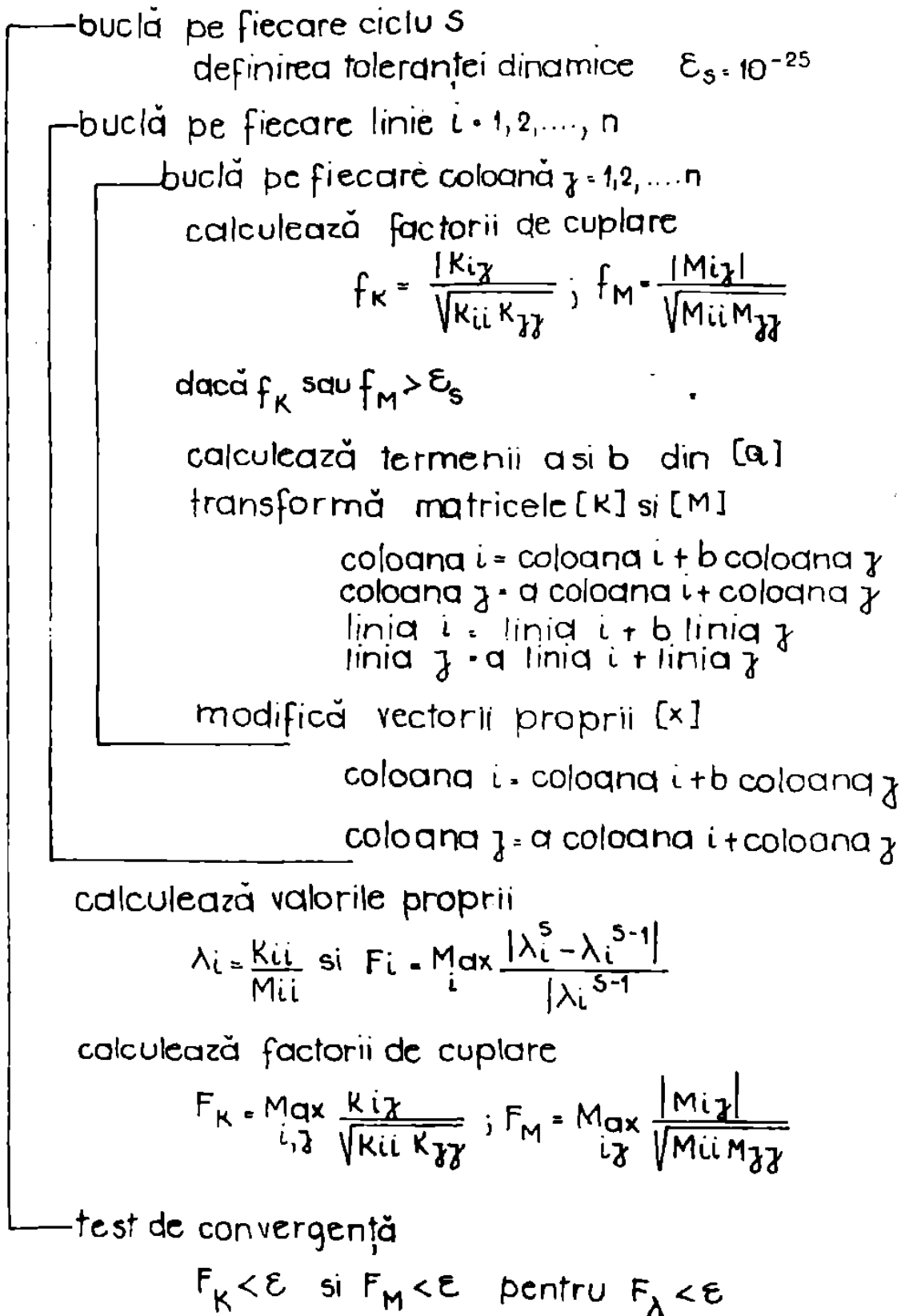


fig. 4.24

$$[\lambda] = [K^d][M^d]^{-1} \quad \text{sau} \quad \lambda_1 = K_{ii}^d / M_{ii}^d \quad (4.161)$$

$$[X] = [Q^1][Q^2] \dots [Q^k][Q^{k+1}] \begin{bmatrix} 0 \\ \frac{1}{\sqrt{M_{ii}^d}} \\ 0 \end{bmatrix}$$

Algoritmul metodei rotației Jacobi este prezentat succint în fig. (4.24). Pe baza acestui algoritm s-a elaborat și subrutina corespunzătoare din programul ASEF.

4.4.4.3.3. Metoda Ritz.

Pentru sistemele de valori proprii de mari dimensiuni se aplică un procedeu de reducere a rangului bazat pe metoda Ritz. Sistemul astfel redus se rezolvă apoi prin metoda Jacobi.

Sistemul 4.133 se exprimă ca o combinație liniară a p vectori q_i independenți ($i=1,2,\dots,p$) denumiți vectori Ritz.

$$\begin{aligned} \{X\} &= a_1 \{q_1\} + a_2 \{q_2\} + \dots + a_p \{q_p\} \\ \{X\} &= [Q]\{a\} \end{aligned} \quad (4.162a,b)$$

$n \times 1 \quad n \times p \quad p \times 1$

Punînd condiția de staționaritate cîtului Rayleigh, $\delta R=0, \forall \langle \delta a \rangle$ rezultă :

$$([\bar{K}] - R[\bar{M}])\{a\} = 0 \quad (4.163)$$

cu $[\bar{K}]$ și $[\bar{M}]$ definite de (4.148 a).

Expresia (4.163) definește o problemă de valori proprii de rangul p ale cărei soluții se obțin din expresia.

$$[\bar{K}][A] = [\bar{M}][A][\bar{\lambda}] \quad (4.164)$$

în care $[A] = \{A_1\}\{A_2\} \dots \{A_p\}$; $\bar{\lambda}_p = \begin{bmatrix} \bar{\lambda}_1 & & & 0 \\ & \bar{\lambda}_2 & & \\ & & \dots & \\ 0 & & & \bar{\lambda}_p \end{bmatrix}$

Valorile proprii λ_1 constituie aproximații ale soluțiilor λ_i ale sistemului (4.133).

$$\lambda_1 \leq \bar{\lambda}_1 ; \lambda_2 \leq \bar{\lambda}_2 ; \dots ; \lambda_p \leq \bar{\lambda}_p \leq \lambda_n$$

4.4.4.3.4. Metoda iterării pe subspații.

Această metodă este folosită pentru calcularea primelor p valori proprii ale unui sistem de mari dimensiuni. Se aplică o reducere Ritz cuplată cu metoda Jacobi pentru a se obține în prima etapă vectorii proprii Ritz. După aceasta, se aplică iterarea inversă pentru corecția vectorilor Ritz. Procesul se repetă pînă cînd criteriul de convergență este satisfăcut. Principalele secvențe ale metodei sînt redată în schema din figura 4.25.

alege p vectori proprii inițiali
 $[X] = [\{x_1\} \{x_2\} \dots \{x_p\}]$ (4.165)

aplica iterarea inversă pentru a calcula p vectori Ritz $\{q_i\}$
 $[K]\{q_i\} = [M]\{x_i\} = \{F_i\}; i = 1, 2, \dots, p$

$$[K][a] = [M][x] \quad (4.166)$$

aplică metoda Jacobi

$$([\bar{K}] - \bar{\lambda}_i [\bar{M}])\{A_i\} = 0; \{x_i\} = [a]\{A_i\} \quad (4.167)$$

test de convergență pentru $\bar{\lambda}_i$

fig. 4.25

Rezultatele furnizate de metoda iterării pe subspații converg spre cele mai mici p valori proprii dacă vectorul inițial $\{X_1\}$ nu este $[M]$ -ortogonal în raport cu unul din vectorii căutați. Aceasta se poate verifica aplicând secvența Sturm: matricea $[K] - (\lambda_p + \varepsilon)[M]$ se descompune și se verifică dacă are p pivoți (ε se ia de ordinul 10^{-2} sau 10^{-3}).

Si acest procedeu este implementat în programul ASEF, în blocul "VALP".

4.5. CONCLUZII

Formularea MEF pe baza teoriei reziduurilor ponderate permite tratarea într-o manieră unitară a problemelor liniare și neliniare, în regim static și dinamic, a problemelor de propagare și de valori proprii. Din acest punct de vedere această formulare poate fi considerată ca "generalizată" întrucât este superioară formulării variaționale.

MEF în formulare reziduală se poate combina cu MEC într-un algoritm comun; subdomeniul modelat prin elemente de contur se tratează ca un macroelement finit.

Pe baza formulării reziduale a MEF și a algoritmilor și procedurilor numerice prezentate s-a elaborat programul de calcul multifuncțional modularizat ASEF. Programul este prezentat în capitolul X.

În literatura de specialitate în, limba română, sau în limbi străine aflate în circulație în România, lucrarea autorului /68/, și prezentul capitol reprezintă primele tentative de formulare unitară a MEF pe baza teoriei reziduurilor care pune de acord fundamentele de ordin teoretic cu procedurile numerice adecvate.

C A P I T O L U L V

METODA ELEMENTELOR DE CONTUR - O PREZENTARE COMPARATA CU METODA ELEMENTELOR FINITE

5.1. GENERALITATI

Metoda elementelor de contur își are originea în dezvoltarea teoriei ecuațiilor integrale, domeniu în care prima lucrare de amploare apare în anul 1905 și-i aparține lui Fredholm. Ulterior, diverși cercetători își aduc contribuții la dezvoltarea acestui domeniu cu importante aplicații în fizica matematică și în teoria cîmpurilor. De referință în acest sens sînt lucrările lui Mikhlîn și Kupradze în prima jumătate a deceniului șapte. Aplicarea ecuațiilor integrale de către Jaswon, Synn și Hess la rezolvarea unor probleme din mecanica fluidelor și teoria potențialelor stă la originea formulării indirecte a MEC, iar utilizarea acestora de către Rizzo și Cruse în 1968 la rezolvarea unor probleme din dinamică constituie punctul de plecare al formulării directe a metodei.

Prima monografie dedicată acestei metode, cu titlul "Boundary Elements" apare sub semnătura lui C.A. Brebbia în 1978, iar în același an are loc și prima conferință internațională cu această tematică la Southampton, Anglia.

În prezent, MEC se află în plină dezvoltare /3/, /20/, /21/, în competiție și, concomitent, în cooperare cu metoda elementelor finite MEF.

Metoda elementelor de contur cunoaște trei formulări /8/ :

(1) Formulara directă, caracterizată prin aceea că funcțiile necunoscute care apar în ecuațiile integrale sînt variabilele fizice curențe ale problemei

(2) Formulara semidirectă, conform căreia ecuațiile integrale care caracterizează problema se exprimă prin intermediul unor funcții necunoscute analoge cu funcțiile de tensiune Airy din elasticitate

(3) Formulara indirectă : ecuațiile integrale se exprimă pe baza unei soluții unitare singulare a ecuațiilor diferențiale inițiale definite pe frontiera domeniului - aceste soluții unitare singulare pot fi, spre exemplu, funcții Green.

În acest capitol se prezintă MEC în formulara directă, cu explicație pentru problemele plane de elasticitate și generalizarea formulării directe în cadrul teoriei reziduurilor ponderate în vederea cuplării cu metoda elementelor finite.

5.2. APLICAREA METODEI ELEMENTELOR DE CONTUR LA REZOLVAREA PROBLEMELOR PLANE DIN TEORIA ELASTICITĂȚII.

5.2.1. Formulara ecuațiilor integrale.

Formulara directă a MEC are la bază teorema reciprocității lucrului mecanic virtual. Pentru două stări distincte de echilibru (F_1, u_1, p_1) și (F_1^*, u_1^*, p_1^*) , în cadrul modelului matematic descris în

capitolul II, această teoremă se scrie în felul următor :

$$\int_S p_i^*(x) u_i(x) dS + \int_V F_j^*(z) u_j(z) dV = \int_S p_i(x) u_i^*(x) dS + \int_V F_i(z) u_i^*(z) dV \quad (5.1)$$

în care x este un punct pe S , z este un punct în V , iar F_i, u_i, p_i au fost definite în §.§.2.3. Dacă cele două stări se aleg astfel încît să corespundă unei forțe unitare $e_i^*(z)$ ($f_j^*(z) = e_i^*(z)$) acționînd în infinitul solid. ecuația (5.2) devine :

$$\int_S D_{ij}(x, \xi) u_i(x) dS + \int_V \delta_{ij} \delta(z, \xi) u_i(z) dV = \int_S p_i(x) G_{ij}(x, \xi) dS + \int_V F_i(z) G_{ij}(z, \xi) dV \quad (5.2)$$

în care :

$$u_i(x) = G_{ij}(x, \xi) \cdot j(\xi) ; \quad p_i^* = D_{ij}(x, \xi) e_i(\xi) \quad (5.3)$$

$$G_{ij}(x, \xi) = C_1 \left(C_2 \delta_{ij} \ln r - \frac{y_j y_i}{r} \right) + A_{ij}$$

$$D_{ij}(x, \xi) = \frac{C_3}{r^2} \left[C_4 (n_j y_i - n_i y_j) + \left(C_4 \delta_{ij} + \frac{2y_j y_i}{r^2} \right) y_j n_j \right] \quad (5.4)$$

$y_i = x_i - \xi_i$; $y_j = x_j - \xi_j$; $r^2 = y_i y_i$; A_{ij} este un tensor arbitrar.

$$C_1 = 1/8 \pi \mu (1-\nu) ; \quad C_2 = 3-4\nu ; \quad C_3 = -1/4 \pi (1-\nu) ; \quad C_4 = 1-2\nu$$

cu notația

$$\int_V \delta_{ij} \delta(z-\xi) u_i(z) dV = \int_V u_j(z) \delta(z, \xi) dV = \beta u_j(\xi) \quad (5.5)$$

în care $\beta=1$ în V și $\beta=0$ în exterior, ecuația (5.4) devine

$$u_j(\xi) = \int_S [p_i(x) G_{ij}(x, \xi) - D_{ij}(x, \xi) u_i(x)] dS + \int_V F_i(z) G_{ij}(z, \xi) dV, \quad (5.6)$$

expresie cunoscută ca fiind "identitatea lui Somigliana" și care permite determinarea deplasărilor $u_j(\xi)$ într-un punct $\xi \in V$, pentru o combinație admisibilă $(p_i, u_i) \in S$ și o distribuție dată a forțelor masice F_i .

Pentru determinarea deplasărilor într-un punct $x_0 \in S$ se pune condiția $\lim_{\xi \rightarrow x_0} u_j(\xi) = u_j(x_0)$ ecuația (5.6) devine:

$$\int_S [p_j(x) G_{ij}(x, x_0) - D_{ij}(x, x_0) u_j(x)] dS + \int_V F_i(z) G_{ij}(z, x_0) dV = \alpha_{ij} u_j(x_0) \quad (5.7)$$

în care $\alpha_{ij} = -\frac{1}{2} \delta_{ij}$ în interiorul unui domeniu V cu frontiera netedă.

Dacă punctul x_0 este un punct de discontinuitate de speța a doua (un colț al frontierei) caracterizat printr-un unghi ω termenul α_{ij} este de forma :

$$\alpha_{ij} = -1 - c_3 \left[(c_4 + 1)\omega + \frac{\sin 2\omega}{2} \right], \quad i=j=1,2; \quad \alpha_{ij} = \alpha_{ji} = -\sin^2 \omega, \quad i \neq j=1,2 \quad (5.8)$$

Cu $x_0 \in S$, S fiind o suprafață netedă, (5.6) devine

$$\frac{1}{2} U_j(x_0) = \int_S [p_1(x) G_{ij}(x, x_0) - D_{ij}(x, x_0) u_i(x)] dS + \int_V F_1(z) G_{ij}(z, x_0) dV \quad (5.9)$$

Derivând succesiv și înlocuind (2.12) se obțin deformațiile specifice ϵ_{ij} :

$$\epsilon_{jk} = \int_S [p_1(x) B_{ijk}^*(x, \xi) - C_{ijk}(x, \xi) u_i(x)] dS + \int_V F_1(z) B_{ijk}^*(z, \xi) dV \quad (5.10)$$

$$B_{ijk}^*(x, \xi) = \frac{1}{2} \left(\frac{\partial G_{ij}}{\partial \xi_k} + \frac{\partial G_{ik}}{\partial \xi_j} \right); \quad C_{ijk}^* = \frac{1}{2} \left(\frac{\partial D_{ij}}{\partial \xi_k} + \frac{\partial D_{ik}}{\partial \xi_j} \right) \quad (5.11a, b)$$

Înlocuind (5.10) în (2.10) se obțin tensiunile σ_{ij} :

$$\sigma_{jk}(\xi) = \int_S [p_1(x) T_{ijk}^*(x, \xi) - E_{ijk}(x, \xi) u_i(x)] dS + \int_V F_1(z) T_{ijk}^*(z, \xi) dV \quad (5.12)$$

$$T_{ijk}(x, \xi) = \left[\lambda \delta_{jk} \frac{\partial G_{il}}{\partial \xi_l} + \mu \left(\frac{\partial G_{ij}}{\partial \xi_k} + \frac{\partial G_{ij}}{\partial \xi_j} \right) \right], \quad (5.13, a, b)$$

$$E_{ijk}(x, \xi) = \left[\lambda \delta_{jk} \frac{\partial D_{il}}{\partial \xi_l} + \mu \left(\frac{\partial D_{ij}}{\partial \xi_k} + \frac{\partial D_{ij}}{\partial \xi_j} \right) \right],$$

5.2.2. Discretizarea integralelor.

Domeniul plan V se discretizează în N subdomenii elementare triunghiulare V^n , iar frontiera S în N segmente elementare S^e (Fig. 5.1.)

Deplasările într-un punct nodal aparținând elementului de contur k , în ipoteza că p_1, u_1 și F_1 sînt constante se scrie în confirmare cu (5.9) astfel:

$$\frac{1}{2} U_j(x_0^k) = \sum_{n=1}^N \left[p_1(x^n) \int_{S^e} G_{ij}(x^n, x_0^k) dS - u_1(x^n) \int_{S^e} D_{ij}(x^n, x_0^k) dS \right] +$$

$$+ \sum_{m=1}^M F_i(z^m) v^e G_{ij}(z^m, x_0^k) dV \quad (5.14)$$

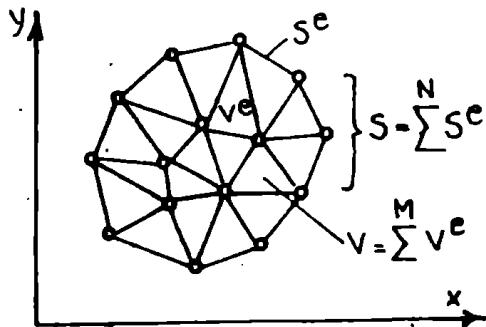


fig. 5.1

expresie care în ipoteza că valorile cunoscute și necunoscute ale deplasărilor și forțelor de suprafață variază liniar pe elementele de contur S^e și în mod identic și, în mod similar forțele masice pe V^e (5.14) se poate rescrie în formulare matriceală :

$$\frac{1}{2} [I] \{u^k\} = \sum_{n=1}^N \left\{ \left[\int_{S^e} G^{kn} N^n dS \right] p_n - \left[\int_{S^e} D^{kn} N^n dS \right] u_n \right\} + \sum_{m=1}^M \left\{ \int_{V^e} G^{km} M^m dV \right\} F_n \quad (5.15)$$

în care p_n, u_n și F_n reprezintă valorile nodale ale tensiunilor, deplasărilor și forțelor masice, $\{u^k\}$ este vectorul deplasărilor într-un punct reprezentativ al elementului de contur k - care nu reprezintă un punct de discontinuitate, iar N^n și M^m sînt funcțiile de interpolare pentru elementul de contur n și, respectiv, subdomeniul $(V^e)_m$.

$$\{u^n\} = [N^n] \{u_n\} ; \{F^m\} = [M^m] \{F_n\} \quad (5.16, 2, b)$$

Dacă domeniul de definiție al problemei prezintă discontinuități ecuația (5.15) se scrie în forma generală astfel :

$$[\beta] \{u^k\} = \sum_{n=1}^N \left\{ \left[\int_{S^e} G^{kn} N^n dS \right] p_n - \left[\int_{S^e} D^{kn} N^n dS \right] u_n \right\} + \sum_{m=1}^M \left\{ \int_{V^e} G^{km} M^m dV \right\} F_n \quad (5.17)$$

în care $[\beta]$ este o matrice pătrată de rangul 2 ai cărei termeni definesc unghiul de discontinuitate ω al frontierei. Introducînd notațiile matriceale cunoscute (5.15) și, respectiv (5.17) se rescrie într-o formă mai compactă :

$$[G] \{p\} - [D] \{u\} + [G] \{F\} = 0 \quad (5.18)$$

Pentru evaluarea integralelor de suprafață și volum din 5.17 se folosesc diverse tehnici de integrare numerică, cunoscute din literatura /8/, /19/.

Obținîndu-se soluțiile pentru deplasări și tensiuni pe conturul domeniului valorile corespunzătoare în punctele din interior se calculează cu relațiile :

$$U(\xi) = \sum_{n=1}^N \left\{ \left[\int_{S^e} G(x^n, \xi) N^n dS \right] p_n - \left[\int_{S^e} D(x^n, \xi) N^n dS \right] u_n \right\} + \sum_{m=1}^M \left\{ \int_{V^e} G(z^m, \xi) M^m dV \right\} F_n \quad (5.19)$$

$$\mathcal{E}(\xi) = \sum_{n=1}^N \left\{ \left[\int_{S^e} B^*(x^n, \xi) N^n dS \right] p_n - \left[\int_{S^e} C^*(x^n, \xi) N^n dS \right] u_n + \sum_{m=1}^M \left[\int_{V^e} B^*(x^n, \xi) M^m dV \right] F_m \right\} \quad (5.20)$$

$$\mathcal{G}(\xi) = \sum_{n=1}^N \left\{ \left[\int_{S^e} T^*(x^n, \xi) N^n dS \right] p_n - \left[\int_{S^e} B^*(x^n, \xi) N^n dS \right] u_n \right\} + \sum_{m=1}^M \left[\int_{V^e} T^*(z^m, \xi) M^m dV \right] F_m \quad (5.21)$$

5.2.3. Formularea matricială a ecuațiilor metodei

Utilizând topologia din fig.(5.1) se generează următorul sistem de ecuații care conține componentele cunoscute și necunoscute ale tensiunilor și deplasărilor în punctele de pe conturul S.

$$-[G^{ss}] \{p^s\} + [D^{ss}] \{u^s\} = [G^{sv}] \{F^v\}, \quad (5.22)$$

în care prin s și v s-au desemnat soluțiile obținute cu integrale de suprafață și, respectiv, de volum și

$\{u^s\}, \{p^s\}$: vectorii deplasărilor și tensiunilor în punctele nodale ale conturului ;

$\{F^v\}$: vectorul forțelor masice în punctele nodale din interiorul domeniului ;

$[G^{ss}], [D^{ss}]$: matrici de coeficienți de rangul $2N \times 2N$;

$[G^{sv}]$: matrice de coeficienți de rangul $2M \times 2M$;

Dacă tensiunile sînt specificate pe contur (5.22) devine :

$$[F^{ss}] \{u^s\} = [G^{sv}] \{F^v\} + [G^{ss}] \{p^s\}, \quad (5.23)$$

în care termenii din partea dreaptă sînt cunoscuți. Dacă se cunosc deplasările și se determină tensiunile (5.22) ia forma

$$[G^{ss}] \{p^s\} = [F^{ss}] \{u^s\} - [G^{sv}] \{F^v\} \quad (5.24)$$

Problema mixtă descrisă de (5.22) se scrie într-o formă mai generală

$$-[\alpha G^{ss}] \left\{ \frac{1}{\alpha} p^s \right\} + [F^{ss}] \{u^s\} = [G^{sv}] \{F^v\}, \quad (5.25)$$

în care α este un factor de scară care are rolul de a aduce la același ordin de mărime termenii din $[G^{ss}]$ cu cei din $[F^{ss}]$. Reordonînd termenii în (5.25) rezultă în final ecuația matricială a MEC:

$$[K] \{X\} + [L] \{Y\} = [G^{sv}] \{F^v\} \quad (5.26)$$

în care: $[K]$: matrice de coeficienți de rangul $2N \times 2N$;

$\{X\}$: vectorul deplasărilor și tensiunilor nodale necunoscute pe S, de rangul $2N \times 1$;

$[L]$: matrice de coeficienți de rangul $2N \times 2N$;

$\{Y\}$: vectorul deplasărilor și tensiunilor cunoscute pe S de rangul $2N \times 1$.

5.3. FORMULAREA GENERALIZATA A METODEI ELEMENTELOR DE CONTUR.

5.3.1. Ecuația fundamentală.

Energia potențială totală a unui sistem elastic descris de modelul matematic §.§.2.3. se scrie astfel :

$$\Pi = \frac{1}{2} \int_V \sigma_{ij} \epsilon_{ij} - \int_V u_i F_i - \int_{S_2} u_i h_i dS \quad (5.27)$$

Inlocuind în funcție de (2.12), aplicând teorema divergenței și apoi (2.9), (5.27) devine :

$$\frac{1}{2} \int_V \sigma_{ij} \epsilon_{ij} dV = \frac{1}{2} \int_S u_i p_i dS - \frac{1}{2} \int_V u_i F_i dV \quad (5.28)$$

Presupunind absența forțelor masice, $F_i=0$, rezultă prin înlocuire în (5.27) în funcție de (5.28) expresia funcționalei energetice

$$\tilde{\Pi} = \frac{1}{2} \int_S u_i p_i dS - \int_S u_i h_i dS \quad (5.29)$$

sau în exprimare matriceală

$$\tilde{\Pi} = \frac{1}{2} \int_S \langle u \rangle \{ p \} dS - \int_{S_2} \langle u \rangle \{ h \} dS \quad (5.30)$$

Inlocuind printr-un set de soluții aproximative în (5.30) rezultă:

$$\{ u \} = [N] \{ U_n \} \quad \text{și} \quad \{ p \} = [M] \{ p_n \} \quad (5.31)$$

$$\tilde{\Pi} = \frac{1}{2} \langle U_n \rangle \left(\int_S [N]^T [M] dS \right) \{ t^n \} - \langle u^n \rangle \int_{S_2} [N]^T \{ h \} dS \quad (5.32)$$

Se face aici observația că funcțiile de interpolare N și M nu sînt în general aceleași și că la alegerea lor se folosesc tehnici similare cu cele din MEF /8/, /19/.

Fie intergrala de contur directă

$$\beta_{ij} u_i(\xi) = \int_S \left[p_i(x) G_{ij}(x, \xi) - D_{ij}(x, \xi) u_i(x) \right] dS \quad (5.33)$$

care se poate scrie matricial în forma

$$[A] \{ U_n \} = [B] \{ p_n \} \quad (5.34)$$

în care $\{ U \}$ și $\{ p \}$, sînt date de (5.31) și presupunînd $[M] = [N]$

rezultă că matricile $[A]$ și $[B]$ sînt simetrice . Din (5.34) rezultă

$$\{p^n\} = [B]^{-1} [A] \{U_n\} \quad (5.35)$$

relație care se poate utiliza pentru eliminarea $\{p^n\}$ din (5.32), cu observația că expresia care se obține, datorită erorilor de rotunjire poate să nu fie identic satisfăcută. Pentru eliminarea acestui inconvenient se introduce o ecuație de echilibru auxiliară

$$\int_S p dS = 0 \quad (5.36)$$

care prin discretizare devine

$$\int_S ([M] dS) \{p_n\} = [Q] \{p_n\} = 0 \quad (5.37)$$

Asamblînd (5.37) cu (5.34) se obține

$$[A] \{U_n\} - [B] \{p_n\} + [Q]^T \{\lambda\} \quad (5.38)$$

în care $\{\lambda\}$ este vectorul multiplicatorilor pseudo-Lagrange -eni, care au ca scop introducerea unei perturbații controlate în fiecare din ecuațiile (5.35) astfel încît (5.37) să fie identic satisfăcută.

Ecuațiile (5.37) și (5.38) se pot pune în formă următoare :

$$\begin{bmatrix} -\frac{A}{0} \\ 0 \end{bmatrix} \{U_n\} = \begin{bmatrix} -\frac{B}{Q} & -\frac{Q^T}{0} \end{bmatrix} \begin{Bmatrix} -p_n \\ 0 \end{Bmatrix} , \quad (5.39)$$

din care tensiunile (tracțiunile) nodale pe S rezultă

$$\{p_n\} = [E] \{U_n\} \quad (5.40)$$

Substituind (5.40) în (5.32) rezultă

$$\tilde{\Pi} = \langle U_n \rangle [K] \{U_n\} + \langle U_n \rangle \{F\} \quad (5.41)$$

$$[K] = \frac{1}{2} \left(\int_S [N]^T [M] dS \right) [E] ; \{F\} = - \int_{S_2} [N] \{h\} dS \quad (5.42a, b)$$

Asupra funcționalei $\tilde{\Pi}$ se pune condiția de staționaritate.

$$\delta \tilde{\Pi} = 0 \quad (5.43)$$

de unde pentru variații arbitrare $\{\delta u^n\}$ rezultă în final

$$[K^0] \{U_n\} + \{F\} = 0 \quad (5.44)$$

$$[K^0] = \frac{1}{2} \left\{ \left(\int_S [N]^T [M] dS \right) [E] + \left[\left(\int_S [N]^T [M] dS \right) [E] \right]^T \right\} \quad (5.45)$$

Ecuația (5.44) reprezintă forma simetrică a ecuației fundamentale.

le a MEC în formulare directă.

Vectorul forțelor nodale $\{F\}$ corespunzător tensiunilor de suprafață $\{p\}$ pe S este dat de

$$\{F\} = \int_S [N]^T \{p\} dS \quad (5.46)$$

Ținând seama de relația dintre tensiuni și deplasări rezultă :

$$\{F\} = \left(\int_S [N]^T [M] dS \right) [E] \{U_n\} - [K'] \{U_n\} \quad (5.47)$$

În general matricea $[K']$ este nesimetrică și teorema reciprocității lucrului mecanic virtual nu poate fi satisfăcută. Pentru a simetriza sistemul de ecuații se face substituția

$$[K^0] = \frac{1}{2} [[K'] + [K']^T] \quad (5.48)$$

5.3.2. Cuplarea metodei elementelor de contur cu metoda elementelor finite.

Ideea cuplării celor două metode este de interes deosebit în problemele definite pe domenii nemărginite (ex.: interacțiunea dintre teren și structură) sau în studiul concentrărilor de tensiuni, pentru care modelarea cu elemente de contur este optimală. Pe de altă parte, MEF se aplică cu ușurință pe acea porțiune a domeniului caracterizată prin anizotropie sau prin comportare neliniară.

Utilizarea unor elemente de contur liniare sau de ordin superior permite cuplarea cu elemente finite pe frontiera domeniului și asigură păstrarea continuității. Metoda de lucru constă în transformarea subdomeniului discretizat în elemente finite, în elemente de contur, ceea ce este posibil când se utilizează o formulare mixtă pentru MEF, caz în care GDL pe cele două regiuni se pot pune ușor de acord. O altă metodă, mai uzuală, presupune transformarea regiunii modelate cu EC într-un element finit echivalent. Această procedură conduce la matrici elementare nesimetrice, care însă pot fi simetrizate fără deteriorări sensibile a rezultatelor finale. Simetrizarea se realizează cu relații de forma (5.48). Această a doua variantă este preferabilă întrucât permite utilizarea algoritmilor MEF existente, realizarea programelor de calcul automat fiind mai comodă.

În vederea cuplării celor două metode se pleacă de la formularea MEF în teoria reziduurilor ponderate. (capitolul 3 și capitolul 4).

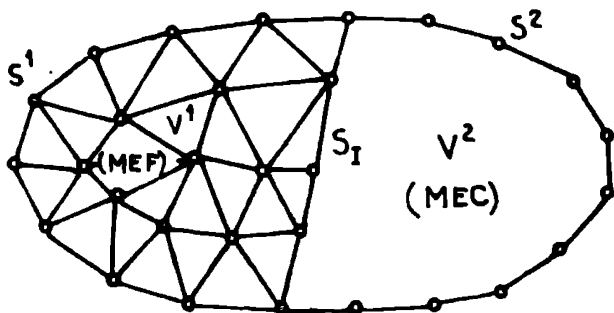


fig. 5.2

Fie domeniul V din figura 5.2. discretizat în EF și EC .

Sistemul de ecuații (4.78) caracteristic MEF poate fi pus în forma următoare:

$$[K] \{U_n\} = \{F\} + \{F^0\} \quad (5.49)$$

în care $\{F\}$ reprezintă forțele nodale echivalente, iar

$\{F^0\}$ este vectorul forțelor masice. Vectorul $\{F\}$ se obține prin ponderarea forțelor aplicate pe unitatea de suprafață cu ajutorul funcțiilor de interpolare utilizate pentru aproximarea cîmpului de deplasări virtuale.

$$\{F\} = [N] \{P\} \quad (5.50)$$

în care $\{P\}$ conține valorile curente ale forțelor de suprafață. Cu aceasta (5.49) se rescrie :

$$[K] \{U_n\} = [N] \{P\} + \{F^0\} \quad (5.51)$$

Sistemul de ecuații (5.44) corespunzător MEC se transformă în aceeași manieră.

$$[H] \{U_n\} = [G] \{P\} + \{R^0\} \quad (5.52)$$

în care notațiile utilizate au aceeași semnificație ca în (5.51) și sînt modificate față de forma inițială pentru a nu se confunda cele două metode.

Pentru a se putea realiza cuplarea celor două regiuni V^1 și V^2 din fig.5.2. sînt necesare îndeplinirea următoarelor condiții de compatibilitate și echilibru la interfața dintre acestea :

- compatibilitatea deplasărilor

$$U_I^1 = U_I^2 \text{ pe } S_I \quad (5.53)$$

- echilibrul forțelor

$$P_I^1 + P_I^2 = 0 \quad (5.54)$$

Regiunea V^2 se transformă într-un element finit echivalent, prin asamblare rezultînd o matrice globală a structurii.

Pentru aceasta se transformă (5.52) în forma următoare :

$$[G]^{-1} ([H] \{U_n\} - \{R^0\}) = \{P\} \quad (5.55)$$

și în continuare se înmulțește cu $[N]$ din (5.50).

$$([N] [G]^{-1} [H]) \{U_n\} - ([N] [G]^{-1} \{R^0\}) = [N] \{P\} \quad (5.56)$$

Se fac în continuare notațiile :

$$[\tilde{K}] = [N] [G]^{-1} [H]$$

$$\{\tilde{F}^0\} = [N] [G]^{-1} \{R^0\} \quad (5.57 \text{ a,b,c})$$

$$\{\tilde{F}\} = [N] \{P\}$$

cu care (5.56) revine la forma inițială (5.49).

$$[\tilde{K}] \{U_n\} = \{\tilde{F}\} + \{\tilde{F}^0\} \quad (5.58)$$

Dezavantajul acestui procedeu constă în faptul că matricea $[\tilde{K}]$ este în general nesimetrică cu toate că matricea $[K]$ este simetrică.

Asimetria este datorită procesului de discretizare și colocație a funcțiilor ponderate în exprimarea soluției fundamentale în MEC.

Pentru simetrizarea matricii $[K]$ se poate utiliza așa numita tehnică a "minimizării erorii: /19/. Se definește o "eroare" în termenii k_{ij} , k_{ji} , din $[K]$ prin expresia :

$$e_{ij} = \frac{1}{2} [(\tilde{k}_{ij} - k'_{ij}) + (\tilde{k}_{ij} - \tilde{k}_{ji})] \quad (5.59)$$

al cărei patrat se minimizează în raport cu \tilde{k}_{ij}

$$\frac{\partial (e_{ij})^2}{\partial \tilde{k}_{ij}} = 2\tilde{k}_{ij} - k'_{ij} - \tilde{k}_{ji} = 0 \quad (5.60)$$

din care se obține noul termen \tilde{k}_{ij} simetric

$$\tilde{k}_{ij} = \frac{1}{2} [k'_{ij} + k'_{ji}] \quad (5.61)$$

Matricea de rigiditate echivalentă a regiunii V^2 se poate de-o scrie

$$[K^2] = \frac{1}{2} ([K] + [K]^T) \quad (5.62)$$

și (5.58) devine :

$$[K^2] \{U_n\} = \{F^2\} + \{F^{02}\} \quad (5.63)$$

unde $\{F^2\} = \{\tilde{F}\}$ și $\{F^{02}\} = \{\tilde{F}\}$.

Ecuția (5.63) se poate acum asambla cu ecuația inițială MEF pentru regiunea V^1 , utilizând o procedură standard care asigură compatibilitatea și echilibrul

$$[K^1] \{U_n\} = \{F^1\} + \{F^{01}\} \quad (5.64)$$

5.4. COMPARATIE CU METODA ELEMENTELOR FINITE.

Din compararea celor două metode se evidențiază următoarele observații :

- (1) Numărul elementelor este mult mai mic prin faptul că se discretizează frontiera și nu domeniul și, în consecință, numărul necunoscutelor este mai mic.
- (2) Volumul datelor de intrare este considerabil mai redus, și deci, necesită o activitate de pregătire mai redusă.
- (3) MEC are mai puține etape decât MEF - astfel, spre exemplu nu este necesară o subrutină specială de asamblare. În figura 5.3. se prezintă schematic organigramele programelor pentru cele două metode.
- (4) Rezultatele în deplasări și tensiuni se pot calcula în orice punct al domeniului V și nu numai în anumite puncte, care în cazul MEF sînt impuse de topologia structurii.

- (5) Erorile modelului de calcul aproximativ elaborat în MEC provin numai din punerea condițiilor de contur, întrucât soluția fundamentală satisface ecuațiile teoriei elasticității.

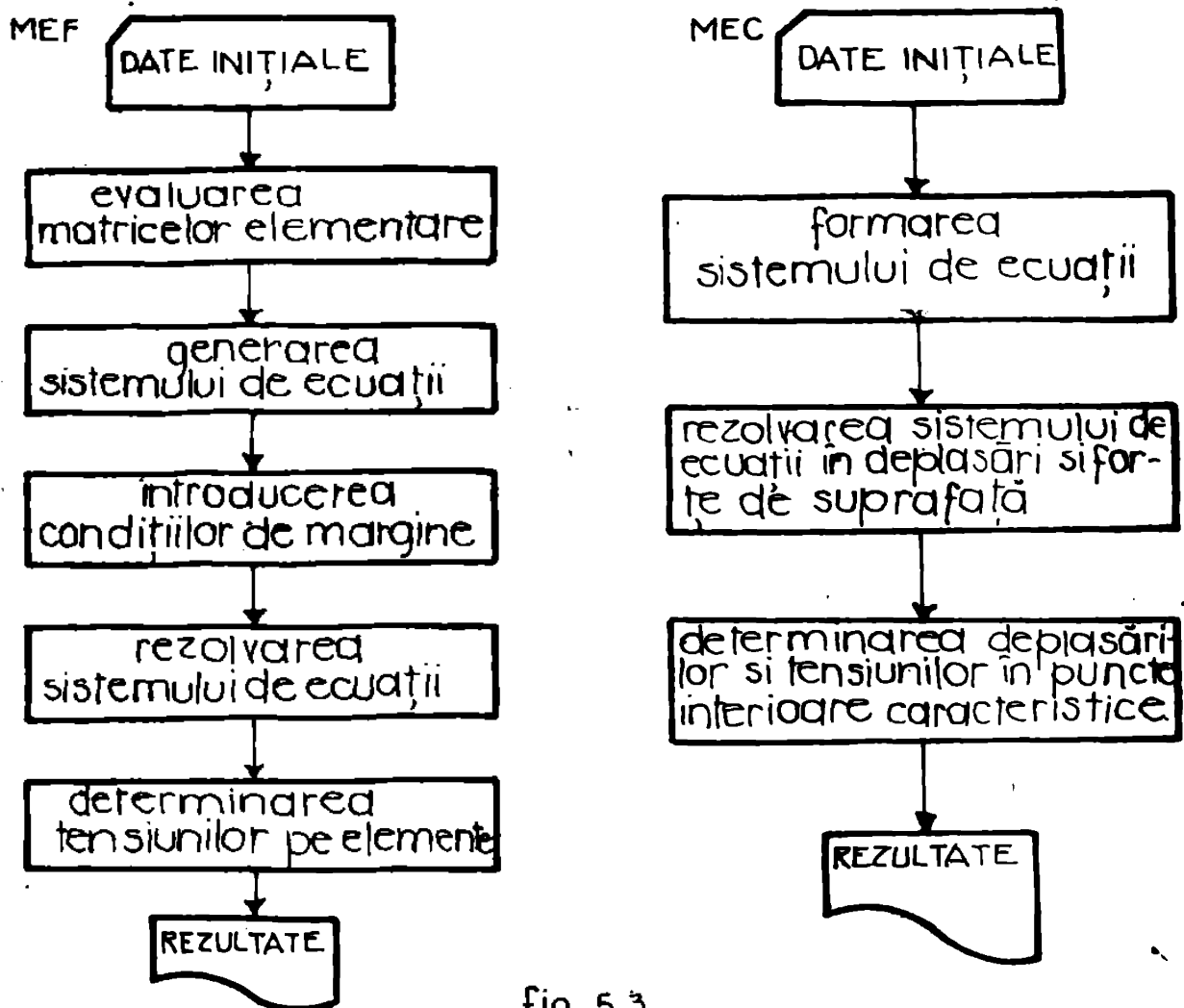


fig. 5.3

- (6) Dezavantajul metodei constă în aceea că, după cum s-a arătat, matricea sistemului este o matrice plină care nu poate fi redusă la o matrice bandă simetrică, fapt care reduce parțial avantajul obținut prin reducerea numărului necunoscutelor.
- (7) Capacitatea de modelare mai redusă a MEC în cazul structurilor cu forme complexe, în special a celor care prezintă colțuri și intrinduri cu muchii interioare pune probleme deosebite; aceste probleme constituie în prezent obiectul cercetărilor ce au ca scop perfecționarea metodei.
- (8) În cazul MEF precizia este mai bună la calculul deplasărilor, pentru tensiuni, care rezultă prin derivarea deplasărilor pot rezulta erori însemnate. Din acest punct de vedere MEC se pretează mai bine la studiul concentrărilor de tensiuni.

5.5. CONCLUZII

Avantajele MEC au fost prezentate în §.5.4. Este dificil de apreciat care metodă este mai performantă, MEC sau MEF. Aici trebuie să se ia în considerare experiența acumulată în aplicarea MEF și numărul mare de programe de calcul aflate în circulație.

Fiecare metodă își are avantajele proprii și optimul rezultă din utilizarea lor cuplată, conform algoritmului prezentat.

Pe baza algoritmului prezentat în §.5.2, în conformitate cu indicațiile din /8/ s-a elaborat programul de calcul DBEM implementabil pe calculatoare FELIX. Programul DBEM, care este prezentat în capitolul 10, operează cu elemente de contur liniare pentru care cîmpul de deplasări și tensiune se aproximează prin funcții de interpolare quadratice .

Se poate aprecia că MEC este performantă pentru rezolvarea problemelor definite pe domenii vaste și cu un număr redus de discontinuități.

Scopul introducerii acestui capitol în lucrare se definește prin intermediul a două obiective, care se apreciază că au fost îndeplinite:

- (1) Formularea și prezentarea MEC - metoda este la început în literatura tehnică autohtonă, iar încercările de aplicare sînt extrem de reduse. În acest context se situează realizarea programului DBEM ca instrument de aplicare a metodei, de investigare și, implicit, de dezvoltare a acesteia.
- (2) Evidențierea și pe această cale a generalității formulării MEF în cadrul teoriei reziduurilor ponderate, care asigură suportul teoretic necesar cuplării celor două metode. Din acest punct de vedere se menționează că programul ASEF este conceput astfel încît să poată fi dezvoltat prin implementarea unui macroelement finit echivalent cu o regiune modelată cu MEC, în conformitate cu algoritmul prezentat în §§ 5.3.2.

C A P I T O L U L VI

METODA NUMERICA PENTRU CALCULUL STAVILELOR METALICE CU SECTIUNE CHESONATA

6.1. GENERALITATI

În capitolul II s-au prezentat tipurile de stăvile și structurile constructive caracteristice și s-au analizat metodele de calcul utilizate în proiectarea acestora. S-a evidențiat cu această ocazie că stăvilele moderne au structura chesonată rigidizată longitudinal și transversal și că în proiectarea curentă acestea sînt frecvent considerate ca bare cu pereți subțiri /28/, /129/, /147/. S-a arătat, totodată că aplicarea metodei elementelor finite la aceste structuri presupune existența unor programe de calcul complexe și necesită calculatoare de mare capacitate. Dezvoltarea rapidă a producției de microcalculatoare în țara noastră cu capacități curente de 48-64 KO, accesibile pe masa de lucru a fiecărui inginer proiectant, presupune elaborarea unor metode de calcul simplificate și a algoritmilor respectivi la nivelul capacității acestor echipamente.

În acest capitol se prezintă o metodă numerică pentru calculul stăvilelor metalice care are la bază metoda separării variabilelor aplicată de Vlosov la studiul structurilor cu pereți subțiri. Metoda consideră stăvilele ca structuri prismatice cu pereți subțiri. Procedee de calcul similare au fost dezvoltate de către Boer, Böge și Roik, Bazant și El Nimeiri /25/, /166/, /167/. Aplicații ale acestor procedee sînt cunoscute, în general, la calculul tablierelor chesonate ale podurilor, în acest sens subliniindu-se lucrarea /146/ în care metoda separării variabilelor este combinată cu metoda elementelor finite. În lucrarea /7/ se prezintă o metodă de calcul a stăvilelor clapetă de tip "burtă de pește" care sînt considerate ca structuri prismatice rezemate continuu pe radier; metoda propusă de autorii lucrării are la bază teoria plăcilor prismatice a lui Gruber /106/ formulată matriceal.

Metoda de calcul propusă se poate aplica direct la calculul stăvilelor sau combinată cu metoda elementelor finite sau cu metoda elementelor de contur.

6.2. CALCULUL STRUCTURILOR PRISMATICE CU PEREȚI SUBȚIRI CU SECTIUNE CHESONATA.

6.2.1. Definierea componentelor cîmpurilor de deplasări și tensiuni.

Metoda propusă ia în considerare deformațiile din încovoiere, tîiere, tensiune și deplanarea secțiunii transversale. Se presupune bara cu pereți subțiri prismatică din figura 6.1. cu sistemul de axe local (x, s, n) atașat fiecărei fețe și deplasările corespunzătoare u_x, u_s și u_n .

După Vlasov componentele deplasărilor într-un punct oarecare se aproximează cu o sumă de M produse de forma :

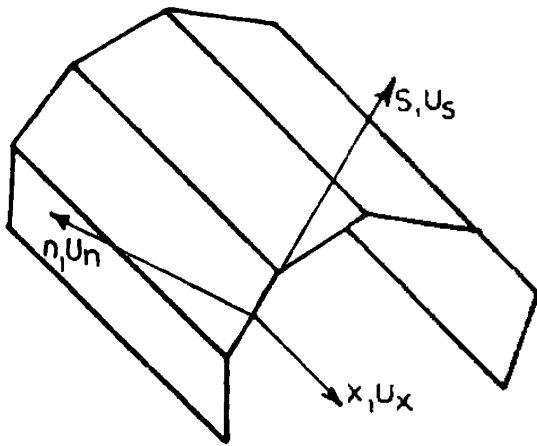


fig. 6.1

$$u(x,s) = \sum_{i=1}^M u_1^i(x) u_2^i(s) \quad (6.1)$$

în care \$u_2(s)\$ sînt funcții cunoscute, convenabil predefinite pentru fiecare tip de secțiune. În mod uzual se alege pentru funcțiile \$u_2\$ deplasările de corp rigid ale secțiunii.

În forma matriceală componentele deplasărilor vor fi:

$$u_x(x,s) = \langle \omega \rangle \{U\} ; u_s(x,s) = \langle \emptyset \rangle \{V\} ; u_n(x,s) = \langle \psi_v \rangle \{V\} + \langle \psi_w \rangle \{W\} \quad (6.2.a,b,c,)$$

în care , spre exemplu

$$\langle \omega \rangle = \langle \omega_1(s) \omega_2(s) \dots \omega_M(s) \rangle ; \{U\} = [u_1(s) u_2(s) \dots u_M(s)]^T \quad (6.3)$$

Numărul funcțiilor independente care intervin în expresiile deplasărilor sau, altfel spus al GDL a secțiunii transversale este \$M = 2K - I\$, în care \$K\$ este numărul nodurilor secțiunii iar \$I\$ este numărul pereților. Pentru o secțiune chesonată trapezoidală care se utilizează curent ca soluție constructivă pentru stavilele metalice diagramele funcțiilor \$\omega, \emptyset, \psi_v\$ și \$\psi_w\$ sînt date în fig. 6.2. a-d.

Ecuatiile (6.2) se pot condensa în următoarea expresie matriceală

$$\{u\} = [A] \{X\} \quad (6.4)$$

$$\text{în care : } \{u\} = [u_x \ u_s \ u_n]^T ; \{X\} = [U \ V \ W]^T \quad (6.5 a,b)$$

$$[A] = \begin{bmatrix} \langle \omega \rangle & 0 & 0 \\ 0 & \langle \emptyset \rangle & 0 \\ 0 & \langle \psi_v \rangle & \langle \psi_w \rangle \end{bmatrix} \quad (6.7)$$

În concordanță cu teoria liniară a plăcilor, componentele deplasărilor într-un punct oarecare sînt date de relațiile

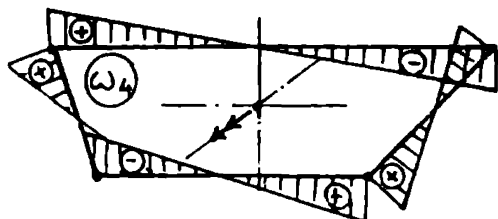
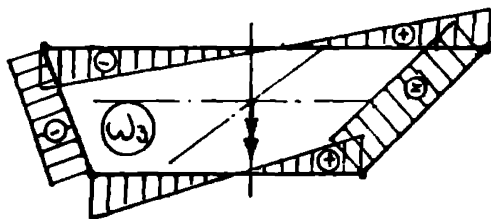
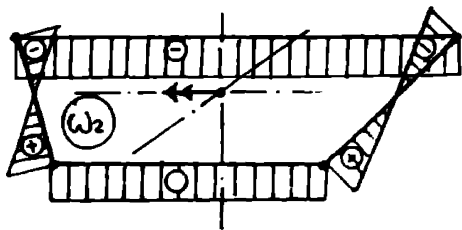
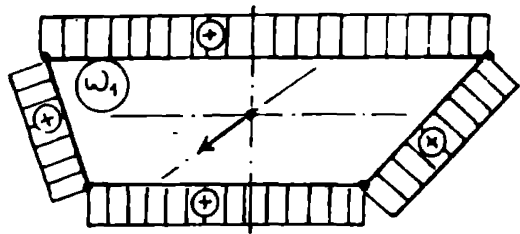
$$u_x(x,s,n) = u_x(x,s) - n \frac{\partial u_n(x,s)}{\partial x} ;$$

$$u_s(x,s,n) = u_s(x,s) - n \frac{\partial u_n(x,s)}{\partial x} \quad (6.8a,b,c)$$

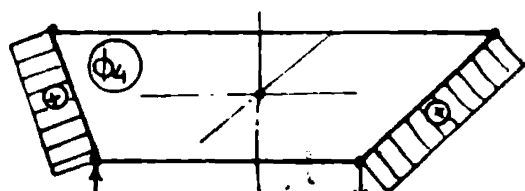
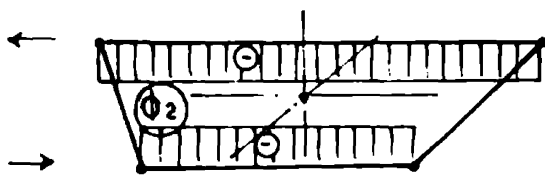
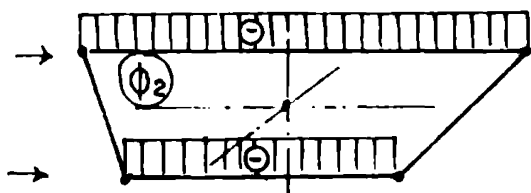
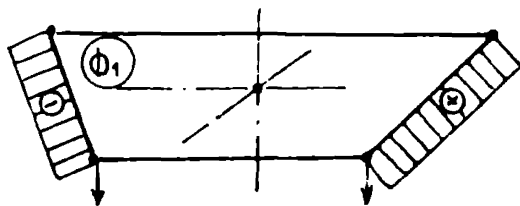
$$u_n(x,s,n) = u_n(x,s)$$

sau matricial

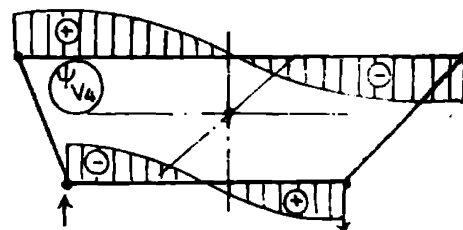
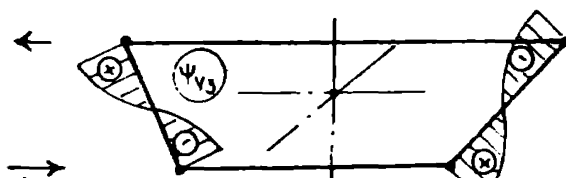
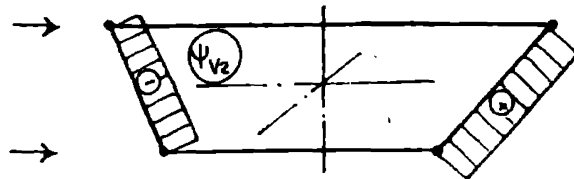
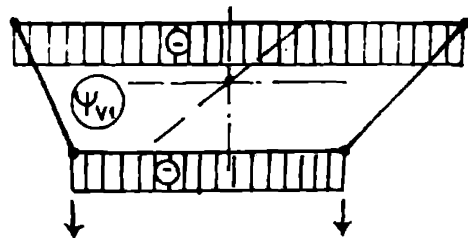
$$\{u\} = [A_1] \{X\} + [A_2] \{X^*\} \quad (6.9)$$



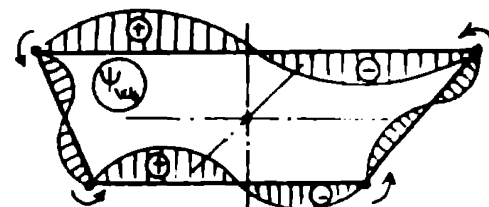
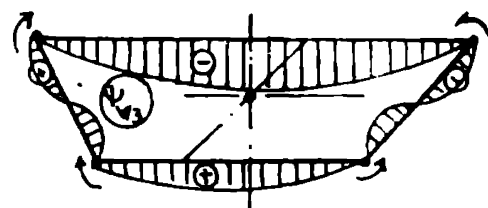
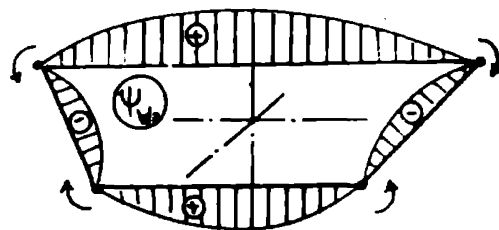
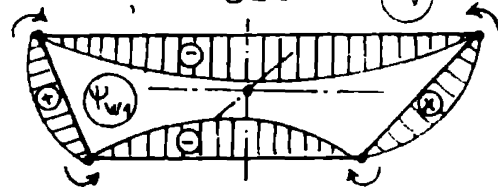
a) deplasări axiale (ω)



b) deplasări tangențiale (ϕ)



c) deplasări tangențiale produse de translațiile nodurilor (ψ_v)



d) deplasări normale produse de rotațiile nodurilor (ψ_w)

fig 6.2

$$[A_1] = \begin{bmatrix} \langle \omega \rangle & 0 & 0 \\ 0 & \langle \phi \rangle - n \langle \psi_v \rangle - n \langle \psi_w \rangle \\ 0 & \langle \psi_v \rangle & \langle \psi_w \rangle \end{bmatrix}; [A_2] = \begin{bmatrix} 0 & -n \langle \psi_v \rangle & -n \langle \psi_w \rangle \\ 0 & 0 & 0 \\ 0 & 0 & 0 \end{bmatrix} \quad (6.10, a, b)$$

Se notează cu $(\dots)' = \frac{\partial(\dots)}{\partial x}$ și $(\dots) \equiv \frac{\partial(\dots)}{\partial s}$

Componentele deformației într-un punct arbitrar din secțiunea transversală sînt :

$$\varepsilon_{xx} = u'_x - nu'_n; \varepsilon_{xs} = \dot{u}_x + u'_s - 2n \cdot u'_n; \varepsilon_{ss} = \dot{u}_s - n \ddot{u}_n; \varepsilon_{nn} = \varepsilon_{ns} = \varepsilon_{ns} = 0 \quad (6.11)$$

Matricial rezultă :

$$\{\varepsilon\} = [B_1] \{X\} + [B_2] \{X'\} + [B_3] \{X''\} = [B] \{X_D\} \quad (6.12)$$

$$[B] = [B_1] [B_2] [B_3]; \{X_D\} = [\langle X \rangle \langle X' \rangle \langle X'' \rangle]^T, \quad (6.13)$$

în care matricile $[B_1]$, $[B_2]$, $[B_3]$ se obțin în aceeași manieră ca $[A_1]$ și $[A_2]$.

Considerîndu-se că pereții lucrează în starea plană de tensiuni rezultă că $\sigma_{nn} = \sigma_{ns} = \sigma_{nx} = 0$ și că $\langle \sigma \rangle = \langle \sigma_{xx} \quad \sigma_{xs} \quad \sigma_{ss} \rangle$ cu

$$\{\sigma\} = [D] \{\varepsilon\} \quad (6.14)$$

6.2.2. Ecuațiile de echilibru.

Ecuațiile de echilibru se obțin prin aplicarea principiului lucrului mecanic virtual. Lucrul mecanic interior este

$$\delta u = \int_V \langle \delta \varepsilon \rangle \{\sigma\} dV = \int_0^l \langle \delta X_D \rangle [K] \{X_D\} dx \quad (6.15)$$

în care $[K] = \int_S [B]^T [D] [B] dS; \quad (6.16)$

are o structură similară cu matricea de rigiditate din MEF și este compusă din submatrici $[K_{ij}]$ de forma

$$[K_{ij}] = [K_{ji}]^T = \int_S [B_i]^T [D] [B_j] dS; \quad i, j = 1, 2, 3 \quad (6.17)$$

Lucrul mecanic al forțelor exterioare se obține în forma următoare:

$$\delta W = \int_V \langle \delta u \rangle \{F\} dV + \int_{S_1} \langle \delta u \rangle \{P\} dS = \int_0^l \langle \delta X_D \rangle \{R\} dx + \langle \delta X_D \rangle \{R_r\} \quad (6.18)$$

în care s-a integrat prin părți și :

$$[A] = [[A_1] [A_2] [0]]; \{R\} = \int_S [A]^T \{F\} dS + \int_{S_2} [A]^T \{P\} dS \quad (6.18)$$

$$\{R_r\} = \int [A]^T \{P\} dS \quad (6.19)$$

In aceste relații $\{F\}$ și $\{P\}$ sînt vectorii forțelor masice și respectiv al forțelor exterioare pe suprafață, iar $S_1 + S_2 = S$ au fost definite în §§§2.3.6.

Cu (6.15) și (6.18) principiul lucrului mecanic virtual se scrie

$$\delta L = \delta U - \delta W = \int_0^l \langle \delta X_D \rangle ([K] \{X_D\} - \{R\}) dx + \left| \langle \delta X_D \rangle \{R_r\} \right|_0^l = 0 \quad (6.20)$$

6.2.3. Efectul temperaturii.

In prezența temperaturii (6.15) devine

$$\int_V \langle \delta \epsilon \rangle \{ \sigma_t \} dV = \int_0^l \langle \delta X_D \rangle \left(\int_S [B]^T \{ \sigma_t \} dS \right) dx = \int_0^l \langle \delta X_D \rangle \{ R_t \} dx \quad (6.21)$$

în care $\{R_t\} = \int_S [B]^T \{ \sigma_t \} dS$ reprezintă vectorul încărcărilor

fictive din :

iar $\langle \sigma_t \rangle = \langle -\alpha E t(x, s) \quad 0 \quad 0 \rangle$. tensiunile termice. In ecuația generală (6.20) efectul temperaturii se introduce prin adăugarea termenului $\{R_t\}$ la $\{R\}$.

Aplicînd un criteriu variațional și condiții de margine ecuației (6.20) rezultă un sistem de ecuații diferențiale ordinare care se rezolvă cu metodele cunoscute ale matematicii sau aplicînd un procedeu de discretizare cu elemente finite.

6.2.4. Aplicarea metodei elementelor finite.

Se presupune discretizarea structurii prismatice în elemente finite după o topologie longitudinală. Cîmpul deplasărilor necunoscute $\{X\}$ se aproximează cu polinoame Hermite cubice /45/, /159/, /201/.

$$\{X\} = [N_M] \{X_n\} \quad (6.22)$$

Vectorul deplasărilor nodale și al derivatelor acestora este de forma

$$\{X_n\} = [\{X_u\} \{X_v\} \{X_w\}]^T \quad (6.23)$$

în care, spre exemplu :

$$\{X_u\} = [u_1(0) u_1'(0) u_1(l) u_1'(l) \dots u_M(0) u_M'(0) u_M(l) u_M'(l)]^T \quad (6.24)$$

Matricea funcțiilor de interpolare N și a derivatelor acestora este :

$$[d^p] = [N_M]^T [N_M']^T [N_M'']^T \quad (6.25)$$

Cu (6.24) și (6.25), expresia (6.13) devine

$$\{x_D\} = [M^0] \{y_n\} \quad (6.26)$$

În urma acestui proces de discretizare (6.20) ia următoarea formă

$$[\bar{K}] \{\bar{y}_n\} = \{\bar{R}\} \quad (6.27)$$

$$\text{cu } [\bar{K}] = \int_0^l [M^0]^T [K] [M^0] dx; \quad \{\bar{R}\} = \int_0^l [M^0]^T \{R\} dx + [M^0]^T \{R_r\} \Big|_0^l \quad (6.28, a, b)$$

care reprezintă, respectiv, matricea de rigiditate și vectorul încărcărilor exterioare, $\{y_n\}$ fiind vectorul deplasărilor nodale.

Din punct de vedere numeric ecuația (6.27) se rezolvă prin calcul automat conform procedurilor numerice prezentate în capitolul IV.

6.3. APLICAREA SIMPLIFICATA A METODEI LA CALCULUL STAVILELOR CLAPETA CU SECȚIUNE DUBLU CONEXA.

6.3.1. Ipoteze simplificatoare.

Aplicarea metodei expuse în §.6.2. la calculul stăvililor clapetă se face în prezența următoarelor ipoteze simplificatoare:

- (i) Secțiunile plăcilor plane componente ale suprafeței prismatice rămân plane și după deformare ($u_n(x,s) = 0$)
- (ii) Alungirile specifice ϵ_{ss} se consideră neglijabile.
- (iii) Lunecările specifice din planul plăcilor ϵ_{xs} se consideră neglijabile.
- (iiii) Momentele încovoietoare distribuite longitudinal m_x și momentele de torsiune m_{xs} se neglijează.
- (iiiii) Se consideră că clapetele reazemă continuu pe toată lățimea.

Pentru definirea cîmpului de deplasări se vor lua în considerare numai deplasările axiale $u(x,s)$ și deplasările tangențiale $u_n(x,s)$.

6.3.2. Ecuațiile de echilibru simplificate.

Expresiile lucrului mecanic interior δU și exterior δW se scriu în această situație în sollicitări unitare (fig.6.3).

Din deplasările axiale ω , pentru $dx=1$ rezultă,

$$\delta W_x = \int n'_x \omega ds + \int p_x \omega ds \quad (6.29)$$

$$\delta U_x = \int n_{xs} \epsilon_{xs} ds = \int n_{xs} \omega ds \quad (6.30)$$

$$\delta L_x = \int n'_x \omega ds + \int p_x \omega ds - \int n_{xs} \omega ds = 0 \quad (6.31).$$

Similar rezultă din deplasările tangențiale ϕ

$$\delta L_s = \int n_{xs} \phi ds + \int p_s \phi ds \quad (6.32)$$

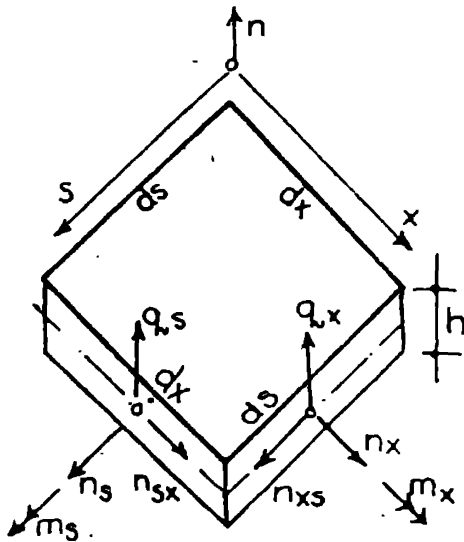


fig. 6.3

In aceste relații :

$$n_x = Eh \left(\frac{\partial u_x}{\partial x} - \alpha t \right);$$

$$n_{xs} = Gh \left(\frac{\partial u_x}{\partial s} + \frac{\partial u_s}{\partial x} \right) \quad (6.33.a, b)$$

sau înlocuind în funcție de (6.2)

$$n_x = Eh \left(\langle \omega \rangle \{U'\} - \alpha t \right);$$

$$n_{xs} = Gh \left(\langle \omega \rangle \{\dot{U}\} + \langle \phi \rangle \{V'\} \right) \quad (6.34 a, b)$$

în care (6.32) devine :

$$\frac{E}{G} \int h \langle \omega \rangle \{U'\} \langle \omega \rangle ds - \int h \langle \omega \rangle \{U\} \langle \omega \rangle + \langle \phi \rangle \{V'\} \langle \omega \rangle ds + \frac{1}{G} \int p_x \langle \omega \rangle ds \quad (6.35)$$

sau în formă condensată

$$\frac{E}{G} \{U'\} [B_3] - \{U\} [B_1] - \{V'\} [C_2] + \frac{1}{G} \{R_x\} = 0 \quad (6.36)$$

In mod asemănător din (6.32) rezultă

$$\{U'\} [B_2] + \{V'\} [C_3] + \frac{1}{G} \{R_s\} = 0 \quad (6.37)$$

în care

$$B_{3ij} = \int \omega_i \omega_j dA; \quad B_{3ij} = B_{3ji}; \quad dA = h ds; \quad i, j = 1, 2, \dots, K \quad (6.38)$$

$$B_{1ij} = \int \dot{\omega}_i \dot{\omega}_j dA; \quad B_{1ij} = B_{1ji}; \quad (6.39)$$

$$C_{2jk} = \int \phi_k \dot{\omega}_j dA; \quad C_{2jk} \neq C_{2kj} \text{ dacă } j \neq k; \quad j = 1, 2, \dots, K; \quad k = 1, 2, 3. \quad (6.40)$$

$$R_{xi} = \int p_x \omega_i ds; \quad R_{sk} = \int p_s \phi_k ds; \quad i = 1, 2, \dots, K; \quad k = 1, 2, 3. \quad (6.41)$$

$$C_{3hk} = \int \phi_h \phi_k dA; \quad C_{3hk} = C_{3kh}; \quad k, h = 1, 2, 3. \quad (6.42)$$

$$[B_2] = [C_2]^T; \quad \{U\} = [u_1 \ u_2 \ \dots \ u_k]^T; \quad [V] = [v_1 \ v_2 \ v_3]^T \quad (6.43)$$

In aceste relații K este numărul de noduri a suprafeței prismatice, iar h, k = 1, 2, 3, sînt GDL ale unei șaibe în planul său.

Explicitînd $\{V'\}$ din (6.37) și integrînd se obține $\{V'\}$ care se înlocuiește în (6.36) rezultînd

$$\frac{E}{G} [B_3] \{U'\} - ([B_1] - [C_2][C_3]^{-1}[C_2]^T) \{U\} + [C_2][C_3]^{-1} \left(\{\bar{R}_s\} + \{A\} \right) + \{R_x\} = 0 \quad (6.44)$$

în care $\{\bar{R}_s\} = \int_0^x \{R_s\} dx$, iar $\{A\}$ sînt constante de integrare.

6.3.3. Rezolvarea sistemului de ecuații.

Soluțiile sistemului de ecuații neomogene (6.44) se compun din soluțiile generale ale sistemului de ecuații omogene $\{U_0\}$ și soluțiile particulare ale ecuațiilor neomogene $\{U_p\}$. Soluțiile sistemului de ecuații omogene se obțin cu metodele cunoscute ale algebrei matriceale [202].

$$\{U_0\} = \begin{Bmatrix} \lambda_1 \\ \lambda_2 \\ \vdots \\ \lambda_K \end{Bmatrix} \begin{Bmatrix} \psi_1 \operatorname{sh} k_1 z + \Omega_1 \operatorname{dv} k_1 z \\ \vdots \\ \psi_K \operatorname{sh} k_K z + \Omega_K \operatorname{dv} k_K z \end{Bmatrix} = \{\lambda\} \{\Pi\} \quad (6.45)$$

Matricea vectorilor proprii se determină utilizând procedeele clasice, impunând condiția de ortonormalitate asupra acestora.

$$\langle \lambda \rangle [B_3] \{\lambda\} = 1 \quad (6.46)$$

Coefficienții k_i din (6.45) sînt rădăcinile polinomului caracteristic:

$$\frac{E}{G} [B_3] \{k_i^2\} - ([B_1] - [C_2][C_3]^{-1}[C_2]^T) = 0, \quad i=1,2,\dots,K \quad (6.47)$$

Soluțiile particulare rezultă aplicînd metoda variației constantelor în ipoteza că încărcarea exterioară nu variază în funcție de x

$$\{U_p\} = ([B_1] - [C_2][C_3]^{-1}[C_2]^T)^{-1} [C_2][C_3]^{-1} (\{\bar{R}_s\} + \alpha) + \{R_x\} \quad (6.48)$$

Soluțiile $\{V\}$ se obțin prin integrare.

$$\{V\} = -[C_3]^{-1}[C_2]^T \int_0^x \{U\} dx = -[C_3]^{-1} \int_0^x \{\bar{R}_s\} dx + \{A\}x + \{A_1\} \quad (6.49)$$

Cunoscînd deformațiile se pot determina solicitările și reacțiunile:

- momentul încovoietor $M(x)$

$$\{M(x)\} = E[B_3] \{U\} \quad (6.50)$$

- reacțiunile în articulații $Y(x)$

$$\{Y(x)\} = [F] \{U\} + [H] \{V\} + \frac{1}{G} P_0 \quad (6.51)$$

$$f_{i1} = \int \dot{\omega}_1 \dot{\omega}_1 dA; \quad h_{k1} = \int \dot{\phi}_k \dot{\omega}_1 dA \quad (6.52 \text{ a,b})$$

Momentele de torsiune se obțin prin scrierea ecuației de momente în raport cu centrul de torsiune, forțele și pozițiile lor fiind cunoscute.

6.3.4. Condiții de margine.

După modul de acționare clapelele pot fi clasificate în trei ca-

tegorii :

- (1) clapete cu acționare la mijlocul deschiderii (fig.6.4.a)
- (2) clapete cu acționare la un capăt (fig.6.4.b)
- (3) clapete cu acționare la ambele capete (fig.6.4.c)

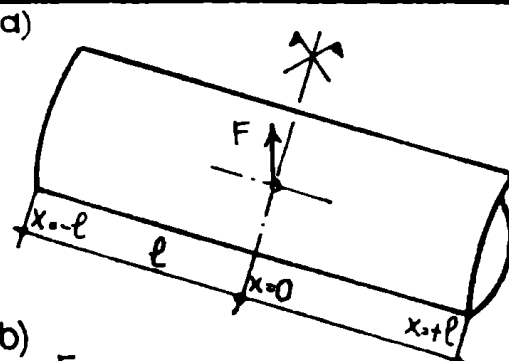
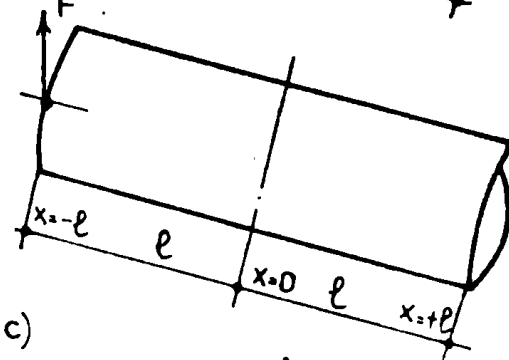
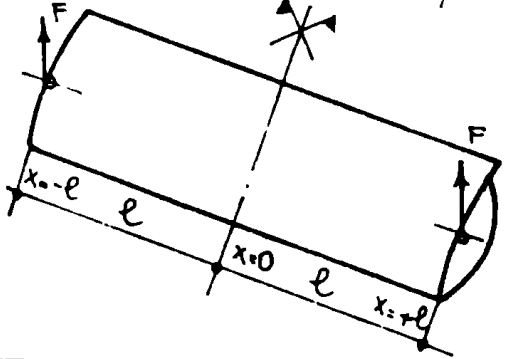
tipul acționării	condiția de margine	constante care rezulta
a) 	$[B_3] \{U'(0)\} = 0$ $[B_3] \{U'(l)\} = 0$ $\{\bar{R}_s(0)\} + \{A\} = 0$ $\{V(l)\} = 0$	φ_K Ω_K $\{A\}$ $\{A_1\}$
b) 	$\{U'(l)\} = \{U'(-l)\} = \frac{1}{E} \begin{Bmatrix} 1 \\ B_{3,11} \\ 0 \\ 0 \end{Bmatrix} M(x)$ $\{\bar{R}_s(l)\} + \{A\} = 0$ $\{V(+l)\} = 0$ $M_t(l) = 0$	φ_K Ω_K $\{A\}$ $\{A_1\}$
c) 	$\{U'(l)\} = \{U'(-l)\} = \frac{1}{E} \begin{Bmatrix} 1 \\ B_{3,11} \\ 0 \\ 0 \end{Bmatrix} M(x)$ $\{\bar{R}_s(l)\} + \{A\} = 0$ $\{V(l)\} = 0$ $M_t(0) = 0$	φ_K Ω_K $\{A\}$ $\{A_1\}$

fig. 6.4

În cazul b momentul de torsiune M_t este nul la capătul liber cu valoarea maximă la capătul în care este acționată clapeta. În cazul c, M_t are la capete jumătate din valoarea maximă în cazul precedent, la mijloc fiind nul.

Încărcarea exterioară p_0 se consideră concentrată pe secțiunea transversală, fiind uniform distribuită în lungul stavilei.

6.3.5. Exemple numerice.

Pentru a se pune în evidență modul de aplicare a procedurii de calcul prezentat se tratează în continuare două exemple de calcul. Numărul funcțiilor necunoscute $U(x)$ este egal cu numărul k al nodurilor (muchii) secțiunii transversale. Pentru funcțiile predefinite $\omega(s)$ se adoptă variațiile: $\omega_1=1$; $\omega_2=x$; $\omega_k=y$. cele-

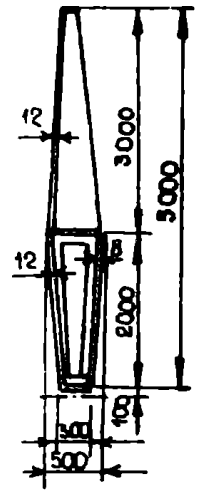
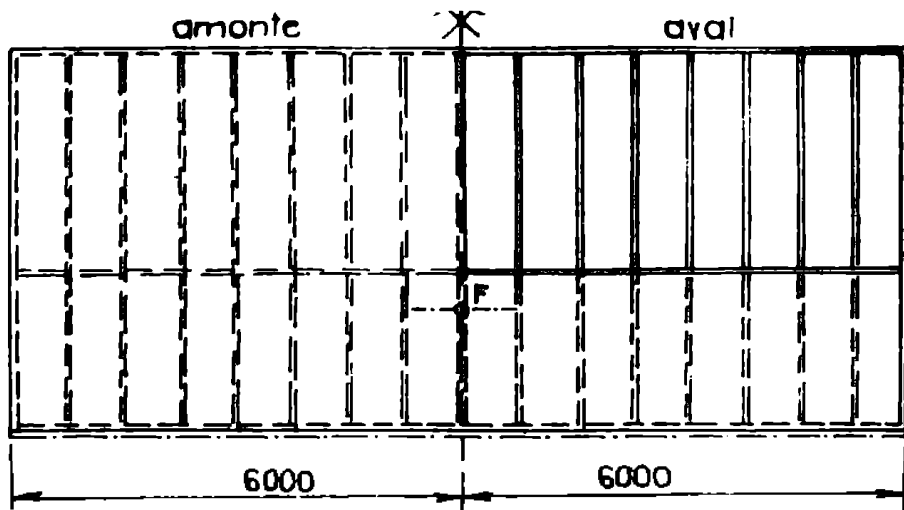


fig. 6.5 Stavilă clapetă cu secțiune prismatică

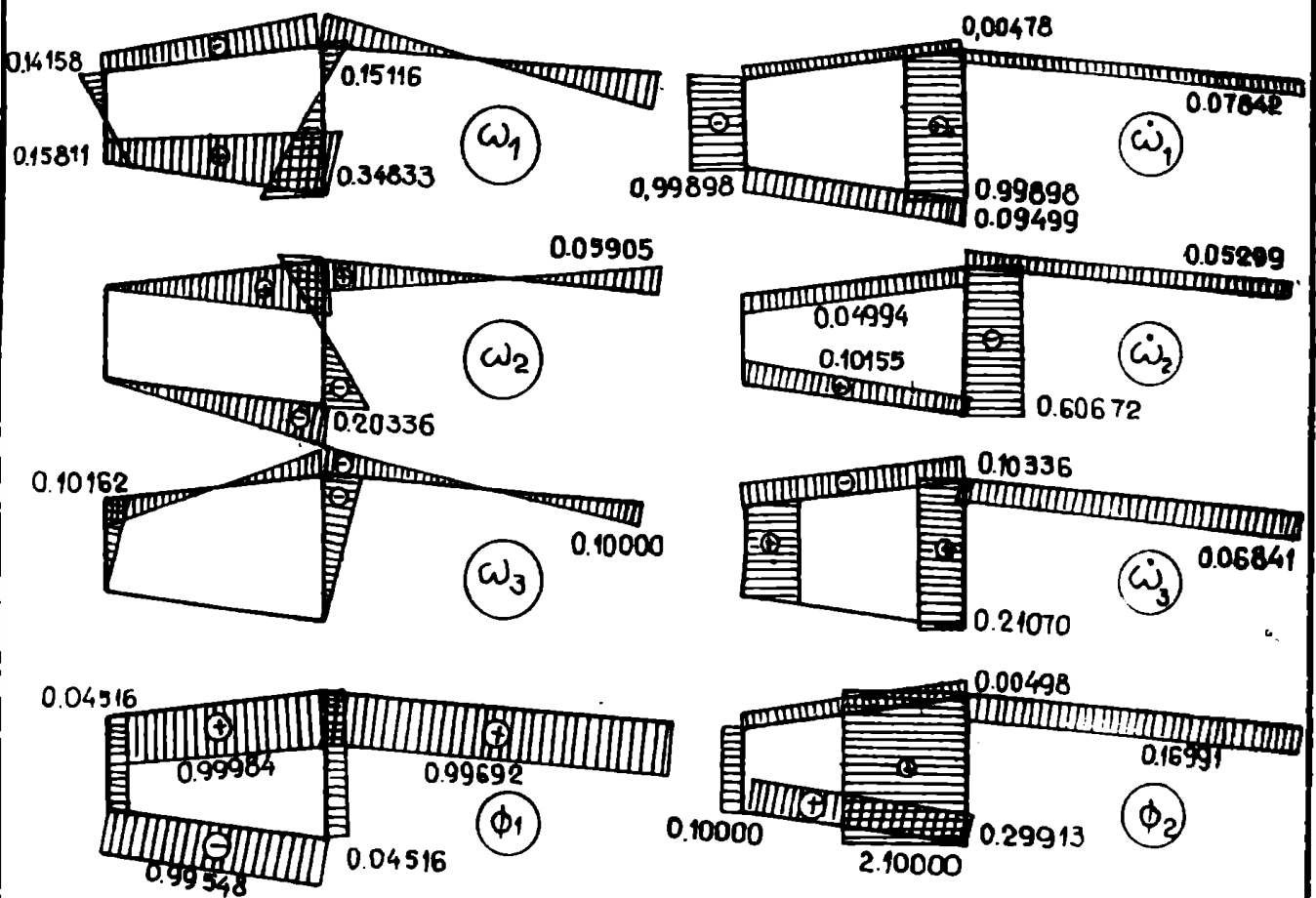


fig. 6.6 Diagramele ω și ϕ

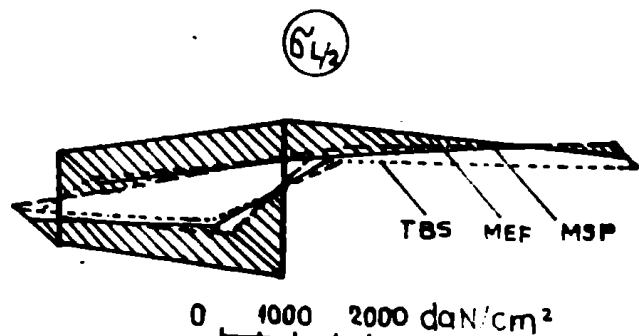
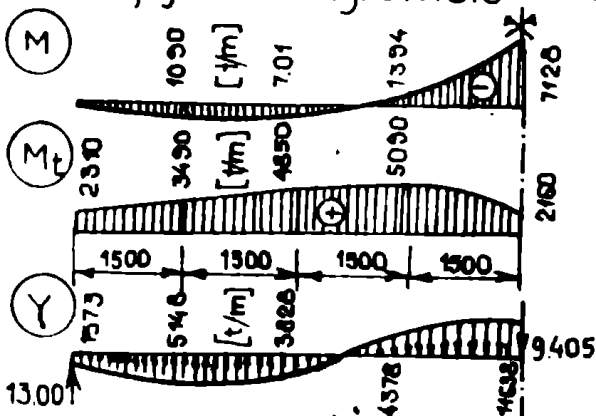


fig. 6.7 Diagrame de solicitări (eforturi) și tensiuni

alte alegându-se să fie ortogonale cu ω_1 și ω_k .

Intrucît pentru secțiunea transversală se acceptă numai 2GDL: o deplasare V_1 după axa principală y și o rotație V_2 în jurul axului articulației funcțiile predefinite ϕ vor fi în număr de două: $\phi_1 = y$ și $\phi_2 = dj$, dj fiind distanța de la axul articulației la latura j (fața) secțiunii transversale.

Cu aceste precizări se pot aborda în continuare cele două exemple, care pentru a avea o imagine asupra calității rezultatelor sînt rezolvate și prin metoda clasică care consideră stavila o grindă cu pereți subțiri rezemată continuu pe articulații, precum și prin metoda elementelor finite.

6.3.5.1. Stăvilă clapetă cu secțiune prismatică.

Stavila este prezentată în fig.6.5. În figura 6.6 se prezintă diagramele ω și ϕ iar în figura 6.7 rezultatele comparative obținute cu cele trei metode.

6.3.5.2. Stăvilă clapetă "burtă de pește".

Stavila și rezultatele obținute prin aplicarea metodei sînt prezentate în §§§ 1.4.3.3. În figura 6.8 se prezintă diagramele ω și ϕ .

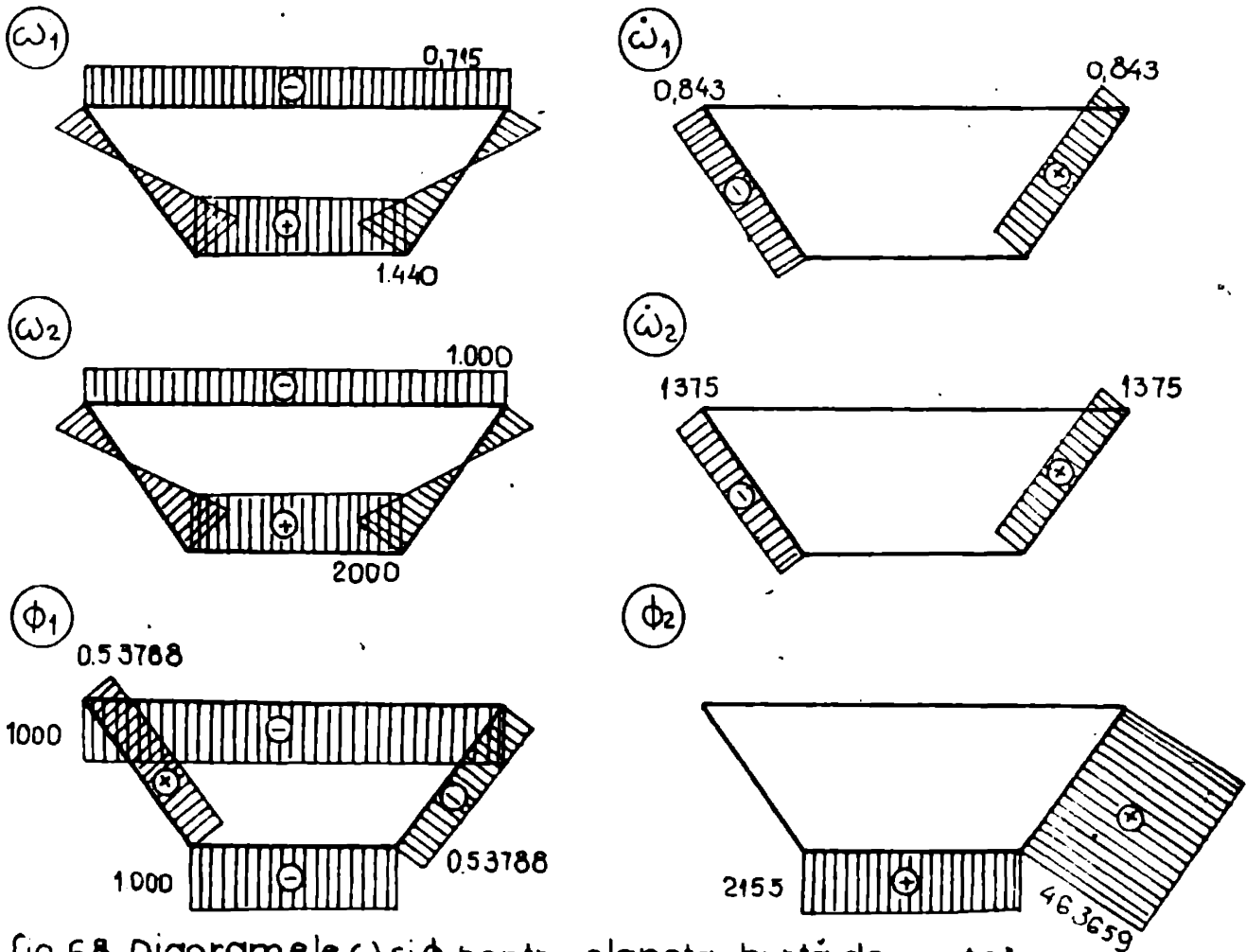


fig.6.8 Diagramele ω și ϕ pentru clapeta „burtă de pește”

6.4. CONCLUZII

Metoda generală de rezolvare a stăvilor cu secțiune chesonată prismatică sau care se pot aproxima printr-o suprafață prismatică închisă este aplicabilă tuturor tipurilor de stăvilă prin intermediul calculului automat. În forma simplificată prezentată în §.6.3 metoda poate fi de asemenea aplicată tuturor tipurilor de stăvilă cu secțiune închisă, introducând condiții de margine adecvate și definind în mod corespunzător funcțiile ω și ϕ .

Metoda nu ține seama de conlucrarea platelajului cu elementele de rigidizare ale acestuia (lonjeroni, antretoaze sau diafragme). Acest neajuns poate fi înlăturat dacă se determină o grosime echivalentă a platelajului printr-un calcul simplificat de echivalare a rigidităților la încovoiere și torsiune, și prin înlocuirea efectului diagramelor prin condiții de margine adecvate. De altfel, rezultatele comparative prezentate în exemplele precedente dovedesc o precizie tehnică remarcabilă.

În orice caz, față de metoda curentă de calcul a stăvilor clapetă ca bare cu pereți subțiri, la care adesea raportul

$\frac{h}{\lambda} > 10$, metoda propusă are avantajul unei modelări mai aproape

de realitate a acestor structuri, considerându-le ca suprafețe prismatice lungi.

Comparativ cu MEF, care poate fi oricât de exactă în funcție de calitatea și finețea discretizării, metoda propusă oferă avantajele unui calcul operativ, abordabil prin echipamente de calcul de mică capacitate, la îndemâna inginerului proiectant.

C A P I T O L U L VII

FORMULAREA UNEI TEORII NELINIARE A BARELOR CU PEREȚI SUBȚIRI /72/.

7.1. GENERALITATI

Așa cum s-a arătat în capitolul 1 și capitolul 6 stavilele metalice moderne sînt structuri metalice cu pereți subțiri care se pot încadra fie în categoria barelor cu pereți subțiri, fie în categoria suprafețelor prismatice, care, la rîndul lor, își au teoriile de calcul fundamentate pe ipotezele primelor. Din acest punct de vedere examinarea și dezvoltarea teoriei de calcul, liniară și neliniară, a barelor cu pereți subțiri se consideră ca fiind utilă și oportună pentru dezvoltarea unor metode de calcul specifice anumitor tipuri de stavile.

Bazele teoriei liniare a barelor cu pereți subțiri au fost puse de către Vlasov în lucrarea sa fundamentală /195/ publicată în anul 1940. Ipotezele de bază ale acestei teorii sînt următoarele :

- (i) O bară cu pereți subțiri este un element structural caracterizat prin trei mărimi geometrice - lungime, lățimea, respectiv înălțimea, secțiunii transversale și grosimea pereților - aflate între ele în rapoarte de ordin de mărime diferite.
- (ii) O bară cu pereți subțiri poate fi considerată ca o placă curbă subțire lungă cu comportare elastică.
- (iii) Lunecările specifice din suprafața mediană a plăcii curbe subțiri se pot neglija.
- (iiii) O secțiune oarecare a barei cu pereți subțiri este nedefor-mabilă în planul său - ipoteza conturului rigid.

Proprietatea caracteristică a barei cu pereți subțiri este aceea că în timpul răsucirii bara se deformează longitudinal, secțiunile transversale se deplanează rezultînd tensiuni normale proporționale cu aceste deformații.

Stabilirea unor criterii cantitative de clasificare a elementelor de construcție cu pereți subțiri este, practic, imposibilă. Vlasov indică următoarele rapoarte :

$$\frac{t}{b} \leq 0.10 \quad \text{și} \quad \frac{b}{l} \leq 0.10 ;$$

t, grosimea pereților
b, una din dimensiunile secțiunii transversale (lățimea sau înălțimea)
l, lungimea barei.

Condițiile menționate sînt destul de largi. Din experiență se cunoaște că teoria lui Vlasov concordă bine cu testele experimentale atunci cînd pereții barei sînt foarte subțiri. În cazul profilelor cu pereți subțiri formate la rece condițiile lui Vlasov nu mai au, de fapt, importanță deoarece, în mod uzual, pereții plani " tip inimă " îndeplinesc condițiile $t/b \leq 0.03$ și $b/l \leq 0.05$, iar pentru cei care pot fi considerați "tălpi" sau "aripi" $t/b \leq 0.07$ și $b/l \leq 0.05$.

Cea mai bună concordanță a experimentărilor cu teoria lui Vlasov s-a obținut în problemele de stabilitate generală, care pot fi

considerate ca fiind cele mai importante în cazul barelor cu pereți subțiri. Ipoteza conturului rigid trebuie înțeleasă practic astfel că, sub încărcările limită, nu apare o stare de eforturi care să provoace pierderea stabilității locale a pereților.

În anii '70 au apărut mai multe tentative în sensul elaborării și dezvoltării unor teorii neliniare a barelor cu pereți subțiri. Unele dintre acestea vor fi examinate succint în cele ce urmează.

Teoria neliniară elaborată de Ghobahrah și Tso /95/ este operantă în ipoteza că deformațiile din încovoiere sînt mici, iar cele din torsiune sînt moderate. Bara cu pereți subțiri este privită ca o placă curbă subțire, lungă, elastică, cu o singură curbură, deformațiile din planul secțiunii transversale fiind neglijate. Se acceptă că secțiunile transversale prezintă numai deplasări de corp rigid în planul lor. Expresiile deplasărilor normale și tangențiale se deduc. Pe baza acestor expresii și a relațiilor neliniare exacte se poate determina deplasarea secțiunii transversale impunînd condiții suplimentare pentru anularea lunecărilor specifice. Funcționala energiei potențiale este stabilită pe baza expresiei energiei de deformare a plăcilor curbe subțiri în care prima ipoteză Kirchhoff-Love este corelată cu cîmpul deplasărilor anterior definit. Ecuațiile diferențiale neliniare complete și condițiile de margine rezultă în urma aplicării criteriilor variaționale. Această teorie a fost aplicată de către autorii ei la studierea comportării neliniare a grinzilor în consolă solicitate la torsiune pură. Pentru rezolvarea ecuațiilor diferențiale neliniare s-a utilizat metoda perturbării, rezultatele obținute fiind verificate experimental prin teste realizate pe grinzi console alcătuite din profile dublu T.

Teoria neliniară a barelor cu pereți subțiri formulată de către Ghobarah și Tso prezintă o serie de inconveniente. În primul rînd, ipotezele în baza cărora se stabilește expresia lucrului mecanic a forțelor exterioare sînt oarecum neclare. În al doilea rînd, în expresia energiei potențiale de deformare se neglijează termenii de gradul trei și patru în deplasări ceea ce conduce la neconcordanțe la compararea rezultatelor cu cele obținute pe baza teoriei postentice a lui Koiter /126/.

Epstein și Murray /80/, /81/ dezvoltă o teorie neliniară care ține seama și de deformațiile de forfecare. Teoria este valabilă pentru deplasări finite arbitrare în cazul barelor cu secțiune constantă compusă din dreptunghiuri înguste.

Fiecărui element al secțiunii transversale i se atașează un tensor de ordinul trei al tensiunilor reduse în linia mediană și aplicîndu-se principiul lucrului mecanic virtual se stabilesc ecuațiile de echilibru și condițiile de margine. Dificultăți apar în momentul cînd se încearcă evaluarea variației tensiunilor de forfecare pe grosimea elementelor care compun secțiunea transversală. Problema poate fi depășită dacă se acceptă că lucrul mecanic virtual produs de aceste eforturi este egal cu acela produs de eforturile din teoria liniară clasică a torsiunii Saint-Venant (valabilă pentru valori mici ale răsucirii specifice).

Această teorie a fost aplicată la analiza postcritică a barelor cu secțiune dublu T care flambează lateral, utilizîndu-se în acest scop metoda elementelor finite, rezultatele fiind bine confirmate de încercările experimentale. Într-o lucrare de dată mai recentă /81/ această teorie s-a utilizat la studiul flambajului inelastice și la analiza post-critică a barelor cu pereți subțiri soli-

citare la compresiune cu încovoiere. Teoria prezentată trebuie aplicată, însă, cu rezerve în cazul barelor cu pereți subțiri care prezintă răsuciri specifice însemnate din cauza ipotezei făcute asupra lucrului mecanic virtual al tensiunilor de forfecare, care în acest caz nu mai este egal cu cel din teoria Saint-Venant.

Trahair și Woolcock /161/ studiază stabilitatea grinzilor cu secțiuni dublu T simplu rezemate încărcate cu momente egale la capete formulând ecuațiile neliniare exacte de echilibru în stadiul critic. Aceste ecuații se liniarizează și se rezolvă tratându-se ca o problemă de valori proprii ținându-se seama și de deformațiile din stadiul precritic. Autorii aplică această teorie cu bune rezultate și la studiul comportării consolelor cu secțiune dublu T încărcate cu forțe concentrate aplicate transversal la capătul liber și la mijlocul secțiunii. Teoria lui Trahair și Woolcock este completă în sensul că ecuațiile diferențiale care guvernează comportarea grinzilor au la bază ipoteze bine fundamentate. Cu toate acestea, teoria are unele limite întrucât aplicarea ei este restrânsă la grinzi cu secțiune dublu-simetrică.

Grimaldi și Pignataro /105/ studiază comportarea critică și postcritică a barelor cu pereți subțiri simplu rezemate comprimate cu secțiune deschisă. Funcționala energetică este stabilită pornindu-se de la componentele cîmpului deplasărilor definite în teoria liniară a lui Vlasov pe baza relațiilor neliniare dintre deplasări și componentele tensorului Lagrange a tensiunilor. După ce se determină expresia energiei potențiale - ai cărei termeni de ordinul patru și superiori în deplasări sînt neglijăți - analiza critică și postcritică a barelor cu pereți subțiri se realizează prin aplicarea teoriei generale a stabilității echilibrului elastic a lui Koiter /124/.

Mollman dezvoltă o teorie neliniară a barelor cu pereți subțiri pornind de la teoria neliniară a plăcilor curbe subțiri la care adaugă ipotezele lui Vlasov cu privire la neglijarea tensiunilor de forfecare și la modul de deformare a secțiunii transversale în planul său. Pe bazele teoretice ale acestei teorii Pedersen /161/ dezvoltă o metodă de analiză numerică, bazată pe tehnica elementului finit, a comportării critice și post critice.

7.2. FORMULAREA GENERALIZATA A TEORIEI LINIARE A BARELOR CU PERETI SUBTIRI /87/.

7.2.1. Reflectarea în normele de calcul a problemei.

Problema pierderii stabilității prin încovoiere-răsucire a barelor cu pereți solicitate la încovoiere apare în general la elementele nerigidizate lateral. Normele de calcul /93/, /208 ÷ 215) se referă în principal la grinzi cu secțiune simetrică nerigidizate lateral sau rigidizate pe porțiuni solicitate la încovoiere în planul de simetrie. Din acest punct de vedere, se consideră că este util, pentru a demonstra oportunitatea subiectului acestui capitol, să se facă o trecere în revistă a criteriilor de verificare și evaluare a rezistenței la stabilitate a grinzilor încovoiate, care-și pierd stabilitatea prin încovoiere răsucire, conținute în normele de calcul. În acest sens se disting 4 clase de relații.

(1) Formule empirice bazate pe ipoteza că talpa comprimată și o porțiune din inimă lucrează ca elemente comprimate axial (normele de poduri și din SUA și Japonia).

(2) Utilizarea unor formule pentru bare comprimate în care se introduce ca parametru o sveltețe echivalentă

$\bar{\lambda} = \sqrt{M_p / M_e}$, în care M_p este momentul plastic al secțiunii transversale iar M_e este momentul critic corespunzător flambajului elastic prin încovoiere răsucire. (normele din URSS și estul Europei).

(3) Formule empirice derivate din expresia momentului critic corespunzător flambajului elastic prin încovoiere-răsucire care utilizează un parametru idealizat al secțiunii transversale și condiții de margine corespunzătoare (normele de construcții din SUA).

(4) Formule care utilizează soluția analitică exactă a flambajului elastic prin încovoiere-răsucire, condiții de încărcare și de margine și unele modificări empirice pentru a ține seama de flambajul în domeniul inelastic (normele Vest Europene, Canada și SUA).

Criteriile de calcul prezentate mai sus și limitele lor de aplicabilitate au la bază teoria lui Vlasov /40/. Pentru extinderea acestor criterii la cazul barelor cu pereți subțiri cu secțiune monosimetrică, sau, în cazul general, nesimetrică, sînt necesare încă dezvoltări teoretice fundamentale. Principalele procedee de calcul bazate pe bifurcarea, sau divergența echilibrului /101/, /92/, nu rezolvă de o manieră unitară această problemă, soluțiile fiind, de regulă, cu caracter particular,

În acest subcapitol se formulează o teorie generală, unitară în cadrul căreia problemele de instabilitate a grinzilor cu pereți subțiri cu secțiune deschisă se pot aborda atît prin metoda bifurcării echilibrului cît și printr-un calcul de divergență sau limitare a echilibrului.

7.2.2. Ecuațiile diferențiale generale de instabilitate a barelor cu pereți subțiri.

În cazul cel mai general de solicitare, în cadrul modelului fizic de bifurcare a echilibrului ecuațiile de instabilitate a unei bare cu pereți subțiri cu secțiune deschisă nesimetrică (fig. 7.1) se scriu sub forma a două ecuații diferențiale de încovoieri și o ecuație diferențială de torsiune.

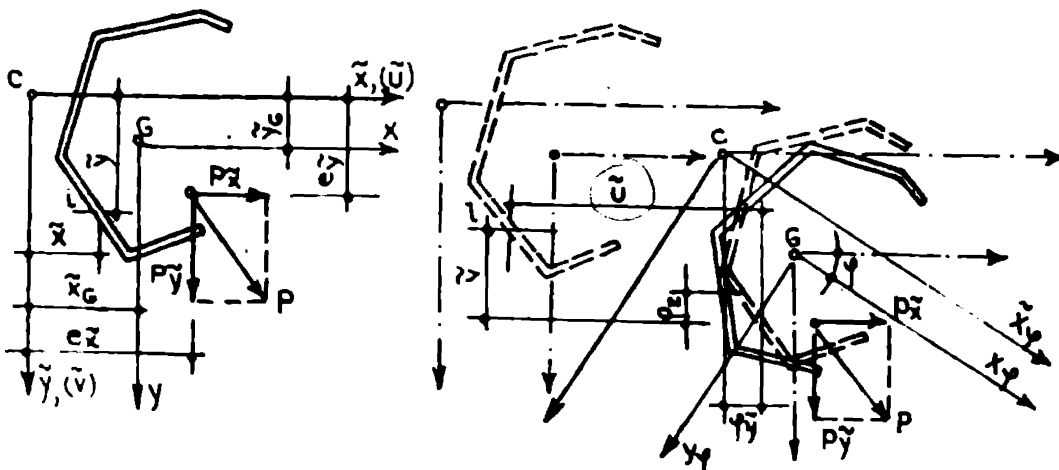


fig. 7.1

$$\begin{cases} D_y \tilde{u}^{IV} + [N(\tilde{u}' - y_G \psi')] + (M_x \psi)'' = 0 \\ D_x \tilde{v}^{IV} + [N(\tilde{v}' + \tilde{x}_G \psi')] + (M_y \psi)'' = 0 \\ D_\omega \psi^{IV} - (D_t - N i_c^2) \psi'' - \frac{k_x}{I_x} (M_x \psi') - \frac{k_y}{I_y} (M_y \psi') + M_x \tilde{u}'' - M_y \tilde{v}'' + \\ + N \tilde{x}_G \tilde{v}'' - N \tilde{y}_G \tilde{u}'' + p_x (e_x - \tilde{x}_G) \psi - p_y (e_y - \tilde{y}_G) \psi = 0 \end{cases} \quad (7.1.a,b,c)$$

în care s-au folosit notațiile :

$$D_x = EI_x ; D_y = EI_y ; D_\omega = BI_\omega, D_t = GI_t ;$$

$$k_x = \int_A \tilde{y}(\tilde{x}^2 + \tilde{y}^2) dA - \tilde{y}_G A i_c^2 ; k_y = \int_A \tilde{x}(\tilde{x}^2 + \tilde{y}^2) dA - \tilde{x}_G A i_c^2 ;$$

$$i_c^2 = \frac{1}{A} \int_A (\tilde{x}^2 + \tilde{y}^2) dA ; \text{ celelalte notații sînt consacrate.}$$

Soluționarea sistemului (1) va da o triplă infinitate de forțe critice de flambaj, care rezultă condițiile de obținere a unor soluții diferite de cea banală. Pornind de la aceste ecuații generale, prin particularizări se vor obține relații care permit soluționări analitice sau numerice.

În cadrul modelului fizic de bifurcarea echilibrului, modelul matematic al instabilității prin bifurcare se definește ca o problemă de valori proprii, care rezultă în mod direct prin integrarea ecuațiilor diferențiale ale echilibrului indiferent (7.1).

Complexitatea condițiilor la limită necesare integrării sistemului de ecuații diferențiale (7.1) conduce la un volum de calcule foarte mare, astfel încît procedeele analitice devin deosebit de laborioase. Metoda de rezolvare cea mai facilă este integrarea numerică cu ajutorul calculatorului electronic. Dintre metodele de integrare numerică a ecuațiilor diferențiale, pentru problema pusă în discuție, adecvată este metoda Runge-Kutta-Gill /47/, cu aplicații și rezultate cunoscute în studiul barelor cu secțiune monosimetrică comprimate care-și pierd stabilitatea prin încovoiere răsucire /140/.

7.2.3. Ecuațiile generalizate ale barelor cu pereți subțiri solicitate la încovoiere cu torsiune.

Se consideră situația prezentată în fig.7.1., cu bara încovoiată și torsionată în raport cu poziția inițială. Ecuațiile diferențiale de deformații sînt :

$$\begin{cases} D_y \tilde{u}^{IV} = p_x \\ D_x \tilde{v}^{IV} = p_y \\ D_\omega \psi^{IV} = m \end{cases} \quad \text{sau} \quad \begin{cases} D_y \tilde{u}'' = -M_x \\ D_x \tilde{v}'' = -M_y \\ D_\omega \psi^{IV} - D_t = m \end{cases} \quad (7.2. a,b)$$

Pentru formularea ecuațiilor de instabilitate generalizate eforturile și forțele se reduc în raport cu centrul de tăiere C, iar momentele încovoietoare și momentul de torsiune se determină în conformitate cu teoria de ordinul doi /92/. În cursul procesului de reducere se pune în evidență bimomentul suplimentar (fig. 7.2) și momentele încovoietoare și de torsiune de ordinul doi.

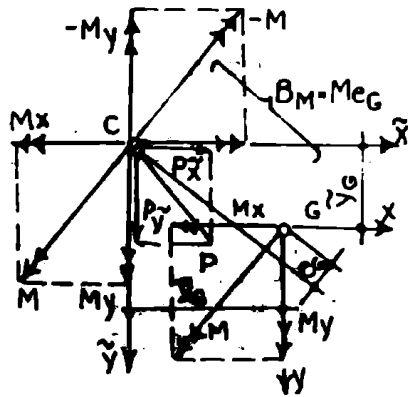


fig. 7.2

$$B_M = M e_G \quad (7.3)$$

$$M_{\tilde{x}\varphi} = M_x - M_y \varphi \quad (7.4, a, b)$$

$$M_{\tilde{y}\varphi} = M_y - M_x \varphi$$

$$m_\varphi = m_{\varphi P} + m_{\varphi M} + m_{\varphi G} \quad (7.5)$$

în care:

$$m_{\varphi P} = -P_{\tilde{x}} (e_{\tilde{y}} + e_{\tilde{x}} \varphi) + P_{\tilde{y}} (e_{\tilde{x}} - e_{\tilde{y}} \varphi)$$

$$m_{\varphi M} = M_x \tilde{u}'' + M_y \tilde{v}'' \quad (7.6a, b, c)$$

$$m_{\varphi G} = \frac{k_{\tilde{x}}}{I_x} (M_x \varphi')' + \frac{k_{\tilde{y}}}{I_y} (M_y \varphi')' + \frac{k_\omega}{I_\omega} [(B+B_M)\varphi']'$$

cu $k_\omega = \int_A \omega (\tilde{x}^2 + \tilde{y}^2) dA$, ω fiind coordonata sectorială principală.

Dacă se fac notațiile $k_{\tilde{x}}/I_x = K_{\tilde{x}}$; $k_{\tilde{y}}/I_y = K_{\tilde{y}}$ și $k_\omega/I_\omega = K_\omega$ și se fac înlocuirile corespunzătoare expresiilor (7.3) ÷ (7.6) sistemul (7.2) devine:

$$D_y \tilde{u}^{IV} + (M_x - M_y \varphi)'' = 0$$

$$D_x \tilde{v}^{IV} + (M_y - M_x \varphi)'' = 0 \quad (7.7)$$

$$D_\omega \varphi^{IV} - D_t \varphi''' - K_{\tilde{x}} (M_x \varphi')' - K_{\tilde{y}} (M_y \varphi')' - K_\omega [(B+B_M)\varphi']' + M_x \tilde{u}'' - M_y \tilde{v}'' + P_{\tilde{x}} (e_{\tilde{y}} + e_{\tilde{x}} \varphi) - P_{\tilde{y}} (e_{\tilde{x}} - e_{\tilde{y}} \varphi) = 0$$

Sistemul de ecuații diferențiale rezultat, asemănător ca formă cu sistemul general (7.1), obținut pe modelul fizic de bifurcarea echilibrului permite soluționarea problemelor de instabilitate prin încovoiere răsuțire prin divergența echilibrului prin intermediul unui calcul de rezistență de ordinul doi, precum și a problemelor de instabilitate prin încovoiere pe baza unui calcul de bifurcare. Eliminând \tilde{u}'' și \tilde{v}'' din (7.7) se obțin ecuațiile generalizate pe tipuri de instabilitate:

(A) Ecuația de stabilitate a barelor cu pereți subțiri solici-
tate la încovoiere oblică cu torsiune, definită pe un model
de divergența echilibrului pe baza unui calcul de rezisten-
ță de ordinul doi :

$$D\omega\varphi^{IV} - D_t\varphi''' - K_{\tilde{x}}(M_x\varphi')' - K_{\tilde{y}}(M_y\varphi)' - K_{\omega}[(B+B_M)\varphi]' - (C_M - C_P) - C = 0, \quad (7.8)$$

în care s-au introdus notațiile

$$C_M = \frac{M_x^2}{D_y} + \frac{M_y^2}{D_x} ; C_P = P_{\tilde{y}} e_{\tilde{y}} + P_{\tilde{x}} e_{\tilde{x}} ; C = \frac{M_x M_y}{D_y} (1 - \frac{I_y}{I_x}) + P_{\tilde{y}} e_{\tilde{x}} - P_{\tilde{x}} e_{\tilde{y}}$$

(B) Ecuația de stabilitate a barelor solici-
tate la încovoiere
plană cu torsiune, definită pe modelul de divergența echi-
librului ($p_x=0 ; B_M = B_{M_x} = M_x x_G ; M_y = 0$):

$$D\omega\varphi^{IV} - D_t\varphi''' - K_{\tilde{x}}(M_x\varphi')' - K_{\omega}[(B+B_{M_x})\varphi]' - (C_{M_{\tilde{x}}} - C_{P_{\tilde{y}}})\varphi + m_{\tilde{y}} = 0 \quad (7.9)$$

în care:

$$C_{M_{\tilde{x}}} = \frac{M_x^2}{D_y} ; C_{P_{\tilde{y}}} = p_{\tilde{y}} e_{\tilde{y}} ; m_{\tilde{y}} = p_{\tilde{y}} e_{\tilde{x}}$$

(C) Ecuația de stabilitate a grinzilor solici-
tate la încovoiere
plană definită pe modelul fizic al bifurcării echilibrului
($p_x=0 ; M_y=0 ; B_M = B_{M_x} ; e_{\tilde{x}}=0 ; B=0$):

$$D\omega\varphi^{IV} - D_t\varphi''' - K_{\tilde{x}}(M_x\varphi')' - K_{\omega}(B_x\varphi)' - (C_{M_x} - C_{P_{\tilde{y}}})\varphi = 0 \quad (7.10)$$

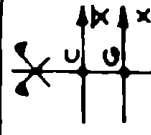
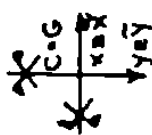
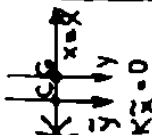
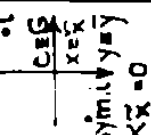
Pentru calculul unghiului φ este preferabil să se utilizeze
metoda R-K-G, dar se pot utiliza și metodele Galerkin sau Ritz. Cu
unghiul φ determinat se poate calcula tensiunea normală σ transformînd
verificarea de stabilitate prin divergența echilibrului într-un cal-
cul de rezistență de ordinul doi limitat la atingerea limitei de
curgere sau la apariția unei plasticizări parțiale

$$\sigma = \frac{M_x - M_y\varphi}{I_x} y + \frac{M_y + k_x\varphi}{I_y} x + \omega E\varphi'' \quad (7.11)$$

7.2.4. Forme de instabilitate și soluții particulare în
analiza de stabilitate a barelor cu pereți subțiri soli-
citate la încovoiere cu torsiune.

În tabelul 7.1. /87/ se prezintă în mod sintetic formele parti-
culare ale ecuațiilor de stabilitate obținute pe tipuri de secțiuni
și tipuri de solicitări, prin particularizarea corespunzătoare a e-
cuațiilor (7.8) și (7.10). Se remarcă buna concordanță cu relațiile
stabilite pe cazurile particulare prezentate de către alți autori și
cunoscute anterior din literatura de specialitate.

tabelul 7.1

tipul secțiunii transv.	ecuațiile liniare de stabilitate a barelor cu pereți subțiri solicitate la încovoiere cu torsiune	ecuația a fost formulată de:	metoda de rezolvă autorul soluției
 <p> $y = \bar{y}$ $K\bar{y} = 0$ $K\omega = 0$ $K\bar{x} \neq 0$ </p>	<p>incovoiere oblică cu torsiune: diverg. echilib.</p> $D\omega \psi^{IV} - D_t \psi'' - K\bar{x}(M_x \psi') - (C_M - C_P) \psi - C = 0$ (a) <p>incovoiere dreaptă cu torsiune: diverg. echil.</p> $D\omega \psi^{IV} - D_t'' - K\bar{x}(M_x \psi') - (C_M x - C_P \bar{y}) \psi - m \bar{y} = 0$ (b) <p>incovoiere dreaptă cu torsiune: bifurc. echilib.</p> $P\bar{x} = 0; M_y = 0; e\bar{x} = 0$ $D\omega \psi^{IV} - D_t \psi'' - K\bar{x}(M_x \psi') - (C_M x - C_P \bar{y}) \psi = 0$ (c)	Pettersson - Dabrowski	(metoda Galerkin) Dabrowski
 <p> $K\bar{x} = 0$ $K\bar{y} = 0$ $K\omega = 0$ </p>	<p>incovoiere dreaptă cu torsiune: diverg. echilib.</p> $P\bar{x} = 0; M_y = 0$ $D\omega \psi^{IV} - D_t \psi'' - (C_M x - C_P \bar{y}) \psi - m \bar{y} = 0$ (d) <p>incovoiere dreaptă cu torsiune: bifurc. echilib.</p> $P\bar{x} = 0; M_y = 0; e\bar{x} = 0$ $D\omega \psi^{IV} - D_t \psi'' - (C_M x - C_P \bar{y}) \psi = 0$ (e)	Koillbrunner	(metoda Ritz) Dabrowski
 <p> $\bar{y} = \bar{y}$ $K\bar{x} = 0$ $K\omega = 0$ $K\bar{y} \neq 0$ </p>	<p>incovoiere dreaptă cu torsiune: diverg. echil.</p> $P\bar{x} = 0; M_y = 0$ $D\omega \psi^{IV} - D_t \psi'' - (C_M x - C_P \bar{y}) \psi - m \bar{y} = 0$ (f) <p>incovoiere dreaptă cu torsiune: bifurc. echilib.</p> $P\bar{x} = 0; M_y = 0; e\bar{x} = 0$ $D\omega \psi^{IV} - D_t \psi'' - (C_M x - C_P \bar{y}) \psi = 0$ (g)	analog cu (d) analog cu (e)	sol. exactă: Pettersson met. Ritz: Dabrowski and Dreher
 <p> $\text{Sym. } \bar{y} = \bar{y}$ $K\bar{x} = 0$ $K\bar{y} = 0$ $K\omega \neq 0$ </p>	<p>incovoiere dreaptă cu torsiune: diverg. echilib.</p> $P\bar{x} = 0; M_y = 0$ $D\omega \psi^{IV} - D_t \psi'' - K\omega(B\psi') - (C_M x - C_P \bar{y}) \psi - m \bar{y} = 0$ (h) <p>incovoiere dreaptă cu torsiune: bifurc. echilib.</p> $P\bar{x} = 0; M_y = 0; e\bar{x} = 0$ $D\omega \psi^{IV} - D_t \psi'' - (C_M x - C_P \bar{y}) \psi = 0$ (i)	Reuschling	Reuschling

Din examinarea tabelului (7.1) se poate aprecia că relațiile (7.8) ÷ (7.10) oferă o cuprindere globală a formelor de instabilitate cu care sînt confruntate barele cu pereți subțiri solicitate la încovoiere cu torsiune și constituie bazele formulării unei teorii generalizate din acest punct de vedere.

În ceea ce privește interacțiunea dintre flambajul general cu voalarea, relațiile prezentate se pot utiliza dacă se operează cu caracteristici geometrice echivalente; acest aspect va fi abordat în capitolul 8 al prezentei lucrări.

7.3. TEORIA NELINIARA A BARELOR CU PEREȚI SUBȚIRI /72/.

7.3.1. Ipoteze fundamentale .

Se acceptă următoarele ipoteze :

- (j) Bara este dreaptă și cu secțiune constantă în starea inițială neîncărcată și nedeformată.
- (jj) Bara cu pereți subțiri se consideră că este o placă curbă lungă cu configurația geometrică determinată de suprafața mediană.
- (jjj) Suprafața mediană este de formă cilindrică în starea inițială neîncărcată și nedeformată.
- (jjjj) Deformațiile locale sînt mici în orice punct al plăcii, iar secțiunea transversală este nedeformabilă în planul său.
- (jjjjj) Lunecările specifice în suprafața mediană se neglijează.

Sistemul geometric pe care se discută comportarea neliniară a barelor cu pereți subțiri este un sistem spațial (fig.7.3) diferit de sistemul plan din §.7.2. (fig.7.1).

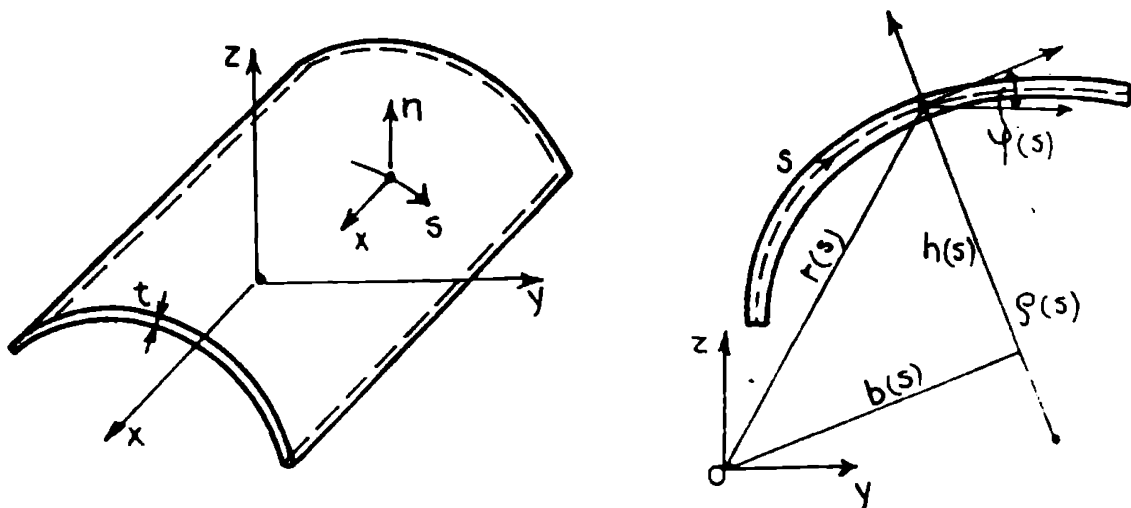


fig. 7.3

7.3.2. Determinarea cîmpului de deplasări.

Comportarea neliniară a plăcilor curbe subțiri cu deformații și deplasări finite a fost examinată de Koiter în lucrarea sa fundamentală /124/, în care se deduc ecuațiile neliniare de compatibilitate. Dacă în aceste ecuații se introduc simplificările presu-

duse de ipotezele (j) \div (jjjj) se obțin ecuațiile de compatibilitate simplificate /161/ ale căror soluții, cu notațiile din figura 7.3., sînt:

$$\begin{cases} \varepsilon_{11} = \alpha(x) + \beta(x) \cdot y(s) + y(s) + (s) - f'(x) + \frac{1}{2} r^2(s) \cdot f^2(x) \\ \varepsilon_{12} = \varepsilon_{21} = 0; \\ \varepsilon_{22} = 0 \end{cases} \quad (7.12)$$

$$\begin{cases} k_{11} = \beta(x) \sin \varphi - \gamma(x) \cos \varphi + f'(x) b(s) - f^2(x) h(s) \\ k_{12} = k_{21} - f(x) \\ k_{22} = 0 \end{cases} \quad (7.13)$$

În care $\omega(s)$ este coordonata sectorială, $\alpha(x)$, $\beta(x)$, $\gamma(x)$ și $f(x)$ sînt funcții arbitrare în x , iar tensorii ε_{ij} , al deformațiilor specifice, și k_{ij} , al curburilor sînt definiți în cadrul relațiilor cunoscute /124/ /131/ ale teoriei neliniare a plăcilor curbe subțiri.

Cîmpul deplasărilor se poate obține ca o sumă a deplasărilor corespunzătoare unei bare cu deplasări mari (Bernoulli) cu niște termeni necunoscuți corespunzători unui cîmp adițional de deplasări, cu notațiile din fig.(7.4), în care e_1 și \tilde{e}_i ($i=1,2,3$) reprezintă vectorii unitari corespunzători poziției inițiale nedeformate și, respectiv deformată a barei.

Cîmpul deplasărilor barei se scrie de forma :

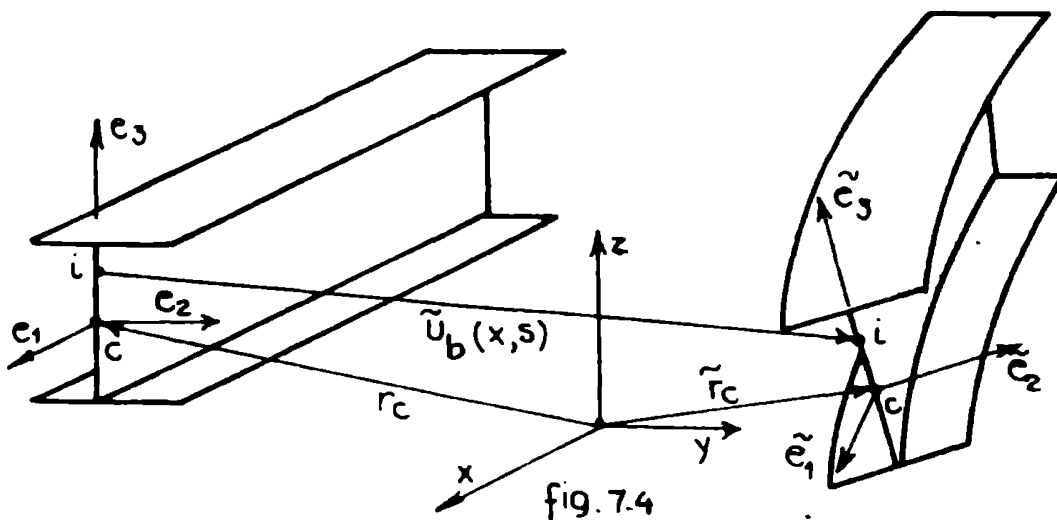


fig. 7.4

$$\tilde{u}_b(x, s) = \tilde{r}_c(x) - r_c(x) + y(s) (\tilde{e}_2(x) - e_2) + z(s) (\tilde{e}_3(x) - e_3) \quad (7.14)$$

Cîmpul adițional de deplasări se definește în felul următor

$$\begin{cases} \tilde{u}(x, s) = q \delta \tilde{u}(x, s) + \frac{1}{2} q^2 \delta^2 \tilde{u}(x, s) + \dots \\ \varepsilon_{11}(x, s) = q \delta \varepsilon_{11}(x, s) + \frac{1}{2} q^2 \delta^2 \varepsilon_{11}(x, s) + \dots \\ k_{12}(x, s) = q \delta k_{12}(x, s) + \frac{1}{2} q^2 \delta^2 k_{12}(x, s) + \dots \end{cases} \quad (7.15)$$

în care q este un parametru de perturbare.

Variațiile de ordinul întâi sînt de forma:

$$\begin{cases} q \delta \tilde{u}(x, s) = \omega(s) \cdot k_1(x) - \tilde{e}_1(x) \\ q \delta \varepsilon_{11}(x, s) = \varepsilon(x) - k_3(x) y(s) + k_2(x) \cdot z(s) + k_1'(x) \omega(s) \\ q \delta k_{12}(x, s) = k_1(x) \end{cases} \quad (7.16)$$

unde $k_1(x)$, $k_2(x)$ și $k_3(x)$ sînt curbura barei Bernoulli [1], iar $\varepsilon(x)$ este deformația axială a acesteia.

Pentru variațiile de ordinul doi se obțin următoarele rezultate:

$$\begin{cases} o \frac{q^2 |\delta^2 \tilde{u}(x, s)|}{L} = \frac{L}{b_0} (\varepsilon^*)^2 \\ \frac{1}{2} q^2 \delta^2 \varepsilon(x, s) = \frac{1}{2} (y^2(s) + z^2(s)) k_1^2(x) + o((\varepsilon^*)^2) \\ o (q^2 \delta^2 k_{12}) = \varepsilon^* k^* \end{cases} \quad (7.17)$$

în care ε^* este deformația specifică principală maximă iar k^* variația curburii suprafeței mediane, $o(\dots)$ fiind mici datorită ipotezei (jjjj), iar L este lungimea de undă a deformațiilor de torsione definită de Koiter în 1959. Vlasov a arătat că în cazuri întâlnite frecvent în practica inginerescă lungimea de undă a deformațiilor de răsucire este de același ordin de mărime cu deschiderea structurii.

Ordinul de mărime ale primelor variații ale curburii și deplasărilor adiționale se determină astfel ca

$$o (q \delta k_{12}(x, s)) = \frac{L}{b_0} \frac{\varepsilon^*}{b_0} \quad (7.18)$$

$$o (q \frac{|\delta u(x, s)|}{L}) = \varepsilon^*$$

b_0 fiind dimensiunea caracteristică a secțiunii transversale, Dacă se neglijează variațiile de ordinul doi (7.17), mai puțin termenii subliniați, în expresiile (7.15) se introduc următoarele erori relative:

$$\begin{cases} \Delta(|\tilde{u}(x, s)|) = \frac{L}{b_0} \varepsilon^* \\ \Delta(\varepsilon_{11}) = \varepsilon^* \\ \Delta(k_{12}) = \frac{k^* b^2}{L} \end{cases} \quad (7.19)$$

Raportul L/b_0 are valori uzuale între 10 și 50 iar ordinul de mărime al deformației unitare specifice maxime ε^* este de $2 \cdot 10^{-3}$ și, în consecință $\Delta(\varepsilon_{11}) \ll \Delta(|u(x, s)|)$. Totodată, se poate arăta că $k^* \approx k_1$ și că, deci, ordinul de mărime al erorilor $\Delta(\varepsilon_{11})$ și $\Delta(k_{12})$

este de același rang.

Cîmpul deplasărilor aproximative $\tilde{u}(x,s)$ și cîmpurile deformațiilor și curburilor suprafeței mediane rezultă, în final, neglijîndu-se variațiile de ordinul doi și superioare, exceptînd termenii subliniați din (7.17).

$$\tilde{u}(x,s) = \tilde{r}_0(x) - \tilde{r}(x) + y(s) \cdot (\tilde{e}_2(x) - \tilde{e}_2) + z(s) (\tilde{e}_3(s) - e_3) + \omega(s) \cdot k_1(x) e_1(x)$$

$$\varepsilon_{11}(x,s) = \underline{\xi}(x) - k_3(x)y(s) + k_2(x) \cdot z(s) + k_1'(x)\omega(s) + \frac{1}{2} k_1^2(x)r^2(s) \quad (7.20)$$

$$\varepsilon_{12}(x,s) = 0 \quad (7.21)$$

$$\varepsilon_{22}(x,s) = 0$$

$$k_{11}(x,s) = -k_3(x) \sin\psi(s) - k_2(x) \cos\psi + k_1'(x)b(s) - k_1^2(x) h(s)$$

$$k_{12}(x,s) = k_1(x) \quad (7.22)$$

$$k_{22}(x,s) = 0$$

Comparînd (7.21) și (7.22) cu (7.12) și (7.13) se remarcă similitudinea de formă a celor două seturi de relații cu toate că ele s-au obținut pe căi diferite și, totodată, semnificația fizică a funcțiilor arbitrare din primele relații. Se remarcă analizînd (7.16) că teoria liniară a lui Vlasov este prima aproximație a unei teorii mai exacte.

7.3.3. Energia potențială de deformare a barelor cu pereți subțiri.

În baza ipotezelor Kirchhoff-Love energia de deformare se obține ca între energiile deformațiilor axiale și de încovoiere. Condiția geometrică $\varepsilon_{22} = 0$ se înlocuiește cu condiția statică $\sigma_{22} = 0$ care conduce la o expresie mai exactă a energiei de deformare a barelor cu pereți subțiri zvelte. Termenii în k_{11} se neglijează, avînd în vedere că nu reprezintă decît o.01 din energia totală de deformare. Energia de deformare pe unitatea de arie a suprafeței mediane nedeformate va avea prin urmare forma :

$$\Pi_s = \frac{1}{2} (Et \varepsilon_{11}^2 + \frac{1}{3} Gt^3 k_{12}^2) \quad (7.23)$$

Înlocuind (7.21) și (7.23) în (7.23) și integrînd în raport cu s se obține energia de deformare pe unitatea de lungime relativă la axa nedeformată a barei. Pentru simplificare funcțiile de bază din (7.21) se aleg astfel încît să fie ortogonale între ele (orice integrală pe secțiunea transversală a produsului dintre două funcții diferite este nulă). Consecința imediată a acestei alegeri este că axele Y și Z sînt paralele cu axele principale de inerție ale secțiunii transversale și că originea O a coordonatei curbilini coincide cu centrul de tăiere și cu punctul nul principal.

Coordonatele unui punct oarecare P de pe secțiunea transversală (fig.7.5) se obțin cu relațiile:

$$\begin{aligned} y(s) &= y_0 + \eta(s) \\ z(s) &= z_0 + \xi(s) \end{aligned} \quad (7.24)$$

Energia de deformare Π_L pe unitatea de lungime relativ la axa centrelor de tăiere se stabilește în funcție de termenii curburii k_1 și de deformarea ε_0 în centrul de greutate corespunzătoare barei Bernoulli:

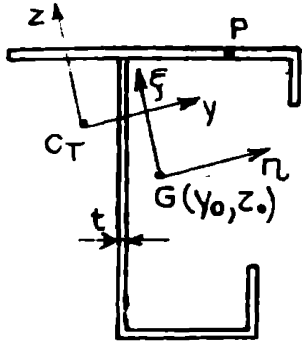


fig. 7.5

$$\Pi_L = \frac{1}{2} E(A\varepsilon_0^2 + I_2(k_2)^2 + I_3(k_3)^2 + I_\omega(k_1)^2 - \varepsilon_0 k_1^2 - I_{\eta r} k_3 k_1^2 + I_{\xi r} k_2 k_1^2 + I_{\omega r} k_1^2 + \frac{1}{2} k_1^4) + \frac{1}{2} GI_t(k_1)^2 \quad (7.25)$$

în care s-au introdus următoarele caracteristici geometrice ale secțiunii transversale:

$$I_1 = \int_S t dS; I_2 = \int_S \xi^2 t dS; I_3 = \int_S \eta^2 t dS; I_\omega = \int_S \omega^2 t dS; I_p = \int_S r^2 t dS;$$

$$I_{\eta r} = \int_S \eta r^2 t dS; I_{\xi r} = \int_S \xi r^2 t dS; I_{\omega r} = \int_S \omega r^2 t dS; I_4 = \frac{1}{2} \int_S r^4 t dS;$$

$$I_t = \frac{1}{3} \int_S t^3 dS \quad (7-26. a \div j)$$

Deformațiile în centrul de tăiere și deformațiile în centrul de greutate sînt legate între ele prin relația

$$\varepsilon_0 = \varepsilon - k_3 y_0 + k_2 z_0 \quad (7.27)$$

7.3.4. Stabilirea funcționalei energetice.

Pentru un sistem conservativ de forțe $p(x, s)$ aplicate pe suprafața mediană nedeformată a barei (fig. 7.6) lucrul mecanic pe unitatea de suprafață are expresia

$$W_e(x, s) = p(x, s) [(\tilde{r}_c - r_c) + y(s) \cdot (\tilde{e}_2 - e_2) + z(s) (\tilde{e}_3 - e_3) + \omega(s) k_1 \cdot \tilde{e}_1] \quad (7.28)$$

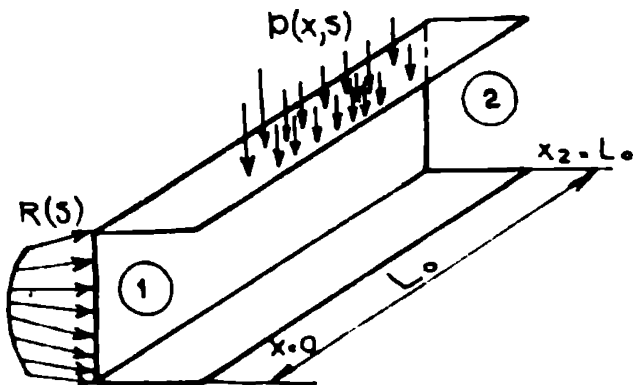


fig. 7.6

Lucrul mecanic total dat de forțele de capăt este dat de relația

$$W_R = \sum_{i=1,2} \left[\int_S R(s) \tilde{u}(x, s) dS \Big|_{x=x_1} \right] \quad (7.29)$$

Energia potențială Π de deformare a barei va primi următoarea formă

$$\Pi = \left[\int_0^{L_0} \Pi_L(\varepsilon_0, k_i, k'_i) dx - \int_0^{L_0} \left[\int_S w_e(x, s) dS \right] dx - w_R \right] \quad (7.30)$$

Deplasările axei centrelor de tăiere sînt descrise de relația

$$\tilde{u}_c(x) = \tilde{r}_c(x) ; \quad (C \equiv C_T) \quad (7.31)$$

Aceste deplasări sînt în general limitate datorită restricțiilor geometrice impuse de condițiile de rezemare. În general se poate scrie că

$$(\tilde{u}_c(x_{1L}) - \tilde{u}_c(x_{2L})) e_L - C_L = 0 \quad (7.32)$$

în care L este indicele deschiderii, e_L unul din vectorii bazei (e_1, e_2, e_3) iar C_L reprezintă o valoare prescrisă.

Deplasările $\tilde{u}_c(x)$ ale axei centrelor de tăiere se pot obține și cu relația

$$\tilde{u}_c(x) = \tilde{u}_c(0) + \int_0^{\tilde{x}} \tilde{u}'_c(\tilde{x}) d\tilde{x} \quad (7.33)$$

Dacă deformația ε și vectorul de poziție r_c al axei centrelor de tăiere nedeformate au expresiile

$$\varepsilon = \sqrt{\frac{d\tilde{r}_c}{dx} \frac{d\tilde{r}_c}{dx}} - 1 ; \quad r_c = x e_1 \quad (7.34 \text{ a. b})$$

rezultă din (7.33) că

$$\tilde{u}_c(x) = \tilde{u}_c(0) + \int_0^x [(1+\varepsilon(\tilde{x})) \tilde{e}_1(\tilde{x}) - \tilde{e}_1] dx \quad (7.35)$$

Din (7.32) și (7.35) rezultă forma generală a condițiilor geometrice

$$e_L \int_{x_{1L}}^{x_{2L}} [(1+\varepsilon) \tilde{e}_1 - e_1] dx - C_L = 0 \quad (7.36)$$

Pentru a obține o formă mai compactă expresiei (7.30) se introduce următorul set de încărcări ponderate :

$$\begin{aligned} p(x) &= \int_S p(x, s) dS ; \quad p_1(x) = \int_S y(s) p(x, s) dS ; \quad p_2(x) = \int_S z(s) p(x, s) dS ; \\ p_3(x) &= \int_S \omega(s) p(x, s) dS. \end{aligned} \quad (7.38)$$

și respectiv,

$$\left[R(x) = \int_S R(s) dS ; \quad R_1(x) = \int_S y(s) \cdot R(s) dS ; \quad R_2(x) = \int_S z(s) R(s) dS ; \quad R_3(s) = \int_S \omega(s) R(s) dS \right]$$

Expresia energiei potențiale (7.28) se va modifica în funcție de condițiile geometrice (7.36) prin adăugarea unui termen de forma

$$-\lambda_L \left[e_L \int_{x_{1L}}^{x_{2L}} [(1+\varepsilon(x)) \tilde{e}_1(x) - e_1] dx - C_L \right], \quad (7.39)$$

pentru fiecare condiție activă, în care λ_L este un multiplicator Lagrange necunoscut. Ținând seama de (7.37) și (7.39) funcționala energetică modificată devine

$$\begin{aligned} \tilde{\Pi}_p = & \int_0^{L_0} \left\{ \Pi_L(\varepsilon_0, k_1, k_1') - [p(x)\tilde{u}_c(x) + p_1(x)(\tilde{e}_2(x) - e_2) + p_2(x)(e_3(x) - e_3) + \right. \\ & \left. + p_3(x) \cdot k_1(x)\tilde{e}_1(x)] \right\} dx \\ & - \sum_{i=1,2} \left\{ [(R(x)\tilde{u}_c(x) + R_1(x)(\tilde{e}_2(x) - e_2) + R_2(x)(\tilde{e}_3(x) - e_3) + R_3(x)k_1(x)\tilde{e}_1(x) \right. \\ & \left. \sum_{i=1}^m \lambda_L \left\{ e_L \int_{x_{1L}}^{x_{2L}} [(1+\varepsilon) \tilde{e}_1(x) - e_1] dx - C_L \right\}, \quad (7.40) \right. \end{aligned}$$

n fiind numărul restricțiilor geometrice active de tip (7.36).

Ținând seama de relația dintre eforturile secționale $N(x)$ și încărcarea $p(x)$, cunoscută din statică, se poate scrie

$$N(x)e_j = N_0 e_j - e_j \int_{x_{1j}}^x p(\tilde{x}) dx, \quad (7.41)$$

în care $N_0 e_j$ este valoarea lui $N(x) e_j$ în punctul inițial anterior de coordonata $x=x_{1j}$. Pentru o distribuție arbitrară a încărcării $p(x)$ care satisface (7.41) se obține dacă se integrează prin părți:

$$\int_0^{L_0} p(x)\tilde{u}_c(x) dx = \sum_{i=1}^n (N_1^+ \cdot N_1^-) u_{ci}(x) - [N\tilde{u}_c(x)]_0^{L_0} + \int_0^{L_0} N\tilde{u}_c'(x) dx, \quad (7.42)$$

în care n este numărul total al reazemelor intermediare. Vectorul deplasărilor \tilde{u}_{ci} corespunzător reazemului intermediar i se poate scrie ca o sumă între deplasările condiționate (blocate) \tilde{u}_{ci}^x și cele necondiționate (libere) \tilde{u}_{ci}^f . Notînd cu P_1 forța concentrată care acționează în reazemul i și cu S_1 reacțiunea, N_1^- , respectiv N_1^+ fiind eforturile secționale de stînga și dreapta reazemului i rezultă următoarea ecuație de echilibru.

$$-N_1^- + N_1^+ + S_1 + P_1 = 0 \quad (7.43)$$

Dacă pentru o valoare arbitrară \tilde{u}_{ci}^f se acceptă că în general $S_1 \delta \tilde{u}_{ci}^f = 0$ și dacă $P_1 = 0$ din (7.43) rezultă

$$(N_i^+ - N_i^-) \tilde{u}_{ci}^f = 0 \quad (7.44)$$

iar la capetele barei unde $P_1 = R$

$$(R+N) \tilde{u}_c^f = 0, \quad x = 0 \quad (7.45 \text{ a, b})$$

$$(R+(-N)) \tilde{u}_c^f = 0, \quad x = L_0$$

Cu aceste ultime observații rezultă forma finală a funcționalei $\tilde{\Pi}_p$

$$\begin{aligned} \tilde{\Pi}_p = \int_0^{L_0} \left\{ \Pi_L(\xi_0, k_1 k_1') - [N(x)((1+\xi(x))\tilde{e}_1(x) - e_1) + p_1(x)(\tilde{e}_2(x) - e_2) + p_2(x)(\tilde{e}_3(x) - e_3) \right. \\ \left. + p_3(x)k_1(x)\tilde{e}_1(x)] \right\} dx - \sum_{i=1,2} \left\{ [R_1(x)(\tilde{e}_2(x) - e_2) + R_2(\tilde{e}_3(x) - e_3) + \right. \\ \left. + R_3(x)k_1(x)\tilde{e}_1(x)] \right\}_{x=x_{iL}} + \sum_{L=1}^n \lambda_{LCL} \quad (7.46) \end{aligned}$$

7.3.5. Câmpul deplasărilor generalizate.

A defini câmpul deplasărilor generalizate revine la a determina componentele vectorului de rotație (pentru o rotație spațială finită) și relația dintre componentele acestuia și curburi (fig. 7.7). Există mai multe tehnici pe baza cărora se poate face această determinare. În această lucrare s-a optat pentru rezultatele obținute de Pedersen/161/, /162/.

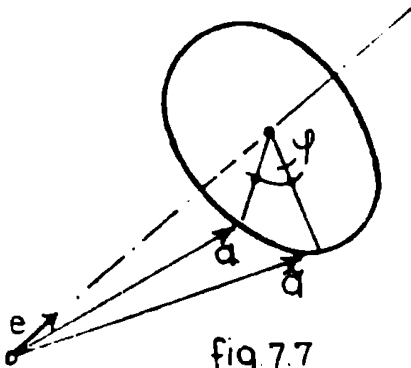


fig 7.7

$$\tilde{a} - a = 2 \frac{qxa + qx(qxa)}{1+q.q} \quad (7.47)$$

$$k_i = 2 \frac{q' + q'xq}{1+q.q} e_i \quad (7.48)$$

$$q = e f(\psi) ; f(\psi) = \text{tg} \frac{\psi}{2} \quad (7.49)$$

În cele ce urmează se consideră că vectorul de rotație $q(x)$ și deformațiile $\tilde{e}_0(x)$ ale centrului de greutate al secțiunii constituie câmpul de deplasări generalizate independente.

7.3.6. Aplicarea criteriului variațional.

Condiția de staționaritate impusă funcționalei $\tilde{\Pi}_p$ - principiul minimului energiei potențiale - constituie condiția necesară și suficientă pentru a asigura starea de echilibru a barei

$$\delta \tilde{\Pi}_p = 0 \quad (7.50)$$

pentru un set de variații cinematic admisibile ale deplasărilor generalizate și valori necunoscute ale multiplicatorilor lui Lagrange.

Dacă se introduc următoarele forțe generalizate

$$N_1 = \frac{\partial \Pi_L}{\partial \varepsilon_0}; \quad M_2 = \frac{\partial \Pi_L}{\partial k_2}; \quad M_3 = \frac{\partial \Pi_L}{\partial k_3}; \quad M_t = \frac{\partial \Pi_L}{\partial k_1}; \quad B = \frac{\partial \Pi_L}{\partial k_1'} \quad (7.51 \text{ a-c})$$

care, ținând seama de (7.25) și (7.26), au expresiile

$$\begin{aligned} N_1 &= E(A\varepsilon_0 + \frac{1}{2} I_p k_1^2) \\ M_2 &= E(I_2 k_2 + \frac{1}{2} I_{fr} k_1^2) \\ M_3 &= E(I_3 k_3 - \frac{1}{2} I_{lr} k_1^2) \\ M_t &= E(I_4 k_1^2 + I_p \varepsilon_0 k_1 - I_{lr} k_1 k_3 + I_{fr} k_1 k_2 + I_{\omega_r} k_1' k_1) + G I_t k_1 \\ B &= E(I_{\omega} k_1 + \frac{1}{2} I_{\omega_r} k_1^2) \end{aligned} \quad (7.52 \text{ a-e})$$

Introducînd (7.51) în (7.50) și avînd în vedere (7.46) rezultă

$$\begin{aligned} &\int_0^L \left\{ (N_1 - N\tilde{e}_1) \delta \varepsilon_0 + (M_2 + z_0(N\tilde{e}_1)) \delta k_2 + (M_3 - y_0(N\tilde{e}_1)) \delta k_3 + M_t \delta k_1 + \right. \\ &\quad \left. + B \delta k_1' - N(1+\varepsilon) \tilde{e}_1 - p_1 \delta \tilde{e}_2 - p_2 \delta \tilde{e}_3 - p_3 (\tilde{e}_1 \delta k_1 + k_1 \delta \tilde{e}_1) \right\} dx - \\ &\quad \sum_{i=1,2} \left\{ [R_1 \delta \tilde{e}_2 + R_2 \delta \tilde{e}_3 + R_3 (k_1 \delta \tilde{e}_1 + \tilde{e}_1 \delta k_1)] \right\}_{x=x_{iL}} - \sum_{L=1}^m \delta \lambda_L \left\{ e_L \right\}_{x_1L}^{x_2L} [(1+\varepsilon)\tilde{e}_1 - e_1] dx \\ &\quad - C_L \Big\} = 0 \end{aligned} \quad (7.53)$$

în care s-a avut în vedere că deformația $\varepsilon = f(k_1, k_2, k_3)$ și că e_i sînt vectori constanți, iar distribuția eforturilor secționale depinde de multiplicatorii Lagrange, în sensul că acestea sînt incluși în termenul $N(x)[(1+\varepsilon(x))\tilde{e}_1(x) - e_1]$ din (7.46).

Exprimînd δk_i , $\delta \tilde{e}_i$ ($i=1,2,3$) și $\delta k_1'$ în funcție (7.47) - (7.49) și integrînd prin părți (7.53) rezultă ecuațiile de echilibru și condițiile de margine.

7.3.7. Discretizarea funcționalei în elemente finite.

Pentru discretizarea expresiei (7.53) se aplică metoda elementelor finite. Considerînd că bara se discretizează în N_p elemente elementului i corespunzîndu-i conexiunile i și $i+1$. Fiecărui element i se atașează o coordonată adimensională.

$$\eta = \frac{x - x_i}{x_{i+1} - x_i} \quad ; \quad 0 \leq \eta \leq 1 \quad (7.54)$$

Cîmpul deplasărilor generalizate se aproximează în felul următor :

$$q(\eta) = N_1(\eta)q_i + N_2(\eta)q_i' + N_3(\eta)q_{i+1} + N_4(\eta)q_{i+1}'$$

$$\varepsilon_o(\eta) = H_1(\eta)\varepsilon_{oi} + H_2(\eta)\varepsilon_{o(i+1)} \quad (7.55)$$

în care funcțiile de interpolare au forma

$$N_1(\eta) = 2\eta^3 - 3\eta^2 + 1$$

$$N_2(\eta) = (\eta^3 - 2\eta^2 + \eta)L_i ; \quad L_i = x_{i+1} - x_i$$

$$N_3(\eta) = -2\eta^3 + 3\eta^2 \quad (7.56 \text{ a-f})$$

$$N_4(\eta) = (\eta^3 - \eta^2)L_i$$

$$H_1(\eta) = 1 - \eta$$

$$H_2(\eta) = \eta$$

Se consideră că vectorul deplasărilor generalizate corespunzător nodului 1 este definit de

$$\{u\}_1 = \left[q_1 \quad q_2 \quad q_3 \quad \frac{\partial q_1}{\partial x} \quad \frac{\partial q_2}{\partial y} \quad \frac{\partial q_3}{\partial z} \quad \varepsilon_o \right]^T \quad (7.57)$$

Vectorul generalizat a deplasărilor elementului este de forma

$$\{u^e\}_1 = \begin{bmatrix} \{u\}_1 \\ \{u\}_{i+1} \end{bmatrix} \quad (7.58)$$

Expresiile (7.55) devin

$$q(\eta) = \langle q_N \rangle \{u^e\}$$

$$\varepsilon_o(\eta) = \langle \varepsilon_{oN} \rangle \{u^e\} \quad (7.59)$$

în care N definește numărul gradelor de libertate ale elementului

$$[Q] = \begin{bmatrix} q_1 & q_2 & \dots & q_N & \dots & q_{13} & q_{14} \\ N_1 & 0 & 0 & N_2 & 0 & 0 & 0 & N_3 & 0 & 0 & N_4 & 0 & 0 & 0 \\ 0 & N_1 & 0 & 0 & N_2 & 0 & 0 & 0 & N_3 & 0 & 0 & N_4 & 0 & 0 \\ 0 & 0 & N_1 & 0 & 0 & N_2 & 0 & 0 & 0 & N_3 & 0 & 0 & N_4 & 0 \end{bmatrix} \quad (7.60)$$

$$\langle \varepsilon_{oN} \rangle = \begin{bmatrix} 0 & 0 & 0 & 0 & 0 & 0 & H_1 & 0 & 0 & 0 & 0 & 0 & 0 & H_2 \end{bmatrix} \quad (7.61)$$

Variațiile vectorului de rotație și a vectorului de deformare sînt

$$\delta q = \langle q_N \rangle \{ \delta u^e \} ; \quad \delta \varepsilon_o = \langle \varepsilon_{oN} \rangle \{ \delta u^e \} \quad (7.62)$$

Exprimînd în continuare și variațiile vectorilor de bază $\delta \tilde{e}_j$, a curburilor $\delta \kappa_j$ și a derivatei curburii $\delta \kappa_j'$ în aceeași manieră

$$\delta \tilde{e}_j = \langle \tilde{e}_{jN} \rangle \{ \delta u^e \}; \quad \delta k_{jN} = \langle k_{jN} \rangle \{ \delta u^e \}; \quad \delta k'_{1N} = \langle k'_{1N} \rangle \{ \delta u^e \} \quad (7.63)$$

în care \tilde{e}_{jN} , k_{jN} și k'_{1N} se exprimă în funcție de q , q_N și e_j .

După efectuarea calculelor intermediare (4.53) devine :

$$\sum_{i=1}^{N_0} \left[L_1 \delta u_N^e \int_0^1 \left\{ (N_1 - N_{e_1}) \tilde{e}_{0N} + (M_2 + z_0(N_{e_1})) k_{2N} + (M_3 - y_0(N_{e_1})) k_{3N} + B k_{1N} + B k'_{1N} - \left[N(1+\varepsilon) \tilde{e}_{1N} + p_1 \tilde{e}_{2N} + p_2 \tilde{e}_{3N} + p_3 (k_1 \tilde{e}_{1N} + \tilde{e}_1 k_{1N}) \right] \right\} d\eta - \sum_{x=1,2} \left\{ \delta u_N^e \left[R_1 \tilde{e}_{2N} + R_2 \tilde{e}_{3N} + R_3 (\tilde{e}_1 k_{1N} + k_1 \tilde{e}_{1N}) \right] \right\} - \sum_{L=1}^{N_L} \left\{ \delta \lambda_L \langle \bullet \rangle \right\} \right] \quad (7.64)$$

$$\sum_{N_{x1}}^{N_{x2}} L_1 \int_0^1 \left[(1+\varepsilon) \tilde{e}_1 - e_1 \right] d\eta - C_L$$

în care N_{x1} și N_{x2} sînt numerele nodurilor, inițial și respectiv final, pentru fiecare condiție geometrică de tip (7.36). Pentru economia redactării în (7.64) s-a aplicat regula de sumare carteziană în raport cu N ($N=1, \dots, N.C.D.L.$).

7.3.8. Ecuațiile de echilibru linearizate.

Bara cu pereți subțiri discretizată în elemente finite se consideră în stare de echilibru dacă ecuația (7.64) este satisfăcută identic pentru variații arbitrare δu^e și $\delta \lambda_L$ respectiv total dat un set de condiții de margine - geometrice - prescrise. Dacă (7.64) este identic satisfăcută în stare de echilibru se poate concluziona că derivatele acestora în raport cu un parametru convenabil ales t , care descrie starea de echilibru, vor fi deasemenea identice în starea de echilibru. Derivatele unei mărimi carecure λ_L (curbură, vectori de bază etc) în raport cu parametrul t pot fi exprimate în funcție derivatele deplasărilor generalizate.

$$\frac{dq}{dt} = \frac{\partial q}{\partial u_N^e} \frac{\partial u_N^e}{\partial t} \quad \text{sau} \quad \dot{q} = \left\langle \frac{\partial q}{\partial u^e} \right\rangle \{ \dot{u}^e \} \quad (7.65)$$

Presupunînd că toate forțele aplicate depind de un singur parametru de încărcare se derivatează (7.64) în funcție de t și ținînd seama că u^e și λ_L sînt arbitrare și nu depind de t și că vectorul eforturilor secționale N depinde de multiplicatorii Lagrange necunoscuți λ_L , rezultă :

$$\sum_{i=1}^{N^e} \left[L_1 \delta u_N^e \int_0^1 \left\{ (\dot{N}_1 - N\dot{\tilde{e}}_1) \varepsilon_{0N} + (\dot{M}_2 + z_0 (\dot{N}\tilde{e}_1 + N\dot{\tilde{e}}_1)) k_{2N} + (M_2 + z_0 (N\tilde{e}_1)) \dot{k}_{2N} + \right. \right. \\ \left. \left. + (\dot{M}_3 - y_0 (\dot{N}\tilde{e}_1 + N\dot{\tilde{e}}_1)) k_{3N} + M_3 - y_0 (N\tilde{e}_1) \dot{k}_{3N} + \dot{L}_t k_{1N} + \dot{M}_t k_{1N} + \dot{B} k_{1N} + \right. \right. \\ \left. \left. + \dot{B} k_{1N} - (\dot{N}(1+\varepsilon) \cdot \tilde{e}_{1N} + N\dot{\tilde{e}}_{1N} + N(1+\varepsilon) \dot{\tilde{e}}_{1N} + \dot{p}_1 \tilde{e}_{2N} + p_1 \dot{\tilde{e}}_{2N} + \dot{p}_2 \tilde{e}_{3N} + \right. \right. \\ \left. \left. p_2 \dot{\tilde{e}}_{3N} + \dot{p}_3 (k_1 \tilde{e}_{1N} + k_{1N} \dot{\tilde{e}}_1) + p_3 (\dot{k}_1 \tilde{e}_{1N} + k_1 \dot{\tilde{e}}_{1N} + \dot{k}_{1N} \tilde{e}_1 + k_{1N} \dot{\tilde{e}}_1) \right\} d\eta \right] - \\ \sum_{i=1,2} \left\{ \delta u_N^e \left[\dot{R}_1 \tilde{e}_{2N} + \dot{R}_2 \tilde{e}_{3N} + \dot{R}_3 (\tilde{e}_1 k_{1N} + k_{1N} \dot{\tilde{e}}_{1N}) + k_1 \dot{\tilde{e}}_{2N} + R_2 \dot{\tilde{e}}_{3N} + R_3 (\dot{\tilde{e}}_1 k_{1N} + \dot{\tilde{e}}_1 k_{1N} + \right. \right. \\ \left. \left. \dot{k}_1 \tilde{e}_{1N} + k_1 \dot{\tilde{e}}_{1N}) \right] \right\} - \sum_{L=1}^{N_A} \left\{ \delta \lambda_{L^e} \left[\sum_{N_{x1}}^{N_{x2}} L_i \int_0^1 ((1+\varepsilon) \dot{\tilde{e}}_1 + \dot{\tilde{e}}_1) d\eta \right] \right\} = 0 \quad (7.66)$$

Expresia (7.66) se poate rescrie mai condensat, punîndu-se în evidență matricea de rigiditate incrementală și vectorul forțelor nodale.

$$\sum_{i=1}^{N^e} \left\{ \delta u_N^e k_{NM}^e \dot{u}_M^e - \lambda \delta u_N^e f_N^e \right\} - \sum_{L=1}^{N_A} \lambda_{L^e} \sum_{N_{x1}}^{N_{x2}} L_i \delta u_N^e \int_0^1 (\varepsilon_N \tilde{e}_1 + (1+\varepsilon) \dot{\tilde{e}}_{1N}) d\eta \left. \right\} - \\ \sum_{L=1}^{N_A} \delta \lambda_{L^e} \left\{ \sum_{N_{x1}}^{N_{x2}} L_i \dot{u}_N^e \int_0^1 (\varepsilon_N \tilde{e}_1 + (1+\varepsilon) \dot{\tilde{e}}_{1N}) d\eta \right\} = 0, \quad (7.67)$$

în care $k_{NM}^e = [k_{\Delta}^e]$ este matricea de rigiditate incrementală elementară ($N=M$), iar $f_N^e = \{f^e\}$ este vectorul forțelor nodale elementare.

După asamblare în sistemul de axe globale rezultă

$$\{\delta U_n\} \left([K_{\Delta}] \{\dot{U}\} - \{F\} \right) = 0, \quad (7.68)$$

din care, pentru o variație arbitrară $\{\delta U_n\}$ se obține în forma cunoscută (4.82) ecuația fundamentală a problemei neliniare a barelor cu pereți subțiri.

$$[K_{\Delta}] \{\dot{U}\} = \{F\} \quad (7.69)$$

7.3.8. Influența imperfecțiunilor.

În prezența unor mici imperfecțiuni de natură geometrică ε^* și k^* variațiile deformațiilor și curburilor în stare deformată a barei sînt de forma :

$$\begin{aligned} \Delta \varepsilon &= \varepsilon - \varepsilon^* \\ \Delta k &= k - k^* \end{aligned} \quad (7.70)$$

Inlocuind în (7.21) și (7.22) rezultă

$$\Delta \varepsilon_{11} = (\varepsilon - \varepsilon^*) - y(s) (k_3 + k_3^*) + z(s) (k_2 - k_2^*) + \omega(s) (k_1 - k_1^*) + \frac{1}{2} r^2(s) - (k_1^2 - (k_1^*)^2) \quad (7.71)$$

$$\Delta k_{12} = k_1 - k_1^*$$

Koiter /124/ arată că variația modulelor de elasticitate E și G datorită deformațiilor și curburilor inițiale este neglijabilă dacă deformația principală maximă este mică în comparație cu unitatea. În aceste condiții (7.25) devine:

$$L = \frac{1}{2} E(A(\varepsilon_0 - \varepsilon_0^*)^2 + I_2(k_2 - k_2^*)^2 + I_3(k_3 - k_3^*)^2 + I_\omega(k_1 - (k_1^*))^2 + I_p(\varepsilon_0 - \varepsilon_0^*) \cdot (k_1^2 - (k_1^*)^2) - I_{\eta_r}(k_3 - k_3^*)(k_1^2 - (k_1^*)^2) + I_{\xi_r}(k_2 - k_2^*) \cdot (k_1^2 - (k_1^*)^2) + I_{\omega_r}(k_1' - (k_1^*)) \cdot (k_1^2 - (k_1^*)^2) + \frac{1}{2} I_4(k_1^4 - (k_1^*)^4) + \frac{1}{2} GI_t(k_1 - k_1^*)^2) \quad (7.72)$$

Ecuațiile constitutive (7.52), la rîndul lor, devin :

$$\begin{aligned} N_1 &= E(A(\varepsilon_0 - \varepsilon_0^*) + \frac{1}{2} I_p(k_1^2 - (k_1^*)^2)) \\ M_2 &= E(I_2(k_2 - k_2^*) + \frac{1}{2} I_{\xi_r}(k_1^2 - (k_1^*)^2)) \\ M_3 &= E(I_3(k_3 - k_3^*) - \frac{1}{2} I_{\eta_r}(k_1^2 - (k_1^*)^2)) \\ M_t &= E(I_4(k_1^2 - (k_1^*)^2)k_1 + I_{\xi_r}(k_2 - k_2^*)k_1 - I_{\eta_r}(k_3 - k_3^*)k_1 + I_{\omega_r}(k_1' - k_1)k_1 + I_p(\varepsilon_0 - \varepsilon_0^*)k_1 + GI_t(k_1 - k_1^*)) \\ d &= \varepsilon \left[I_\omega(k_1 - k_1^*) + \frac{1}{2} I_{\omega_r}(k_1^2 - (k_1^*)^2) \right] \end{aligned} \quad (7.72 \text{ a-e})$$

Pentru deformații inițiale mici termenii (7.37) și (7.38) nu suferă modificări sensibile, și, deci, își păstrează forma.

Revenind acum la ecuația (7.66), dacă deformațiile și curburile inițiale k_1^* , respectiv ε_0^* , nu depind de parametrul t cu (7.72) rezultă

$$\begin{aligned} \dot{N}_1 &= EA\dot{\varepsilon}_0 + EI_p k_1 \dot{k}_1 \\ \dot{M}_2 &= EI_2 \dot{k}_2 + EI_{\xi_r} k_1 \dot{k}_1 \\ \dot{M}_3 &= EI_3 \dot{k}_3 - EI_{\eta_r} k_1 \dot{k}_1 \\ \dot{M}_t &= EI_4 (\dot{k}_1 (k_1^2 - (k_1^*)^2) + 2k_1^2 \dot{k}_1) + EI_{\xi_r} (\dot{k}_2 k_1 + (k_2 - k_2^*) k_1) - EI_{\eta_r} (\dot{k}_3 k_1 + (k_3 - k_3^*) k_1) + EI_p (\dot{\varepsilon}_0 k_1 + (\varepsilon_0 - \varepsilon_0^*) \dot{k}_1) + EI_{\omega_r} (\dot{k}' k_1 + (k_1 - k_1^*) k_1) + GI_t \dot{k}_1 \\ \dot{d} &= EI_\omega \dot{k}_1 \quad k_1 \dot{k}_1 \end{aligned} \quad (7.73)$$

Exprimind în continuare derivatele curburilor în funcție de derivatele deplasărilor și înlocuind (7.73) în (7.66) se obține în final

$$\sum_{i=1}^N [L_i \delta u_N^e \dot{u}_M^e] \int_0^1 \left\{ EA \varepsilon_{ON} \varepsilon_{OM} + EI_2 k_{2N} k_{2M} + EI_3 k_{3N} k_{3M} + GI_t k_{1N} k_{1M} + EI_{\omega} k'_{1N} k'_{1M} + \right. \\ \left. Bk'_{1NM} + (M_2 + z_0 (N\tilde{e}_1)) k_{2NM} + (M_3 - y_0 (N\tilde{e}_1)) k_{3NM} + EI_p k_1 (\varepsilon_{ON} k_{1M} + \varepsilon_{OM} k_{1N}) + EI_{\xi r} k_1 (k_{2N} k_{1M} + k_{2M} k_{1N}) - EI_{\eta r} k_1 (k_{1N} k_{1M} + k_{3M} k_{1N}) + \right. \\ \left. EI_{\omega r} k_1 (k'_{1N} k_{1M} + k'_{1M} k_{1N}) + (EI_4 (3k_1^2 - (k_1^*)^2) + EI_{\xi r} (k_2 - k_2^*) + EI_{\omega r} (k_1 - k_1^*) - EI_{\eta r} (k_3 - k_3^*)) + EI_p (\varepsilon_0 - \varepsilon_0^*) k_{1N} k_{1M} - N(\tilde{e}_{1N} \varepsilon_{OM} + \right. \\ \left. \tilde{e}_{1M} \varepsilon_{ON} - z_0 (\tilde{e}_{1M} k_{2N} + \tilde{e}_{1N} k_{2M}) + y_0 (\tilde{e}_{1M} k_{3N} + \tilde{e}_{1N} k_{3M}) + (1 + \varepsilon) \tilde{e}_{1NM} \right. \\ \left. p_1 \tilde{e}_{2NM} - p_2 \tilde{e}_{3NM} - p_3 (k_{1M} \tilde{e}_{1N} + k_{1N} \tilde{e}_{1M}) - p_3 (k_1 \tilde{e}_{1NM} + \tilde{e}_1 k_{1NM}) \right\} d\eta \Bigg|_{x=x_{1L}} \\ \sum_{l=1,2} \left\{ \delta u_N^e \dot{u}_M^e [R_1 \tilde{e}_{2NM} + R_2 \tilde{e}_{3NM} + R_3 (\tilde{e}_{1M} k_{1N} + \tilde{e}_1 k_{1NM} + k_{1NM} + k_{1M} \tilde{e}_{1N} + k_1 e_{1NM})] \right\} - \\ \sum_{L=1}^{N_A} \left\{ \left[\delta \lambda_{L e_L} \left\{ \sum_{N_{x1}}^{N_{x2}} L_i \dot{u}_M^e \int_0^1 [(1 + \varepsilon) e_{1M} + e_M \tilde{e}_1] d\eta \right\} - [\lambda_{L e_L} \left\{ \sum_{N_{x1}}^{N_{x2}} L_i \delta u_N^e \int_0^1 [(1 + \varepsilon) \tilde{e}_{1M} + \right. \right. \right. \\ \left. \left. + e_N \tilde{e}_1] d\eta \right\} \right] \right\} - \sum_{i=1}^N [L_i \delta u_N^e] \int_0^1 \left\{ (g(x) - (\varepsilon_N \tilde{e}_1 + (1 + \varepsilon) \tilde{e}_{1N}) + p_1 \tilde{e}_{2N} + p_2 e_{3N} + p_3 (k_1 \tilde{e}_{1N}) + \right. \\ \left. + k_{1N} e_1) \right\} d\eta \Bigg|_{x=x_{1L}} - \sum_{i=1}^N \left\{ \delta u_N^e [R_1 \tilde{e}_{2N} + R_2 \tilde{e}_{3N} + R_3 (\tilde{e}_1 k_{1N} + k_1 \tilde{e}_{1N})] \right\} = 0 \quad (7.74)$$

în care $\varepsilon_N = \varepsilon_{ON} + y_0 k_{3N} - z_0 k_{2N}$, iar $g(x)$ reprezintă termenii cunoscuți ai vectorului eforturilor secționale, care s-a descompus într-o sumă de termeni cunoscuți și necunoscuți, ultimii fiind identici cu multiplicatorii Lagrange.

Comparind (7.74) cu (7.67) se observă că primii patru termeni din (7.74) constituie matricea de rigiditate incrementală.

7.3.10. Forma generală a matricii de rigiditate incrementale.

Sistemul de ecuații liniarizate (7.67) se poate structura în felul următor :

$$\begin{bmatrix} 0 & [K_U] \\ [K_R] & 0 \end{bmatrix} \begin{bmatrix} \{U_n\} \\ \{\lambda\} \end{bmatrix} = \begin{bmatrix} \{F_n\} \\ \{k\} \end{bmatrix} \quad (7.75)$$

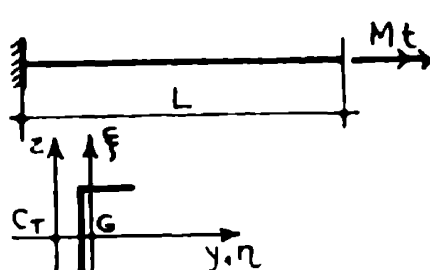
în care K_U este matricea de rigiditate incrementală a barei fără considerarea restricțiilor geometrice de tip (7.36), U_n sînt deplasările nodale generalizate iar Λ , multiplicatorii Lagrange.

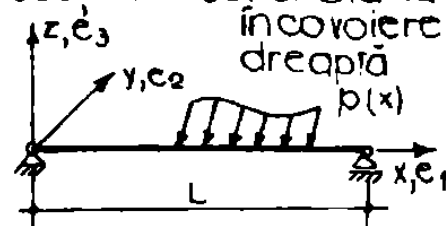
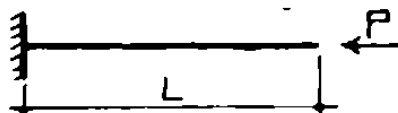
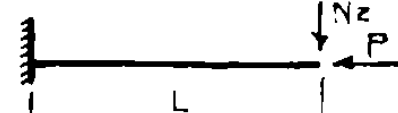
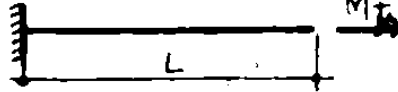
Sistemul de ecuații liniare (7.75) se poate rezolva utilizînd un procedeu de eliminare Gauss (§.4.4.1). Probleme deosebite apar în situațiile cînd K_U este singulară iar K este regulată; în aceste situații procedura Gauss nu poate fi aplicată în maniera obișnuită.

7.4. FORME DE ECHILIBRU ȘI SOLUȚII PARTICULARE
- ÎN ANALIZA-NELINIARA A BARELOR CU PEREȚI
SUBTIRI.

În continuare se particularizează pe cîteva exemple clasice relația (7.53) și se obțin ecuațiile de echilibru și condițiile de margine caracteristice. Problemele și rezultatele respective sînt prezentate în mod sintetic în tabelul 7.2. Din analiza rezultatelor se remarcă că se regăsesc soluțiile obținute de Koiter-problemele 2 și 3 - respectiv TSO și Gobahrah - problemele 4 și 5.

tabelul 7.2 (continuare)

0	1	2
	$\{\delta q\} = [0 \ 0 \ \delta q_3]^T$	$q = e_1 \operatorname{tg} \frac{\varphi}{2}$; $K_1(x) = \varphi'(x)$, $E_0 = -\frac{1}{2} \frac{I_p}{A} K_1^2$ $\int_0^L \{ (G I_t \varphi' + E I_4 (\varphi')^3 - \frac{1}{2} \frac{E I_p^2}{A} (\varphi')^3 - M_1) \delta \varphi + E I_\omega \varphi'' \delta \varphi'' \} dx = 0$ ecuația de echilibru $E I_\omega \varphi''' - G I_t \varphi' + (\frac{1}{2} \frac{E I_p^2}{A} - E I_4) (\varphi')^3 + M_1 = 0$ condiții de margine $[E I_\omega \varphi'' \delta \varphi']_0^L = 0$
	grînda încastrată solicitată la torsiune cu secțiune monosimetrică.  $\{M\} = [M_1 \ 0 \ 0]^T$ $\{\delta q\} = [0 \ 0 \ \delta q_1]^T$	$\delta \Pi = 0$ $\int_0^L \{ E A E_0 + \frac{1}{2} E I_p K_1^2 \} \delta E_0 + E I_2 K_2 \delta K_2 + E I_3 K_3 \delta K_3 + (G I_t K_1 + E I_4 K_1^3 + E I_p E_0 K_1) \delta K_1 + E I_1 K_1' \delta K_1' - E I_{\eta r} K_1 K_3 \delta K_1 - \frac{1}{2} E I_{\eta r} K_1^2 \delta K_3 \} dx - [2 \{M\} \frac{\delta q - \delta q_0 + q}{1 + q_0 q}]_{x=L} = 0$ $K_2 = 0$ $K_3 = \frac{1}{2} (I_{\eta r} K_1^2) / I_3$ ecuația de echilibru $E I_\omega \varphi''' - G I_t \varphi' + E (\frac{1}{2} \frac{I_p^2}{A} + \frac{1}{2} \frac{I_{\eta r}^2}{I_3} - I_4) (\varphi')^3 + M_1 = 0$

nr. crt	denumirea si schema statica a problemei	functionala energetica, criteriul variational, ecuatiile de echilibru si conditiile de margine
0	<p>1</p> <p>grinda simplu rezemată cu secțiune solicitată la încovoiere dreaptă</p>  <p>$N_x = Ne_1 ; N_z = Ne_3$ $M = -R_2 \tilde{e}_1, x=0$ $M = R_2 \tilde{e}_1, x=L$ $N_0 = N_z ; x=0$</p>	<p>2</p> <p>$q = e_2 \operatorname{tg} \frac{\varphi}{2} ; k_2 = 2 \frac{1 + \operatorname{tg}^2 \frac{\varphi}{2}}{1 + \operatorname{tg}^2 \frac{\varphi}{2}} \frac{\varphi}{2} = \varphi$</p> <p>$\tilde{e}_1 = e_1 \cos \varphi - e_3 \sin \varphi ; \tilde{e}_2 = e_2 \sin \varphi ; \tilde{e}_3 = e_3 \cos \varphi + e_1 \sin \varphi$</p> <p>$\delta \tilde{\Pi}_p = \int_0^L \{ N_1 - (N_x \cos \varphi - N_z \sin \varphi) \} \delta \varepsilon_0 + M_2 \delta \varphi + (N_x \sin \varphi + N_z \cos \varphi) (1 + \varepsilon_0) \delta \varphi \} dx - [M \delta \varphi]_0^L - \delta N_0 \left(\int_0^L (1 + \varepsilon_0) (-\sin \varphi) dx + c_1 \right) = 0$</p> <p>după integrare prin părți rezultă ecuațiile de echilibru și condițiile de margine.</p> <p>$N_1 = N_x \cos \varphi - N_z \sin \varphi$ $M_2 = N_x (1 + \varepsilon_0) \sin \varphi + N_z (1 + \varepsilon_0) \cos \varphi$ $M_2 = M _{x=0, L}$ $\int_0^L (1 + \varepsilon_0) \sin \varphi dx - C_1 = 0$</p>
2	<p>stîlp încastrat la un cap și solicitat la compresiune centrică</p>  <p>$N_x = -P ; N_z = 0$</p>	<p>$\tilde{\Pi}_p = \int_0^L \left(\frac{1}{2} EI (\varphi')^2 + P (\cos \varphi - 1) \right) dx$</p> <p>$\tilde{\Pi}_p \approx \int_0^L \left(\frac{1}{2} EI (\varphi')^2 - P \left(\frac{\varphi^2}{2} - \frac{\varphi^4}{24} \right) \right) dx$</p> <p>încărcarea critică rezultă din:</p> <p>$\delta \left\{ \int_0^L \frac{1}{2} EI (\varphi')^2 - P \varphi^2 \right\} dx = 0$</p> <p>se integrează prin părți și rezultă în final:</p> <p>$\varphi(x) = \varphi_0 \sin \frac{\tilde{\Pi} x}{2L}$</p> <p>$P_{cr} = \frac{\tilde{\Pi}^2 EI}{4L^2} ; \lambda = \frac{P}{P_{cr}} = 1 + \frac{1}{2} \left(\frac{\varphi_0}{2} \right)^2$</p>
3	<p>stîlp încastrat cu imperfecție</p>  <p>$N_z = 1.216 \cdot 10^{-2} P$</p> <p>$\varphi_L(x) = -\frac{N_z x}{2EI} (x - 2L)$</p>	<p>la fel ca la exemplul precedent rezultă</p> <p>$-P \int_0^L \varphi_i(x) \varphi_0 \sin \frac{\tilde{\Pi} x}{2L} dx = -\frac{2PN_z}{\tilde{\Pi} P_{cr}} \varphi_0 L$</p> <p>$\lambda = \frac{\frac{1}{8} \varphi_0^3 + \varphi_0}{\varphi_0 + \varphi^*} ; \varphi^* = \frac{4N_z}{\tilde{\Pi} P_{cr}}$</p> <p>sau:</p> <p>$\lambda = \frac{\varphi_0}{\frac{1}{8} \varphi_0^3 + \varphi_0 + \varphi^*}$</p>
4	<p>grinda încastrată solicitată la torsiune cu secțiune dublu simetrică</p>  <p>$\{M\} = [M_t \ 0 \ 0 \ 1]$</p>	<p>$\delta \tilde{\Pi}_p = \int_0^L \{ EA \varepsilon_0 + \frac{1}{2} EI_p K_i^2 \} \delta \varepsilon_0 + EI_2 K_2 \delta K_2 + EI_3 K_3^2 \delta K_3 + (GI_t K_1 + EI_4 K_1^3 + EI_p \varepsilon_0 K_1) \delta K_1 + EI_\omega K_i \delta K_i \} dx$</p> <p>$-2 \left[2 \{M\} \frac{\delta q - \delta q \times q}{1 + q \cdot q} \right]_{x=L} = 0$</p>

7.5. CONCLUZII

Comportarea reală a barelor cu pereți subțiri este neliniară. Din acest punct de vedere o teorie neliniară care să poată fi transpusă într-o formulare numerică este pe deplin justificată.

Pe baza teoriei prezentate se pot rezolva nu numai problemele specifice ale barelor cu pereți subțiri, ci și acelea cu caracter mai larg ale structurilor cu pereți subțiri, de genul suprafețelor cilindrice sau prismatice lungi, caracteristice unor tipuri de stavile.

Elaborarea celor două teorii generalizate, liniară și neliniară, ale barelor cu pereți subțiri prezentate în acest capitol are și o importanță teoretică deosebită pentru formularea unitară a problemelor structurilor cu pereți subțiri.

Elementul finit de bară cu pereți subțiri cu comportare neliniară reprezintă o noutate în maniera în care a fost prezentat, în lucrare. Este necesar în etapa următoare, pentru a fi pus în valoare, să fie realizat și modulul de program corespunzător. Din acest punct de vedere se face mențiunea că programul ASEP conține procedurile numerice generale rezolvării problemelor neliniare și că nu trebuie elaborate decât subrutinele care intervin în determinarea matricii de rigiditate incrementale.

C A P I T O L U L VIII

COMPORTAREA CRITICA SI POSTCRITICA A STRUCTURILOR CU PERETI SUBTIRI ALE STAVILELOR METALICE

8.1. GENERALITATI

Tendința de reducere a greutateii structurilor și a consumurilor de materiale se caracterizează prin realizarea unor structuri tot mai svelte, la care problemele calculului de stabilitate devin criteriul principal al proiectării. Ca urmare se acordă o importanță sporită calculului de stabilitate pe fondul unei creșteri însemnate a numărului de studii teoretice și experimentale dedicate acestui fenomen.

O caracteristică a situației actuale a calculului de stabilitate este existența în paralel a două concepții de calcul /101/. Primul concept, cunoscut sub numele de "conceptul eulerian", se limitează la determinarea încărcării critice de bifurcare, fără să se ocupe de comportarea structurii după pierderea stabilității, și poate fi utilizat la structurile din bare. Folosirea acestui concept la unele structuri din plăci plane sau curbe - în această categorie intră, după cum sa văzut în capitolul VII și barele cu pereți subțiri - este greșită; s-a dezvoltat de aceea conceptul comportării postcritice, în care se analizează ce se întâmplă cu structura după pierderea stabilității.

Intrucât stăvilele metalice sînt structuri metalice cu pereți subțiri solicitate la încovoiere cu compresiune, într-un calcul de dimensionare rațional și economic se poate lua în considerare, pentru anumite combinații de încărcări, capacitatea de lucru a acestor structuri după producerea unor voalări locale sau, altfel spus, comportarea lor în regim postcritic. Intrucât problemele de voalare sînt probleme specifice structurilor din plăci subțiri, studierea și caracterizarea lor prin relații simple de calcul se consideră ca fiind utilă și necesară pentru proiectantul de stăvile.

8.2. CONCEPTUL DE COMPORTARE POSTCRITICA /102/.

Primul care a dat o justificare teoretică riguroasă cercetărilor de stabilitate în domeniul postcritic a fost Koiter care în lucrarea sa de doctorat din 1945 pune bazele dezvoltării Teoriei instabilității structurilor sau Teoria comportării postcritice a structurilor.

Teoria lui Koiter ia în considerare o neliniaritate de gradul doi a deformațiilor și, astfel, rezultă energia potențială de gradul patru. Scriind potențialul sub forma $W = \sum_{i=1}^4 W_i$, în care W_1 conține toți termenii de gradul 1, Koiter a examinat influența fiecărui termen al potențialului asupra instabilității structurilor /124/. Potențialul W_1 este zero pentru că structura este în echilibru, din W_2 se determină încălcarea critică de bifurcare; potențialele W_3 și W_4 se vor utiliza pentru stabilirea tipului de instabilitate a punctului critic și a comportării postcritice inițiale în sensul că, în punctul critic, nu toate structurile se comportă după conceptul eulerian, ele prezentînd stări postcritice stabile sau instabile (fig. 8.1.a). Examinînd tipurile de instabilitate ce se pot produce, Koiter a găsit că punctele critice pot fi nesimetrice (fig. 8.1.b) cînd sînt stabile, simetrice stabile (fig. 8.1.c) sau simetrice instabile (fig. 1.8.d) Două observații sînt importante: (1) comportarea postcritică a structurii este definită de tipul de

punct critic; (2) influența imperfecțiunii geometrice depinde de tipul de instabilitate a punctului critic.

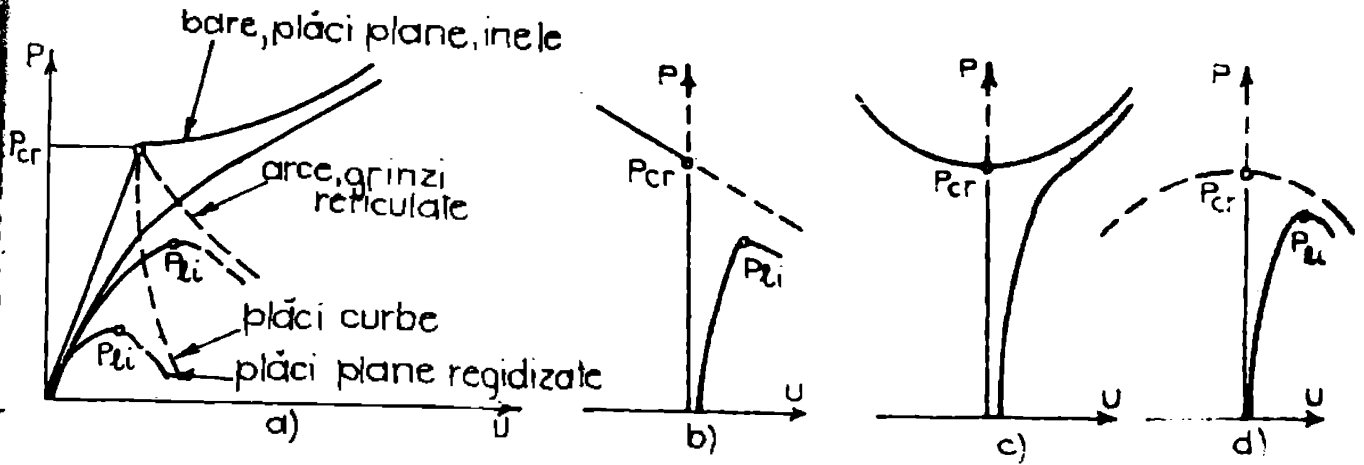


fig. 8.1

Teoria elaborată de Koiter stă la baza definirii conceptului de comportări postcritice, care pretinde, ca pe lângă determinarea încărcării critice să se definească și tipul de instabilitate, pentru a avea informații privitoare la gradul de instabilitate la imperfecțiuni geometrice a structurii.

8.3. ASPECTE PRIVIND COMPORTAREA CRITICĂ ȘI POSTCRITICĂ A BORDAJELOR STAVILELOR METALICE, RELATII PENTRU CALCULUL PRACTIC LA STABILITATE. /25/, /100/, /107/, /182/, /198/.

8.3.1. Criterii simplificate pentru verificarea platelajelor.

Platelajul stăvililor metalice este solicitat la încovălire de o sarcină p provenită din presiunea hidrostatică și la compresiune de forțe n_x acționând în planul sau în suprafața sa mediană. Acțiunea simultană a celor două forțe conduce la epuizarea capacității portante a platelajului fie prin atingerea locală a limitei de curgere fie prin pierderea stabilității. Situația într-un caz sau în celălalt depinde de raportul celor două forțe și de dimensiunile laturilor a și b ale panoului de platelaj (fig. 8.2.a). În ipoteza că se ia în considerare numai efectul forțelor n_x , distribuția neuniformă a tensiunilor σ_x se înlocuiește cu o distribuție unifor-

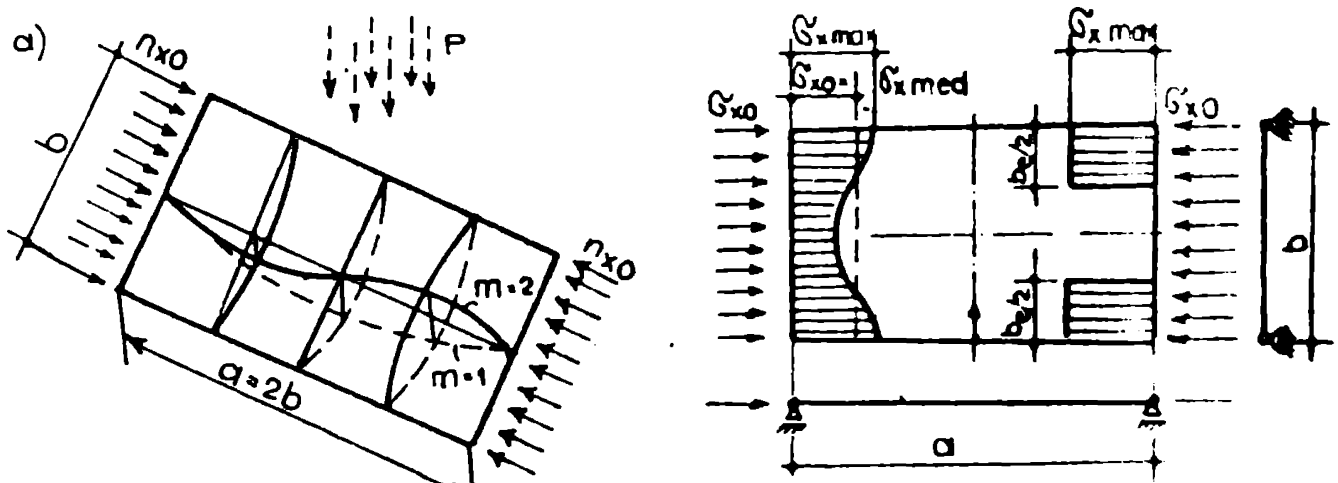


fig 8.2

mă $\sigma_{x_{max}}$ repartizat^x pe o lăţime b_e numit^x lăţime "eficace" sau "efectivă" (fig.8.2.b).

Mecanismul fenomenului se poate descrie cu ajutorul teoriei de ordinul II, după modelul prezentat în tabelul 1.1. (Cap.I).

Pentru calculele practice inginereşti se folosesc pentru verificare două criterii simplificat:

$$(1) \sigma_{ech} < \sigma_c, \quad \sigma_{ech} = \sqrt{(\sigma_{xn} + \sigma_{xm})^2 + \sigma_{ym}^2} - (\sigma_{xn} + \sigma_{xm}) \sigma_{ym} \quad (8.1)$$

în care n semnifică efectul axial iar m efectul de încovoiere.

(2) $\sigma_o < \sigma_{cr}$, în care σ_o este tensiunea medie produsă de n_o , iar σ_{cr} este tensiunea critică de flambaj.

Determinarea mărimilor care intervin în cele două condiţii se face diferenţiat, în funcţie de tipul şi forma platelajului şi de modul de încărcare.

8.3.2. Verificarea la stabilitate a platelajelor comprimate.

8.3.2.1. Placa dreptunghiulară plană.

Coefficienţii de voalare K_v pentru determinarea tensiunii critice sînt indicaţi în figura 8.3. în funcţie de modul de rezemare al plăcii.

Pentru placa izotropă tensiunea critică este dată de relaţia

$$\sigma_{xcr} = K_v \sigma_E \quad (8.2)$$

$$\sigma_E = \frac{\pi^2 E}{12(1-\nu^2)} \left(\frac{t}{b}\right)^2, \quad \left. \begin{array}{l} \\ \end{array} \right\} 4350 \quad (8.3)$$

care pentru $\nu=0,3$ dă valoarea $\sigma_E = 1,003 \cdot 10^5 (t/b)^2$

Forţa critică pe unitatea de lungime se obţine de forma

$$n_{xcr} = \sigma_{xcr} \cdot t \text{ sau } n_{xcr} = \frac{K_v \pi^2 K}{b^2} \quad (8.4.a,b)$$

în care K este rigiditatea la încovoiere a plăcii (tab.1.1)

În figura 8.4. a este prezentată variaţia săgeţii w la mijlocul grinzii în domeniul postcritic ($\sigma_{xo} > \sigma_{xcr}$). Relaţia de legătură între

σ_{xo} şi w este de forma

$$\frac{\sigma_{xo}}{\sigma_E} = c + \frac{2048(1-\nu^2)}{3\pi^4 c} \left(\frac{w}{t}\right)^2, \quad (8.5)$$

în care $c = (a/b + b/a)^2$. Pentru o singură semiundă de voalare ($m=1$) după x şi y tensiunea de membrană postcritică se obţine în mod aproximativ cu relaţia

$$\sigma_{xn} = -\frac{\pi^2 E}{8} \left(\frac{t}{a}\right)^2 \left(\frac{w}{t}\right)^2 \cos \frac{2\pi y}{b} - \sigma_{xo} \quad (8.6)$$

Lăţimea efectivă a plăcii se defineşte prin $b_e = \delta b$ (fig.8.2.b), coeficientul de reducere δ determinîndu-se în funcţie de tensiunea critică σ_{xcr} aferentă fişiei de lăţime $b_e/2$ şi lungimea după cum urmează:

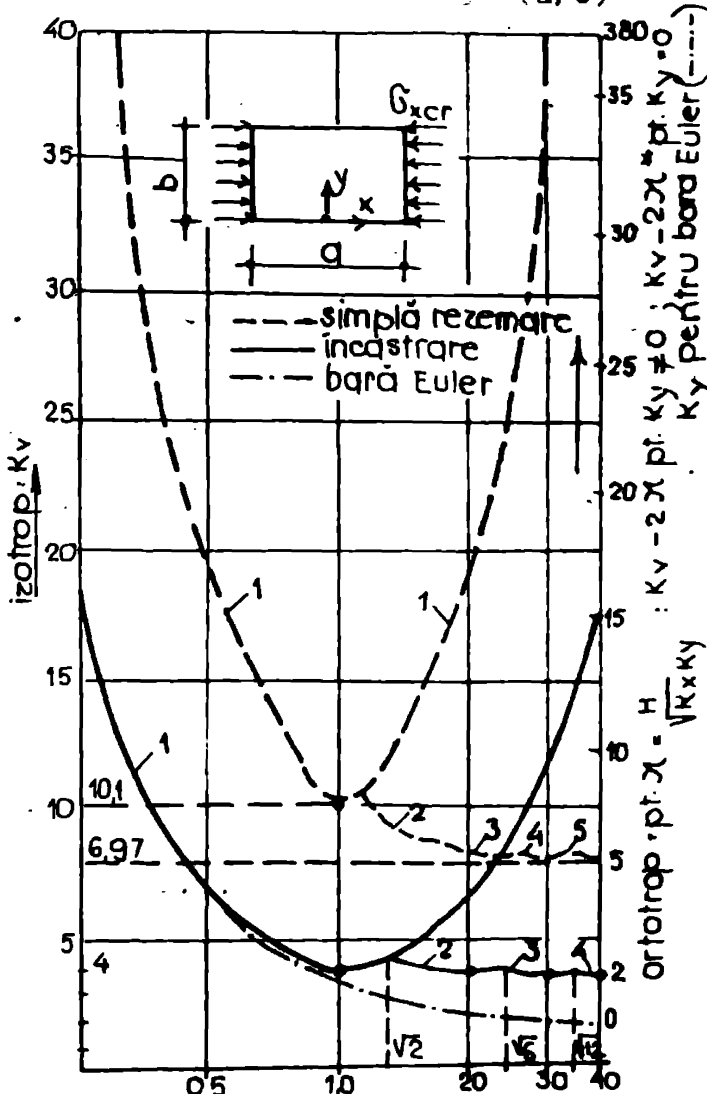
$$a/b \geq 1 \quad : \quad \delta = \frac{1}{2 \sqrt{\sigma_{xcr} / \sigma_{xo}}} \quad (8.7.a,b)$$

$$a/b \leq 1 \quad : \quad \delta = \frac{1 + (a/b)^4}{3 + (a/b)^4 - 2 \sqrt{\sigma_{xcr} / \sigma_{xo}}}$$

Capacitatea portantă limită a plăcii este atinsă când $\sigma_{x\max} = \sigma_c$, factorul de creștere a sarcinii în raport cu sarcina critică fiind dat de

$$a/b \geq 1: \eta = \frac{1}{2} \left(\frac{\sigma_c}{\sigma_{xcr}} + 1 \right)$$

$$a/b \leq 1: \eta = \frac{\frac{\sigma_c}{\sigma_{xcr}} [1 + (a/b)^4] + 2}{3 + (a/b)^4} \quad (8.8.a, b)$$



izotrop: $\frac{a}{b}$; ortotrop: $\frac{a^4}{b} \sqrt{k_y k_x}$
 pentru $k_y \neq 0$ $\frac{a}{b}$ pentru $k_y = 0$
 fig. 8.3

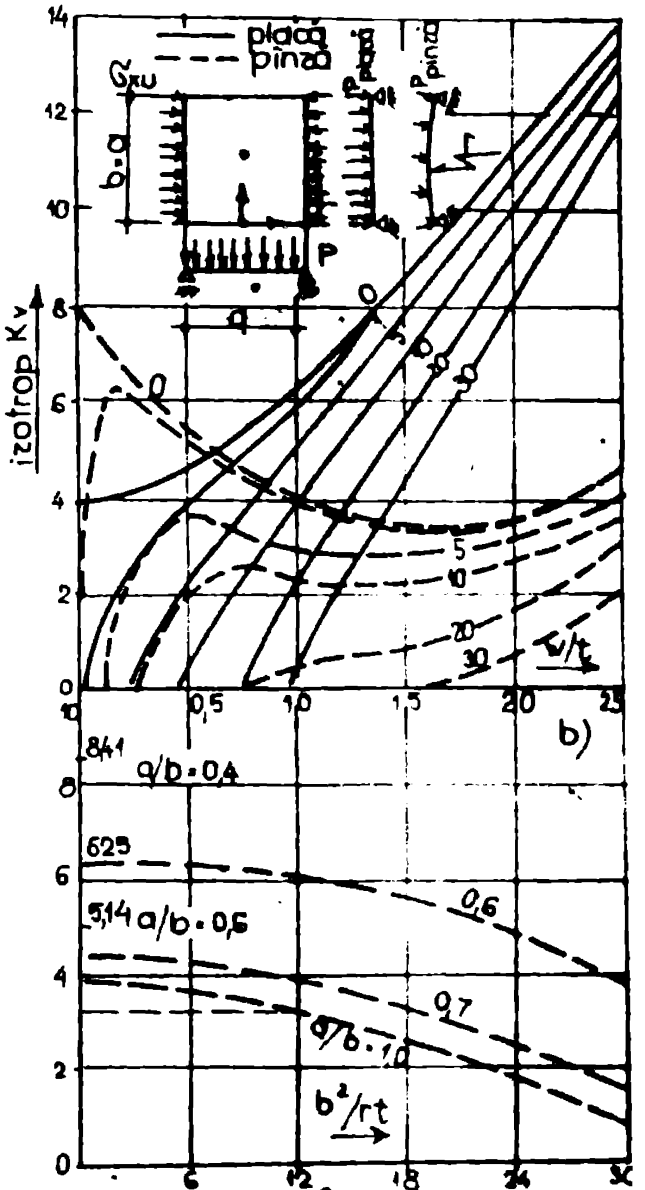


fig. 8.4

În domeniul postcritic tensiunea de membrană la mijlocul plăcii rezultă:

$$\sigma_{xx} = \frac{\pi^2 E}{8} \left(\frac{t}{a} \right)^2 \left(\frac{w}{t} \right)^2 - \sigma_{x0} \quad (8.9 a, b)$$

$$\sigma_{yy} = \frac{\pi^2 E}{8} \left(\frac{t}{b} \right)^2 \left(\frac{w}{t} \right)^2$$

și similar, pentru tensiunea din încovoiere :

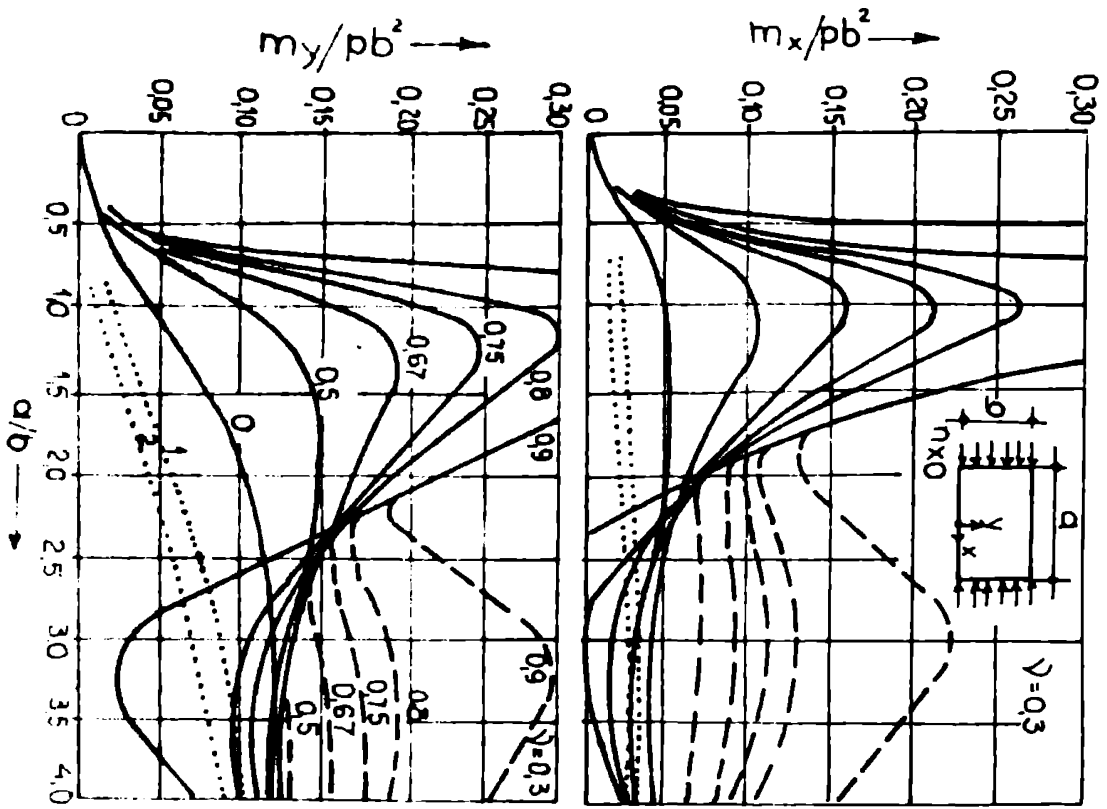


Fig. 8.5

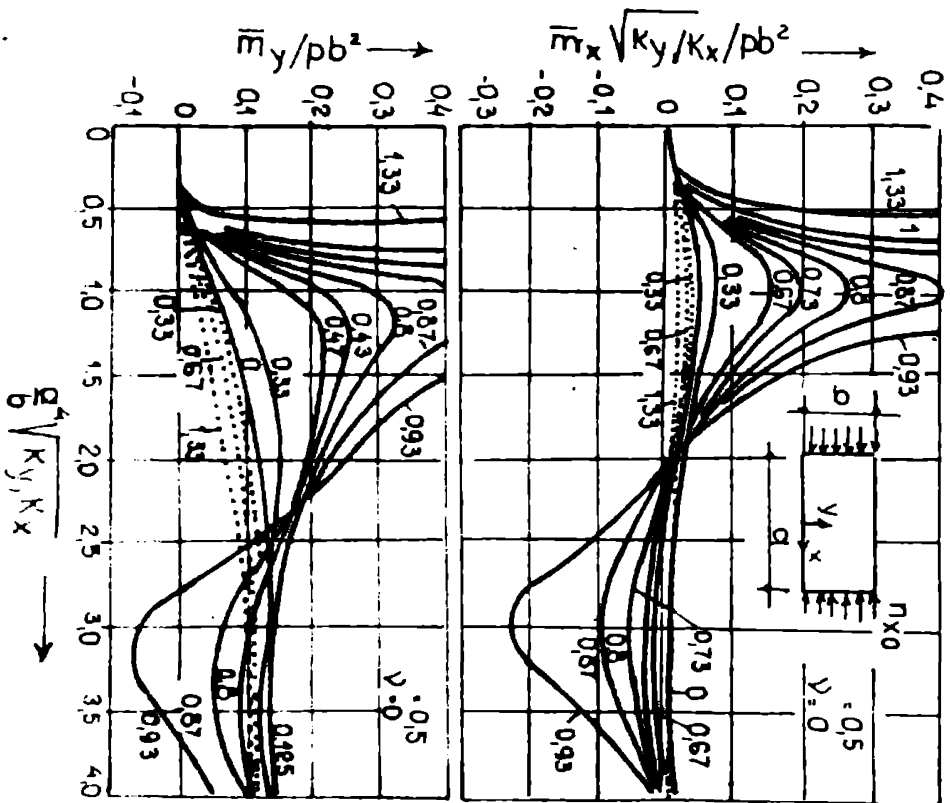


Fig. 6.6

$$\begin{aligned} \sigma_{xm} &= \frac{\pi^2 E}{8} \left(\frac{t}{a}\right)^2 (1 + \mu a^2/b^2) \frac{w}{t} \\ \sigma_{ym} &= \frac{\pi^2 E}{8} \left(\frac{t}{a}\right)^2 (1 + \mu b^2/a^2) \frac{w}{t} \end{aligned} \quad (8.10.a, b)$$

În cazul plăcii izotrope tensiunea critică este dată de expresia

$$\sigma_{xcr} = \frac{n_x cr}{t + A_x/l_x} \quad (8.11)$$

iar forța critică pe unitatea de lungime de relația

$$n_x cr = \frac{K_v \pi^2 \sqrt{K_x K_y}}{b^2} \quad (8.12)$$

notațiile fiind date în capitolul I.

8.3.2.2. Placa dreptunghiulară cilindrică.

În figura 8.4. a este indicată cu linie întreruptă variația tensiunii postcritice $\sigma_{xo} > \sigma_{xcr}$ pentru cazul unei plăci cilindrice cu indicele de curbură $b^2/rt = 12$ și cu raportul laturilor $a/b=1$. Valoarea inferioară tensiunii critice se obține pentru o valoare a săgeții $w = 1,7t$. Conform teoriei de ordinul doi, pentru cazul plăcii izotrope, între σ_{xo} și w se stabilește o relație de forma

$$\frac{\sigma_{xo}}{\sigma_E} = c + \frac{12(1-\nu^2)}{\pi^4 c} \left(\frac{t}{rt}\right)^2 + \frac{2048(1-\mu^2)}{3\pi^4 c} \left(\frac{w}{t}\right)^2 - \frac{192(1-\nu^2)}{\pi^4 c} \left(\frac{b}{rt}\right) \frac{w}{t} \quad (8.13)$$

Valoarea superioară a tensiunii critice se obține pentru $w = 0$. Pentru placă cilindrică ortotropă se obține o expresie asemănătoare /127/, /167/, dar mult mai complicată.

8.3.3. Verificarea la stabilitate a platelajelor comprimate și încovoiate.

8.3.3.1. Placa dreptunghiulară plană.

Legătura între σ_{xo} , p și săgeata w în mijlocul plăcii izotrope este pusă în evidență în figura 8.3. cu linii subțiri continue, iar fenomenul este descris de relația 8.5 la care se mai adaugă un termen care ține deoseama de efectul încovoierii:

$$\frac{\sigma_{xo}}{\sigma_E} = c + \frac{2048(1-\nu^2)}{3\pi^4 c} \left(\frac{w}{t}\right)^2 - \frac{192(1-\pi^2)}{\pi^2 E} \left(\frac{a^2 b^2}{t^4}\right) \frac{p}{w/t} \quad (8.14)$$

În figura 8.5 se prezintă variațiile momentelor încovoietoare m_x și m_y în funcție de raportul laturilor a/b pentru cazul plăcii izotrope simplu rezemată pe contur, liniile continue descriind comportarea în centrul plăcii, iar liniile întrerupte reprezentând variațiile momentelor încovoietoare maxime. Parametrul curburii este $n_{xo}/(4\pi^2 a/b^2)$, forța n_{xo} fiind supusă criteriilor de siguranță 1 și 2 prezentate în §.9.

8.3.1. Pentru plăci scurte, $a/b < 1,2$ se obține, ca în cazul barelor, relația :

$$m_x = \frac{p}{n_{xo}} \left[1/\cos\left(\frac{a}{2} \sqrt{\frac{n_{xo}}{K}}\right) - 1 \right], \quad m_y = \nu m_x \quad (8.15)$$

Comportarea plăcii ortotrope este descrisă de figura 8.6. Variațiile momentelor încovoietoare sînt reprezentate cu linie plină iar cea a forței de compresiune n_{x0} cu linie punctată. Parametrul de curbură este reprezentat de n_{x0} raportat la factorul

$$(4-2\chi) \pi^2 \sqrt{K_x K_y} / b^2 = 3\pi^2 \sqrt{K_x K_y} / b^2 ; \chi = 0,5$$

8.3.3.2. Placa dreptunghiulară cilindrică.

În figura 8.4.a se prezintă, analog cu placa dreptunghiulară, relația între σ_{x0} , p și w , cu linie întreruptă, conform relației

$$\frac{\sigma_{x0}}{\sigma_E} = c + \frac{12(1-\nu^2)}{\pi^4 c} \left(\frac{b}{rt}\right)^2 + \frac{2048(1-\nu^2)}{3\pi^4 c} \left(\frac{w}{t}\right)^2 - \frac{192(1-\pi^2)}{\pi^4 c} \left(\frac{b}{rt}\right) \frac{w}{t} - \frac{192(1-\pi^2)}{\pi^6 E} \left(\frac{a^2 b^2}{t^4}\right) \frac{p}{w/t} \quad (8.16)$$

Pentru cazul unei singure semiunde de voalare în direcțiile x și y se obțin tensiunile la mijlocul plăcii conform relațiilor (8.9) și (8.10) la care se adaugă termenul care introduce efectul de încovoiere.

$$-\frac{Et}{r} \frac{1}{2+a^2/b^2+b^2/a^2} \frac{w}{t} \quad (8.17)$$

8.3.4. Conceptul de lățime echivalentă în analiza post-critică a structurilor de stăvile metalice.

Din analiza relațiilor prezentate în acest capitol reiese că un element esențial în verificările de stabilitate a structurilor cu pereți subțiri în domeniul postcritic este lățimea echivalentă. Numai după ce este cunoscută aceasta se pot stabili relațiile de calcul pentru verificarea acestor structuri. Din acest motiv, în cele ce urmează se va proceda la un studiu detaliat, teoretic și experimental al acestei probleme. Acest studiu este dezvoltat pentru barele cu pereți subțiri, care așa după cum s-a arătat în cap. I și cap. VI, constituie modelul fizic al unor tipuri de structuri de stăvile, pe de o parte, iar pe de altă parte oferă condiții foarte bune pentru experimentare în vederea verificării relațiilor de calcul propuse.

8.4. FORME DE INSTABILITATE ALE BARELOR CU PEREȚI SUBȚIRI.

La o bară cu pereți subțiri instabilitatea se poate produce prin: (1) voalarea locală a pereților comprimați la încărcarea locală $P_{cr, l}$; (2) prin flambajul general la încărcarea critică generală $P_{cr, g}$; (3) prin flambaj general cuplat cu voalarea pereților, la încărcarea P_{cr} . Atingerea încărcării critice locale $P_{cr, l}$ nu înseamnă cedarea barei, deoarece plăcile voalate au capacitatea de a prelua încărcări și în domeniul postcritic, bara cedază, însă, dacă se ajunge la încărcarea critică generală $P_{cr, g}$. De aceea, normele de calcul admit ca $P_{cr, l} < P_{cr}$ și astfel barele cu pereți subțiri voalați în momentul cedării. După Van der Neut /101/, primul

cercetător care studiază comportarea critică și postcritică a barelor cu pereți subțiri în stare voalată, pe o bară cu secțiune teoretică, formată numai din două tălpi bxt menținute la distanța de înălțimea profilului, considerată fără rigiditate axială, se definesc trei tipuri de instabilități (fig.8.7) pentru $P_{cr,l} = 2\pi^2 Et^2(t/b) K$ și $P_{cr,g} = \pi^2 EI/L^2$:

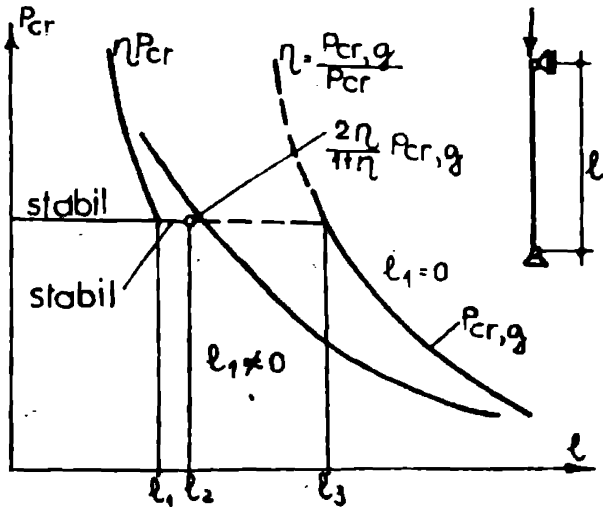


fig.8.7

- (1) $P_{cr} < P_{cr,l}$ - instabilitatea se produce prin flambaj general, care poate fi prin încovoare sau încovoare răsucire.
- (2) $P_{cr} > P_{cr,l}$ - instabilitatea se produce prin flambaj general cuplat cu voalare.
- (3) $P_{cr} = P_{cr,l}$
 - $l_1 < l < l_2$: bifurcare stabilă
 - $l_2 < l < l_3$: bifurcare instabilă.

Pentru cazul când ambele tălpi sînt afectate de imperfecțiuni egale presupuse afine cu deformația de voalare curba $P-l$ este continuă și influența imperfecțiunilor h_1 este maximă în zona $P_{cr,l} \approx P_{cr,g}$. În această zonă bifurcările pot fi și instabile, foarte sensibile la imperfecțiuni geometrice. In[101] se arată că în cazul când imperfecțiunile celor două tălpi sînt diferite comportarea barei nu diferă de cazul precedent. Van der Neut studiază și cazul când ambele tipuri de instabilitate sînt afectate de imperfecțiuni, iar Maquoi și Massonnet arată că cea mai puternică eroziune a lui P_{cr} are loc cînd cele două tipuri de instabilitate se cuplează $P_{cr,g} \approx P_{cr,l}$. Aceiași autori au constatat că în cazul în care se ține seama de deformările plastice, reducerea maximă a încărcării, ca urmare a imperfecțiunilor geometrice, se menține în același domeniu ca în cazul deformărilor elastice.

Ca urmare a acestor reduceri, barele cu pereți subțiri nu pot beneficia de o rezistență postcritică mare: scăderea rigidității pereților ca urmare a prezenței imperfecțiunilor geometrice și creșterea gradului de instabilitate în urma cuplării flambajului general cu cel local nu poate fi compensată de rezerva postcritică a pereților barei.

8.5. CARACTERISTICI GEOMETRICE ECHIVALENTE ÎN ANALIZA POSTCRITICĂ A BARELOR CU PEREȚI SUBȚIRI /59/, /60/, /65/.

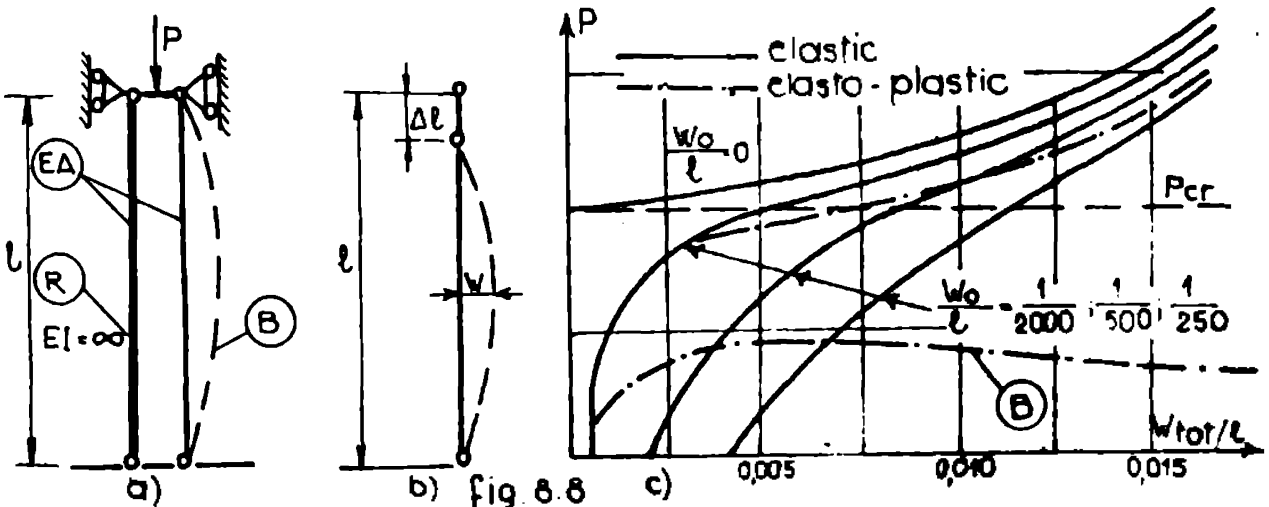
8.5.1. Mecanismul voalării.

Mecanismul voalării pereților barelor cu pereți subțiri se poate studia prin intermediul modelului intuitiv propus de Lubas /49/ care asimilează comportarea unui perete comprimat, rezemat pe ambele laturi, cu comportarea structurii statice nedeterminate din fig.8.8.a. Bara B modelează fibrele centrale ale panoului, supuse la voalare în timp ce bara R modelează conexiunile cu pereții adiacenți.

În urma acțiunii forței de compresie P , bara B cu rigiditate mică la încovoiere va flamba suferind o scurtare Δl (fig. 8.8.b) legea de variație a deformației specifice $\Delta l/l$ putându-se aproxima printr-o sinusoidă. Pentru un sistem ideal, fără imperfecțiuni, forța P se repartizează în domeniul precritic $P < P_{cr}$ în mod egal pe cele două bare care au aceeași rigiditate axială. După pierderea stabilității, în domeniul postcritic $P > P_{cr}$, bara B va prelua în continuare o forță egală cu P_{cr} , creșterile P , peste această limită, urmînd a fi preluate de bara R (fig. 8.8.c). Prin urmare, domeniul postcritic este caracterizat printr-o redistribuire mai favorabilă a eforturilor, iar cedarea structurii se va produce cînd bara R va atinge limita de curgere. Dacă bara B prezintă imperfecțiuni geometrice w_0 , forța critică a sistemului nu mai este riguros măsurabilă întrucît deformațiile w vor apărea din momentul aplicării forței P , forța de cedare fiind dependentă de deformația totală $w_{tot} = w + w_0$.

Un perete al unei bare cu pereți subțiri solicitate la compresie uniformă se va deforma în zona centrală voalînd - asemenea barei B - și suferind o scurtare geometrică, care, din motive de compatibilitate cu legăturile - muchiile reprezentînd conexiunile cu pereții adiacenți trebuie să rămîină drepte - va conduce la o redistribuire a eforturilor unitare normale către margini (fig. 8.9.b) întrucît nu se poate opera în calculele practice cu distribuția neuniformă a eforturilor există două posibilități pentru evaluarea cantitativă a fenomenului :

- (1) Considerarea efortului unitar normal mediu σ_{med} avînd aceeași rezultantă ca și diagrama σ_{real} ;
- (2) Introducerea conceptului de lățime echivalentă, propus de von Kármán , în 1932, potrivit căruia diagrama reală se înlocuiește cu o distribuție echivalentă σ_{max} (fig. 8.9.b).



cuieste cu o distribuție echivalentă σ_{max} (fig. 8.9.b).

Este meritul lui George Winter de a fi introdus în 1959 modelul din figura 8.9.a cu ajutorul căreia se explică comportarea postcritică a plăcilor și a folosirii conceptului de lățime echivalentă (se mai numește "efectivă" sau "eficace").

Potrivit acestui model eforturile din barele transversale care sînt de fapt "eforturile de membrană" în placa comprimată, sînt cauza rezistenței postcritice și a diferenței de comportament esen-

țiale dintre stîlp și placă. Eforturile de membrană nu sînt numai eforturi unitare de întindere sau compresiune, ci ele sînt și tangențiale /136/. Din acest punct de vedere, modelul ar trebui completat cu diagonale în toate panourile.

8.5.2. Determinarea caracteristicilor geometrice echivalente.

8.5.2.1. Reflectarea problemei în literatura tehnică.

Un număr mare de cercetători au avut în vedere stabilirea unor relații pentru determinarea lățimii echivalente, concepută care, de altfel, este prezent în marea majoritate a normelor de calcul pentru barele cu pereți subțiri. Dintre acestea, cele mai cunoscute relații sînt sintetizate în tabelul 8.1.

tabelul 8.1

nr. crt	autorul norma tehnică	forma inițială $\sigma_{med} / \sigma_{max} =$	forma transformată $b_c / t =$
1	Box (1883)	$0,725 \sqrt{\sigma_{cr} / \sigma_{max}}$	$1,38^{b/t} \sqrt{E / \sigma_{max}} \sqrt{b/t}$
2	Schnadel	$0,5(1 + \sigma_{cr} / \sigma_{max})$	$0,5(1 + 3,62(t/b)^2 E / \sigma_{max})^{b/t}$
3	Seschler	$0,6 \sqrt[4]{\sigma_{cr} / \sigma_{max}}$	$0,827 \sqrt{b/t} \sqrt{E / \sigma_{max}}$
4	Kármán (1932)	$0,89 \sqrt[3]{\sigma_{cr} / \sigma_{max}}$	$1,69 \sqrt{\sigma_{cr} / \sigma_{max}}$
5	Marguerre	$\sqrt[3]{\sigma_{cr} / \sigma_{max}}$	$1,53 \sqrt[3]{b/t} \sqrt{E / \sigma_{max}}$
6	Bengston (1)	$0,483 + 0,517 \sigma_{cr} / \sigma_{max}$	$(0,483 + 1,871(t/b)^2 E / \sigma_{max})^{b/t}$
7	Bengston (2)	$0,483 + 0,6 \sigma_{cr} / \sigma_{max}$	$(0,483 + 2,172(t/b)^2 E / \sigma_{max})^{b/t}$
8	Frankland	$1,19 \sqrt{\sigma_{cr} / \sigma_c} - 0,35 \sigma_{cr} / \sigma_c$	$2,26 \sqrt{E / \sigma_{max}} (1 - 0,36^{t/b} \sqrt{E / \sigma_{max}})$
9	Conley	$0,96 \sqrt{\sigma_{cr} / \sigma_{max}} - 0,23 \sigma_{cr} / \sigma_{max}$	$(1,826 - 0,437^{t/b} \sqrt{E / \sigma_{max}}) \sqrt{E / \sigma_{max}}$
10	Chilver	$0,724 \sqrt[3]{\sigma_{cr} / \sigma_{max}}$	$1,065 \sqrt[3]{b/t} \sqrt{(E / \sigma_{max})^3}$
11	Heimerl	$0,77 \sqrt{\sigma_{cr} / \sigma_{max}}$	$(1,95 \sqrt{E / \sigma_{max}}) \dots$
12	Stowel (1)	$0,44 + 0,56 \sigma_{cr} / \sigma_{max}$	$0,44^{b/t} (1 + 4,607(t/b)^2 E / \sigma_{max})$
13	Stowel (2)	$0,44 + 0,047 \sigma_{cr} / \sigma_{max}$	$0,44^{b/t} (1 + 0,384(t/b)^2 E / \sigma_{max})$
14	Gerard	$0,824 (\sigma_{cr} / \sigma_{max})^{0,425}$	$1,728 (b/t)^{0,15} (E / \sigma_{max})^{0,425}$
15	Dwigt	$0,87 \sqrt{\sigma_{cr} / \sigma_{max}}$	$1,655 \sqrt{E / \sigma_{max}} //$
16	Folkner	$1,05 \sqrt{\sigma_{cr} / \sigma_{max}} - 0,28 \sigma_{cr} / \sigma_{max}$	$2(1 - 0,51^{t/b} \sqrt{E / \sigma_{max}}) \sqrt{E / \sigma_{max}}$
17	Winter $K=0,85$ (1)	$\sqrt{\sigma_{cr} / \sigma_{max}}$	$0,87 \sqrt{E / \sigma_{max}} (1 - 0,66^{t/b} \sqrt{E / \sigma_{max}})$
18	Winter $K=4$ (2)	$\sqrt{\sigma_{cr} / \sigma_{max}} (1 - 0,22 \sqrt{\sigma_{cr} / \sigma_{max}})$	$1,9 \sqrt{E / \sigma_{max}} (1 - 0,416^{t/b} \sqrt{E / \sigma_{max}})$
19	Zorgno (1)	$0,5(1 + \sigma_{cr} / \sigma_{max})$	$0,5(1 + 3,62(t/b)^2 E / \sigma_{max})^{b/t}$
20	Zorgno (2)	$0,254(1 + 2,93 \sigma_{cr} / \sigma_{max})$	$0,254(1 + 10,61(t/b)^2 E / \sigma_{max})^{b/t}$
21	Zorgno (1)	$0,5(1 + w / (w + w_0) \sigma_{cr} / \sigma_{max})$	$0,5(1 + 3,62 \frac{w}{w + w_0} (t/b)^2 E / \sigma_{max})^{b/t}$
22	Zorgno (2)	$0,254(1 + 2,93 w / (w + w_0) \sigma_{cr} / \sigma_{max})$	$0,254(1 + 10,61 \frac{w}{w + w_0} (t/b)^2 E / \sigma_{max})^{b/t}$

8.5.2.2. Reflectarea în normele de calcul a conceptului de "lățime echivalentă".

În tabelul 8.2. se prezintă relațiile de calcul a lățimii echivalente prezente în cele mai cunoscute norme tehnice, remarcabil este faptul că toate aceste relații au la bază, fără excepții, formulele lui Winter.

tabelul 8.2

nr. crt	norma tehnică	elemente rigidizate (A, B, fig 8.4)	elemente nerigidizate (C, fig 8.4)
1	B.S. 449	$b_e/t = 1,535 \sqrt[3]{(b/t) E / \sigma_{max}}$ (23)	
2	EUROCODE 3	$b_e/t = 1,9 \sqrt[3]{\frac{E}{\sigma_{max}} (1 - 0,38 \frac{t}{b}) \sqrt{\frac{E}{\sigma_{max}}}}$ (25)	$b_e/t = 0,624 \sqrt{\frac{E}{\sigma_{max}} (1 - 0,25 \sqrt{\frac{E}{\sigma_{max}}})}$ (26)
3	AISI 1981	calculul eforturilor $b_e/t = \frac{253}{\sqrt{\sigma}} (1 - \frac{53,3}{\sigma} \frac{t}{b})$ (26) calculul deformațiilor $b_e/t = \frac{326}{\sqrt{\sigma}} (1 - \frac{71,3}{\sqrt{\sigma}} \frac{t}{b})$ (27)	din formula lui Winter $b_e/t = \frac{\sqrt{\sigma_c}}{\sigma_{max}} (1 - 0,222 \sqrt{\frac{\sigma_c}{\sigma_{max}}})$ pentru $K=0,5$ și OL 37 rezultă $b_e/t = 19,89 (1 - 4,375 \frac{t}{b})$
4	NBM 8-5100 1975	secțiuni simplu conexe $b_e/t = \frac{212}{\sqrt{\sigma}} (1 - \frac{37,2}{\sqrt{\sigma}} \frac{t}{b})$ (28) secțiuni dublu conexe $b_e/t = \frac{212}{\sqrt{\sigma}} (1 - \frac{42,2}{\sqrt{\sigma}} \frac{t}{b})$ (28a)	se calculează un factor de reducere Φ_s al coeficientului de flambaj și coeficientul $Q_s = Q_s(\frac{b}{t}, \sigma_c)$ se calculează diferentiat pe tipuri de profile
5	REGLES 1984	pereti între pereti rigidiz. (A) $b_e/t = 1,64 \sqrt{E/\sigma}$; $1,64 \sqrt{E/\sigma} < \frac{b}{t} \leq 500$ (29) pereti plan rigidizați (B) $b_e/t = 1,64 \sqrt{E/\sigma}$; $1,64 \sqrt{E/\sigma} < \frac{b}{t} \leq 60$ (29a) $b_e/t = (1,64 \sqrt{E/\sigma} - \frac{b}{10t} + 6)$; $60 < \frac{b}{t} \leq 90$ (29b)	$K_v = \frac{\sigma_c}{\sigma}$ $K_v = 1$, $\frac{b}{t} \leq \frac{2550}{\sigma_c}$ corniere: $K_v = 1 + \frac{88 + \sigma_c}{58100} (\frac{b}{t} - \frac{2550}{\sigma_c})^2$ tălpi: $K_v = 1 + \frac{88 + \sigma_c}{11600} (\frac{b}{t} - \frac{2550}{\sigma_c})^2$
6	DIN 18800	$b_e/t = 1,22 [1 - (1 - 0,766 \frac{t}{b} \sqrt{\frac{E}{\sigma_{max}}})^2] \frac{b}{t}$ (30)	$b_e/t = 1,22 [1 - (1 - 0,251 \frac{t}{b} \sqrt{\frac{E}{\sigma_{max}}})^2] \frac{b}{t}$ (31)
7	STAS 10108/2-83	secțiuni simplu conexe $b_e/t = 59 \sqrt{\frac{220}{\sigma_{max}}} - \frac{753}{b/t} \frac{220}{\sigma_{max}}$ (32) secțiuni dublu conexe $b_e/t = 59 \sqrt{\frac{220}{\sigma_{max}}} - \frac{685}{b/t} \frac{220}{\sigma_{max}}$ (32a)	se impune $(\frac{b}{t})_{lim} \leq 11 \sqrt{\frac{220}{R}}$ dacă $(\frac{b}{t}) > (\frac{b}{t})_{lim}$ se ia în (32) sau (32a) sau $(32a) \sigma_{max} \leq \min R_v$

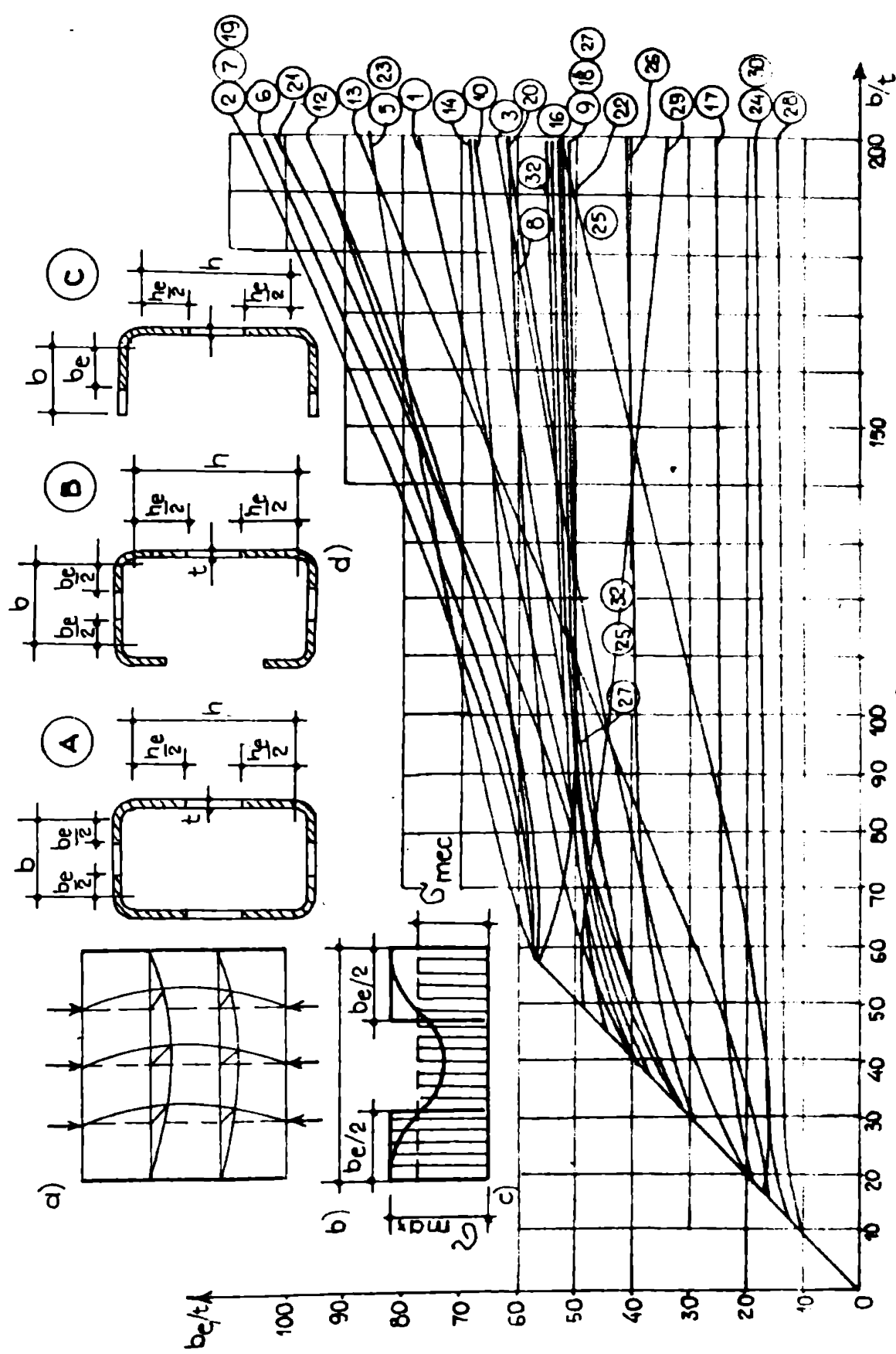


fig. 89

Normele DIN 18800 și EUROCODE 3 prevăd relații diferențiale pentru calculul coeficientului de voalare K , respectiv lățimea echivalentă în funcție de distribuția tensiunilor σ pe perete. În acest fel printr-un raport

$$\psi = \frac{\sigma_{\max,i}}{\sigma_{\max,j}}, \text{ cu } \sigma_{\max,i} > \sigma_{\max,j} \text{ tensiunile la muchii,}$$

se introduce efectul compresiunii excentrice. În relațiile din tabelul 8.2. s-au introdus expresiile corespunzătoare compresiunii uniforme (centrice), adică pentru $\psi = 1$.

8.5.2.3. Analiza și sinteza relațiilor de calcul pentru determinarea lățimii echivalente.

Analizând relațiile din tabelele 8.1 și 8.2., reprezentate grafic în figura 8.4.c, se fac următoarele considerații :

1. Relațiile prezentate în tabelele 8.1 și 8.2, prezintă o mare varietate de forme și o însemnată dispersie a rezultatelor. Dacă se fac notațiile :

$$\sigma_{\text{med}} / \sigma_{\text{max}} = y \quad \text{și} \quad \sqrt{\sigma_{\text{cr}} / \sigma_{\text{max}}} = x \quad (8.18)$$

în care:

$$\sigma_{\text{cr}} = \frac{K \pi^2 E}{12(1-\nu^2) \left(\frac{b}{t}\right)^2} \quad (8.19)$$

notațiile fiind cele consacrate, relațiile din tabel se pot exprima de o manieră unitară prin ecuația polinomială :

$$y = a_0 + a_1 x + a_2 x^2 + a_3 x^m; \quad m \in \mathbb{Q} \quad (8.20)$$

Prin particularizarea corespunzătoare a coeficienților a_i se obțin relațiile din tabel, care se pot grupa în trei categorii :

(i) $y = a_0 + a_2 x^2$, relațiile 2, 6, 7, 12, 13, 19-22 ;

(ii) $y = a_1 x + a_2 x^2$, relațiile 8, ..., 16-18 ;

(iii) $y = a_3 x^m$, relațiile 1, 3-5, 10, 11, 14, 15 ;

Formulele pentru calculul lățimii echivalente prezente în normele de calcul (23-32) sînt conținute în expresia generală (c) și se suprapun, peste una din cele trei forme particulare ; de fapt, la baza majorității normelor stă relația lui Winter care este de forma (ii).

Majoritatea relațiilor au un caracter semiempiric, coeficienții numerici care intervin în expresiile acestora fiind stabiliți pe baza unor analize teoretice și experimentale efectuate pe plăci comprimate rezemate pe două laturi opuse (1-9, 14-16, 23) sau pe plăci comprimate rezemate pe o singură latură (12, 13); relațiile (10) și (11) au fost obținute pentru profile $[$, iar relațiile lui Winter au fost stabilite pe baza unui număr mare de încercări realizate la Cornell University pe plăci comprimate sau pe grinzi din oțel supuse la încovășire pură; relațiile (19-22) au fost stabilite de Zoragno pe baza unor analize teoretice în cadrul teoriei stabilității plăcilor.

2. Relațiile prezentate nu țin seama în mod explicit de efectul imperfecțiunilor geometrice, important în cazul barelor cu pereți subțiri. Excepție fac relațiile (21) și (22) stabilite de Zoragno pornind de la considerente teoretice similare cu cele ale teoriei lui Koiter. Celelalte relații din tabel introduc într-o măsură mai mare sau mică efectul imperfecțiunilor prin coeficienții numerici stabiliți pe cale

experimentală. În literatura de specialitate se cunosc și alte încercări de a introduce în calculul lățimii echivalente efectul imperfecțiunilor: astfel, în /35/ Dawson și Walker propun o relație care dă rezultate bune în domeniul precritic ($\sigma_{med} < 4\sigma_{cr}$), iar în lucrarea /151/ Narayan și Show definesc "lățimea efectivă secantă" ținând seama de imperfecțiunile geometrice și operând cu coeficienți de voalare diferențiați pe tipuri de condiții de margine.

De remarcat este faptul că normele de calcul, chiar și cele de dată mai recentă, nu țin seama de imperfecțiuni la determinarea lățimii echivalente, ceea ce reprezintă o discordanță cu rezultatele și tendințele actuale din calculele de stabilitate.

3. Toate relațiile din tabelul 8.1 se referă numai la cazul compresiunii uniforme. Lucrări de dată mai recentă, abordează cazul compresiunii excentrice și propun relații de calcul în acest sens. Din punct de vedere al normelor de calcul, numai EURCODE 3 și DIN 18800 /208/, /214/ reflectă în mod corespunzător această problemă,

4. Relațiile din tabel și normele de calcul nu reflectă în mod corespunzător cazul elementelor nerigidizate (tipul C în fig. 8.4). În norme de regulă, se indică criteriile de limitare a supleții de pereți pentru aceste elemente. Se poate remarca că, și din acest punct de vedere EURCODE 3 și DIN 18800 sînt normele de calcul cele mai evoluate întrucît prevăd relații clare pentru aprecierea lățimii echivalente a elementelor nerigidizate. În /163/ Peköz arată că relația lui Winter care stă la baza normativului american /209/ se poate utiliza cu succes pentru calculul lățimii echivalente pentru elementele nerigidizate cu condiția că în expresia (b) a lui σ_{cr} să se introducă valori corespunzătoare ale coeficientului de voalare k - sînt indicate în acest sens rezultatele obținute de Kalyanaran /120/, /121/. În /189/ Thomason propune introducerea conceptului de grosime echivalentă pentru evaluarea caracteristicilor geometrice echivalente a elementelor nerigidizate. Acest concept, confirmat de rezultate experimentale, a fost preluat de norma suedeză STBK-NS/216/.

8.5.2.4. Formulă pentru determinarea caracteristicilor geometrice ale barelor cu pereți subțiri formate la rece în starea postvoalată a pereților ținând seama de efectul imperfecțiunilor /58/.

Plecînd de la teoria lui Koiter, în cadrul unei lucrări publicate în anul 1976 "/200/ Zergno stabilește două relații de calcul pentru determinarea lățimii echivalente pentru pereți rigidizați și respectiv nerigidizați în care introduce efectul imperfecțiunilor geometrice cauzate de voalarea inițială a pereților, w_0 , după cum urmează:

a) pentru elemente rigidizate :

$$\frac{b}{t} e = 0,5 \left[1 + \frac{w}{w + w_0} \frac{\sigma_{cr}}{\sigma_{max}} \right] \frac{b}{t} \quad (8.21)$$

în care w rezultă din rezolvarea prin încercări a ecuației de gradul trei de mai jos :

$$\left(\frac{w}{t}\right)^3 + 3\left(\frac{w}{t}\right)^2 \frac{w_0}{t} \left[0,733k(k-1) + 2\left(\frac{w_0}{t}\right)^2\right] + 0,733k^2 \frac{w_0}{t} = 0 \quad (8.22)$$

b) pentru elemente nerigidizate.

$$\frac{b_e}{t} = \frac{1}{3,93} \left[1 + 2,93 \frac{w}{w+w_0} \frac{\sigma_{cr}}{\sigma_{max}} \right] \frac{b}{t} \quad (8.23)$$

pentru determinarea lui w fiind necesară rezolvarea ecuației :

$$\left(\frac{w}{t}\right)^3 + \left(\frac{w}{t}\right)^2 \frac{w_0}{t} \left[1,075k(k-1) + 2\left(\frac{w_0}{t}\right)^2 \right] + 1,075k^2 \frac{w_0}{t} = 0 \quad (8.24)$$

În relațiile (6.4) - (8.7) s-au avut în vedere notațiile :

$$\sigma_{cr} = 3,62 E \left(\frac{t}{b}\right)^2 \quad (8.25)$$

$$k = \frac{\sigma_{cr}}{\sigma_{med}} \quad (8.26)$$

Dacă luăm în considerare expresia generală a efortului unitar critic :

$$\sigma_{cr} = \frac{K \pi^2 E}{12(1-\nu^2)} \left(\frac{t}{b}\right)^2 \quad (8.27)$$

în care K este coeficientul de voalare, care în relația (8.25) a fost luat egal cu 4, și introducem un factor al imperfecțiunilor a_w de forma:

$$c_w = \frac{w}{w+w_0} \quad (8.28)$$

relațiile (8.21) și (8.23) devin respectiv :

$$\frac{b_e}{t} = \left[0,5 + \frac{0,45}{(b/t)^2} c_w \frac{KE}{\sigma_{max}} \right] \frac{b}{t} \quad (8.29)$$

și

$$\frac{b_e}{t} = \left[0,254 + \frac{0,674}{(b/t/2)} c_w \frac{KE}{\sigma_{max}} \right] \frac{b}{t} \quad (8.30)$$

Așa după cum este cunoscut din literatura de specialitate, /37/, /43/, /44/, /75/. coeficientul de voalare K variază pentru elemente rigidizate între valoarea 4, corespunzătoare rezemării articulate a peretelui subțire pe cele două laturi și, respectiv, valoarea 6,67, corespunzătoare rezemării încastrate. În mod similar, pentru elementele nerigidizate valorile limită ale coeficientului de voalare corespunzătoare celor două cazuri de rezemare sînt 0,425 și 1,277. Winter consideră în relațiile sale, care stau la baza majorității normativelor pentru calculul barelor cu pereți subțiri, utilizate în S.U.A. și Europa, valorile $k=4$, pentru elementele rigidizate și, respectiv, $k=0,85$ pentru elementele nerigidizate. Cu aceste valori, înlocuind în (8.29) și (8.30) și avînd în vedere că, în general, $\sigma_{max} = \sigma_c$ rezultă pentru OL 37 ($\sigma_c = 2400 \text{ daN/cm}^2$) :

- elemente rigidizate:

$$\frac{b_e}{t} = \left[0,5 + 1575 \frac{c_w}{(b/t/2)} \right] \frac{b}{t} \quad (8.31)$$

- elemente nerigidizate :

$$\frac{b}{t} = \left[0,254 + 501 \frac{c_w}{(b/t)^2} \right] \frac{b}{t} \quad (8.32)$$

Pentru evaluarea coeficientului imperfecțiunilor geometrice, c_w , este necesar să se examineze toleranțele cu care se execută profilele din tablă subțire. În tabelul 8.3 se prezintă aceste toleranțe, pentru sortimentele de profile executate de I.M. Iași, în conformitate cu catalogul TERPO-1973.

Dacă se acceptă pentru voalare o deformare w egală ca ordin de mărime cu grosimea t a peretelui, în consens cu literatura de specialitate, se poate da o reprezentare grafică factorului c_w în funcție de t (fig.8.10).

tabelul 8.3

IMPERFECȚIUNI DE FABRICATIE LA BARELE CU PEREȚI SUBȚIRI catalog TERPO 1973 IM IAȘI						
tipul secțiunii	tipul imperfecțiunii geometrice					
	unghiul de colț	ondulația marg	curbura		răsucirea	
[, L, C, Z, U	2mm/m	±(1°-1°30')	locală	totală	locală	totală
			1mm/m	1mm/L	0,5mm/m	0,5mm/L

t [mm]	$C_w = W/W_0 + W_0; W \approx t$	
	$W_0 = 1\text{mm}$	$W = 2\text{mm}$
1	0,5	0,33
1,5	0,6	0,428
2	0,66	0,5
2,5	0,714	0,55
3	0,75	0,6
4	0,80	0,666
5	0,833	0,714

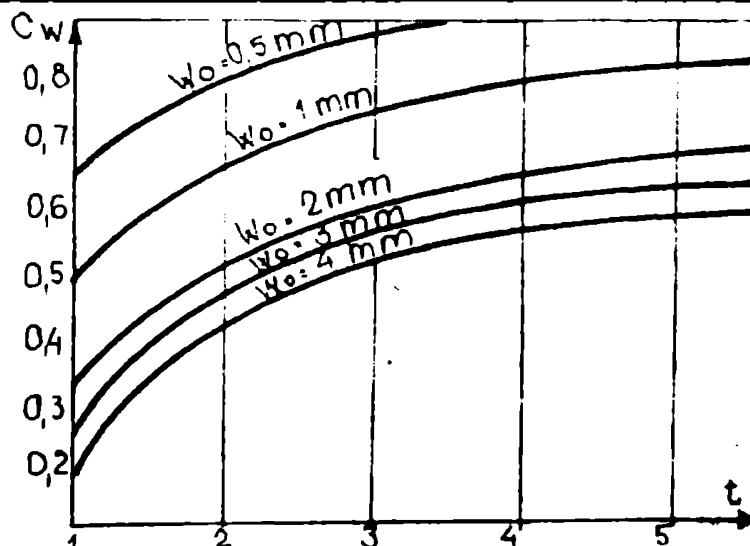


fig. 8.10

Relatiile (8.31) și (8.32) se pot reprezenta grafic pentru diferite valori ale factorului c_w . În figura 8.11 și 8.12 se prezintă aceste diagrame pentru elemente rigidizate și respectiv, nerigidizate. Pentru comparație s-au reprezentat și variațiile date de relațiile lui Winter și Zoragno, precum și de normativul american, AISI Specification 1981 Ed. și de normativul Comisiei Comunității Europene, EUROCODE 3-1984. Totodată s-au reprezentat rezultatele cercetărilor experimentale proprii realizate în laboratorul Catedrei de Construcții Metalice pe profile cu secțiune [și Z și rezultatele obținute de către Klöppel pe profile cu secțiune C și Z.

Se remarcă în zone de supleți $\frac{b}{t}$ admise în practica ingierească o bună concordanță a relațiilor propuse cu rezultatele ex-

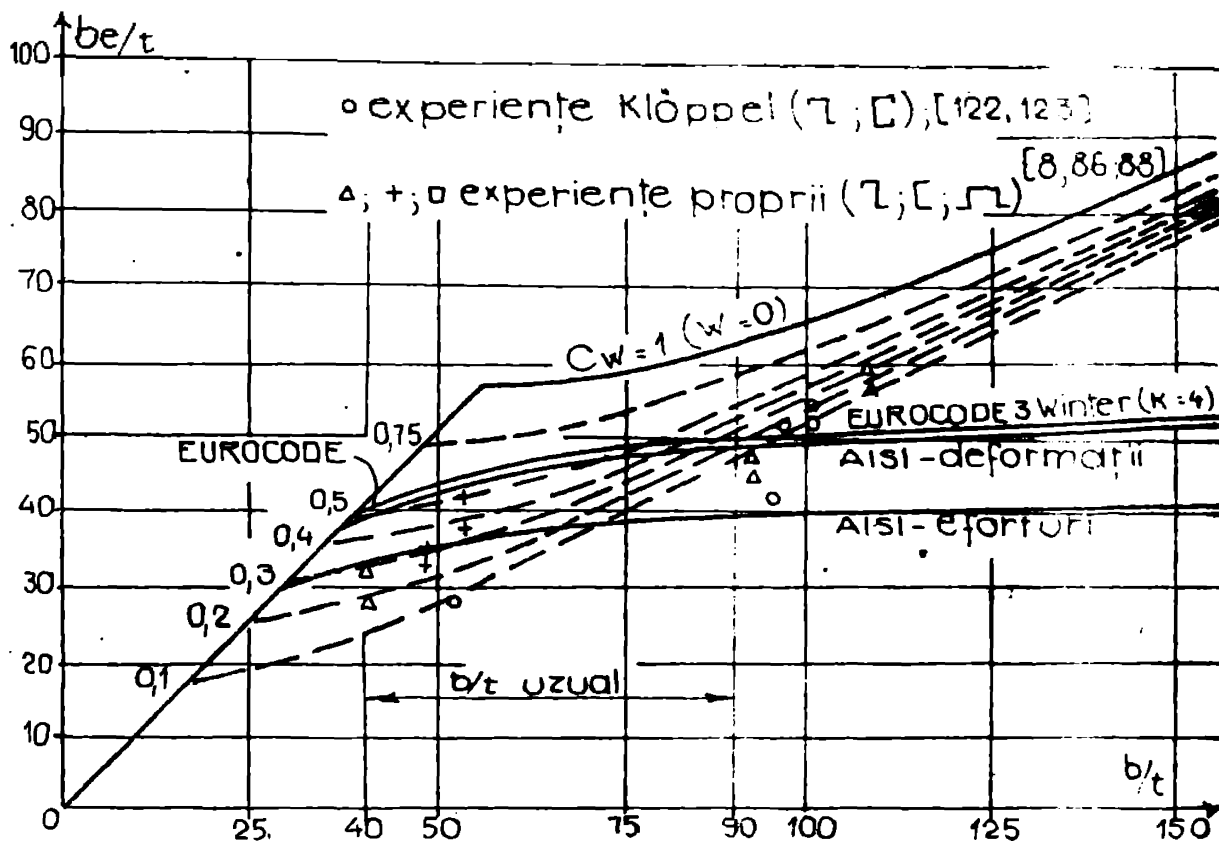


fig. 8.11

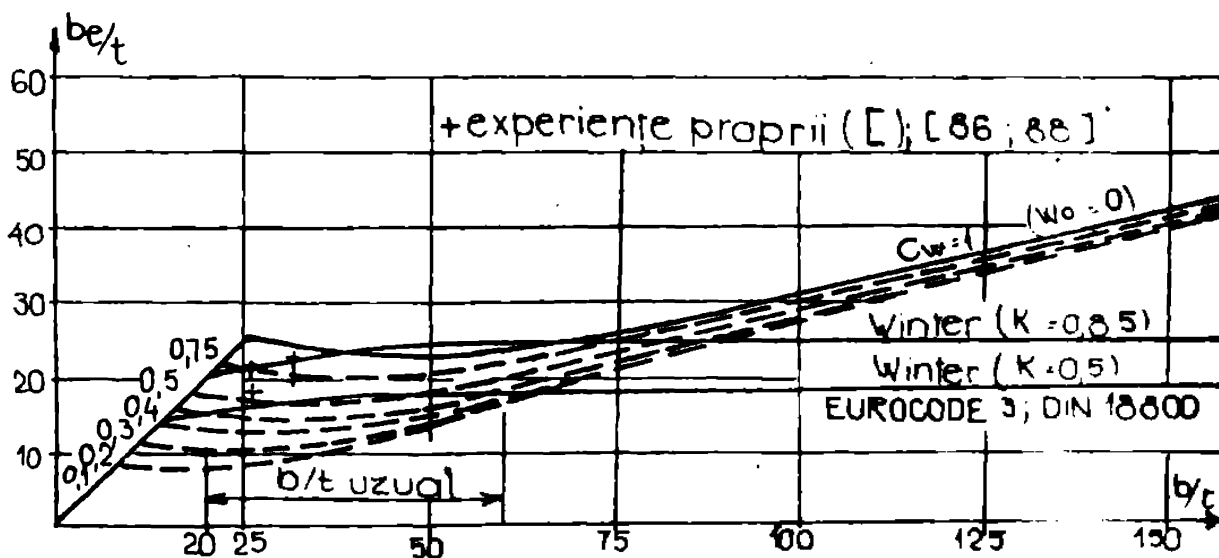


fig. 8.12

perimentale și cu normele de calcul pentru valori ale factorului imperfecțiunilor α_w de 0,5 pentru elementele rigidizate și respectiv 0,75 pentru elementele nerigidizate. Cu aceste valori rezultă următoarele relații pentru calculul lățimii echivalente.

- elemente rigidizate:

$$\frac{b_e}{t} = \left[0,5 + \frac{0,9}{(b/t)^2} \frac{E}{\sigma_{\max}} \right] \frac{b}{t} \quad (8.33)$$

- elemente nerigidizate :

$$\frac{b_e}{t} = \left[0,254 + \frac{0,47}{(b/t)^2} + \frac{E}{\sigma_{\max}} \right] \frac{b}{t} \quad (8.34)$$

Cu relațiile (8.33) și (8.34) se poate determina lățimea echivalentă ținând seama de efectul imperfecțiunilor geometrice datorate procesului de laminare sau îndoire a profilelor cu pereți subțiri formate la rece. Pentru coeficientul de voalare K sînt cunoscute relații de calcul date într-o serie de lucrări de specialitate /43/, /44/, /120/, /121/, care introduc efectul gradului de încăstrare elastică a pereților subțiri. Se poate aprecia, însă, că pentru calculele practice se pot utiliza valorile propuse de Winter : de altfel, se pot stabili relații de tip (8.33) și (8.34) pentru coeficienți de voalare diferențiați pe timpuri de pereți din relațiile generale (8.29) și (8.30).

8.5.3. Determinarea curbelor de voalare.

La congresul Internațional de stabilitate de la Paris, în 1983, /49/ s-a pus cu acuitate problema elaborării unor curbe de voalare după modelul celor utilizate pentru bare. Parametrii care ar trebui luați în considerare în definirea acestor curbe, sînt mai numeroși decît în cazul barelor : suplețea pereților $\frac{b_e}{t}$; imperfecțiunile geometrice și de material ; distribuția tensiunilor reziduale ; legăturile cu pereții adiacenți ; etc. Totodată, aceste curbe ar trebui să cuprindă într-o manieră unitară compresiunea centrică, excentrică și compresiunea cu încovoiere.

Dacă relațiile (8.33) și (8.34) se transformă după modelul (8.20) se pot trasa curbele de voalare din figura 8.8, valabile pentru pereții subțiri (plăci) realizați din OL. 37.

Se pune în evidență buna alegere a factorului de imperfecțiune, c în relațiile (8.33) și (8.34) prin comparația cu testele experimentale.

Asemenea curbe de voalare, valabile în această formă numai pentru cazul compresiunii excentrice, se pot trasa și pentru alte calități de oțeluri. În funcție de ordinul de mărime al imperfecțiunilor inițiale, stabilit statistic pe loturi de profile, și de calitatea oțelului, se intră pe una din cele patru curbe pentru determinarea supleții echivalente. b_e/t , cu care se intră în relațiile de interacțiune cu flambajul general.

8.6. TENSIUNI SI FORTE CRITICE PENTRU CALCULUL BARELOR CU PEREȚI SUBȚIRI, ÎN DOMENIUL POST-CRITIC, INTERACȚIUNEA FLAMBAJULUI GENERAL CU VOALAREA, /84/.

Comportarea unei bare cu pereți subțiri într-una din formele de instabilitate FI - flambaj prin încovoiere, PIR - flambaj prin încovoiere-răsucire sau V- voalare poate fi reprezentată printr-o relație /189/ de tip Perry :

$$(1-\bar{N})(1-\bar{N}\lambda^2) + \eta\bar{N} = 0 \quad (8.35)$$

în care η este un factor de imperfecțiuni, iar \bar{N} sau $\bar{\sigma}$ și λ se

dau în tabelul 8.3.

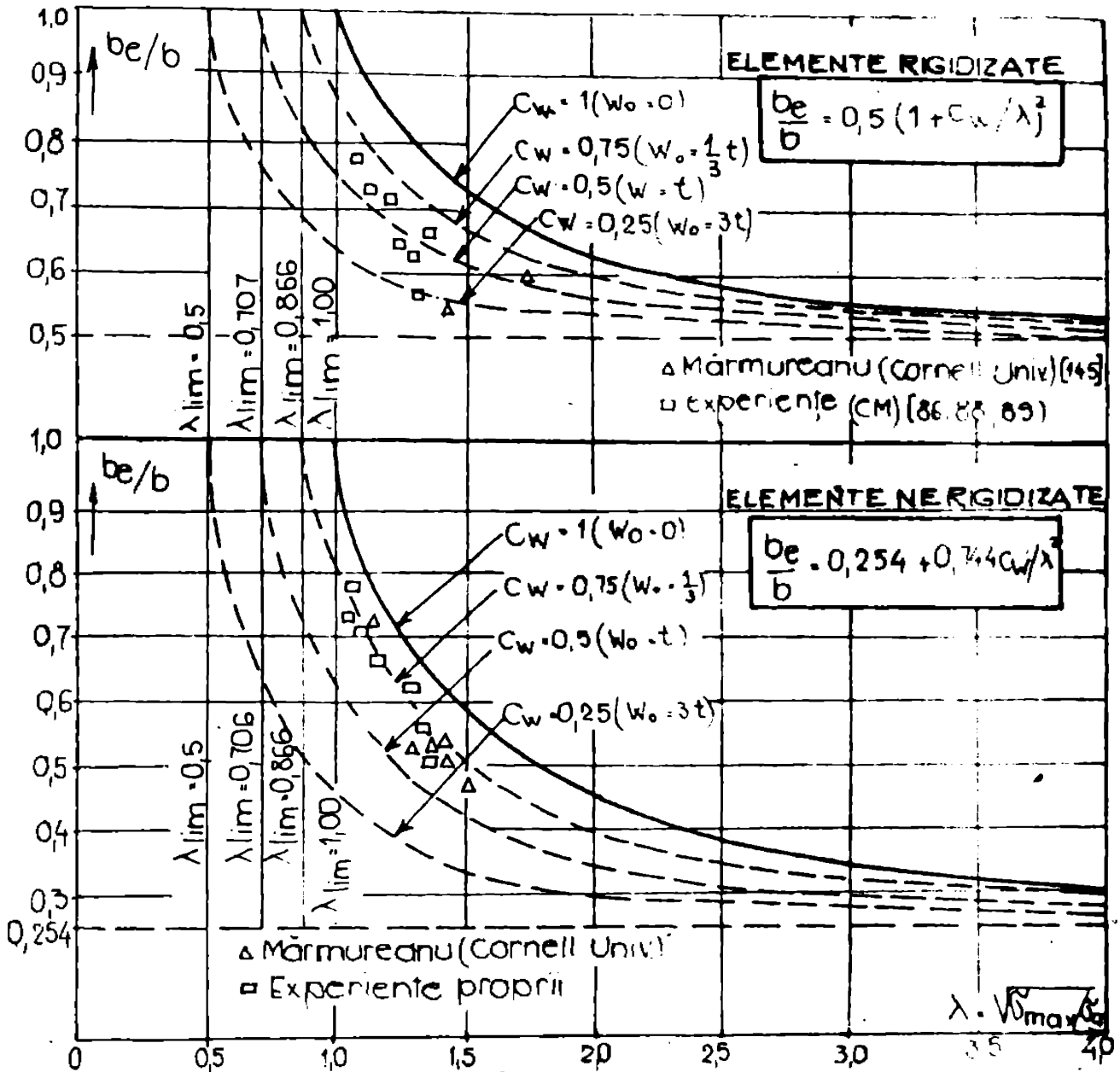


Fig. 8.13

Relația (8.35) este valabilă totodată și în cazul formelor de instabilitate cuplată (FI + V) și (FIR + V) înlocuind N_{pl} (σ_{cr}) prin N_{cr} (σ_{cr}) la voalare.

Pentru voalarea pereților Brahan [17] propune relația

$$(1 - \bar{N}_v) (1 - \bar{N}_v \bar{\lambda}_v) = \alpha (\bar{\lambda}_v - 0,8) \bar{N}_v \quad (8.36)$$

în care N_v se estimează în maniera următoare

$$N_v = A \sigma_{v,med} + A^c \sigma^c ; \quad \sigma_{v,med} = \frac{\sum b_i t_i \sigma_{v,i}}{\sum b_i t_i} \quad (8.37 a, b)$$

Tensiunile la colțuri σ^c se obțin ca semisume a tensiunilor de voalare $\sigma_{v,i}$ a pereților i adiacenți. Coeficientul de imperfecțiune α se în egal cu coeficientul e_w dat de (8.28).

Forța critică de voalare se determină cu (8.36) pentru a calculat pentru OL 37, $\kappa = 0,85$ și $\alpha = c_w = 0,5$. Rezultă :

$$\bar{N}_v - \delta \bar{N}_v + \beta = 0, \text{ unde } \beta = \frac{1}{\lambda}, \delta = 1,5 + 1,8 \beta. (8.38)$$

tabelul 84

tipul de instabilitate.	$\bar{\sigma}; \bar{N}$	$\bar{\lambda}$	formule si notatii
FI	$\bar{\sigma}_f = \frac{\sigma_f}{\sigma_c}$ $\bar{N}_f = \frac{N_f}{N_{pl}}$	$\bar{\lambda} = \frac{\lambda}{\lambda_e}$	$\sigma_f, (N_f)$; tensiunea (forța) ultimă $\sigma_c, (N_{pl})$, limita de curgere $\lambda = l_f$; sveltetea barei $\lambda_e = \frac{\pi}{\sqrt{\sigma_c E}}$
FIR	$\bar{N}_{cr} = \frac{N_{cr}}{N_{pl}}$	$\lambda_{tr} = \frac{\lambda_{tr}}{\lambda_e}$	$N_{cr} = \frac{1}{2\kappa} [N_y + N_r - \sqrt{(N_y - N_r)^2 + 4\kappa N_y N_r}]$ $N_y = \frac{\pi^2 E I_y}{l_f^2}; N_r = \frac{1}{\omega^2} [\frac{\pi^2 E I \omega}{l_{fr}^2} + G I_r]$ $l_c^2 = l_x^2 + l_y^2 + y_c^2$
V	$\bar{\sigma}_v = \frac{\sigma_v}{\sigma_c}$ $\bar{N}_v = \frac{N_v}{N_{pl}}$	$\bar{\lambda}_v = \sqrt{\frac{\sigma_c}{\sigma_{cr}}}$	σ_c - limita de curgere $\sigma_{cr} = \kappa \frac{\pi^2 E}{12(1-\nu^2)} (\frac{t}{b})^2$ σ_v - tensiunea ultimă de voalare

Se face remarcă că și această relație este confirmată de testele experimentale /84/, /85/.

8.6. METODA SI ALGORITM PENTRU ANALIZA INSTABILITATII BARELOR CU PERETI SUBTIRI SOLICITATE LA COMPRESIUNE CENTRICA SI ECCENTRICA /53/, /64/, /65/, /68/.

8.6.1. Prezentarea generală a metodei.

În general, în normele de calcul la stabilitate a barelor cu pereți subțiri, pentru verificarea la voalare pereții se consideră că lucrează cu niște plăci independente aflate într-o anumită situație de rezemare pe cele două laturi opuse care modelează conexiunile cu pereții adiacenți. Sarcina critică de bifurcare a echilibrului rezultă din cea mai mică valoare a tensiunilor critice corespunzătoare pereților componente. Acest mod de abordare în analiza stabilității barelor cu pereți subțiri, la care flambajul general interacționează cu voalarea conduce la subevaluări a capacității portante a acestora.

Intr-o lucrare din 1970 Unger /123/ propune o metodă pentru studiul stabilității barelor cu secțiune dublu T monosimetrică solicitate la compresiune cu încovoire prin care problema bidimen-

sională este redusă la una monodimensională evitându-se în alcătuirea matricelor de rigiditate și de transfer : ecuația de stabilitate se integrează numeric, cu metoda Runge-Kutta introducând condiții de legătură care modelează conlucrarea dintre pereți, obținându-se în final încărcarea critică și tensiunile critice de flambaj. Pe baza metodei lui Unger, Klöppel și Bilstein /122/ propun un procedeu pentru analiza stabilității barelor cu pereți subțiri sollicitate la compresiune centrică și excentrică. Pornind de la această metodă, formula-tă matricial, s-a pus la punct un algoritmu pe baza căruia s-a elabo-rat programul de calcul STABAS.

8.7.2. Algoritmul de calcul.

Ecuația diferențială care caracterizează comportarea la stabili-tate a pereților componenți ai secțiunii barelor cu pereți subțiri es-te de forma următoare :

$$D \nabla^4 w + \sigma \cdot t \frac{\partial^2 w}{\partial x^2} = 0, \tag{8.39}$$

în care D este rigiditatea la încovoiere a plăcilor iar pentru defor-mația w se adoptă o formă sinusoidală

$$w(x,y) = \bar{w}(y) \sin \frac{m \pi x}{l}, \tag{8.40}$$

unde m și l reprezintă numărul și, respectiv, lungimea semiundelor de voalare. Dacă pentru muchiile sollicitate, într-o secțiune x = constant, se consideră condiții de margine de tip „vier”, problema bidimensiona-lă se reduce la una monodimensională. Ecuația diferențială care re-zultă prin înlocuirea expresiei (8.40) în (8.39) se integrează cu „aju-torul metodei Runge-Kutta”. În figura 8.14 este pusă în evidență moda-litatea în care sînt luate în considerare condițiile de legătură pe muchiile i ale profilului.

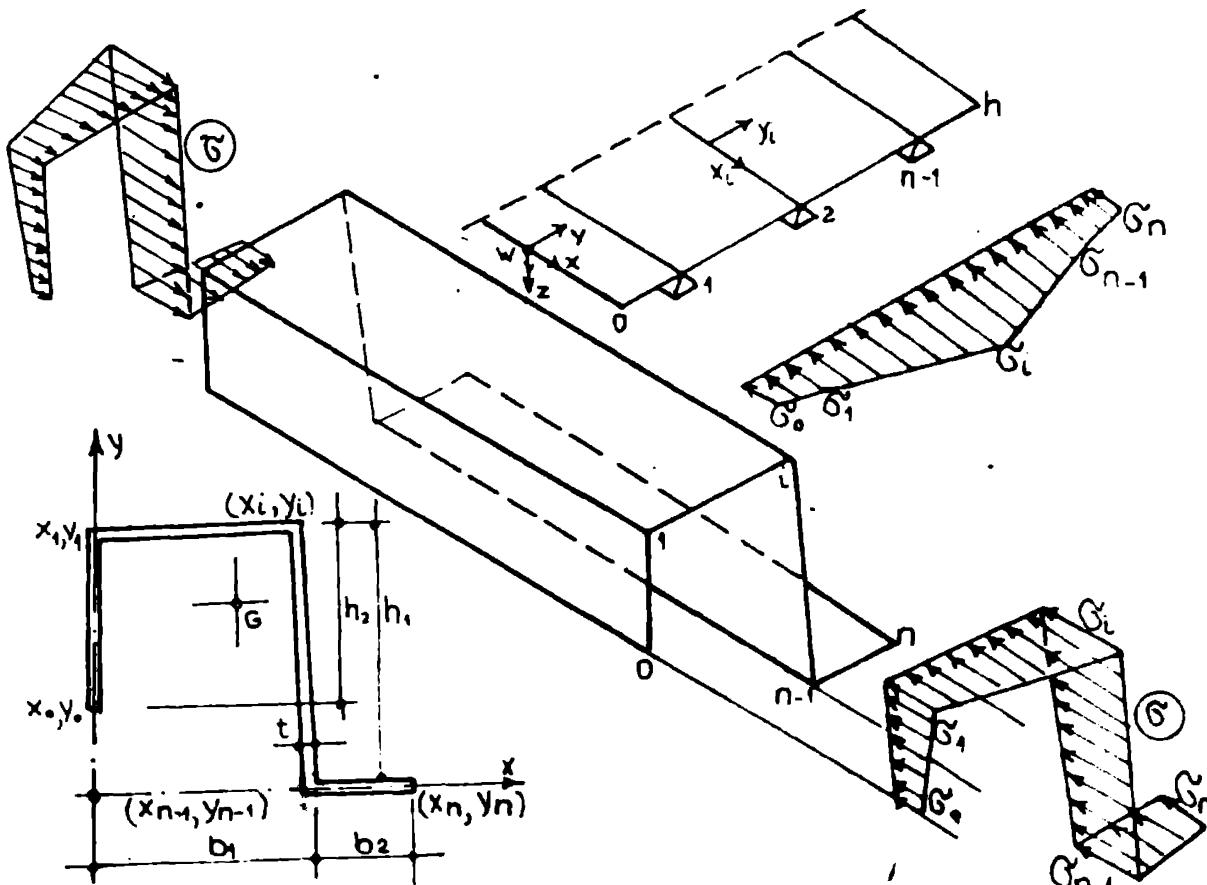


fig 8.14

Vectorul de stare caracteristic muchiei i este de forma :

$$\{U\}_{y_i} = \left[w \frac{\partial w}{\partial y} \quad M \quad T \right]_{y_i}^T \quad (8.41)$$

în care M și T sînt respectiv momentul încovoietor și forța tangențială. Între două muchii consecutive trecerea se face prin intermediul unei matrici de transfer $[F]$.

$$\{\bar{U}\}_{y_{i+1}} = [F] \{U\}_{y_i} \quad (8.42)$$

Se definesc vectorii de stare expandați, inițial $\{\bar{U}\}_{y_0}$ și, respectiv, final $\{\bar{U}\}_{y_n}$, care caracterizează forma barei:

$$\{U\}_{y_0} = \left[w_0 \left(\frac{\partial w}{\partial y} \right)_{y_0} \quad M_0 \quad T_0 \quad T_1 \Delta T_2 \dots \Delta T_i \dots \Delta T_{n-1} \right]_{y_0}^T \quad (8.43)$$

$\ell x(n+3)$

$$\{\bar{U}\}_{y_n} = \left[w_1 \quad w_2 \dots w_i \dots w_n \left(\frac{\partial w}{\partial y} \right)_{y_0} \quad M_n \quad T_n \right]_{y_0}^T \quad (8.44)$$

$\ell x(n+3)$

în care ΔT_i reprezintă salturile de forță tăietoare la trecerile peste muchii.

Între cei doi vectori se stabilește o relație de legătură de forma :

$$\{\bar{U}_n\}_{\ell x(n+3)} = [\bar{F}]_{(n+3) \times (n+3)} U_0_{\ell x(n+3)} \quad (8.45)$$

În componența matricii $[\bar{F}]$ intră vectorii deformațiilor și eforturile unitare:

$$[\bar{F}] = \left[\left\{ \bar{F}_{w_0} \right\} \left\{ \bar{F} \left(\frac{\partial w}{\partial y} \right)_{y_0} \right\} \left\{ \bar{F}_{M_0} \right\} \left\{ \bar{F}_{T_0} \right\} \left\{ \bar{F}_{\Delta T_1} \right\} \dots \left\{ \bar{F}_{\Delta T_{n-1}} \right\} \right] \quad (8.46)$$

în care, spre exemplu :

$$\left\{ \bar{F}_{w_0} \right\}_{\ell x(n+3)} = [1 \quad 0 \quad 0 \quad \dots \quad 0]_{\ell x(n+3)}^T ; \left\{ \bar{F}_{M_0} \right\}_{\ell x(l+3)} = [0 \quad 1 \quad 0 \quad 0 \quad \dots \quad 0]_{\ell x(l+3)}^T \quad (8.47)$$

$$\left\{ \bar{F} \left(\frac{\partial w}{\partial y} \right)_{y_0} \right\}_{\ell x(n+3)} = [0 \quad 0 \quad 1 \quad 0 \quad \dots \quad 0]_{\ell x(n+3)}^T ; \left\{ \bar{F}_{\Delta T_{n-1}} \right\}_{\ell x(n+3)} = [0 \quad \dots \quad 0 \quad 0 \quad 1]_{\ell x(n+3)}^T$$

În funcție de tipul secțiunii transversale a barei cu pereți subțiri, simplă sau dublu-conexă, condițiile de margine se introduc adecvat prin intermediul vectorilor $\{\bar{U}_{y_0}\}$ și $\{U_{y_n}\}$.

În conformitate cu aceste condiții de margine sistemul de ecuații (8.45) se simplifică printr-o partiționare corespunzătoare. Forțele critice se obțin din condiția ca sistemul de ecuații (8.45) să admită soluții distincte nebanale. Programul STABAS elaborat pe baza acestui algoritm este prezentat în capitolul X, cu exemple numerice și teste experimentale de comparație.

8.8. CONCLUZII

Problemele de stabilitate ale structurilor cu pereți subțiri ale stăvililor metalice se încadrează în problemele generale ale comportării critice și postcritice ale plăcilor plane și curbe. Barele cu pereți subțiri, în calculele de stabilitate se tratează, la rîndul lor, ca structuri compuse din plăci plane subțiri. Din acest punct de vedere rezultatele studiilor de stabilitate întreprinse pe bare cu pereți subțiri își vor găsi întotdeauna aplicabilitatea în analiza de stabilitate a stăvililor, cu precădere în cazul acelor care se pot schematiza fizic cu bare cu pereți subțiri sau ca suprafețe-prismatice lungi.

În ultimii ani s-au realizat un număr foarte mare de studii și încercări experimentale, atît pe panouri izolate, rigidizate sau nu, cît și pe bare. Aceste cercetări experimentale au fost completate cu studii teoretice bazate, în general, pe simularea pe calculator a comportării elementelor cu pereți subțiri prin intermediul metodei elementelor finite. Această tehnică permite în prezent introducerea în calcul a imperfecțiunilor geometrice și de material. Pentru calculele practice, în proiectare, sînt necesare metode simplificate, justificate însă cu rigurozitate prin teorie și experiment. Din acest punct de vedere, metoda lățimii echivalente asigură gradul de simplitate cerut de aplicațiile ingineresti, fapt care face să fie acceptat în aproape toate normativele care se ocupă de calculul barelor cu pereți subțiri. În această "competiție" a normelor de calcul conceptul de "lățime echivalentă" este deosebit de în avânt în comparație cu conceptul de "grosime echivalentă", amintit anterior, sau cu conceptul de "rigiditate echivalentă" utilizat cu succes de o serie de autori în cazurile de interacțiune a flambajului general cu voalarea /98/, /177/. În /79/ Edlund stabilește o relație de legătură între lățimea echivalentă și rigiditatea axială relativă definită cu ajutorul modului de elasticitate secant E_s , pentru cazul plăcilor comprimate.

Relațiile (8.33) și (8.34) întrunesc condițiile de simplitate și exactitate tehnică cerute de proiectare, iar curbele de voalare propuse pe bara lor reprezintă o premieră în acest domeniu.

Relația (8.35) oferă posibilitatea abordării într-o manieră unitară a fenomenelor de instabilitate a barelor cu pereți subțiri, evaluarea imperfecțiunilor și a lui σ_v respectiv N_v conform metodologiei arătate fiind bine confirmată de experimente.

Programul de calcul STABAS, realizat pe baza algoritmului prezentat, este de asemenea o premieră, fiind un instrument de calcul și investigație teoretică deosebit de util în proiectarea unor structuri eficiente din bare cu pereți subțiri.

În final, se face remarcă că, ținînd seama de rezultatele prezentate în acest capitol, se impune revizuirea STAS 10108/2-83, care este deficitar în privința evaluării rezistenței postcritice a barelor cu pereți subțiri.

C A P I T O L U L IX

CERCETARI EXPERIMENTALE ASUPRA COMPORTARII POSTCRITICE A BARELOR CU PEREȚI SUBȚIRI FORMATE LA RECE SOLICITATE LA COMPRESIUNE CENTRICA SI EXCENTRICA. /60/, /66/, /88/ /89/.

9.1. OBIECTUL CERCETĂRILOR

Barele cu pereți subțiri formate la rece, solicitate la compresiune, își pot pierde stabilitatea prin flambaj prin încovoiere sau prin încovoiere-răsucire, cu sau fără voalarea pereților componente. Luarea în considerare a interacțiunii acestor fenomene - voalarea neconstituind o stare limită ultimă - și cercetarea conlucrării acestor fenomene în domeniul post-voalat, aspecte mai puțin cercetate în prezent poate constitui o sursă însemnată de economii. În baza concluziilor din /75/ și /90/, care indică existența unui număr mare de încercări pe profilele închise, dar un număr redus pe cele deschise, cercetările experimentale au fost axate pe profilele deschise. Obiectul cercetărilor este determinarea experimentală a încălcării ultime, a tensiunilor maxime ultime, a numărului, lungimii și amplitudinilor semiundelor de voalare, precum și a caracterului pierderii stabilității barelor comprimate. Cunoașterea acestor mărimi are drept scop testarea și fundamentarea unor procedee noi de calcul, în domeniul post-voalat, privind determinarea încălcărilor ultime, a tensiunilor critice, a lățimilor echivalente reduse, a rigidităților reduse etc. necesare studierii formelor de instabilitate cuplate.

Rezultatele cercetărilor experimentale au ca scop, deci, să valideze procedeele de calcul propuse în capitolul VIII, pe de o parte, și să asigure un fond de date și informații cu caracter experimental și fenomenologic pentru studiul comportării barelor cu pereți subțiri și a structurilor ce pot fi modelate fizic ca bare cu pereți subțiri, pe de altă parte.

9.2. STABILIREA PARAMETRILOR PROGRAMULUI EXPERIMENTAL

Pe baza constatărilor expuse, cercetările au fost orientate spre profile monosimetrice, $[$, fără reborduri și spre profile cu simetrie punctuală, Γ , cu reborduri, care au indicii generali de formare la rece cuprinși în intervalele : $1 \leq h/b \leq 4,5$; $20 \leq b/t \leq 50$ și $0,28 \leq i_y/i_x \leq 0,80$.

Pentru obținerea unor rezultate experimentale de largă utilizare, caracteristicile geometrice ale barelor încercate, extrase din domeniile indicate, au fost stabilite în funcție de parametrii : $s = b/t$ (zveltetea de perete a tîlpiilor); t , (grosimea peretelui); $k = h/b$; $m = i_y/i_x$; $n_x = \lambda_x/s$ și $n_y = \lambda_y/s$; pentru care s-a căutat încadrarea în valorile propuse în tab.9.1. pentru două categorii de lungimi de bare (lungi și scurte). Aceste valori asigură un câmp de investigații experimentale suficient de cuprinzător. Cu parametrii $s=b/t$; t ; $k=h/b$; propuși în tab.9.1 s-au obținut valorile dimensiunilor principale (b , h) ale tuturor secțiunilor transversale și profilele $[$ și Γ alese. Rezultatele sînt redată sintetic în tab.9.2., din care au fost

tabelul 9.1

tip. elem.	param.	valori propuse
bare lungi bare scurte	$s = b/t$	20; 25; 30; 35; 40;
	t [mm]	1,50; 2,00; 3,00; 4,00;
bare lungi bare scurte	$k = b/t$	1,0; 1,5; 2,0; 2,5; 3,0;
	$m = I_y/I_x$	0,30; 0,40; 0,55; 0,80;
bare lungi	$n_x = \lambda_x/s$	0,75; 1,00; 1,50; 3,00;
	λ_x	30; 35; 40; 45; 60;
	$n_y = \lambda_y/s$	2,50; 3,00; 3,50; 4,00; 10;
	λ_y	75; 90; 105; 140;
bare scurte	$n_x = \lambda_x/s$	0,50; 1,00; 2,00;
	λ_x	20; 25; 30; 40;
	$n_y = \lambda_y/s$	1,50; 2,00; 2,50; 3,50; 4,5;
	λ_y	50; 60; 70; 90;

excluse profilele cu valori $m = I_y/I_x$ efective prea diferite de valorile propuse în tab. 9.1. În tab. 9.3 în baza parametrilor propuși, $n_x = \lambda_x/s$; $n_y = \lambda_y/s$; s-au determinat zveltețele de bară, λ_x și λ_y , și lungimile de flambaj din încovoiere l_{fx} și l_{fy} atât pentru barele lungi cât și pentru cele scurte. În mod similar au fost excluse lungimile de flambaj corespunzătoare zveltețelor λ_x și λ_y diferite de valorile propuse. În baza lungimilor de flambaj astfel determinate, s-a ales lungimea barelor lungi $l = 180$ cm, și a barelor scurte $l = 120$ cm (bare dublu articulate la extremități) tipizându-se totodată și distanța dintre aparatele de încărcare, ale preseii de flambaj.

Au rezultat deci dimensiunile profilelor, lungimile geometrice ale barelor și parametrii efectivi, redați în tab. 9.4. Aceste bare au

tabelul 9.2

tip element	parametrii propuși					valori obținute			
	$s = \frac{b}{t}$	t [mm]	$b \cdot s \cdot t$ [mm]	$k = \frac{h}{b}$	$h \cdot k \cdot b$ [mm]	felul secțiunii	I_y [cm]	I_x [cm]	$m = \frac{I_y}{I_x}$
bare lungi bare scurte	20	2,0	40,0	2,0	80,0	[80 x 40 x 2]	1,26	3,19	0,395
		4,0	80,0	1,0	80,0	[80 x 80 x 4]	2,60	3,36	0,776
	25	2,0	50,0	2,0; 2,5	100; 125	[110 x 55 x 2]	1,74	4,41	0,396
		3,0	75,0	1,5	112,5	[120 x 80 x 3]	2,59	4,95	0,524
	30	2,0	60,0	1,5	90,0	[100 x 65 x 2]	2,11	4,13	0,510
	35	1,5	52,5	2,5; 3,0	131; 158	[140 x 50 x 2] 15	1,58	5,78	0,273
40	1,5	60,0	2,5; 3,0	150; 180	[160 x 60 x 2] 15	1,84	6,69	0,275	

fost încercate la compresiune centrică și excentrică, pe trepte de încărcare, pînă la pierderea stabilității. S-au încercat 39 de bare, [și] articulate spațial la capete pentru flambajul din încovoiere, respectiv încastrare, pentru cel din răsucire. Atît pentru barele lungi, cît și pentru cele scurte, s-au prevăzut cîte 3 moduri de aplicare a încărcării: a- centric ($e_x = 0$, $e_y = 0$); b- excentric, pe axa minimă de inerție a secțiunii pentru profilele [($e_x = 0$, $e_y = 2$ cm) respectiv pe axa maximă la profilele], ($e_x = 2$ cm, $e_y = 0$); c- excentric, pe bisectoarea axelor principale de inerție ($e_x = 2$ cm, $e_y = 2$ cm). Mărimile excentricităților au fost stabilite în funcție

de sensibilitatea profilelor la răsucire și voalare, în conformitate cu / /, prin încercări preliminare. S-au utilizat două categorii de

tabelul 93

secțiunea	bare lungi							bare scurte							
	parametrii propuși							$\frac{E}{\sigma_{0,2}}$	parametrii propuși						$\frac{E}{\sigma_{0,2}}$
	$n_x \cdot \frac{\lambda_x}{S}$	$\frac{\lambda_x \cdot l_x}{n_x \cdot S}$	$\frac{l_x \cdot l_x}{i_x \cdot \lambda_x}$	$n_y \cdot \frac{\lambda_y}{S}$	$\frac{\lambda_y \cdot l_y}{n_y \cdot S}$	$\frac{l_y \cdot l_y}{i_y \cdot \lambda_y}$	$n_x \cdot \frac{\lambda_x}{S}$		$\frac{\lambda_x \cdot l_x}{n_x \cdot S}$	$\frac{l_x \cdot l_x}{i_x \cdot \lambda_x}$	$n_y \cdot \frac{\lambda_y}{S}$	$\frac{\lambda_y \cdot l_y}{n_y \cdot S}$	$\frac{l_y \cdot l_y}{i_y \cdot \lambda_y}$		
[80 x 40 x 2	3,00	60,0	191,0	7,00	140,0	176,4	1800	2,00	40,0	127,5	4,50	90,0	113,4	1200	
[80 x 80 x 4	3,00	60,0	201,6	3,50	70,0	182,0	1800	2,00	40,0	134,4	2,50	50,0	130,0	1200	
[110 x 55 x 2	1,50	37,5	165,4	4,00	100,0	174,0	1800	1,00	25,0	110,3	2,50	62,5	108,8	1200	
[120 x 80 x 3	1,50	37,5	185,6	3,00	75,0	194,3	1800	1,00	25,0	123,6	2,00	50,0	129,5	1200	
[100 x 65 x 2	1,50	45,0	185,9	3,00	90,0	189,9	1800	1,00	30,0	123,9	2,00	60,0	126,6	1200	
[140 x 50 x 20 x 15	1,00	35,0	202,3	3,00	105,0	165,9	1800	0,50	17,5	101,2	2,00	70,0	110,6	1200	
[160 x 60 x 20 x 15	0,75	30,0	200,7	2,50	100,0	184,0	1800	0,50	20,0	133,8	1,50	60,0	110,4	1200	

oțeluri, OL 37 și OL 52. Toate barele încercate au fost confecționate din tablă, prin formare la rece. Efectul ecruisării, determinat pe cale experimentală, în raport cu limita de curgere, corespunde unui spor

tabelul 94

secțiunea	caracteristicile geometrice ale secțiunii transversale						bare lungi				bare scurte			
	$k \cdot h \cdot b$	$S_t \cdot b \cdot t$	$S_i \cdot b \cdot t$	i_x [cm]	i_y [cm]	i_y / i_x	λ_x	λ_y	$\frac{\lambda_x}{S_t}$	$\frac{\lambda_y}{S_t}$	λ_x	λ_y	$\frac{\lambda_x}{S_t}$	$\frac{\lambda_y}{S_t}$
[80 x 40 x 2	2,00	19,00	38,00	3,19	1,26	0,395	-	-	-	-	37,62	95,23	1,98	50,2
[110 x 55 x 2	2,00	26,50	53,00	4,41	1,74	0,396	40,82	103,27	1,54	3,90	27,21	68,97	1,03	2,60
[100 x 65 x 2	1,54	31,50	48,00	4,13	2,11	0,510	43,56	85,50	1,38	2,71	29,06	56,81	0,92	1,81
[120 x 80 x 3	1,50	25,67	38,00	4,95	2,59	0,524	36,37	69,47	1,42	2,71	24,24	46,33	0,94	1,81
[80 x 80 x 4	1,00	19,00	18,00	3,36	2,60	0,776	53,56	69,18	2,82	3,64	35,71	46,15	1,88	2,43
[140 x 50 x 20 x 15	2,80	31,35	91,40	5,78	1,58	0,273	31,14	113,92	0,99	3,63	20,76	75,95	0,66	2,42
[160 x 60 x 20 x 15	2,65	38,00	104,50	6,69	1,84	0,275	26,91	97,83	0,71	2,57	17,94	65,22	0,47	1,72

maxim de 16,4%.

9.3. EFECTUAREA ÎNCERCĂRILOR

Încercările s-au executat pe o presă de flambaj de 20 tf, cu dispozitive universale de prindere și încărcare, care permit realizarea lungimilor de flambaj prin încovoiere, l_j , stabilite, și prin răsucire, l_r , rezultate din dimensiunile dispozitivelor de încărcare: $l_{j1} = 180$ cm; $l_{j2} = 120$ cm, dublu articulate spațial; $l_{j3} = 180$ cm, $l_r = 100$ cm, dublu încastrate (la răsucire); precum și aplicarea excen-

tricităților prevăzute : $e_x = e_y = 0$; $e_x = 0$ (2) cm, $e_y = 2$ (0) mm;
Pentru măsurarea deformațiilor specifice longitudinale și a tensiunilor, s-au utilizat traductori electrici rezistivi, 120/10, lipiți în secțiunile transversale de la mijlocul barelor, cu adezivi conductivi. La barele cu grosimea $t = 1,5$ mm s-au montat câte 12 traductori în secțiunea transversală, la extremitățile rebarurilor, aripilor, inimilor și la treimile acestora; la cele cu $t = 2$ mm și $t = 3$ mm, câte 6 traductori, la extremitățile aripilor și inimilor; la cele cu $t = 4$ mm, câte 12 traductori, doi câte doi față în față. Suplimentar, s-au montat traductori - la ultimele bare - și în secțiunile din vecinătatea reazemelor. Pentru depistarea efectului voalării la profilele \square s-au fixat traductori și în dreptul maximelor și minimelor undelor de voalare, ale extremităților țevilor, corespunzătoare semiundelor cu amplitudinile cele mai mari. Frecvența semiundelor - la o treaptă dată de încălzire - a fost stabilită prin încercări preliminare, iar fixarea traductorilor efectuată în poziția descărcată, a barei cu adezivi rapizi. Măsurarea deformațiilor specifice s-a efectuat electrostensometric cu o punte de măsură de precizie, legată la cutii de comutare cu echilibrare, în montaj electrorezistiv compensator de temperatură. Deplasările reazemelor și mijloacelor barelor s-au măsurat cu microcomparatoare 1/100 și fleximetre 1/10. Deformațiile din voalare s-au măsurat cu rigle gradate tip şubler și cu microcomparatoare cu fixare magnetică pe inimi. Încărcarea barelor, cu forțe de compresie centrică sau excentrică, s-a făcut în trepte de încălzire crescătoare, $P = (2,5 \dots 10)$ KN, după caz pentru care s-au stabilit, de fiecare dată, valorile deformațiilor specifice din traductori, mărimile deplasărilor din microcomparatoare și fleximetre, precum și numărul, lungimea și amplitudinea semiundelor de voalare. După cedarea barelor s-au stabilit mărimea încălzirilor ultime; P_{max} și caracterul cedării.

9.4. ANALIZA REZULTATELOR EXPERIMENTALE

Rezultatele cercetărilor experimentale efectuate pe barele lungi și scurte $\square 110 \times 55 \times 2$; $\square 100 \times 65 \times 2$; $\square 120 \times 80 \times 3$ și $80 \times 80 \times 3$ (barele 1 ... 29) sînt prezentate sintetic în tabelul 9.5, iar rezultatele cercetărilor realizate pe barele $\square 140 \times 60 \times 2 \times 1,5$ și $\square 160 \times 60 \times 2 \times 1,5$ lungi și scurte (barele 30 ... 39) sînt prezentate în tabelul 9.6. Valorile ϵ și σ obținute pe cele 5 bare în dreptul traductorilor, s-au reprezentat grafic, pe trepte de încălzire, pentru fiecare traductor în parte. S-au obținut 50 de familii de diagrame $\epsilon - P$, respectiv $\sigma - P$. S-au reprezentat de asemenea diagramele deplasărilor $u - P$, $v - P$ din dreptul secțiunilor cu traductori, precum și diagramele amplitudinilor semiundelor de voalare $b\lambda - P$, ale tălpilor nerigidizate. S-au obținut 32 de familii de diagrame. Spațiul limitat nu permite prezentarea acestor diagrame. Pentru exemplificare se prezintă diagramele din fig. 9.1 - 9.3 și 9.3. În tab. 9.7. sînt indicate consumurile medii de oțel raportate la unitatea de forță respectiv de tensiune ultimă. În fig. 9.4, este arătată variația încălzirilor ultime, P_{max} , la barele lungi, în funcție de sveltețile $s_1(\square)$ și $s_2(\square)$ ale peretilor subțiri, componente. Analizînd valorile P_{max} din tabelul 9.5 și din tabelul 9.6 la aceleași tipuri de bare și excentricități, se constată că barele scurte (cu excepția barelor avînd $t = 4$ mm) pot fi încălzite cu 10% - 33% mai mult decît barele lungi datorită efectului

favorabil al zveltetelor de bară și al conlucrării din domeniul post voalat.

tabelul 9.5

tipul barei	index	nr. incerc.	excentricitate		P max [daN]	semiunde de voalare			σ_{max} [daN/cm ²]	forma de instabilitate		
			e _x [cm]	e _y [cm]		1) nr	2) l _a [mm]	3) b _a [mm]				
bare lungi : $l_f = 180\text{ cm}$, $l_r = 160\text{ cm}$	[110 x 55 x 2 OL 37	1	1	0	0	6500	5	320	1,10	-	IRV M ^v +m ^v	
	[100 x 65 x 2 OL 37	2	1	0	0	6550	12	133	1,95	1989	IRV M ^v	
		3	1	0	2	5000	12	133	1,87	2453	IRV M ^v +M ^v	
		4	1	2	2	1800	14	115	1,40	1717	IRV M ^v	
	[120 x 80 x 3 OL 52	5	1	0	0	15500	6	267	0,56	-	IRV M ^v +m ^v	
		6	1	0	2	13000	6	267	1,21	3010	IRV M ^v +m ^v	
		7	1	2	2	7800	4	400	0,55	2605	IRV M ^v +m ^v	
	[80 x 80 x 4 OL 37	8,9	2	0	0	20000*	5*	320*	-	2436	IRV M ^v	
		10,11	2	0	2	14900*	5*	320*	0,45	2233	IRV M ^v	
		12,13	2	2	2	9400*	-	-	0,98	2268	IRV M ^v +M ^v	
	bare scurte : $l_f = 180\text{ cm}$, $l_r = 160\text{ cm}$	[80 x 40 x 2 OL 37	14	1	0	0	5500	7	143	1,10	-	IRV M ^v +M ^v
		[110 x 55 x 2 OL 37	15	1	0	0	7300	5	200	1,15	-	VN ^v .m ^v .IR
		[100 x 65 x 2 OL 37	16	1	0	0	7000	5	200	2,00	2490	V M ^v .m ^v .I
17			1	0	2	5700	8	125	-	2461	V M ^v +m ^v .IR	
18			1	0	2	5900	-	-	-	-	V M ^v +M ^v .R	
[120 x 80 x 3 OL 52		19	1	2	2	3100	5	200	-	2510	V M ^v .m ^v .IR	
		20	1	0	0	20900	6	167	1,00	3774	V M ^v .m ^v .IR	
		21	1	0	2	14000	5	200	2,00	4299	V m ^v .m ^v .IR	
[80 x 80 x 4 OL 37		22	1	0	2	11700	-	-	-	-	V m ^v .IR	
		23	1	2	2	8000	4	250	-	1635	V M ^v .m ^v .R	
		24,25	2	0	0	20000*	9*	111*	0,31	2781	V M ^v .M ^v	
[80 x 80 x 4 OL 37		26,27	2	0	2	15500*	9*	111*	1,21	2646	V M ^v .m ^v	
		28,29	2	2	2	8100*	-	-	1,70	2772	V M ^v	

NOTE *) valori medii din două încercări

- 1) numărul maxim al semiunzelor de valoare pe tălpi;
- 2) lungimea medie a semiunzelor de valoare înaintea cedării;
- 3) amplitudinea maximă a semiunzelor de valoare pe tălpi;
- 4) I - încovăiere; R - torsiune; v - valoare
M^v - cedarea are loc în dreptul unei maxime de valoare;
m^v - cedarea are loc în dreptul unui minim de valoare;

tabelul 9.6

tipul barei	index	nr. incercari	excentr. fortei		P _{max} [dan]	nr. de semunde de valoare					d _λ ²⁾ [mm]	σ _{max} [dan/cm ²]	forma de instabilitate 4)	
			E _x [cm]	E _y [cm]		1)								
						5)	6)	7)	8)	9)				
bare lungi	L140x50x20 x 1,5 OL52	30	1	0	0	4000	8	8	7	7	9	200	2865	IRVM ^y (T, I)
		31	1	2	2	2250	5	5	5	5	4	320	3260	IRVM ^y (R, T)
	L160x60x20x1,5 OL52	32	1	0	0	6750	7	7	8	8	7	228	2545	IRVM ^y (T, I)
		33	1	2	0	3000	6	6	6	6	7	268	2165	IRVM ^y (T, I)
bare scurte	L140x50x20x1,5 OL52	34	1	2	2	2500	5	6	6	6	5	268	2690	IRVM ^y (R, J)
		35	1	0	0	4500	-	-	-	-	-	-	2475	IRVM ^y (R, J)
		36	1	2	0	3000	8	7	7	7	7	143	2469	IVRM ^y (T, T)
	37	1	2	2	3000	7	7	7	7	6	143	4380	IVRM ^y (R, J)	
	L160x60x20x1,5 OL52	38	1	0	0	7000	6	6	6	6	9	167	2215	IVRM ^y (T, J)
39		1	2	0	3500	7	7	7	6	7	143	2471	RVM ^y (R, J)	

NOTE: 1) ; 2) 4); 1; R; V; M^y; m^y, - vezi tabel 9.5
5); 6) pe reborduri; 7); 8) pe talpi; 9) pe inimă

tabelul 9.7

tipul barei	e _x = 0 ; e _y = 0					e _x = 0(2)cm, e _y = 2(0)cm					e _x = 2cm, e _y = 2cm					
	P _{max}	S _{max}	V	V _{Pmax}	V _{Smax}	P _{max}	S _{max}	V	V _{Pmax}	V _{Smax}	P _{max}	S _{max}	V	V _{Pmax}	V _{Smax}	
	KN	dan/cm ²	cm ³	cm ³ /KN	cm ³ /dan/cm ²	KN	dan/cm ²	cm ³	cm ³ /KN	cm ³ /dan/cm ²	KN	dan/cm ²	cm ³	cm ³ /KN	cm ³ /dan/cm ²	
bare lungi	L100x65x2 OL37	65,50	1989	828	12,7	41,7	50,00	2453	828	16,6	33,8	18,00	1717	828	46,0	48,2
	L120x80x3 OL52	159,00	-	1515	9,75	-	130,00	3010	1515	11,7	50,4	18,00	2605	1515	19,5	58,2
	L80x80x4 OL37	200,00	2436	1730	8,65	712	149,00	2233	1730	11,6	77,5	34,00	2258	1730	19,4	76,2
bare scurte	L140x50x20x1,5 OL52	40,00	2865	760	19,0	26,5	-	-	-	-	-	22,50	3260	760	33,8	23,4
	L160x60x20x1,5 OL52	61,50	2545	868	12,8	34,1	30,00	2165	868	29,0	40,1	25,00	2690	868	33,7	32,3
bare scurte	L100x65x2 OL37	70,00	2190	552	7,90	25,2	58,00	2461	552	9,55	22,5	31,00	2310	552	17,8	22,0
	L120x80x3 OL52	209,00	3774	1010	4,64	26,9	129,00	4299	1010	7,85	23,5	80,00	1639	1010	12,6	61,8
	L80x80x4 OL37	200,00	2781	1150	5,75	41,4	153,00	2646	1150	7,45	43,6	81,00	2772	1150	14,2	41,3
bare scurte	L140x50x20x1,5 OL52	45,00	2475	505	11,2	20,4	30,00	2469	505	16,8	20,4	30,00	4380	505	16,8	11,5
	L160x60x20x1,5 OL52	70,00	2215	575	8,20	25,8	35,00	2471	575	16,4	23,3	-	-	-	-	-

Din analiza diagramelor σ - P rezultă că variațiile tensiunilor pe grosimile pereților sînt mici la colțurile profilelor dar cresc spre marginile tălpilor nerigidizate, cu atît mai mult cu cît punctele de măsură sînt mai apropiate de maximele sau de minimele undelor de valoare. Datorită aceluiași motiv, precum și din cauza imperfecțiunilor geometrice și mecanice, tensiunile nu sînt repartizate uniform pe secțiune nici măcar în cazurile de compresiune centrică, chiar la trepte reduse de încărcare. În cazul barelor mai groase, tensiunile cresc liniar - în dreptul aceluiași traductor - pînă la treptele de încărcare (0,45 ... 0,70) P_{max}, după care creșterile sînt preponderent neliniare. În cazul barelor foarte

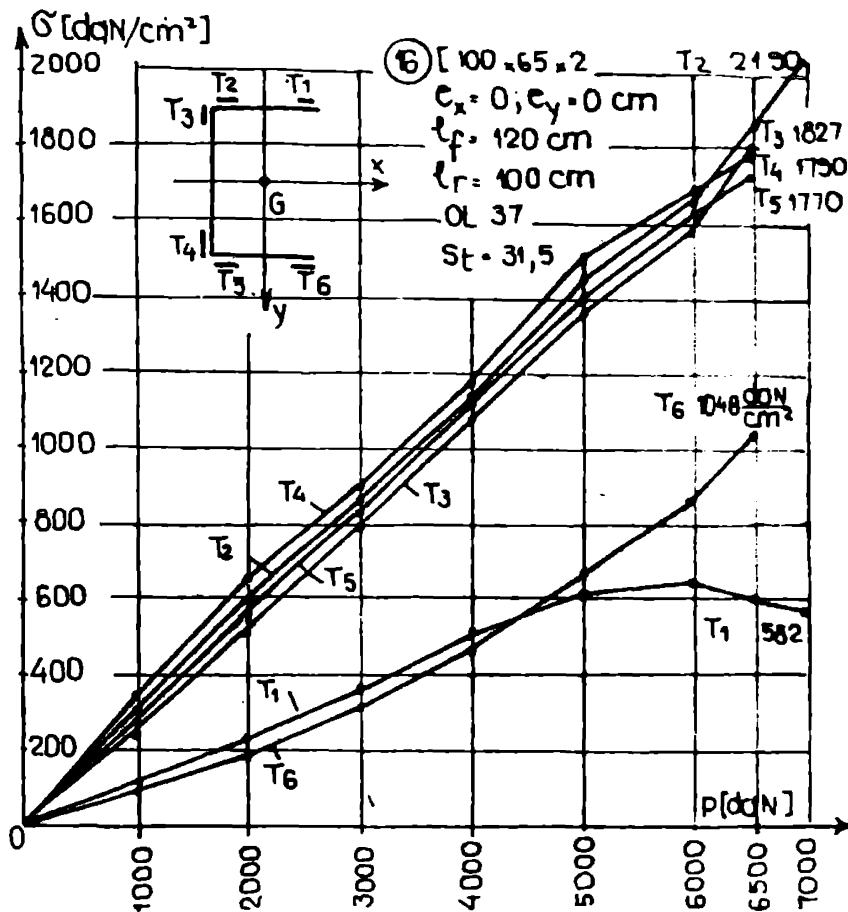
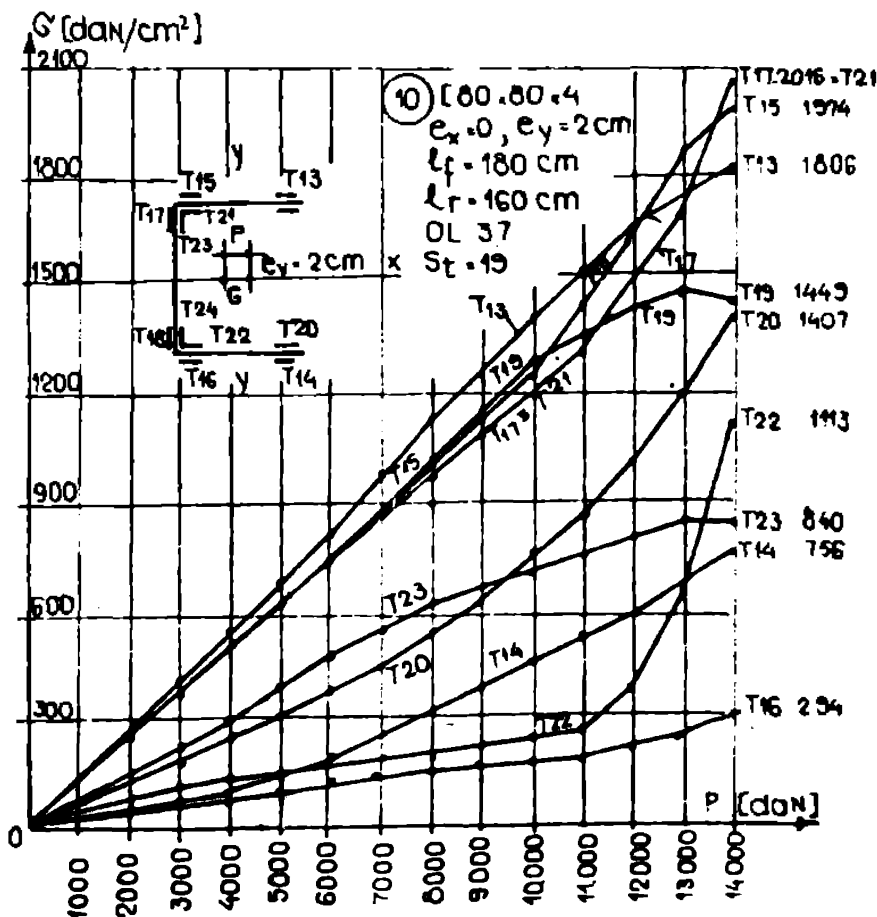


Fig. 9.1



subțiri, zona creșterilor liniare scade mult, iar comportarea tălpilor diferă esențial de comportarea inimilor, datorită apariției și modificării numărului și pozițiilor semiundelor de voalare, la creșterea încălzirii. Din interpretarea diagramelor $U - P, v - P, b_\lambda - P$, rezultă și o mare diferență de comportare între barele lungi și scurte. La primele apar încovoieri sau răsuciri mari, de ordinul II, însoțite de amplitudini mai mici ale semiundelor de voalare, în timp ce la barele scurte iau naștere încovoieri și răsuciri de ordinul I mici, cuplate cu amplitudini mari ale undelor de voalare. Studiarea diagramelor $P - a$ indică o scădere importantă a încălzirilor ultime, P_{max} , la creșterea zvelteții de perete, respectiv a excentricităților de încălzire. Scăderea cea mai însemnată corespunde creșterii zvelteții de perete a tălpilor nerigidizate (L). Din analiza consumurilor de oțel (tab. 9.7) rezultă că barele L mai groase ($t = 3 \dots 4$ mm) sînt mai economice în raport cu capacitatea de încălzire P_{max} , în timp ce barele L și L foarte subțiri au un consum ridicat de material din punctul de vedere al valorii tensiunilor G_{max} .

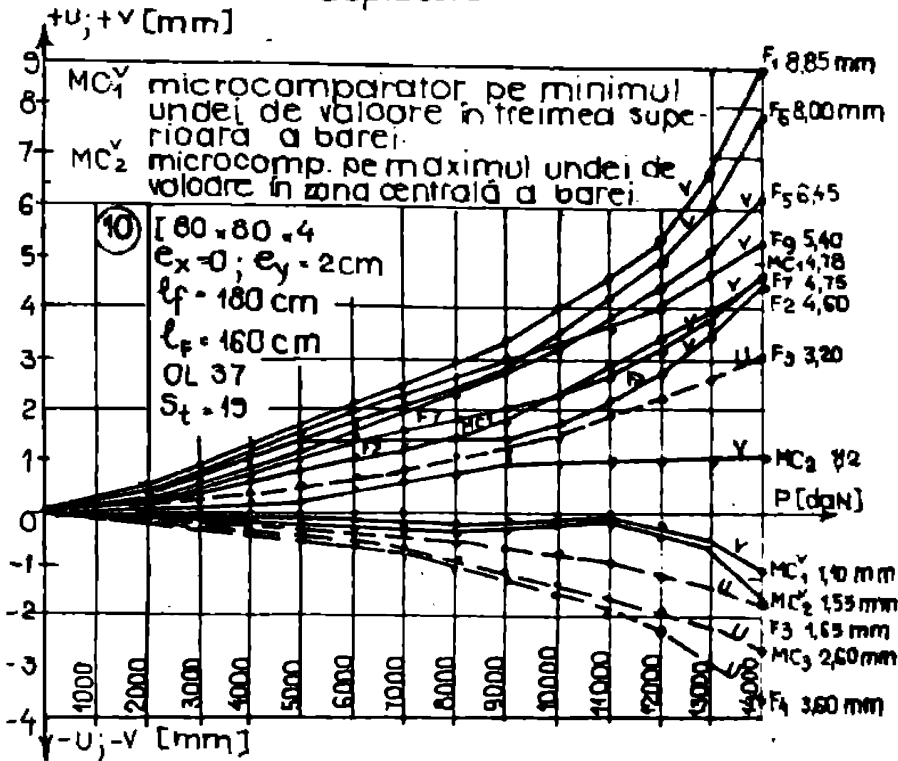
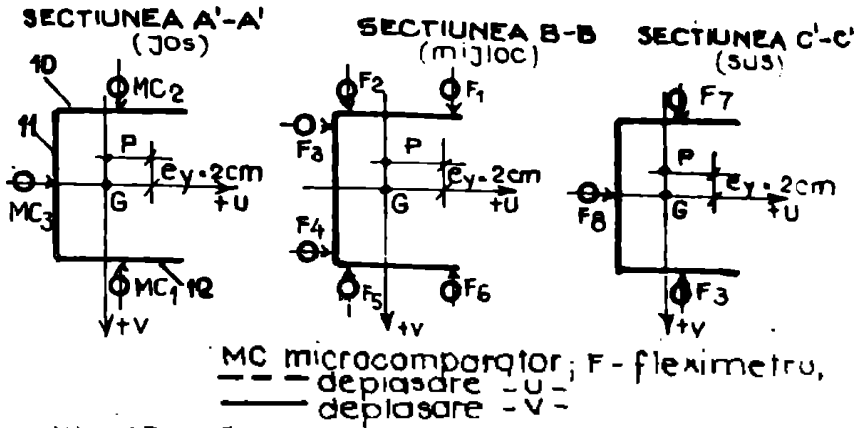
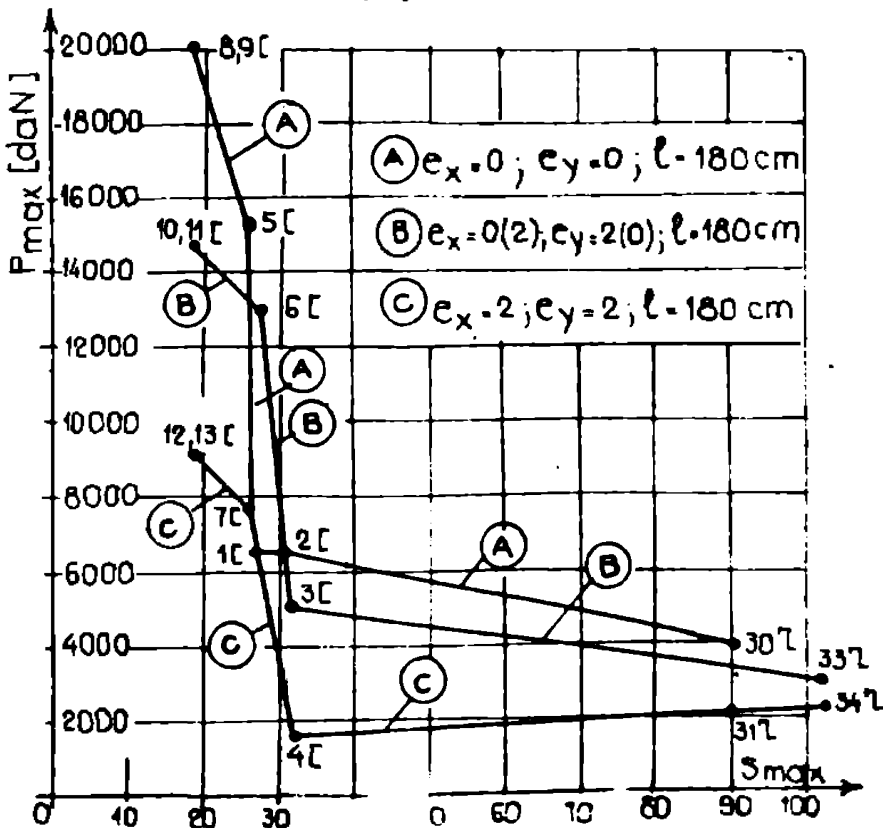


fig 9.3



5. CONCLUZII

Concluziile efectuate sunt în evidență existența unei interacțiuni complicate între flambajul prin încovoieră-răsucire și voalarea pereților și demonstrează complexitatea fenomenelor care iau naștere în timpul cuplării formelor de instabilitate: creșterea capacității de încărcare prin utilizarea domeniului postvoalat, modificarea substanțială a legilor de variație ale tensiunilor pe secțiune la creșterea forțelor de compresie; formarea și mișcarea undelor de voalare, creșterea numărului și a amplitudinii lor pe măsura sporirii încărcării, suprapunerea încovoierilor și răsucirilor mari de ordinul II peste voalări cu amplitudini de undă mici, în cazul barelor lungi și invers în cazul celor scurte, precum și micșorarea capacității de încărcare la creșterea gveltețelor de perete.

Valorile și observațiile fenomenologice obținute prin încărcările experimentale prezentate au servit la verificarea formulelor de calcul propuse în cap. VIII și a programului STAS 50. Totodată, ele constituie o valoare și utilă bază de date pentru studiul comportării barelor cu pereți subțiri.

C A P I T O L U L X

PROGRAME DE CALCUL AUTOMAT

10.1. GENERALITATI

Pe baza metodelor și a algoritmilor de calcul prezentate în capitolele IV, V, VIII, s-au elaborat programe de calcul automat cu aplicabilitate generală în analiza structurilor (ASEF) sau pentru rezolvarea unor probleme specializate (DSEB și STADAS).

La elaborarea acestor programe - în mod deosebit la programul multifuncțional ASEF - s-a avut în vedere respectarea parametrilor ceruți de ingineria programării /168/ :portabilitatea, eficiența, siguranța și claritatea programelor. În acest sens s-au aplicat în concepția și redactarea programelor principiile fundamentale ale ingineriei programării : modularizare, abstractizare, ascundere, localizare, uniformitate, completitudine și verificabilitate. Din acest punct de vedere se apreciază că programul ASEF constituie o concretizare practică a principiilor ingineriei de programe.

În același timp, la redactarea programelor, în mai multe variante, s-a ținut seama de dezvoltarea actuală a industriei românești de echipamente de calcul, de dotarea cu aceste echipamente a unităților de cercetare și proiectare. Astfel programul ASEF poate fi implementat pe calculatoare FELIX și pe minicalculatoare INDEPENDENT sau CORAL, cu posibilități de lucru în regim interactiv și de prelucrare grafică, iar programul STADAS poate fi implementat pe FELIX sau pe microcalculatoare AMIC sau PHAE.

10.2. PROGRAMUL MULTIFUNCȚIONAL CU STRUCTURA MODULARĂ ASEF PENTRU ANALIZA STRUCTURILOR CU ELEMENTE FINITE /61/, /66/, /70/.

10.2.1. Domeniul de aplicabilitate.

Programul ASEF este destinat analizei statice liniare și neliniare și pentru analiza dinamică liniară a structurilor. Totodată programul poate rezolva probleme dependente de timp, în regim transitoriu. În cadrul programului sînt implementate, de fapt, tehnicile de calcul cu elemente finite prezentate în capitolul IV.

Programul poate opera cu o varietate de tipuri de elemente finite, putînd fi aplicat la analiza structurilor de orice tip.

Pentru fiecare tip 'nn' de element finit prin intermediul unei subrutine de control ELEMnn se calculează matricile și vectorii elementari specifici elementului finit respectiv. În varianta actuală programul ASEF 01 operează cu două tipuri de elemente finite : ELEM01 și ELEM02. ELEM 01 este un element finit izoparametric pătratic pentru rezolvarea problemelor de câmp guvernate de ecuația quasiarmonică :

$$\frac{\partial}{\partial x} \left(d_x \frac{\partial u}{\partial x} \right) + \frac{\partial}{\partial y} \left(d_y \frac{\partial u}{\partial z} \right) + \frac{\partial u}{\partial y} \left(d_z \frac{\partial u}{\partial z} \right) + f_y = 0 \quad (10.1)$$

În funcție de variabila NDIM = 1,2,3 acest element va fi liniar, pătratic sau hexadronal, avînd respectiv 3,8 și 20 GDL. Elementul ELEM 01 poate fi utilizat în problemele de analiza termică sau hidrodinamică prin intermediul blocului 'TEMP' și a fost introdus în program pentru a fi utilizat la analiza efectului hidrodinamic al apei

la trecerea peste sau sub stavile.

ELEM02 este elementul finit izoparametric cu 8 noduri descria în §.§.§. 4.3.5.6.

În perioada imediat următoare programul ASEF urmează să fie completat cu elemente finite de bară încovoiată în spațiu, de bară articulată și de placă încovoiată.

Varianta ASEF 01 este comparabilă ca funcțiuni, pentru problemele de mecanică structurilor, cu programul NONSAP, având însă performanțe superioare datorită modularizării și a posibilităților de prelucrare grafice. Programul ASEF 01 are două versiuni, putând fi implementat pe calculatoare FELIX și pe minicalculatoare INDEPENDENT sau CORAL.

10.2.2. Structura programului.

10.2.2.1. Modularizarea programelor de calcul /32/, /62/, /76/.

Reducerea complexității problemelor mari se poate realiza prin aplicarea manierei sistemice în proiectarea și construirea programelor, respectiv descompunerea ierarhică prin modularizare și structurarea elementelor.

Modularizarea /168/ ca principiu fundamental de controlare a complexității, constă în descompunerea unei probleme complexe, pe nivele ierarhice succesive (până la nivel de modul elementar), în unități de prelucrare (module) specializate, simple și relativ independente, care sînt controlate de unități / module coordonatoare. Un sistem este modular dacă este format din elemente relativ independente. Există mai multe strategii de modularizare: funcțională, structurală, procedurală, și abstractivă. Pentru programul ASEF s-a aplicat strategia funcțională, în varianta descendentă (fig.10.1).

Programul ASEF este structurat în blocuri funcționale /61/ în cadrul cărora subrutinele se assemblează conform schemei de modularizare din fig.10.1. în conformitate cu tipul problemei: liniară, neliniară, statică, dinamică, de propagare sau valori proprii etc.

10.2.2.2. Scheme logice funcționale și structuri de segmentare.

În figurile 10.2 - 10.7 se prezintă schema generală a programului ASEF, schema logică a unui bloc general de execuție, schemele logice ale blocurilor 'LINM' (rezolvarea problemelor plane în memorie), 'NLIN' (rezolvarea problemelor liniare) 'TEMP' (rezolvarea problemelor nestaționare) și 'VALP' (rezolvarea problemelor dinamice), precum și structurile de segmentare pentru versiunile programului pe calculatoare FELIX și pe minicalculatoare. Sursa programului care conține peste 5000 de linii sursă este dată în anexă.

10.2.3. Performanțe și rezultate oferite de program.

Programul ASEF rezolvă probleme de analiză statică liniară și neliniară a structurilor furnizînd rezultate în deplasări și tensiuni, analiza dinamică a structurilor furnizînd rezultate pentru valorile și vectorii proprii, analiza cîmpurilor termice și hidrodinamice furnizînd rezultate în gradienti de temperatură și viteze.

Programul operează cu trei fișiere pe discul de manevră, lucrează în dublă precizie, permite alogarea dinamică a memoriei, generarea automată a coordonatelor și a topologiei, optimizarea rezolvării sistemului de ecuații. Problemele de dimensiuni mari sînt

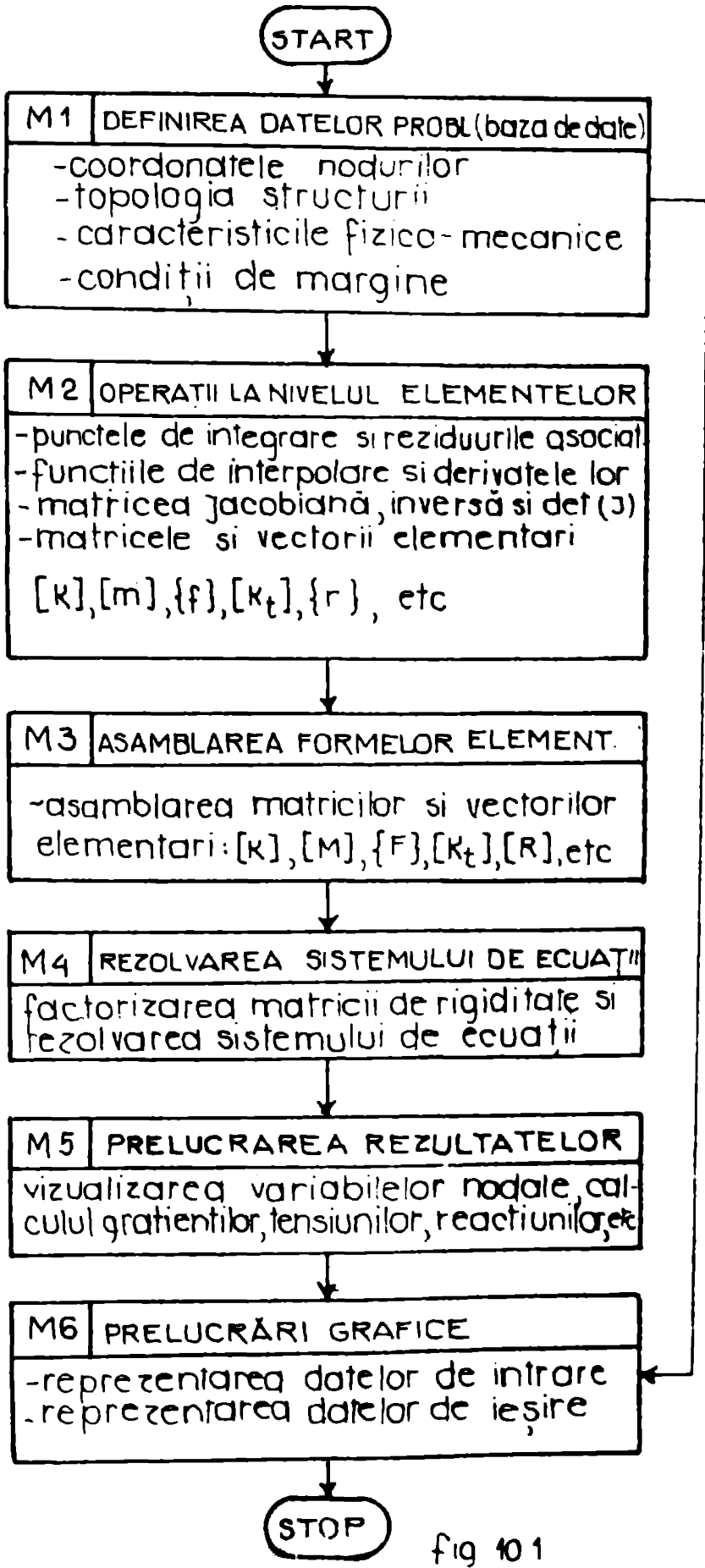


fig 101

transferate într-o rezolvare pe calculatorul "IBM 370", cele două dimensiuni mici realizându-se direct în memoria programului și pe un model de prelucrare grafică pentru realizarea prin vizualizare, pe ecran sau prin plotare, a datelor de intrare și pentru selectarea și vizualizarea rezultatelor. În funcție de natura problemei de rezolvat, utilizatorul își va preciza, în cadrul datelor de intrare tipul blocului funcțional. Programul este prevăzut cu diverse opțiuni pentru vizualizarea și listarea rezultatelor finale și intermediare. În versiunea FEMII programul ASEP ocupă în memorie o zonă program de cca 100 K0, și poate opera în zonă de lucru fixă de 64 K0 sau mobilă. Metodele de aplicare a programului sînt ușor de utilizat și au fost calculate.

10.2.1. Exemplele de aplicare

Se prezintă trei exemple de calculi computerizate realizate cu ajutorul programului ASEP cu cele obținute cu programele SAP 5, sau SAP 9. Se realizează o bună precizie a rezultatelor, în o viteză de calculare de 3 ori mai mare și cu un consum de memorie mai redus.

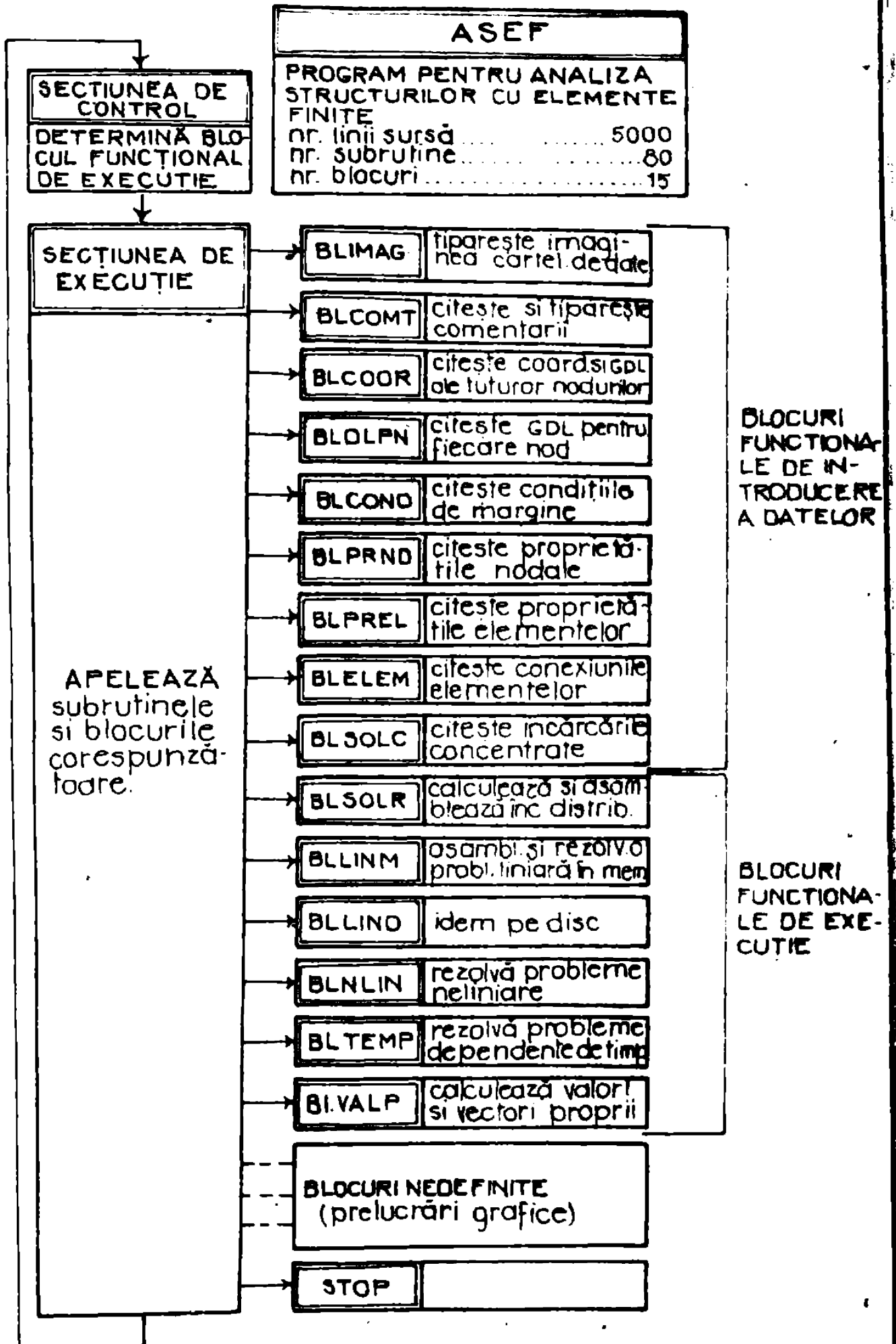
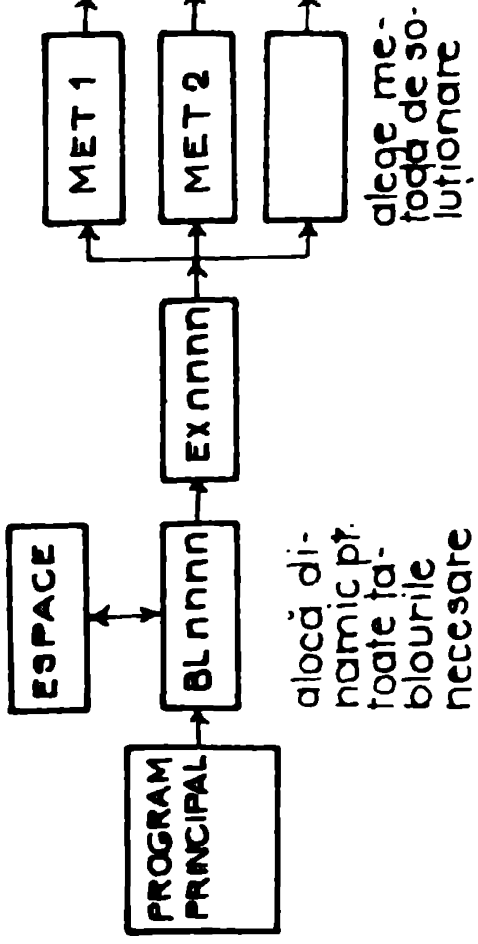


fig. 10.2

STRUCTURA GENERALĂ A UNUI BLOC DE EXECUȚIE DIN PROGRAMUL AȘEF

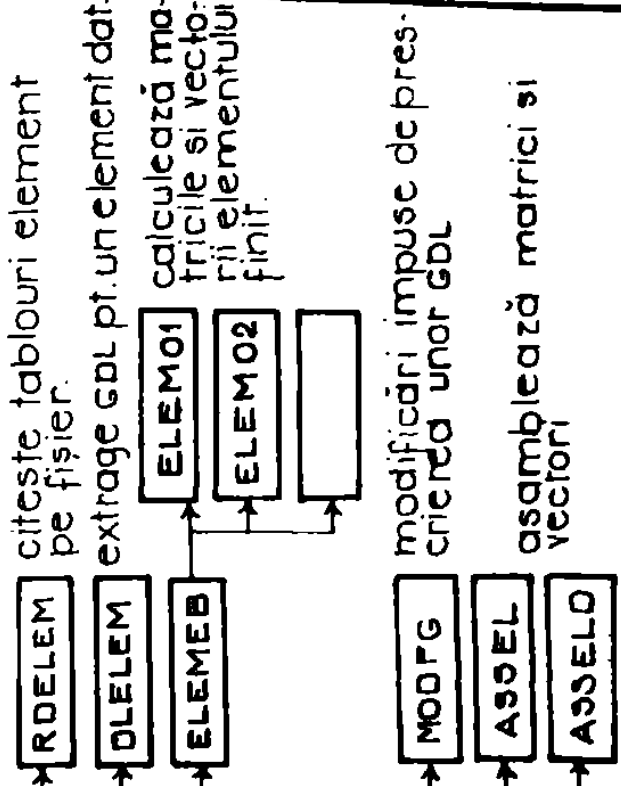


alocă dinamic pt. toate tablourile necesare

Subrutine care calculează pentru fiecare element:
 -matricea de rigiditate [K]
 -vectorul {F}
 -matricea [k_t]
 -rezidurile {R}.
 -matricea [M]
 -combinații de încărcări
 -gradienti

subrutina de soluționare a sistemului de ecuații
 -prin triangulare
 -prin descompunerea matr.

subrutine pentru tipărirea datelor
 -pivotii matr. [k]
 -reziduri de echilibru
 -soluția



citește tablouri element pe fișier.

extrage GDL pt. un element dat.

calculează matricile și vectorii elementului finit.

modificări impuse de prescrierea unor GDL

asamblează matrici și vectori

fig 10.3

BLOCUL 'LINM': REZOLVAREA UNEI PROBLEME PLANE IN MEMORIE

CONSTRUCTIA MATRICILOR GLOBALE

SOLUTIONAREA PROBLEMEI LINIARE

TIPĂRIREA REZULTATELOR

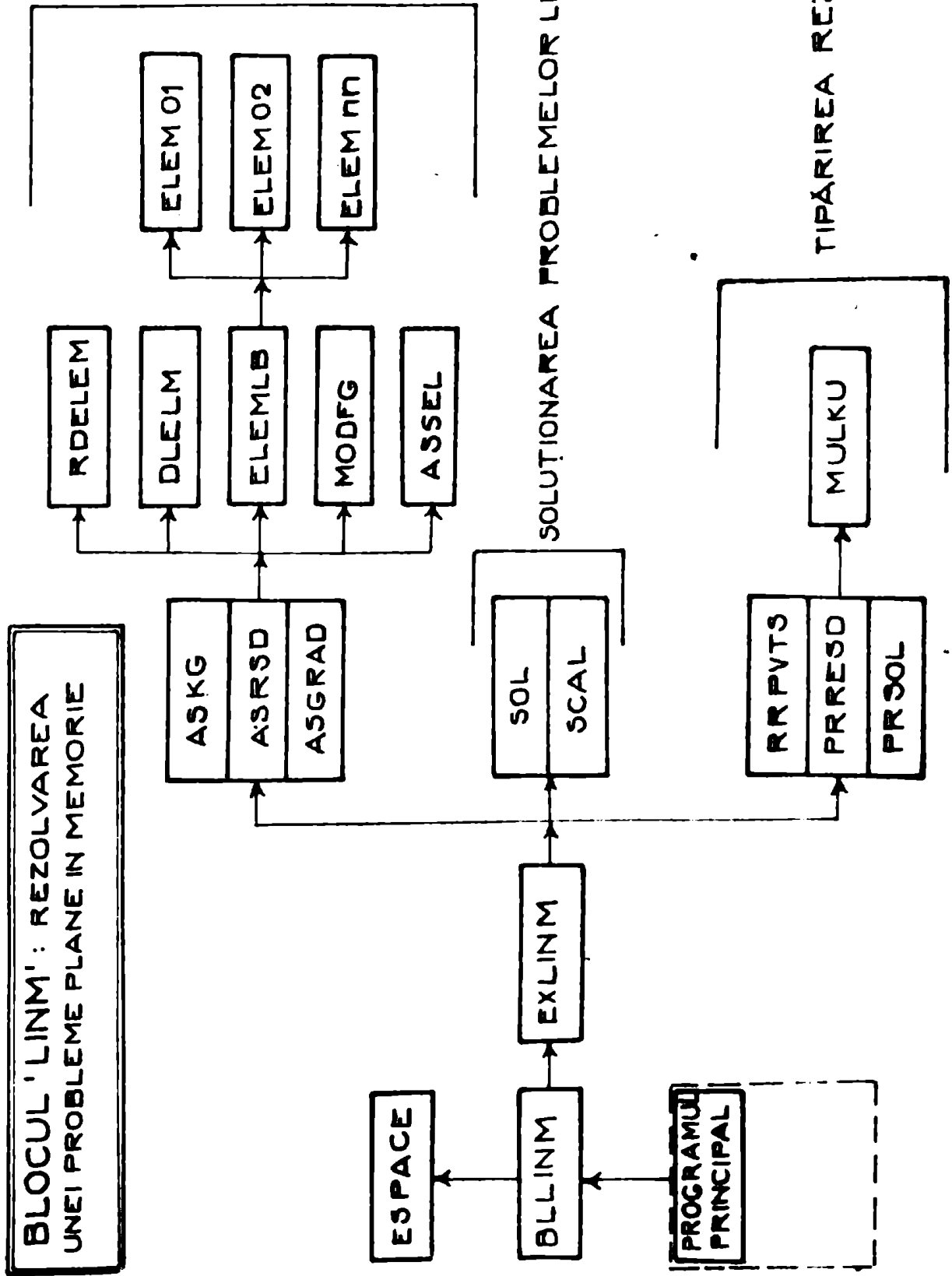


fig 10.4

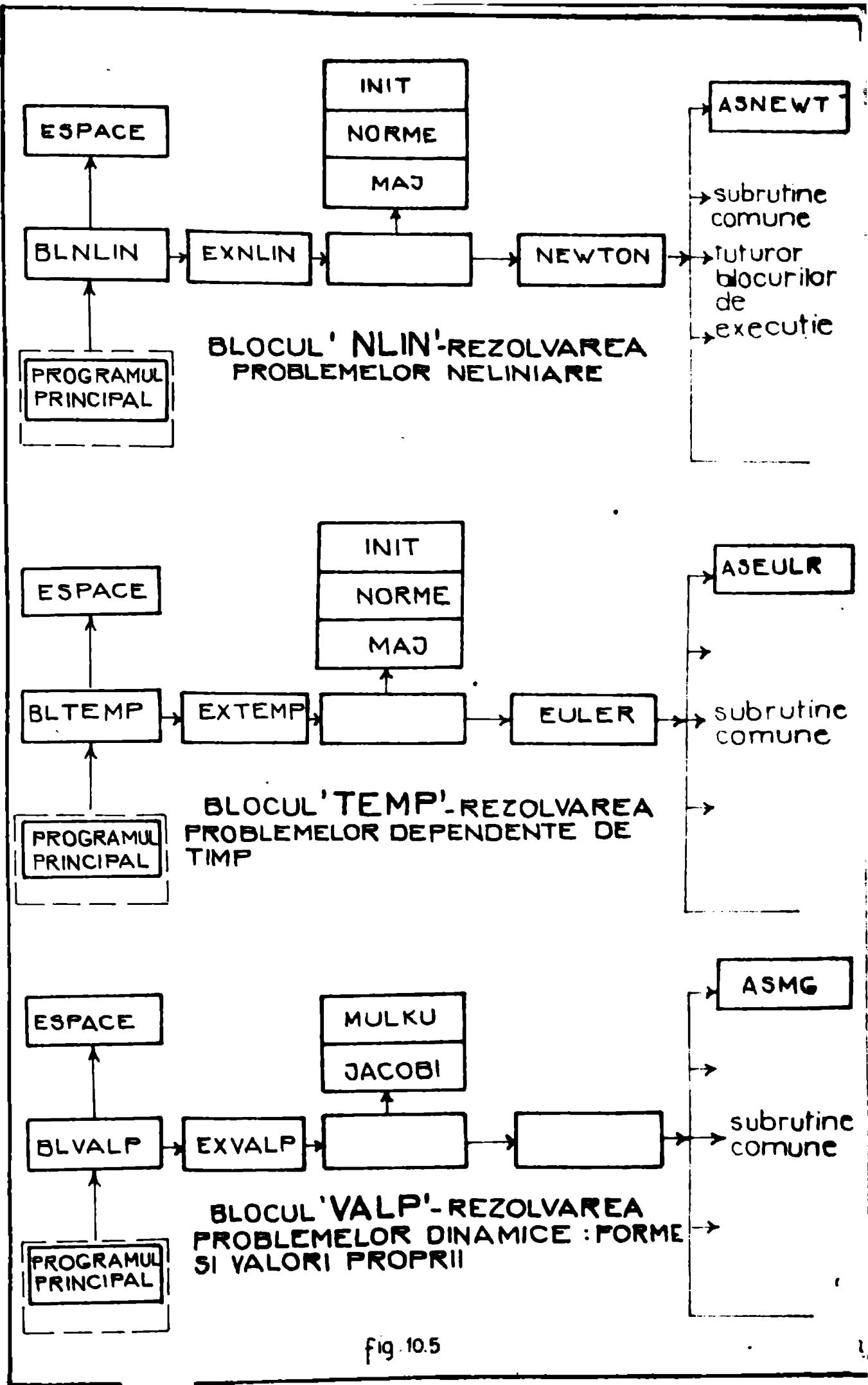


fig. 10.5

ASEF 01

SCHEMA DE SEGMENTARE A
PROGRAMULUI
versiunea pe FELIX

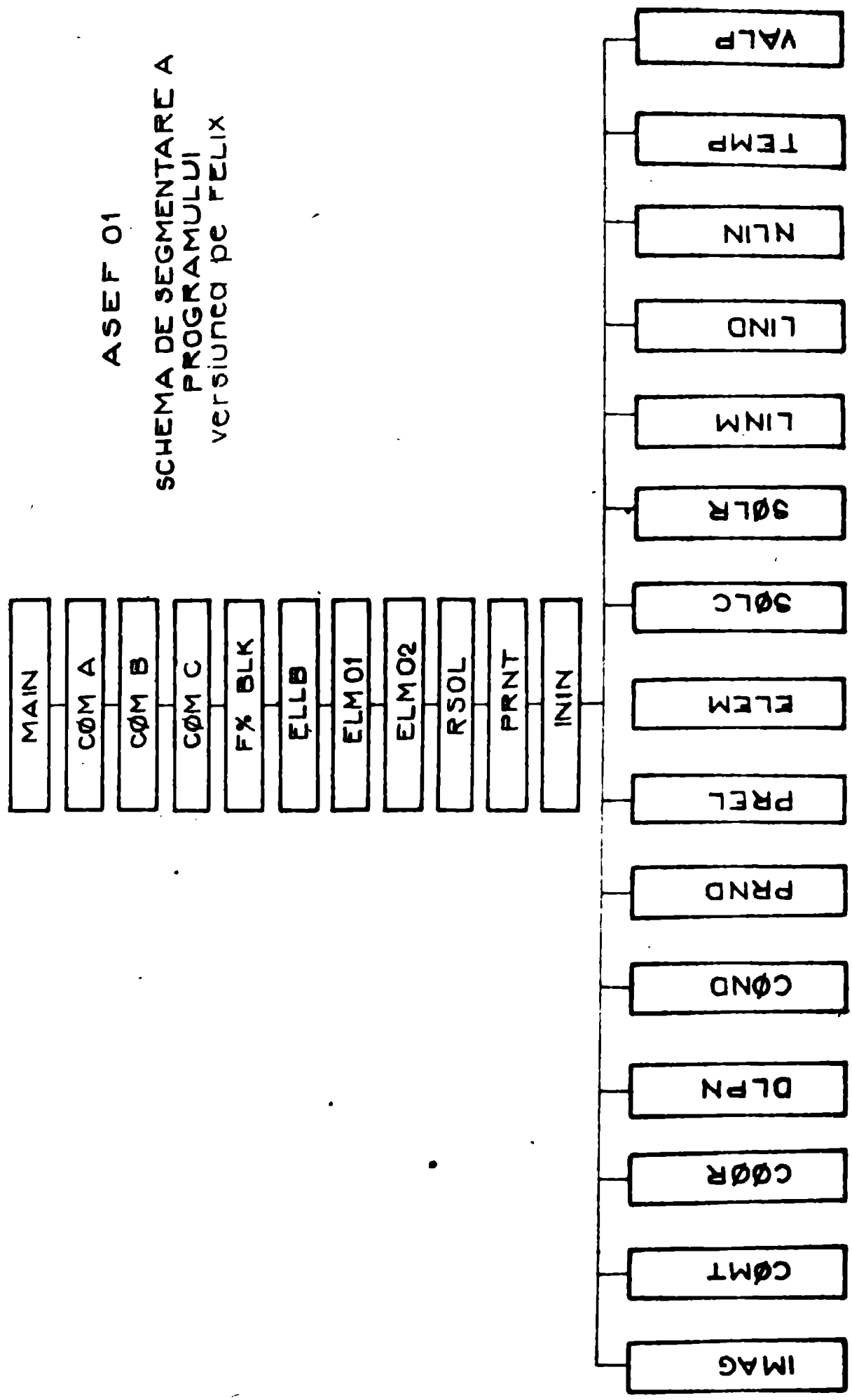


fig. 10.6

ASEF - VERSIUNEA PE MINISISTEME DE CALCUL: STRUCTURA DE SEGMENTARE

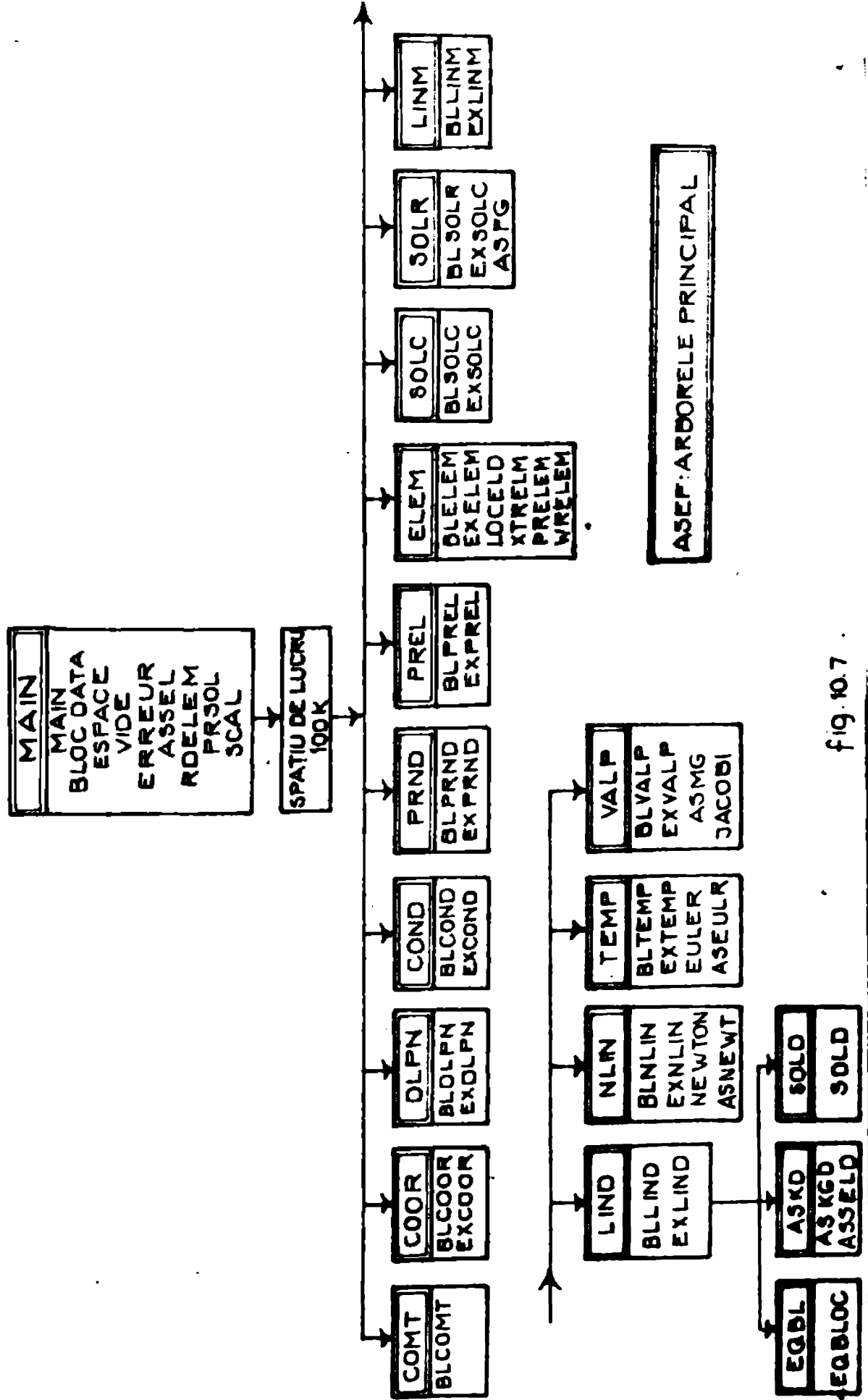


fig. 10.7

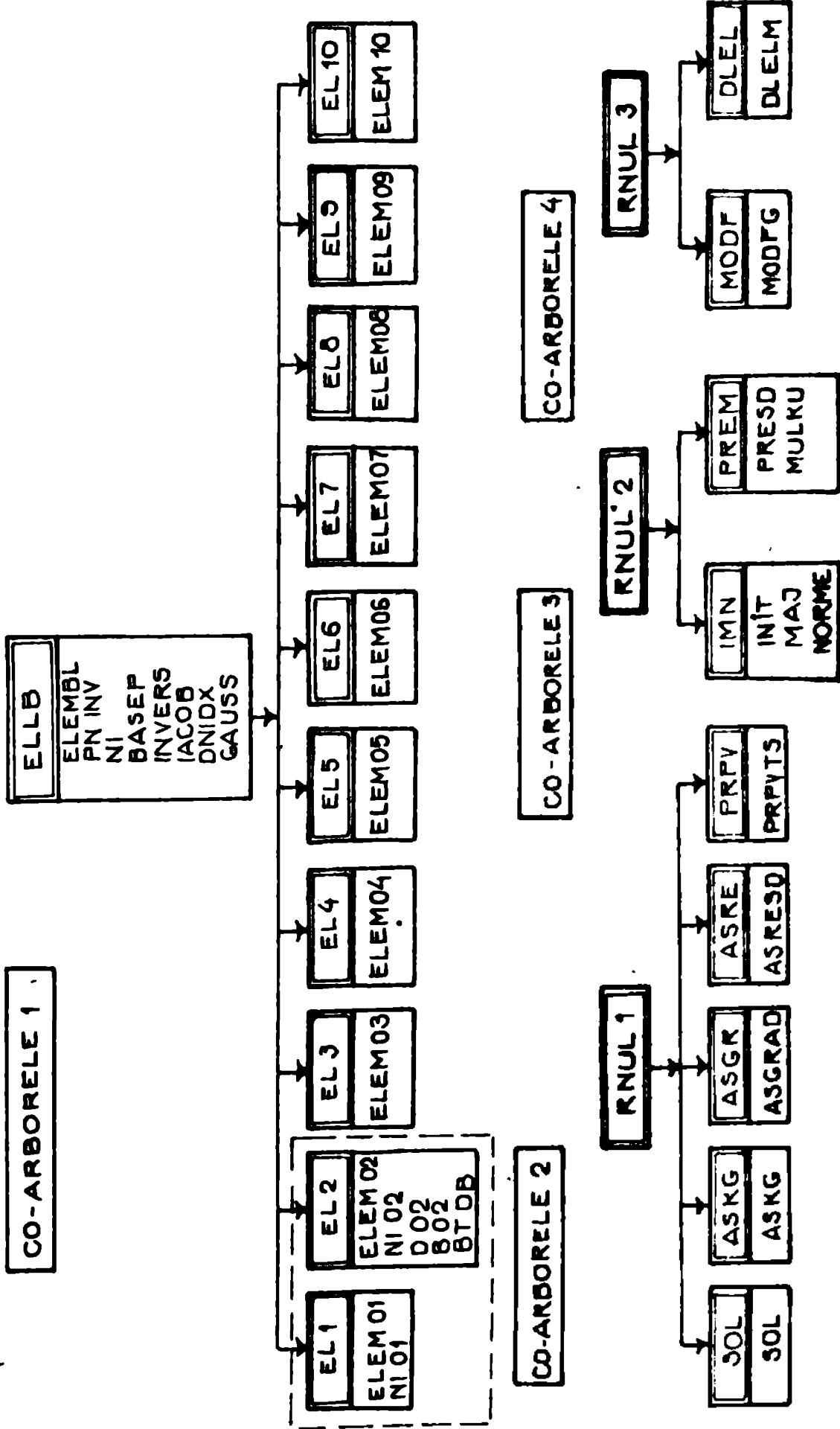
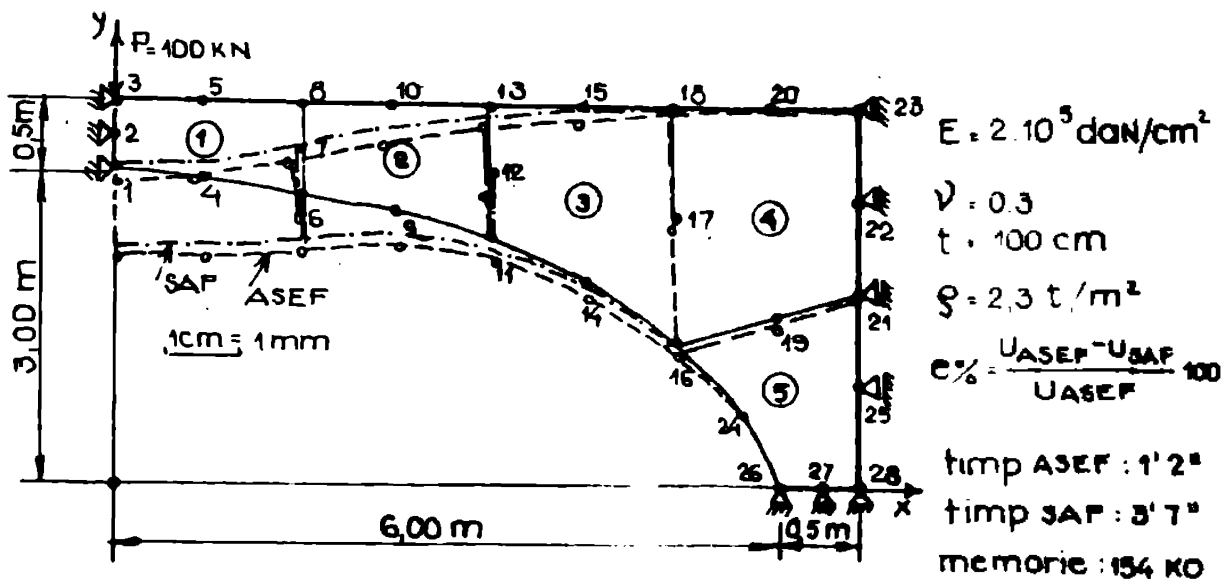


Fig. 10.7 (continuar)

exemplul nr.1



ANALIZĂ STATICĂ : deplasări U_x și U_y

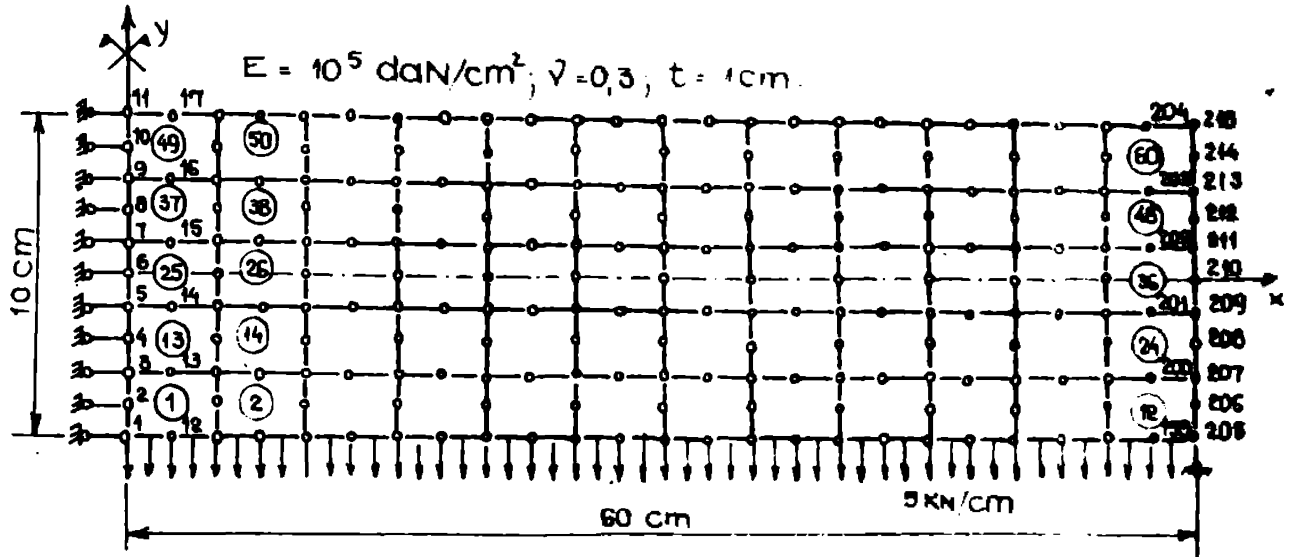
nr. punct.	pro-gram	U_x [cm]	U_y [cm]	pro-gram	U_x [cm]	U_y [cm]	diferența %	
							c_x	c_y
1	ASEF	-0.0000000	-0.1144000	SAF	0.0000000	-0.0920100	0.000	19.572
4		0.0048677	-0.1017300		0.0047770	-0.0878000	0.200	13.690
5		-0.0085677	-0.1011600		-0.0074960	-0.0804600	12.000	20.462
6		0.0078758	-0.0769690		0.0079620	-0.0574300	-0.200	25.376
7		-0.0085684	-0.0764750		-0.0016650	-0.0573400	35.000	25.021
8		-0.0132030	-0.0721330		-0.0113300	-0.0573800	14.200	20.452
16		0.0084909	-0.0054279		0.0016840	-0.0021370	33.000	59.837
17		0.00077484	-0.0059181		0.0007226	-0.0021800	6.700	63.163
18		-0.0041166	-0.0066645		-0.001997	-0.0023390	51.500	64.903
19		-0.0010861	-0.0034608		-0.0007592	-0.0011420	30.100	67.000
21	0.0000000	-0.0026278	0.0000000	-0.0007054	0.000	13.000		

ANALIZA DINAMICĂ : valori proprii și vectori proprii pt. primele 3 moduri

nr. punct	mod 1 $\omega_1 = 0.5612 E+04$		mod 2 $\omega_2 = 0.37888 E+05$		mod 3 $\omega_3 = 0.10014 E+06$	
	U_x [cm]	U_y [cm]	U_x [cm]	U_y [cm]	U_x [cm]	U_y [cm]
1	0.000000	66.37500	0.000000	-43.55700	0.000000	-41.12800
4	-1.99300	60.78600	7.54780	-30.80600	12.54700	-22.29200
5	4.50510	60.49003	-6.65890	-30.72800	-6.52620	22.54100
6	-4.01170	48.14700	12.56800	-5.03100	17.48800	10.56900
7	1.86120	47.89000	1.97330	-4.30910	6.89340	11.77800
8	7.85260	45.39700	-8.97120	-0.90220	-3.95330	14.92400
16	-1.75480	3.02400	-1.26820	2.00000	-7.51380	-21.3700
17	-0.50562	3.32550	2.28060	2.10000	-10.4740	-21.30400
18	2.98600	3.92820	7.76380	2.364800	13.54400	-17.18100
19	-0.78157	17.3010	-0.23282	14.09900	-4.16000	-21.63800

fig. 10.8

exemplul nr 2



x = 2,5 cm

y [cm]	σ_x				σ_y				τ_{xy}			
	teoretic	SAP4	SAP5	ASEF	teoretic	SAP4	SAP5	ASEF	teoretic	SAP4	SAP5	ASEF
5,0	-5400625	-53800	-539764	-53897	0,0	11006	-053635	-05024	0,0	64971	-06142	-0,1512
4,0	-431330	-43069	-431031	-43092	1,4	11006	29727	24625	675	64971	59289	60028
3,0	-323077	-322365	-322902	-32290	5,2	58748	47607	47597	120	110015	118430	118372
2,0	-215185	-21487	-215038	-21497	10,8	10649	115146	11449	15,75	15505	149282	14914
1,0	-107533	-107295	-107474	-107391	17,5	17825	174592	17392	18,0	170	178390	178392
0,0	0,0	$4 \cdot 10^{-3}$	0,011463	-0,0445	25,0	25001	25058	24852	18,75	18495	179277	17933
-1,0	107533	107295	107473	107391	32,4	32175	325411	31876	18,0	170	178442	178392
-2,0	215185	21487	215034	21493	39,2	39349	383695	37121	15,75	15505	149278	14914
-3,0	323077	322365	322902	32290	44,8	44124	452404	43927	12,0	110011	118382	118372
-4,0	431330	43069	431035	43052	48,6	48899	471471	44048	6,75	64972	592904	60028
-5,0	5400625	5380	539769	538952	50,0	48899	506575	47822	0,0	64972	-0153042	-01512

x = 32,5 cm

y [cm]	σ_x				σ_y				τ_{xy}			
	teoretic	SAP4	SAP5	ASEF	teoretic	SAP4	SAP5	ASEF	teoretic	SAP4	SAP5	ASEF
5,0	-382562	-3813,10	-382206	-382182	0	1,0956	117173	0,6724	0,0	84786	-238613	-2112
4,0	-305330	-3046,70	-304986	-3049,2	1,4	1,0956	467584	24569	81,75	84786	168591	18021
3,0	-228585	-2878,75	-228449	-228416	5,2	60353	393609	49432	156,0	143233	154105	153744
2,0	-152185	-1519,20	-152124	-1519,9	10,8	10975	833278	11431	204,75	201,68	194488	19387
1,0	-760325	-758,795	-758865	-758782	17,5	18424	187039	174112	234,0	220825	2314695	231122
0,0	0,0	0,6	16134	-0,04892	25,0	25873	307528	2483	243,75	23997	232959	23314
-1,0	760325	759,685	758865	-758791	32,0	321939	311134	31098	234,0	221,44	2326765	231122
-2,0	1521,85	1318,10	151763	1519,3	39,2	38574	39732	37103	204,75	202,31	19408	19390
-3,0	2285,775	2276,30	2284315	2284,2	44,8	438005	462439	439821	156,0	143029	152391	153744
-4,0	3053,30	3047,10	305428	3045,3	48,6	49087	576309	53998	81,75	83748	77391	78046
-5,0	3825625	3816,30	382544	382204	50,0	49087	604931	54872	0,0	83748	0,82257	-2112

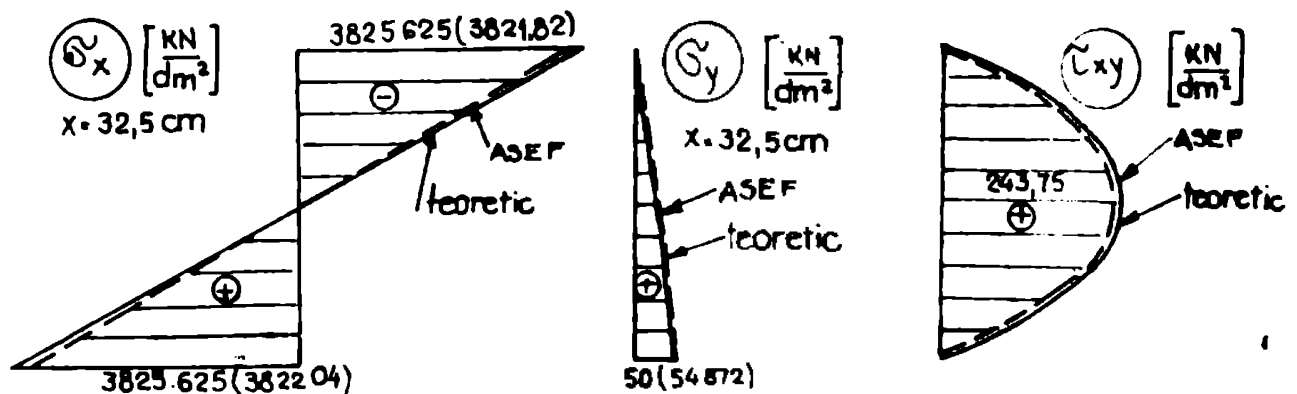
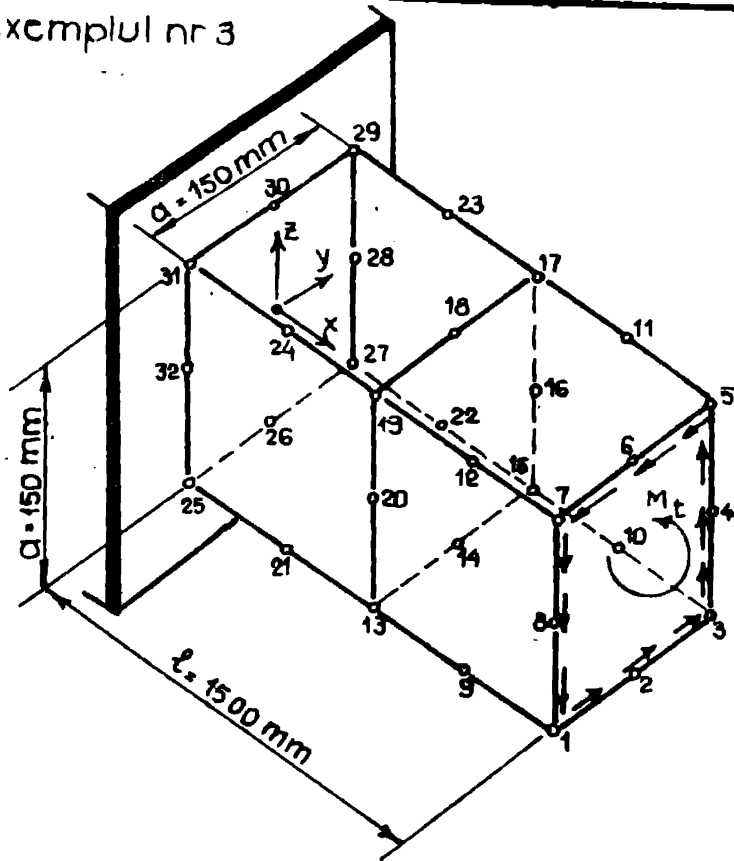


fig. 10.9

exemplul nr 3



$$M_t = 0,3 \text{ KN}\cdot\text{m}$$

$$t = 3 \text{ m}$$

$$E = 7,5 \text{ KN/mm}^2$$

$$G = 28846 \text{ KN/m}^2$$

$$\nu = 0,3$$

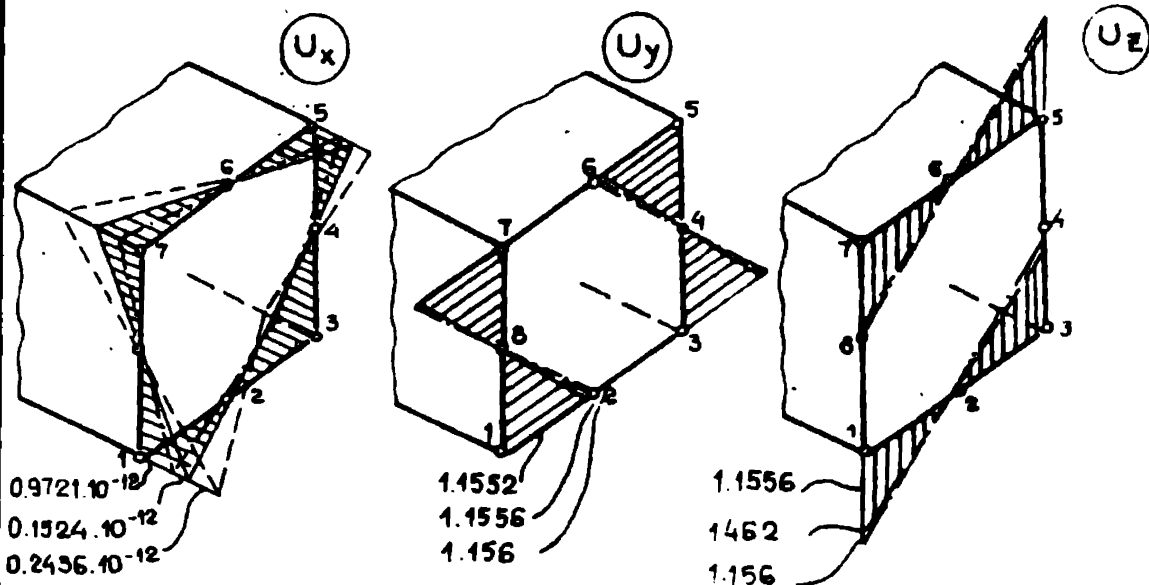
teoretic

$$\gamma_t = \frac{M_t}{2a^2 t} = 0,00222 \text{ KN/m}^2$$

$$\theta = \frac{M_t}{a^2 t G}; \varphi = \theta t$$

$$\varphi = \frac{300 \cdot 1500}{150^3 \cdot 3 \cdot 28846} = 0,0154074 \text{ rad}$$

nr. punct	Ux			Uy			Uz		
	SAP4	SAP5	ASEF	SAP4	SAP5	ASEF	SAP4	SAP5	ASEF
1	0.24360	005721	01524	1,1556	1,156	1,1552	-1,11556	-1,156	-0,1462
2	0.047573	-0.06155	00232	1,1556	1,156	1,1552	0,0	0,0	0,0
3	-0.15010	-0.1106	-01258	1,1556	1,156	1,1552	1,11556	1,156	1,1462
4	0004107	-001622	-001102	0,0	0,0	0,0	1,11556	1,155	1,1462
5	015785	007770	01054	-1,1556	-1,156	-1,1552	1,11556	1,156	1,1462
6	-0047781	005676	-00124	-1,1556	-1,156	-1,1552	0,0	0,0	0,0
7	-0.25302	-0.06474	-01362	-1,1556	-1,156	-1,1552	-1,11556	-1,156	-1,1462
8	-0004454	001565	-000078	0,0	0,0	0,0	-1,11556	-1,155	-1,1462



	teoretic	SAP4	SAP5	ASEF
φ [rad]	0,0154074	0,015462	0,0154062	0,0154062
	0,00222	0,00222	0,00222	0,00222

fig. 10.10

10.3. PROGRAMUL DBEM PENTRU REZOLVAREA PROBLEMELOR PLANE DE ELASTICITATE CU METODA ELEMENTELOR DE CONTUR. /71/,/117/.

10.3.1. Domeniul de aplicabilitate.

Programul DBEM rezolvă probleme plane de elasticitate pe baza algoritmului din capitolul V privind formularea directă a metodei elementelor de contur (Direct boundary Element Method). Programul este scris în limbaj FORTRAN pentru calculatorul BESIA, reprezentând o prelucrare a unui program prezentat în lucrarea /8/. Câmpul de tensiuni și deplasări pe frontieră este aproximat prin funcții de interpolare pătratice, utilizându-se pentru aceasta elemente de contur liniare cu câte două grade de libertate pe nod.

10.3.2. Structura programului.

Schema bloc a programului DBEM este prezentată în figura 10.11, în figura 10.12 fiind dată structura de segmentare a programului, iar în figura 10.13 schema logică a programului principal. Sursa programului care conține 1254 linii sursă este dată în anexă.

10.3.3. Performanțe și rezultate oferite de program.

Programul DBEM face parte din prima generație de programe elaborate pe baza MEC. În prezent au apărut și în această metodă programe multifuncționale de tipul celor cunoscute în MSF. Astfel, este sistemul BEASY /20/ care operează cu 6 tipuri de elemente de contur, cu un număr important de facilități în ceea ce privește rezolvarea problemelor de potențial și a problemelor de analiză tensiunilor în domenii bi - și tridimensionale.

Programul DBEM dă rezultate în deplasări și tensiuni pentru probleme plane de elasticitate definite printr-un singur contur în domeniul elastic. Limitele de aplicare a programului sînt : 30 elemente de contur cu maximum 60 de noduri, avînd câte două GDL - tensiuni și/ sau deplasări - pe nod.

10.3.4. Exemple de control.

În figurile 10.14 și 10.15 sînt prezentate două exemple de control. Pentru comparare se prezintă și rezultatele obținute cu MSF. Se remarcă o bună concordanță a rezultatelor.

10.4. PROGRAMUL STABAS PENTRU ANALIZA INSTABILITĂȚII BARELOR CU PEREȚI SUBȚIRI SOLICITATE LA COMPRESIUNE ȘI LA COMPRESIUNE CU ÎNCOVIERE. /53/,/64/, /65/, /69/.

10.4.1. Domeniul de aplicabilitate.

Programul STABAS elaborat pe bază algoritmului prezentat în §.8.7. este destinat analizei instabilității barelor cu pereți subțiri formate la rece cu secțiune simplă și dublu conexă solicitate la compresiune și compresiune cu încoviere. Programul ține seama de concurența dintre pereți și de efectul voalării.

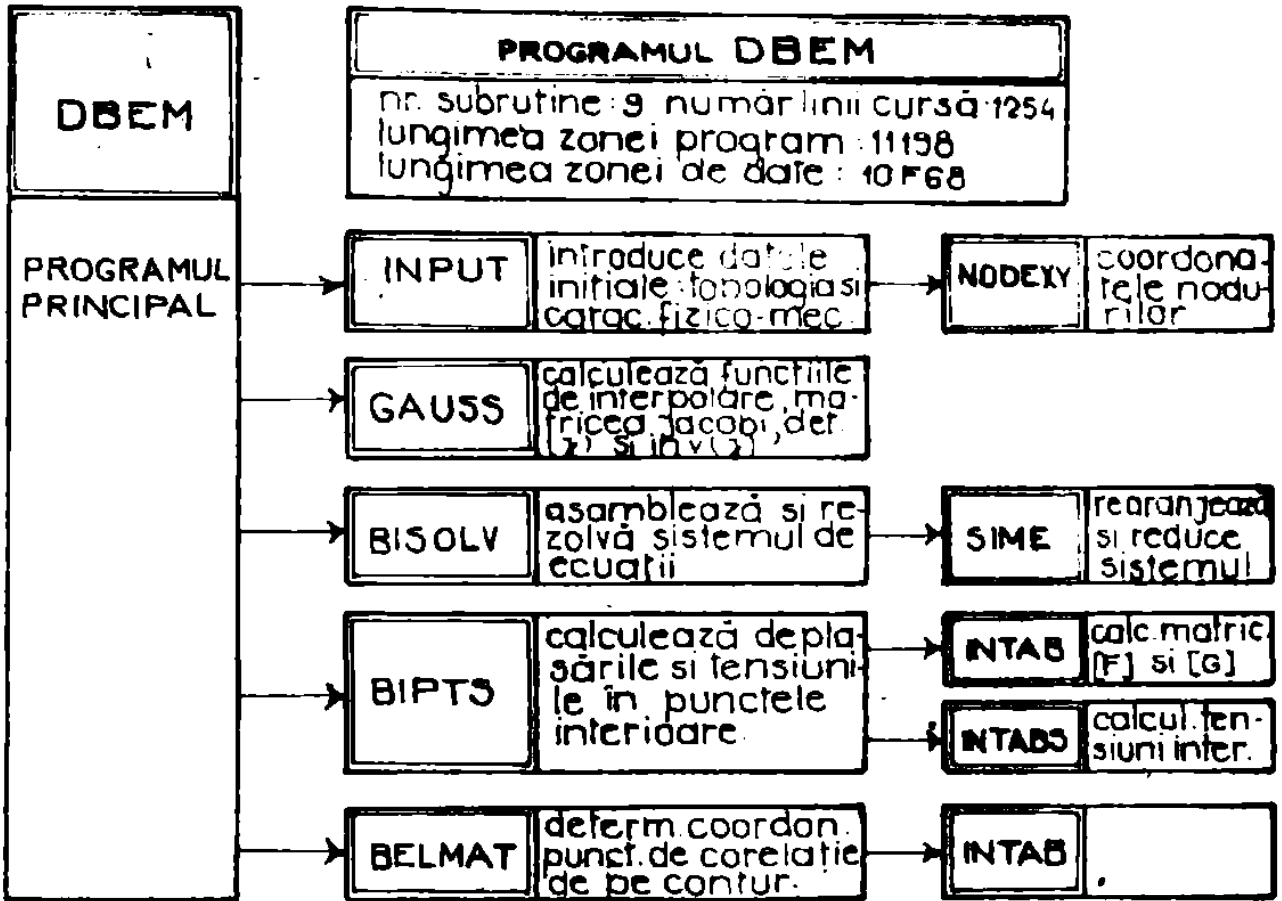


fig. 10.11

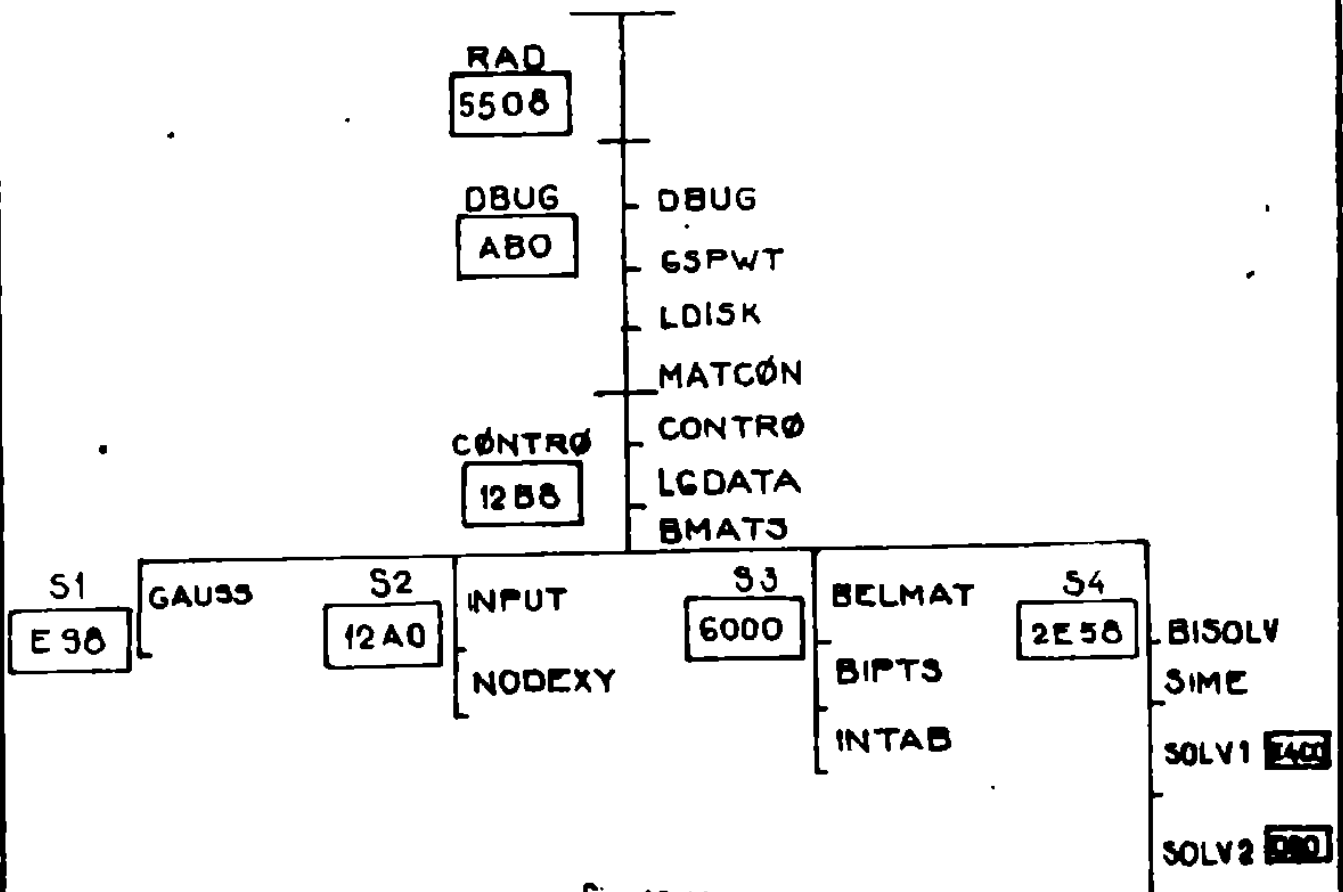


fig. 10.12

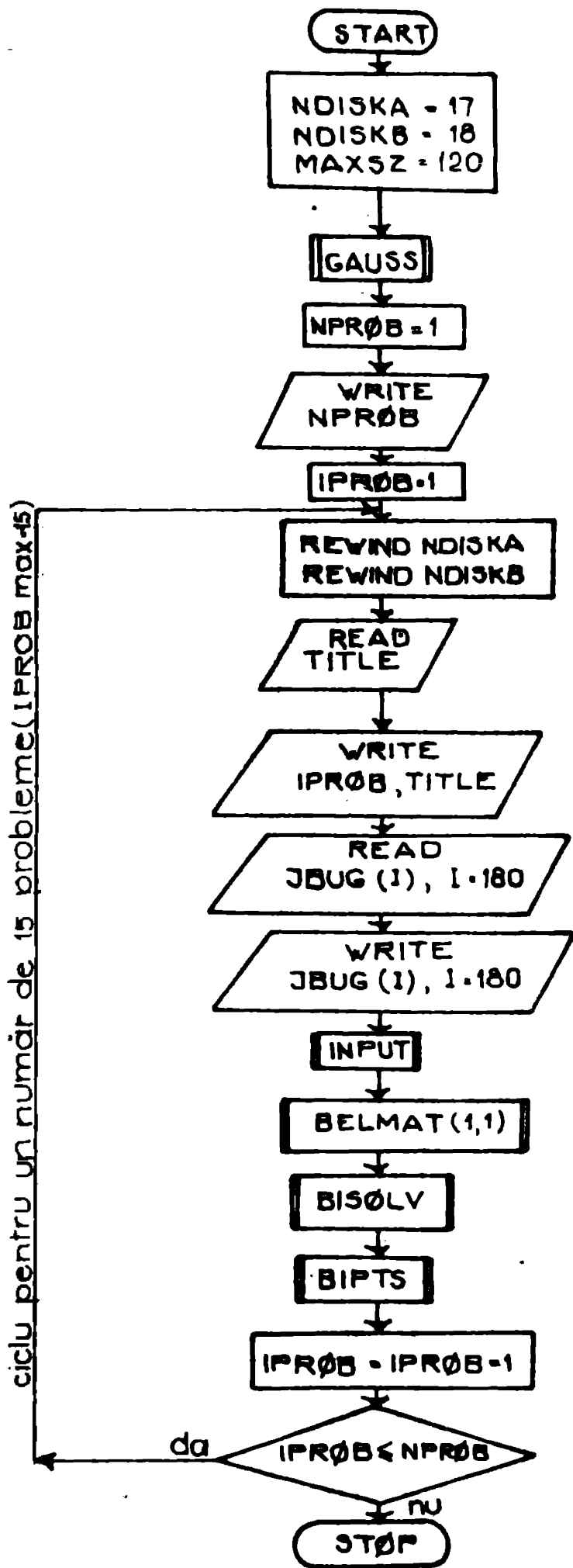
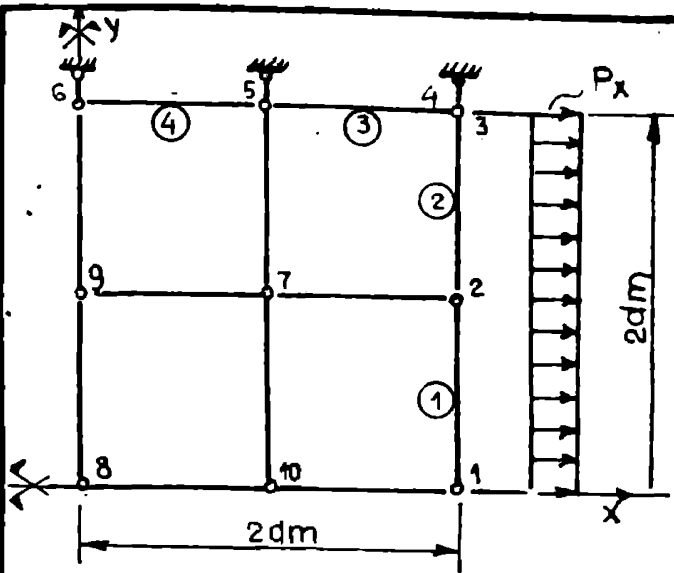


Fig. 10.13



exemplul nr 1 [19]

$P_x = 2 \text{ kN/dm}$

$E = 5 \text{ kN/dm}^2$

$\nu = 0,3$

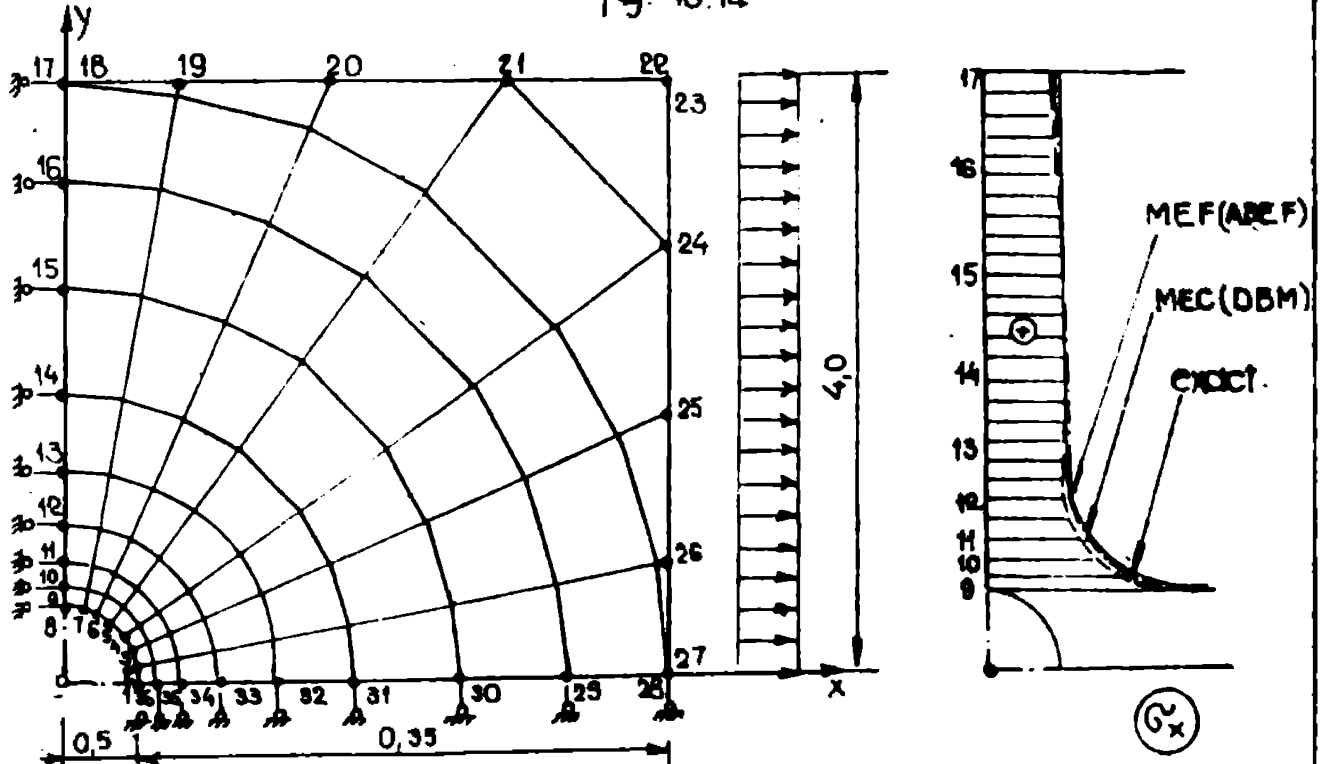
număr elemente de contur: 4

număr noduri: 6

număr puncte interioare: 4

nr. punct	rezultate [19] (MEC)					rezultate ASEF (MEF)					rezultate DBM (MEC)				
	U_x	U_y	σ_x	σ_y	τ_{xy}	U_x	U_y	σ_x	σ_y	τ_{xy}	U_x	U_y	σ_x	σ_y	τ_{xy}
1	0,728	0	2,0	0,6	0	0,7278	0	2,0	0,6	0	0,7285	0	1,999	0,599	0
2	0,728	0	2,0	0,6	0	0,7278	0	2,0	0,6	0	0,7265	0	1,999	0,599	0
3	0,728	0	2,0	0,6	0	0,7278	0	2,0	0,6	0	0,7265	0	1,999	0,599	0
4	0,728	0	2,0	0,6	0	0,7278	0	2,0	0,6	0	0,7265	0	1,999	0,599	0
5	0,364	0	2,0	0,6	0	0,3639	0	2,0	0,6	0	0,3639	0	1,999	0,599	0
6	0,000	0	2,0	0,6	0	0,0000	0	2,0	0,6	0	0,0000	0	1,999	0,599	0
7	0,364	0	2,0	0,6	0	0,3639	0	2,0	0,6	0	0,36325	0	1,999	0,599	0
8	0,000	0	2,0	0,6	0	0,0000	0	2,0	0,6	0	0,0000	0	1,999	0,599	0
9	0,000	0	2,0	0,6	0	0,0000	0	2,0	0,6	0	0,0000	0	1,999	0,599	0
10	0,364	0	2,0	0,6	0	0,3639	0	2,0	0,6	0	0,36325	0	1,999	0,599	0

fig. 10.14

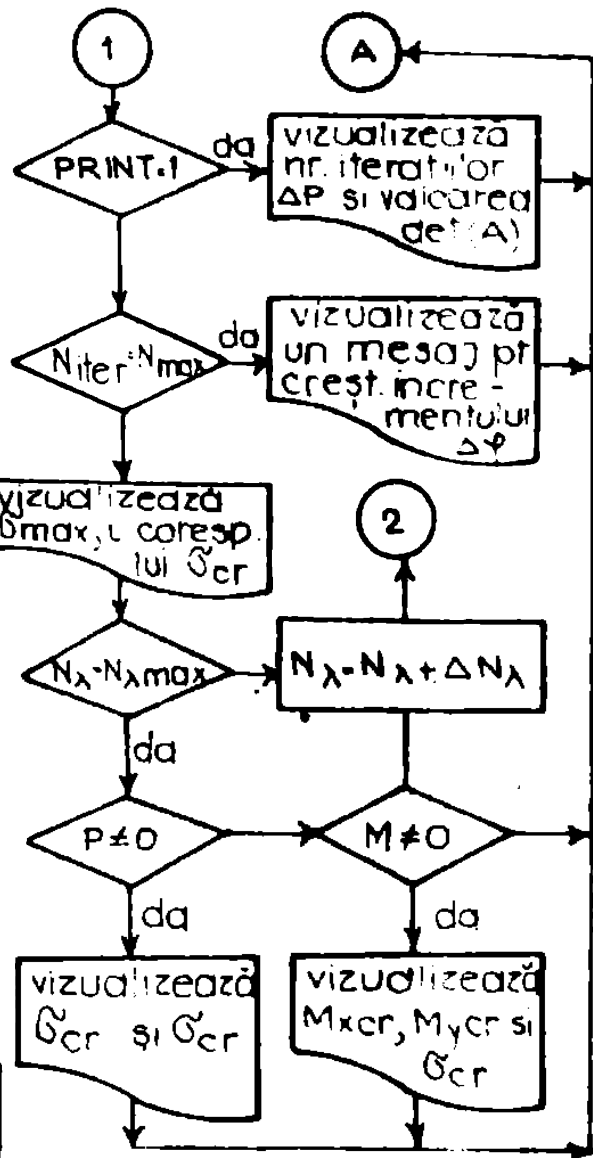
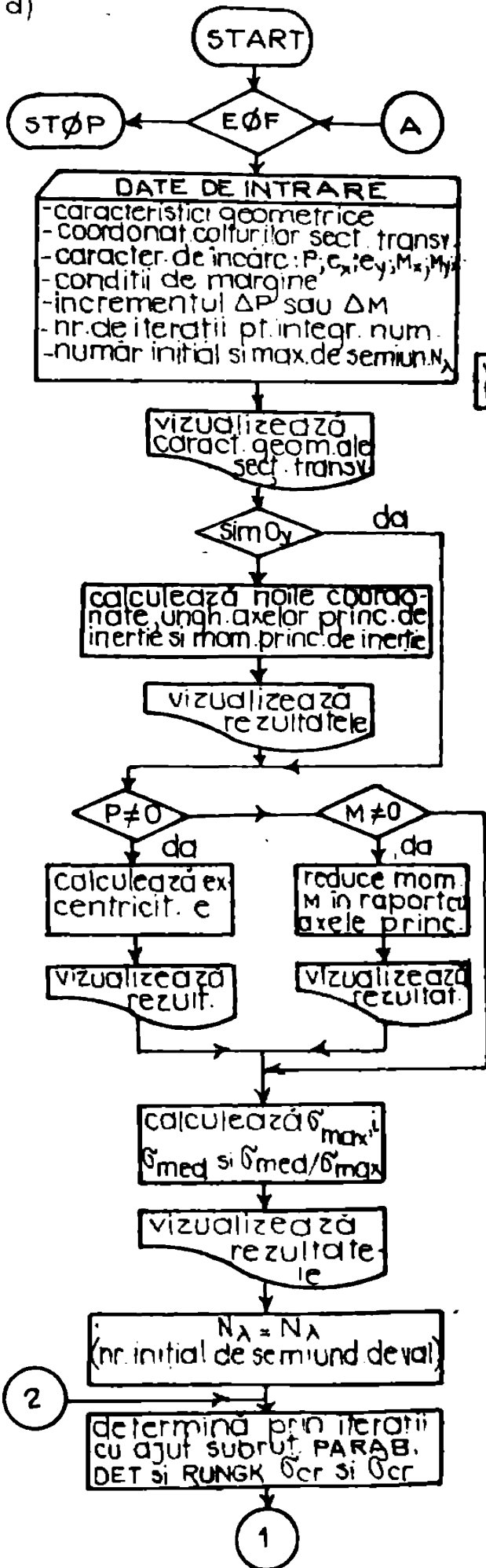


Tensiuni σ_x pentru $x = 0$

punct.	9	10	11	12	13	14	15	16	17
exact.	30000	195440	46799	120390	108429	104056	102041	101402	100818
MEF(ASEF)	280314	185134	130612	115960	108804	105532	102742	1019834	1017825
MEC(DBM)	284202	187226	135591	117032	109332	105761	102834	101945	1018852

Fig. 10.15

d)



b)

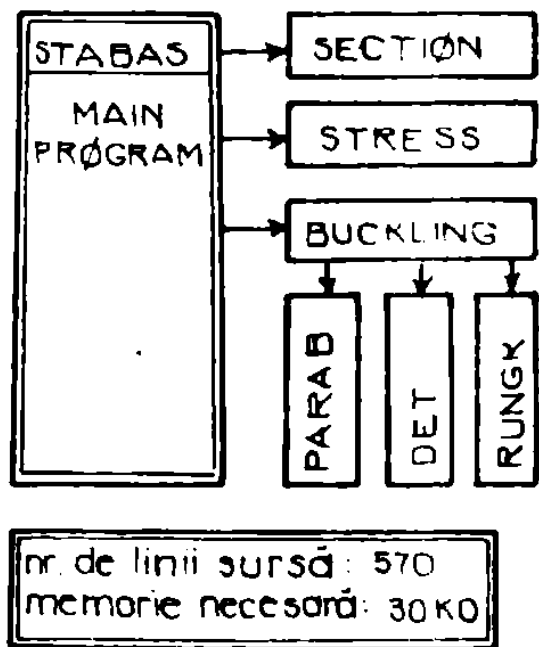


Fig 10.16

10.4.2. Structura programului.

Schema bloc a programului este prezentată în figura 10.16.a. iar schema logică în figura 10.16.a. Programul lucrează în tablă precizie admitând un set nelimitat de seturi de date. Programul conține un număr de 570 linii sursă asamblate în programul principal și în 6 subrutine, fiindu-i necesară o memorie de 30 KO. Programul este redactat în două variante:

- STABAS o1- versiune în limbaj FORTRAN pentru calculatoare FELIX ;
- STABAS o2 - versiune în limbaj BASIC pentru micro sisteme de calcul.

Sursa programului este conținută în anexă.

10.4.3. Performanțe și rezultate oferite de program.

Programul STABAS furnizează tensiunea critică și tensiunile maxime pe muchii, forțele sau momentele critice și numărul semi-undelor de voalare. Programul își calculează caracteristicile geometrice ale secțiunii barei, pe care le furnizează ca rezultate intermediare.

În varianta actuală programul STABAS este conceput pentru a fi utilizat ca un modul de verificare în cadrul unui sistem modularizat de programe pentru proiectarea asistată /32/ a structurilor metalice din bare cu pereți subțiri.

10.4.4. Exemplu de control. Comparatie cu rezultatele experimentale.

În figura 10.17 se prezintă listarea rezultatelor pentru un exemplu de control rulat cu STABAS, iar în tabelul 10.1 comparatia rezultatelor obținute pe calculator cu cele determinate pe cale experimentală, conform programului din capitolul IX (tab.9.5).

CALCULUL SARCINILOR CRITICE LA FLAMBAJ PENTRU PROFILE COMPUSE DIN MAI MULTE ELEMENTE

TOATE MUCHIILE RAMIN DREPTS
TOATE DIMENSIUNILE CM, KP
COORDONATELE PUNTELOR DE CONTUR :

PUNCT	X	Y
0	8.00000E + 00	.00000E + 00
1	.00000E + 00	.00000E + 00
2	.00000E + 00	1 .20000E + 01
3	8.00000E + 00	1 .20000E + 01

CARACTERISTICILE GEOMETRICE ALE SECȚIUNII TRANSVERSALE

LUNGIMEA L = 100.0000

LĂȚIMILE ELEMENTELOR

8.0000
12.0000
8.0000

GROSIMILE ELEMENTELOR

.3000
.3000
.3000

SVELTETEA ELEMENTELOR

26.6667
40.0000
26.6667

CENTRUL DE GREUTATE : $E_X = 2.28572E+00$

$E_Y = 6.00000E+00$;

SUPRAFA $F = 8.40000E+00$

MOMENTE DE INERTIE : $I_X = 2.16000E+02$

$I_Y = 5.85143E+01$

$I_{XY} = .00000E+00$

SOLICITARE MAXIMA ADMISA $P_{AD} = 2.000E+03$

EXCENTRICITATEA PORTEI $U_X = .00000E+00$

$U_Y = .00000E+00$

MOMENT MAXIMA ADMIS $M_X = 6.00000E+03$

$M_Y = .00000E+00$

COORDONATELE NOI ALE PUNCTELOR DE
CONTUR :

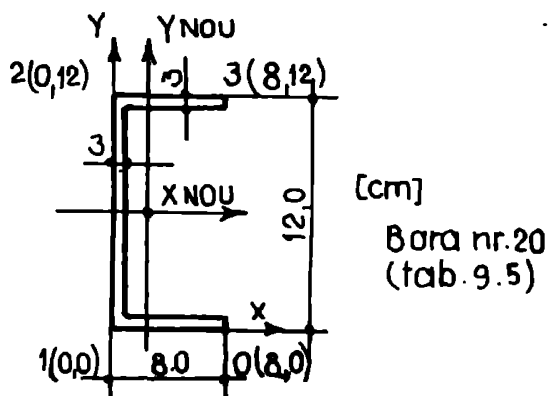


fig. 10.17

PUNCT	XNOU	YNOU
0	5.71428E+00	-6.00000E+00
1	-2.28572E+00	-6.00000E+00
2	-2.28572E+00	6.00000E+00
3	5.71428E+00	6.00000E+00

CARACTERISTICILE GEOMETRICE NOI ALE SECTIUNII TRANSVERSALE:

DIRECTIA AXEI PRINCIPALE: $ALFA = .00000E+00$

MOMENTE PRINCIPALE DE INERTIE :

$I_X = 2.16000E+02$
 $I_Y = 5.85143E+01$

EXCENTRICITATEA $U_X = .00000E+00$ $U_Y = .00000E+00$

TENSIUNEA MAXIMA PE MUCHIE :

RAPORTUL TENSIUNILOR DE REFERINTA

PUNCT	VALORI
0	1.00000E+00
1	1.00000E+00
2	1.00000E+00
3	1.00000E+00

INCEPUTUL ITERATIILOR LA SKI = 2.38095E+02

NUMARUL DE SEMIUNDE : $NL = 1.00000E+01$

ITER	FACTOR P	DET
1	1.00000E+00	1.00000E+00
2	2.00000E+00	7.69911E-01
3	3.00000E+00	5.78693E-01
4	4.00000E+00	4.22230E-01
5	5.00000E+00	2.96326E-01
6	6.00000E+00	1.97569E-01
7	7.00000E+00	1.22928E-01
8	8.00000E+00	6.34857E-02
9	9.00000E+00	3.15580E-02
10	1.00000E+01	9.03410E-03

11	1.10000E+01	2.19744E-04
12	1.20000E+01	2.32024E-04
13	1.10527E+01	-7.15447E-04
14	1.10119E+01	-3.57630E-04

TENSIUNEA CRITICĂ LA FLAMBAJ SIGURANȚĂ = 2.62028E+03

TENSIUNILE PE MUCHII APARTINÂND LUI SIGURANȚĂ :

- 2.62028E+03
- 2.62028E+03
- 2.62028E+03
- 2.62028E+03

FORȚA CRITICĂ LA FLAMBAJ PCRI = 2.20104E + 04

SIGURANȚA CSIG = 1.10052E + 01

tabelul 10.1

tipul și secțiunea	lung. [cm]	inc. excentr.		teste		rezultate STABAS		
		c _x [cm]	c _y [cm]	max [daN/cm ²]	P _{max} [daN]	P _{cr} [daN]	P _{cr} [daN/cm ²]	max, i [daN/cm ²]
0	1	2	3	4	5	6	7	8
100 x 65 x 2	120,0	0,00	0,00	2190	7000	6941	1726	1726
100 x 65 x 2	120,0	0,00	2,00	2461	5700	5354	1820	1820
100 x 65 x 2	120,0	2,00	2,00	2510	3100	2721	2281	2281
100 x 65 x 2	180,0	0,00	0,00	1989	6550	6871	1711	1711
100 x 65 x 2	180,0	0,00	0,00	2543	500	5355	1820	1820
120 x 80 x 3	120,0	0,00	0,00	3774	20900	22000	2620	2620

Se remarcă o bună concordanță a rezultatelor obținute cu STABAS cu cele experimentale.

10.5. CONCLUZII

Programele de calcul automat prezentate în Acest capitol, elaborate pe baza algoritmilor prezentați în lucrare în capitolele IV, V și VIII însumează un număr de aproximativ 7000 linii sursă program, reprezentând și din acest punct de vedere, o contribuție majoră a lucrării. La acestea se adaugă versiunile pe minicalculator a programului ASEF și pe minicalculator a programului STABAS, care înseamnă încă 6000 de linii sursă.

Programul ASEF este un program multifuncțional de o concepție modernă, competitiv cu alte programe cu performanțe similare, iar din unele puncte de vedere superior. Ca structură și concepție programul ASEF este susceptibil pentru dezvoltări nelimitate.

Este primul program în cadrul Bibliotecii Naționale de Programe (B.N.P) care implementează pe calculator MKP în formulare reziduală, care oferă, între alte avantaje prezentate în cap. IV, posibilitatea cuplării cu MEC.

Programul DBEM este un program preluat din literatură și prelucrat pentru a fi adoptat pe calculatoarele FBIX; este un

program școală realizat în vederea studierii posibilităților de aplicare a metodei elementelor de contur.

Programul STABAS este un program deosebit de performant în ceea ce privește studiul instabilității barelor cu pereți subțiri, fiind primul program de acest gen în cadrul B.N.P.

CAPITOLUL XI

CONCLUZII FINALE. CONTRIBUTII.

Procedeele și metodele de calcul ale structurilor de rezistență ale stăvililor metalice sau similare s-au perfecționat în mod deosebit datorită dezvoltării producției de echipamente de calcul automat și a utilizării lor pe scară tot mai largă în proiectarea structurilor pentru construcții.

În acest sens, se conturează două direcții distincte: elaborarea unor metode de analiză cu caracter general, care permit abordarea tuturor aspectelor unui calcul static sau dinamic, liniar sau neliniar și, pe fondul lor, a unor programe de calcul automat multifuncționale, precum și, respectiv, a unor procedee specifice pentru calculul stăvililor sau a unor anumite structuri și elemente structurale ale acestora concretizate prin algoritmi și programe de calcul specializate.

Aceste două direcții se regăsesc și în prezența lucrare.

Astfel, după elaborarea teoriei matematice a structurilor, care asigură cadrul de elaborare și dezvoltare a metodelor de calcul în mecanica structurilor, se prezintă instrumentul matematic reprezentat de teoria reziduurilor ponderate care se aplică la formularea generalizată a metodei elementelor finite, concretizată printr-un program de calcul automat multifuncțional cu structură modulară. Ca alternativă se prezintă apoi metoda elementelor de contur punându-se accentul pe posibilitatea de cuplare într-un algoritm comun cu metoda elementelor finite. Și această metodă este concretizată printr-un program de calcul destinat rezolvării problemelor plane din mecanica structurilor. În finalul primei părți a lucrării se prezintă o metodă numerică specializată pentru calculul stăvililor metalice cu structură cheșonată, bazată pe teoria barelor cu pereți subțiri și a suprafețelor prismatice. Metoda admite o rezolvare numerică generalizată prin combinare cu metoda elementelor finite, precum și rezolvări particularizate pe tipuri de stăvile utilizând metodele matriciale clasice.

Partea a doua a lucrării care se ocupă cu calculul neliniar și de stabilitate a structurilor și elementelor structurale cu pereți subțiri caracteristice stăvililor metalice urmează același algoritm principal, de elaborare, dezvoltare și parcurgere de la general la particular a teoriilor și metodelor de calcul.

Astfel, se formulează teoria unitară generalizată a barelor cu pereți subțiri și se dezvoltă o teorie neliniară aplicabilă barelor cu pereți subțiri și suprafețelor prismatice lungi care are la bază teoria generală elaborată de Koiter. Se prezintă apoi relațiile practice pentru verificarea la stabilitate a bordajelor stăvililor metalice și se elaborează o metodologie de determinare a caracteristicilor geometrice echivalente pentru analiza postcritică. În final, se prezintă un algoritm de calcul pentru analiza instabilității barelor cu pereți subțiri solicițate la compresiune și la compresiune și încovoiere concretizat printr-un program de calcul automat. Relațiile și metodologiile de calcul propuse sînt susținute printr-un amplu program experimental.

Performanțele programelor de calcul și valabilitatea considerațiilor teoretice pe baza cărora au fost elaborate sînt controlate și validate prin analiza comparativă a rezultatelor cu ajutorul altor programe de calcul omologate de către Comisia de automatizări în construcții sau prin testări experimentale.

În conformitate cu concepția care a stat la baza elaborării lucrării, principalele contribuții ale autorului se pot grupa în trei clase : (1) contribuții la dezvoltarea teoriilor și metodelor generale de calcul ; (2) contribuții la elaborarea unor metode și relații de calcul specializate pentru anumite tipuri de structuri și elemente structurale și la studiul experimental al comportării acestora ; (3) contribuții la elaborarea unor programe de calcul automat.

○ În prima clasă se evidențiază următoarele contribuții ale autorului :

- formularea teoriei matematice a structurilor și, în cadrul acesteia, definiția structurilor matematice caracteristice, a legilor de generare a modelelor de calcul și formularea unui criteriu de analiză a convergenței soluțiilor aproximative ;
- formularea ecuațiilor fundamentale ale mecanicii structurilor în cadrul teoriei reziduurilor ponderate și clasificarea pe această bază a metodelor de calcul numeric ;
- formularea generalizată a metodei elementelor finite pe baza teoriei reziduurilor ponderate, pentru probleme liniare și neliniare, statice, dinamice și de propagare, iar în cadrul acesteia dezvoltarea algoritmilor și procedurilor numerice pentru elaborarea unui program de calcul. Este prima încercare de prezentare, unitară și completă, în această formă, a metodei elementelor finite în literatura tehnică cunoscută sau în circulație la noi în țară ;
- prezentarea comparativă cu metoda elementelor finite a metodei elementelor de contur ;
- formularea generalizată, unitară a teoriei liniare a barelor cu pereți subțiri ;
- dezvoltarea teoriei neliniare a barelor cu pereți subțiri și a formulării acesteia cu ajutorul metodei elementelor finite ; definirea în acest scop a elementului finit de bară cu pereți subțiri .

○ În cea de a doua clasă de contribuții se subliniază :

- analiza critică comparativă a principalelor metode de calcul utilizate în proiectarea stăvililor metalice și stabilirea limitelor de aplicare a acestora ;
- elaborarea unei metode de calcul bazate pe teoria suprafețelor prismatice pentru calculul stăvililor metalice cu structură chesonată ;
- analiza și sinteza metodelor și relațiilor de calcul a caracteristicilor geometrice echivalente în analiza postcritică a barelor cu pereți subțiri cunoscute în literatura de specialitate și în normele de calcul ;
- determinarea unor formule pentru evaluarea caracteristicilor geometrice echivalente ale barelor cu pereți subțiri în domeniul postcritic ținând seama de efectul imperfecțiunilor geometrice ;
- determinarea curbelor de voalare ale pereților barelor cu pereți subțiri ;
- determinarea unei relații pentru calculul forței critice de voalare ținând seama de efectul imperfecțiunilor ;

- prezentarea unui algoritm pentru analiza numerică a instabilității barelor cu pereți subțiri ;
- realizarea programului experimental pentru studiul comportării barelor cu pereți subțiri în domeniul postcritic. În acest sens se face sublinierea că încercarea la compresiune centrică și excentrică a barelor Γ cu simetrie punctuală reprezintă o premieră absolută.

În cea de a treia clasă de contribuții intră elaborarea celor trei programe de calcul automat prezentate în lucrare :

- elaborarea programului de calcul multifuncțional cu structură modulară, pentru Analiza Structurilor cu Elemente Finite -ASEP- versiunile pe calculatoare FELIX și minicalculatoare INDEPSN-DENT sau GENAS;
- elaborarea programului DBEM, în versiunea pe calculatorul FELIX, pentru analiza structurilor plane cu metoda elementelor de contur în formulare directă ;
- elaborarea programului STABAS pentru analiza instabilității barelor cu pereți subțiri solicitate la încovoiere și încovoiere cu compresiune , versiunile în FORTRAN și BASIC.

Rezultatele studiilor privind dezvoltarea și aplicarea metodelor de calcul și a calculului automat în problemele de mecanică structurilor au fost valorificate în cadrul a 7 contracte de cercetare și colaborare cu producția în perioada 1980-1986. Aceste contracte, unele dintre ele finalizate cu recomandări de calcul și proiectare sînt conținute în lista cu bibliografia /75/ de la sfîrșitul lucrării.

Pe problematica, abordată în lucrare au fost publicate un număr de peste 40 de lucrări și studii, multe din ele avînd conținutul unor capitole și subcapitole dezvoltate în lucrare. Între acestea de evidențiază lucrările publicate în cadrul unor manifestări internaționale de prestigiu :

- Colocviul Internațional de Stabilitatea Structurilor metalice de la Paris, 1983, /84/, /138/.
- Colocviul Internațional de stabilitate de la Timișoara, 1982, /83/, /139/.
- Congresul de structuri spațiale, IASS-1985, Moscova /52/.
- Colocviul zonal de stabilitate de la Budapesta 1986 /64/, /65/, /87/, /88/.
- Conferința Internațională de metode numerice și procedee experimentale de la Porto-Caras, Grecia, 1986 /66/.
- Conferința de structuri spațiale de la Budva, Iugoslavia 1986, /67/.

La acestea se adaugă, în aceeași ordine de importanță, rapoartele prezentate în cadrul subcomisiei de " Stabilitatea structurilor din oțel " a Academiei R.S.R., /60/, /72/ autorul fiind membru al acesteia.

Programele de calcul automat ASEP, STABAS și DBEM au fost prezentate în cadrul lucrărilor SMIC/53/, /69/, /70/, /71/, fiind implementate în biblioteca de programe a Centrului de calcul electronic al I.P.T.V.T.

B I B L I O G R A F I E

1. Abrocz, J., - Shell Stability Analysis - Theory and Practice. Proc. of the I.U.T.A.M. Symp., Univ.College, London, 31 Aug., 1982.
2. Absi, E. - Méthodes de calcul numérique en élasticité. Ed. Eyrolles, Paris, 1978.
3. Antes, H., Ottenstreuier, M., Schmid, G., - Handelemente, Sem.Konstr. Ingenieurbau und Mechanik im WS 1981/1982, Mitt.Nr. 82-2, Bochum, März 1982.
4. Arnold, V., I., - Metodele matematice ale mecanicii clasice. Ed.St. și Enciclopedică, București, 1980.
5. Augustin, P., - Calculul structurilor de aviație. Ed. Tehn., București, 1984.
6. Avram, C., Bob, C., Friedrich, R., Stoian, V., - Structuri din beton armat. Metoda elementelor finite, teoria echivalențelor Ed.Acad. R.S.R., București, 1984.
7. Bologh, E., Krieger, F. - Contribuții la calculul și proiectarea clăpătelor. I.C.C.P.H.R., Timișoara, 1973.
8. Banerjee, K., J., Butterfield, R., Boundary Element Methods in Engineering Science. Mc.Graw Hill Book Company (U.S.) Limited, London, 1981.
9. Bathe, K., J., Wilson, E., I., - Numerical Methods in Finite Element Analysis. Prentice Hall, New Jersey, 1976.
10. Bănuț, V., Popescu, H., - Stabilitatea structurilor elastice. Ed.Acad. R.S.R., București, 1975.
11. Bănuț, V., Calculul neliniar al structurilor. Ed.Tehn., București, 1981.
12. Beleş, I., - Contribuții la calculul spațial al stăvililor plane. Teză doct.I.C.B., București, 1972.
13. Beleş, I., - Placa ortotropă cu diafragme St.cer.mec.apl.Acad.R.S.R. Tom.35.Nr.3, 1976.
14. Beleş, I., - Ieremia, K., Răduică, M. - Analiza statică prin metoda elementului finit a structurii spațiale a vanelor segment. A II-a Conf.de Constr.Metalice. 11-13 oct., 1979, Timișoara.
15. Beleş, A., Mihăilescu, C., Mihăilescu, St., - Calculul construcțiilor amplasate pe terenuri deformabile. B.Acad.R.S.R., București, 1977.
16. Bors, I., - Studiul plăcilor plane cu coluri. Teză de doctorat. I.P.Cluj-Napoca, 1984.
17. Graham, M., - Problemes d'interaction entre deux modes d'instabilité dans les colonnes a parois minces. A II-a Conf. de Constr.Met., Timișoara, 11-13 oct.1979, Vol.1.
18. Brătianu, C., - Metode cu elemente finite în dinamica fluidelor. Ed. Acad.R.S.R., București, 1983.
19. Brodka, J., Lubinski, M., - Construcții metalice ușoare. Ed.Tehn., București, 1975.

20. Brebbia, C., A., Telles, J., C., P., Wrobell, L., C., - Boundary Element Technique, Springer-Verlag. Berlin. Heidelberg New-York. Tokio, 1984.
21. Brebbia, C., A. (ed), - Boundary Element Methods in Engineering. Proc. of the Fourth Int. Sem. Southampton, England, Sept. 1982 Springer. Verlag. Berlin. Heidelberg. New-York. 1982.
22. Brebbia, C., A. (ed), - Boundary Elements Methods Proc. of the 3rd Int. Sem., Irvine, California, July 1981, Springer Verlag. Berlin. Heidelberg. New-York 1981.
23. Burkhard, Sch., - Ein Finite Element Verfahren zur Berechnung von verformter, Ausgesteifter Rechteckplatten unter Berücksichtigung von Geometrischer und Material nichtlinearität. D.I. Dissertation. Techn. Univ. Berlin, 1975.
24. Caraba, I., Dubină, D., Stoian, V., - Metode matematice de calcul numeric a grinzilor metalice cu moment de inerție variabil. Bul. St. Tehn. al I.P. "Traian Vuia" Timișoara, seria construcții, tom. 23(39), fasc. I, Timișoara, 1978.
25. Calladine, C., B., - Theory of Shell Structures. Cambridge Univ. Press, Cambridge 1983.
26. Căpățînă, D., Calculatorul în ajutorul proiectării construcțiilor Ed. Tehn., București, 1976.
27. Chalupa, A., Djubek, J., Skaloud, M., - Stability Problems in the New Edition of Czechoslovak Design Specifications for Steel Structures. Proc. of the Reg. Col. on the Stability of Steel Structures, Budapest, 1977.
28. Cicin, P., - Die Fischbauchklappe und verwandte Wehrsysteme. Der Bauingenieur Heft 10, 11 Oct. und Nov. 1958.
29. Coan, M., - Large Deflection Theory of Plates with Small Initial Curvatures in Edge Compression, ASME, J. of Struct. Div. vol. 18, 1951.
30. Cuteanu, E., Marinov, R., - Metoda elementelor finite în proiectarea structurilor. Ed. Facla, Timișoara, 1980.
31. Cuteanu, E., Dubină, D., ș.a. - Algoritmi și sisteme pentru proiectarea pe minicalculatoare a structurilor metalice. I.C.C.P.L.C. - Fil. Timișoara, contract nr. 3138/85, 1985.
32. Cuteanu, E., Dubină, D., ș.a. - Sistem de proiectare asistată de calculator pentru construcții metalice. I.C.C.P.L.C. - Fil. Timișoara, contract 1871/1986.
33. Damkilde, L., - Beregning of Plader of Elastisk-Plastisk Materiale ved Hjælp of Element metoden s. 186, Dept. of Struct. Eng. Techn. Univ. of Denmark, Lyngby, 1984.
34. Damkilde, L., - Stability of Plates of Elastic-Plastic Material. R. 187, Dept. of Struct. Eng. Techn. Univ. of Denmark, Lyngby, 1984.
35. Dawson, R., G., Walker, A., C., - Postbuckling of Geometrically Imperfect Plates. J. of Struct. Div., ASCE, vol. 96, No. 1, Jan., 1972.
36. Débardes, D., - Méthodes Fonctionnelles et variationnelles. Evolution en théories modernes en élasticité et plasticité. Ed. du bâtiment et des Travaux Publics, Paris, 1979.

37. De Wolf, V., T., Peköz, T., Winter, G., - Local and Overall Buckling of Cold-Formed Members. J. of Struct. Div., ASCE, vol.105, No.ST 10, Oct., 1979.
38. Dehouse, N.M - Les bordages raidis en construction hydraulique. Memoire n° 1- Nouvelles série C.E.R.E.S. Univ. de Liège, 1962.
39. Dehouse, N., M., Deprez, J. - Le bordages orthotropes plans. Calcul d'une porte plane d'écluse. Mémoire n° 22 - Nouvelle série C.E.R.E.S. Univ. de Liège, 1968.
40. Deprez, J., - Le dimensionnement optimum des bordages raidis plans. Applications au calcul d'une porte d'écluse. Public. de la Fac. des Sc. Appliquées de L'univ. de Liège, Nr.13, 1969.
41. Demidovitch, B., Maron, I., - Éléments des calcul numérique. Ed. MIR, Moscou, 1979.
42. Desai, C., S., Abel, F., J., - Introduction to the Finite Element Method. V.N.R., New-York, 1972.
43. Desmond, P., T., Peköz, T., Winter, G. Edge-Stiffeners for Thin-Walled Members. J. of Struct. Div., ASCE, vol.107, No.ST 2, Feb., 1981.
44. Desmond, P., T., Peköz, T., Winter, G., - Intermediate Stiffeners for Thin-Walled Members. J. of Struct. Div., ASCE, vol.107, No ST 4, April, 1981.
45. Dhatt, G., Touzot, G., - The Finite Element Method - Displacement. John Wiley. Chichester, New-York, Toronto, 1984.
46. Dincă, G., - Metode Variatională și aplicații. Ed. Tehn., București, 1980.
47. Dold, A., Eckmann, J., (editors) - Appl. of Methods of Functional Analysis to Problems in Mechanics, Joint. Symp. IUTAN/IMU, Marseille, Sept. 1-6, 1975. Lecture Notes in Mathematics, 503, Springer Verlag, 1976.
48. Dorn, W., S., Mc Craken, D., E., - Metode numerice cu programe în FORTRAN. (tral. din L. engl.). Ed. Tehn., București, 1976.
49. Dubas, P., Voilement des barres et des plaques. 3-ème Coll. Int. "Stabilité des Structures métalliques", Paris, 16-17 nov. 1983.
50. Dubină, D., Stoian, V., Dogariu, E., - Generalizări matematice în mecanica structurilor. Ses. Interjud. de ref. și com. St., Baia Mare 1979. Bul. St., Baia Mare, 1980.
51. Dubină, D., Dogariu, E., - Considerații privind calculul plăcilor plane subțiri încărcate cu acțiuni concentrate și distribuite liniar. Ses. interjud. de ref. și com. St. Baia Mare 1979. Bul. St., Baia Mare, 1980.
52. Dubină, D., Ivan, M., Stoian, V., - Spațial Analysis of Steel Gates with Cylindrical or Prismatic Planking IASS Int. Congr. "Theor. and Exp. Investig. of Spațial Struct., Appl. of Shells in Eng. Struct.": Moscow, 23-28 sept., 1985.
53. Dubină, D., Eleg, P., Bran, C., - Program de calcul pentru verificarea la stabilitate a barelor cu pereți subțiri solicitate la compresie cu încovoiere. SMIC-IV, Sibiu, 1984.
54. Dubină, D., Caraba, I., - Modern Methods of Steel Gate Analysis. Bul. St. tehn., I.P. "Traian Vuia" Timișoara, serie constr. tom. 30(44), Timișoara, 1985.

55. Dubinǎ, D., - Calculul platelajelor cilindrice și prismatice ale stăvililor metalice. Simp. naț. "Structuri spațiale - teorie și practică", Cluj-Napoca, 15-18 mai 1985.
56. Dubinǎ, D., - Formularea problemelor din mecanica structurilor în cadrul teoriei reziduurilor medii ponderate. A 4-a Conf. de constr. metalice, Timișoara, 11-13 oct., 1985, vol.2.
57. Dubinǎ, D., - Spatial Analysis of Steel Gates. 4-th Conf. on Steel Struct., Timișoara, 11-13 oct. 1985, vol.2.
58. Dubinǎ, D., - Influența imperfecțiunilor geometrice în calculul lățimii echivalente a barelor cu pereți subțiri. A 4-a Conf. de constr. metalice, Timișoara, 11-13 oct. 1985, vol.1.
59. Dubinǎ, D., Fleșeriu, E., - Determinarea caracteristicilor geometrice ale secțiunii transversale în analiza post-critică a barelor cu pereți subțiri formate la rece. A 4-a Conf. de constr. Metalice, Timișoara, 11-13 oct. 1985, vol.1.
60. Dubinǎ, D., - Considerații privind stabilitatea locală a barelor cu pereți subțiri formate la rece. Acad. R.S.R. Baza de cerc. Timișoara, Comisia de stabilitatea Struct. din oțel Timișoara 4 aprilie, 1985.
61. Dubinǎ, D., - Avantajele utilizării algoritmilor cu blocuri funcționale pentru realizarea programelor de calcul complexe bazate pe tehnica elementelor finite. A 3-a Conf. Naț. de Cibernetică, București, 3-4 oct., 1985.
62. Dubinǎ, D., Ivan, M., - Proiectarea asistată de calculator a structurilor de rezistență pentru construcții de mare complexitate. A 3-a Conf. Naț. de Cibernetică, București, 3-4 oct. 1985.
63. Dubinǎ, D., Caraba, I., Munteanu, I., Botici, A. - Aplicarea metodei elementelor finite la proiectarea unei palete metalice pentru rotoarele aeroelectrice cu ax orizontal cu de 20 m. A 4-a Conf. de constr. metalice, Timișoara, 11-13 oct., 1985, vol.2.
64. Dubinǎ, D., - On the Stability of Thin-walled Members subjected to Centric Compression and Bending Compression. STABAS Computer Program. Proc. of Reg. Coll. 1986, "Stability of Steel Structures", Budapest, Hungary, Sept. 25-26, 1986.
65. Dubinǎ, D., Fleșeriu, E., - Equivalent Geometric Characteristics in Stability Analysis of the Thin-walled Cold-formed Members. Proc. of Reg. Coll. 1986 "Stability of Steel Structures", Budapest, Hungary, Sept. 25-26, 1986.
66. Dubinǎ, D., - STABAS - Computer Program for the Stability Analysis of Thin-walled Members. 3-rd Int. Conf. "Computational Methods and Exp. Measurement", Porto Carras, Greece, 2-5 Sept., 1985.
67. Dubinǎ, D., - Finite Element Analysis of Steel Gates. Proc. of Int. Conf. "Steel Structures - Recent Research Advances", Budva, Yugoslavia, Sept. 1, 1986.

68. Dubină, D., - Formularea generalizată a metodei elementului finit. St.Cerc.Mec.Aplicată. Acad.R.S.R. Tom.45, Nr.4. 1986.
69. Dubină, D., - Analiza instabilității barelor cu pereți subțiri cu ajutorul programului STARS 02.SNIC V, Sibiu, 1986.
70. Dubină, D., Bran, O., - ASEP - Programe de calcul modularizat pentru analiza structurilor cu elemente finite. SNIC V, Sibiu, 1986.
71. Dubină, D., Ivan, M., Ciocîrlie, H., Algoritm și program de calcul pentru rezolvarea problemelor plane din mecanica structurilor cu metoda elementelor de contur. SNIC V, Sibiu, 1986.
72. Dubină, D., Considerații privind formularea teoriei neliniare a barelor cu pereți subțiri. Acad.R.S.R., Baza de cerc. Timișoara, Comisia de stabilitatea structurilor din oțel. Timișoara 4 iunie 1986.
73. Dubină, D., Iosip, M., Caraba, I. - Metode de calcul simplificate pentru analiza cu elemente finite a structurilor de mare complexitate. SNIC V, Sibiu, 1986.
74. Dubină, D., Fleșeriu, E., - Theoretical and Experimental Investigation Concerning the Determinations of the Geometric Characteristics of Thin-Walled Cold-Formed Compressed Members in Post-Buckling Range. Al.IV-lea Simpoz. de tenzometrie, Brașov, 24-27 sept.1986.
75. Dubină, D., Dogariu, R., - Voalarea pereților componentii și profilelor formate la rece, capitolul III în " Probleme speciale de instabilitate în structurile de oțel obișnuite și ușoare. Cercetări teoretice și experimentale privitoare la flambajul prin încovoiere - răsucire al profilelor formate la rece, în starea postvoalată a pereților subțiri" ICCPDC-Fil.Timișoara, contract nr.169/1980, Lista CNSF nr.104 poz.plan 3.VI.23.b. Faza 1, 1980 - Problema supraunerii flambajului prin încovoiere-răsucire cu voalarea pereților ; Faza 2, 1981-Studiu și recomandări pentru proiectare.
76. Dubină, D., - Proiectarea asistată de calculator a structurilor metalice pentru construcții energetice. T.A.G.E. București, Nr.6994/ 11.10.1984, contract C.U.A.S.C. : C.U.Timișoara.
77. Dubină, D., - Calculul de rezistență și stabilitate al structurilor metalice pentru construcții energetice. T.A.G.E. București, Nr.15784/19.12.1984, contract C.U.A.S.C. C.U. Timișoara.
78. Dubină, D., - Sisteme de calcul automat al structurilor. T.A.G.E. București, Nr.1497/7, 03.1985, contract C.U.A.S.C. C.U. Timișoara.
79. Edlund, B., - Axial Strength and Stiffness of Thin-Walled Plates and Sections. 3-ème Coll.Int." Stabilité des structures metalliques", Paris, 16-17 nov.1983.
80. Epstein, M., Murray, D., V. - Three-Dimensional Large Deformation Analysis of Thin-Walled Beams. Int.J.of Solids and Struct., Vol 12, No.12, Dec.1976.

81. Epstein, A., Nixon, D., Murray, D., V., - Large Displacements Inelastic Analysis of Beam-Columns. J. of the Struct. Div., ASCE, vol. 104, ST5, May 1978.
82. Foray, M., J., - Calculul variațional în știință și tehnică (trad. din l. engleză). Ed. tehn., București, 1975.
83. Fleşeriu, E., Dubină, D., Dogariu, E. - Problems of Local Buckling Analysis of Thin-walled Cold-rolled Open Sections. 3-rd Int. Coll. on Stability. Proc. of the First Session, Timișoara, 16 th oct., 1982.
84. Fleşeriu, E., Dubină, D., Dogariu, E., - Etudes theoriques et experimentales sur Stabilité locale des barres a parois minces avec profil ouvert. 3-ème Coll. Int. "Stabilité des structures métalliques"., Paris 10-17 nov. Rap. préliminaire.
85. Fleşeriu, E., Dubină, D., Dogariu, E., - Etudes theoriques et experimentales concernant l'influence de la souplesse des parois sur le flambement par flexion-torsion dans l'état post-voulté des parois, au barres avec profil ouvert monosymétrique, formée a froid. Al III-lea Simp. Naț. de Tensometrie, 28 sept. 1-oct. 1983 Timișoara.
86. Fleşeriu, E., Dubină, D., Dogariu, E., Bulzesc, N., - Program experimental pour l'étude électrotensionométrique des barres élan-sées a parois minces, formées a froid, avec profil ouvert monosymétrique sollicitées a la compression centrique et excentrique. Al III-lea Simp. Naț. de Tensometrie, 28 sept. 1 oct., 1983 Timișoara.
87. Fleşeriu, E., Dubină, D., Generalized Theory in the Stability Analysis of the Thin-walled Beams subjected to Shear, Bending and Torsion. Proc. of the Reg. Coll. 1986 "Stability of Steel Structures", Budapest, Hungary, sept. 24-25, 1986.
88. Fleşeriu, E., Dubină, D. - Experimental Investigations concerning the Thin-walled Cold-Formed Bars subjected to Centric and Excentric Compression. Proc. of the Reg. Coll. 1986 "Stability of Steel Structures", Budapest, Hungary, Sept. 25-26, 1986.
89. Fleşeriu, E., Dubină, D., - Experimental Research concerning the Post-Buckling Behaviour of the Slender Thin-walled Cold-Formed Members. Al IV-lea Simp. Naț. de Tensometrie. 30 sep 21-27 sept. 1986.
90. Fleşeriu, E., Munteanu, I., - Considerations on Flexural-torsional Buckling superposed to Local wall buckling of Cold-Formed Thin-walled sections. 3-rd Int. Coll. on Stability. Proc. of the First. Ses., Timișoara, 16 th, oct. 1982.
91. Fleşeriu, E., - Experimental Investigations on the flexural-torsional Buckling of Cold-rolled sections with buckled Twin-Walls. 3-rd Int. Coll. on Stability Proc. of the First. Ses. Timișoara 16 th 1982.
92. Fleşeriu, E. - Contributions à la formulations d'une théorie généralisée de la stabilité et l'équilibre des poutres à parois minces avec profil ouvert, sollicitées par la flexion avec cisaillement et torsion. 12-th Yugoslav. Congr. of National and Appl. Mechanics, Beograd, 1975.
93. Galambos, V., T. - A World View of Beam Stability Research and Design Practice. 3-rd Int. Coll. Stab. of Metal Struct., George Winter Mem. Ses., Toronto, May 1983.

94. Gashon, H., Galen, Y., Stabilité des structures. Prise en compte des effets des imperfections dans les barres. *Constructions Metallique*, n° 4, 1977.
95. Ghobarah, A., A., Tso, W., K. - A Non-linear Thin-Walled Open Theory. *Int J. of Mec. Science*, Vol. 13, No. 12, Dec. 1971.
96. Ghobarah, A., A., Tso, W., K., - Overall and Local Buckling of Channel Columns, *J. of the Eng. Mech. Div., ASCE*, Vol. 95, ST 2, Avril. 1969.
97. Gioncu, V., - New Conceptions, Trends and Perspectives in the Theory of Postcritical Behaviour of Structures. 3-rd Int. Coll. on Stability, Proc. of the First. Ses., Timișoara, 16 th, 1982.
98. Gioncu, V., Fleșeriu, E., Munteanu, I. Recherches théoriques concernant la superposition du flambage par flexion-torsion avec voilement des parois minces. 3-eme Coll. Int. sur la "Stabilité de Strud. Metalliques", Paris, nov. 1983.
99. Gioncu, V., Ivan, M. - Interaction between Flexural Buckling and Torsional-Flexural Buckling in Thin-Walled Compression Members. IUTAM Symposium, Londra, aug. 1982.
100. Gioncu, V., Ivan, M., - Instabilitatea structurilor din plăci curbe subțiri. Ed. Acad. R. S. R., București, 1978.
101. Gioncu, V., Ivan, M., - Bazele calculului structurilor la stabilitate. Ed. Facla, Timișoara, 1983.
102. Gioncu, V., Ivan, M., - Teoria comportării critice și postcritice a structurilor elastice. Ed. Acad. R. S. R., București, 1984.
103. Gorbacev, P., K., - Metod Konecinih elementov v rascetax nrocinosti. Sudostroenie, Leningrad, 1985.
104. Graves Smith, T., - The Post-Buckled Strength of Thin-walled Columns, Fin. Rep. of the 9 th Congress, Int. Assoc for Bridge and Struct. Eng., New-York, 1968.
105. Grimaldi, A., Pignataro, M., - Post-Buckling Behaviour of Thin-Walled Open Cross-section Compression Members. *J. of Struct. Mec.* vol. 7, No. 2, Avril, 1979.
106. Gruber, E., Das formtreue prismatische Kaltwerk. *Die Bautechnik*. Heft 1, Jan, 1955, und Heft 2, Febr. 1955.
107. Halász, O., Ivany, M. Stability Problems in Hungarian specifications and Recommendations for Steel Structures, Proc. of the Reg. Coll. on the Stability of Steel Struct. Budapest, 1977.
108. Heins, P., C., Humphreys, S., R., - Bending and Torsion Interactions of Box Girders. *J. of the Struct. Div. ASCE*, Vol. 105, ST 5, May 1979.
109. Hertel, H., - *Leichtbau*. Springer-Verlag, Berlin, 1965.
110. Huebner, H., K., - *The Finite Element Method for Engineers*. John Wiley New-York, 1975.
111. Iffland, J., S., B. Folded Plate Structures. *J. of the Struct. Div., ASCE* vol. 105, ST 1, Jan, 1979.
112. Irons, B., Ahmad, S., - *Techniques of Finite Elements*. Ellis Horwood Limited, Chichester, 1980.
113. Ivan, M., Dubină, D., Dorariu, S., - Considerații privind formularea metodei elementului finit pentru calculul structurilor su-

- puse la actiuni dinamice. Bul. St. tehn. I.P. "Traian Vuia" Seria constructii, tom. 26(40), fasc. 1, Timișoara, 1980.
114. Ivan, M., Dubină, D., - The Mathematical Model in Structural Mechanics. Bul. St. tehn. I.P. "Traian Vuia", seria Constructiilor, tom. 29(43), Timișoara, 1984.
115. Ivan, M., Dubină, D., - The definition of the Mathematical Theory of Structures. A 4-a Conf. de constr. Met., Vol. 0, Timișoara, 11-13 oct., 1985.
116. Ivan, M., Dubină, D., Edelin, E., - Berechnung einer Bogenstaumauer anhand der Methode des Finiten Elements. Bul. St. tehn. I.P. "Traian Vuia", seria Constructiilor, tom. 30(44), Timișoara, 1985.
117. Ivan, M., Dubină, D., Ciocîrlie, H., Application of the Boundary Element Method to Plane Problems in the Theory of Elasticity. Bul. St. tehn., I.P. "Traian Vuia", seria Constructiilor, tom. 31(45), Timișoara, 1986.
118. Ivan, M., Bazele calculului structurilor în domeniul elastic. Ed. Facla, Timișoara, 1985.
119. Ivan, M., - Contribuții la calculul spațial al conductelor metalice circulare. Tez. de doctorat, I.P. "Traian Vuia", Timișoara, 1970.
120. Kalyanaraman, V., Peköz, T. Analytical Study of Unstiffened Elements. J. of the Struct. Div., ASCE, vol. 104, ST. 9, sept. 1978.
121. Kalyanaraman, V., - Local Buckling of Cold-Formed Steel Members. J. of the Struct. Div. ASCE, vol. 105, St. 5, may, 1979.
122. Klöppel, K., Bilstein, V., - Ein verfahren zur Ermittlung der Beullasten beliebiger, rechtwinklig abgekanteter offener und geschlossener Profile nach der Linearen Beultheorie unter Verwendung eines abgewandelten Beultheoriesverfahrens. Veröff. des Inst. für Statik und Stahlbau, Techn. Hochsch. Darmstadt, Heft 16, 1971.
123. Klöppel, K., Unger, J., - Ein Beitrag zur Ermittlung der Tragfähigkeit dünnwandiger offener Profile aus Kaltgeformtem Stahl bei Berücksichtigung des Zusammenwirkens von Knicken, Drillen und Elementbeulen einschließlich der Berücksichtigung des Überkritischen Beulverhaltens. Veröff. des Inst. für Statik und Stahlbau, Techn. Hochsch. Darmstadt, Heft 15, 1971.
124. Koiter, W. T., - General theory of shell stability. In "Thin-Shell Theory, New-trends and applications", CISM courses and lectures nr. 240, Springer Verlag, 1980.
125. Koiter, W. T., - General Theory of Mode Interaction in Stiffened Plate and Shell Structures. Dept. of Mech. Eng. Delft Univ. of Tech. WTHD sept, 1976.
126. Koiter, W. T., - The Applications of the Initial-Post-Buckling Analysis to Shells, in/ "Buckling of Shells" Proc. of a State of the Art. Coll. Univ. Stuttgart, Germany, May, 6-7, 1982.
127. Kollár, L., Dalácska, E., - Buckling of Shells for Engineers, Akadémiai Kiadó, Budapest, 1984.
128. Kollbrunner, C., F. Meister, K., - Knicken. Springer-Verlag, Berlin, 1961.

129. Kollbrunner, C., F., Haydin, N., - Beitrag zur Berechnung von Stauwehrklappen, Zürich, 1961.
130. Kragerup, J., - Buckling of Rectangular Unstiffened Steel Plates in Compression. R. 161, Dept. of Struct. Eng. Tech. Univ. of Denmark, Lyngby, 1984.
131. Kratzig, W., B., Basar, Y., Wittek, U., - Nonlinear Behaviour and Elastic Stability of Shells- Theoretical Concepts - Numerical Computations-Results, in "Buckling of Shells", Proc. of a State-of-the-Art. Coll. Univ. Stuttgart, Germany, May. 6-7 1982.
132. Manko, Z., - Statistische Analyse von Stahlforbahlplatten. Der Stahlbau, Heft. 6, 1979.
133. Marciuc, G., I., - Metode de analiză numerică. Ed. Acas. R.S.R., București, 1983.
134. Marciuc, G., I., Saidurov, V., V., - Creșterea preciziei soluțiilor în scheme cu diferențe finite. Ed. Acad. R.S.R., București, 1981.
135. Martin, G., H., Carey, F., G. - Introduction to Finite Element Analysis. Mc. Graw-Hill Comp., New-York, 1973.
136. Maquoi, R., Massonnet, C., - Une évaluation simple de la largeur efficace due au traînage de cisaillement Construction métallique, nr. 2, 1982.
137. Massonnet, C., Dezrez, J., Maquoi, R., Muller, R., Ponder, J., - Calculul structurilor la calculatoare electronice (trad. din L. franceză) Ed. Tehn., București, 1974.
138. Mateescu, D., Dubină, D., Mateescu, G., - Optimisation de la section en forme de T d'une barre biarticulée soumise en compression centrée. 3-ème Coll. Int. "Stabilité des structures métalliques", Paris, 16-17 nov. 1983.
139. Mateescu, D., Dubină, D., Considerations on the Instability of T-Section Steel Members under Centric and Eccentric Compression. 3-rd Int. Coll. on Stability. Proc. of the First. Ses., Timișoara, 16 oct. 1982.
140. Mateescu, D., Appeltauer, I., Căteanu, E., - Stabilitatea la compresiune a structurilor din bare de oțel. Ed. Acad. R.S.R., București, 1980.
141. Mateescu, D., Caraba, I., - Construcții metalice. Calculul și proiectarea elementelor din oțel. Ed. tehn., București, 1980.
142. Mateescu, D., Ivan, M., - Conducte metalice circulare cu diametru mare. Ed. tehn., București, 1985.
143. Mazilu, P., Șburlan, F., S., - Metode funcționale în rezolvarea ecuațiilor teoriei elasticității Ed. Acad. R.S.R., București, 1973.
144. Mazilu, P., Topa, M., Ieremia, M., - Teoria și calculul plăcilor ortotrope, Ed. tehn., București, 1983.
145. Mărmureanu, Gh. Rezistența postcritică. Ed. Acad. R.S.R., București, 1985.
146. Mikkola, J., K., Paavola, J. Finite Element Analysis of Box Girders. J. of the Struct. Div., ASCE Vol. 106, No. 6 June. 1980.

147. Moheit, W., - Zur Ermittlung der Lagerkräfte verschiedener Ver-
schlüsse des Stahlwasserbaues. Der Stahlbau, Heft 3,
1960.
148. Munteanu, I.; Structuri pentru construcții. Ed. Acad. R.S.R.,
București, 1984.
149. Munteanu, I., Caraba, I., Botici, A., Dubinț, D., - Studii și pro-
iect de execuție pentru paletele aerogeneratoarelor cu
diametrul de 20 și 30 m. Contract CNST 143/1983.
150. Murray, D., W., - Technique for Formulating Beam Equations. J. of
the Eng. Mech. Div., ASME, vol. 101, EM5, oct. 1979.
151. Narayaman, R., Chow, Y., P., - Effective widths of Plates Loaded
Uniaxially. Thin-Walled Structures. Vol. 1, No. 2, 1983.
152. Norrie, H., K., de Vries, G., - The Finite Element Method for Engi-
neers. Academic Press: New-York, 1973.
153. Oden, J., T., - Finite Elements of Nonlinear continua. Mc. Graw-
Hill, New-York, 1972.
154. Oden, J., T. (editor), - Computational Methods in Nonlinear Me-
chanics. Proc. of the TICOM sec. Int. Conf. "Austin, Tex-
as, March 26-29, 1979.
155. Oden, J., T. Oliverra, E., R., A. (editors), - Lectures on Finite
Element Methods in Continuum Mechanics. Un. of Alaba-
ma in Huntsville Press, 1973.
156. Oliveira, E., R., A. Results on the Convergence of the finite el-
ement Method in Structural and Non-Structural Cases,
Proc. on the Conf. on Finite Element Methods in Engi-
neering, Sydney, 1974.
157. Oliveira, E., R., A., - A Theory of Variational Methods with Appli-
cations to Finite Elements, I.T.A., Lisbon, 1977.
158. Parton, V., Perline, P. Méthodes de la théorie mathématique de l'é-
lasticité, Ed. MIR, Moscou, 1984.
159. Pascariu, I., - Elemente finite. Concepte și aplicații. Ed. mili-
tară, București, 1985.
160. Pavel, A., - Elastostabilitatea recipientelor cilindrice. Ed. A-
cad. R.S.R., București, 1983.
161. Pedersen, C., - Stability Properties and Non-Linear Behaviour of
Thin-Walled Elastic Beams of Open Cross-Sections. Part.
1, Basic Analysis, R.149, Dept. of Struct. Eng., Techn.
Univ. of Denmark, Lyngby, 1982.
162. Pedersen, C., - Stability Properties and Non-Linear Behaviour of
Thin-Walled Elastic Beams of Open Cross-Sections. Part.
2, Numerical Examples, R.150, Dept. of Struct. Eng., Techn.
Univ. of Denmark, Lyngby, 1982.
163. Peköz, T., Recent Cold-Formed Steel Research and Design Specifi-
cation Activities in North America. 3- rd Int. Conf. Sta-
bility on Metal Structures. "George Winter Mem. Des.",
Toronto, May 1983.
164. Peters, K., - Untersuchung des Kräfteverlaufs an torsionsteifen
Stabklappen Dacordis. Tech. Versh. Karlsruhe, 1952.
165. Petrescu, I., - Contribuții privind utilizarea calculatoarelor
electronice în calculul spațial al structurilor de rez-
istență ale nodurilor. Teză de doct. I.C.S., București,
1984.

166. Petri, R., - Die Berechnung von Rotationsschalen und prismatischen Schalen beliebiger Querschnittsform für allgemeine Belastung. D.I. Dissertation, Tech. Hochsch. Konstanz, 1968.
167. Pfeiffer, I., - Ein Berechnungsverfahren für rotationsymmetrische orthotrope Kreiszyylinder-Schalen im Stahlbau. D.I. Dissertation. Univ. Karlsruhe, 1981.
168. Pilat, F., Dumitrache, V., Dumitrache, V., - Metode, tehnici și instrumente în ingineria programării. Ed. tehn., București, 1985.
169. Portella, A., - Boundary Solutions for the Linear Theory of Structures and Work Theorem. Revue Roumaine de Sc. Techn. Ser. I. Dec. Mée. Applique Tome 28. Nr. 1., 1983.
170. Press, H., - Stauanlagen und Wasserkraftwerke. Heft. 2, Veb. Verlag, Berlin, 1959.
171. Prodanov, K., - Effective width Formulas Plates in Compression and Bending. 7-th Int. Sc. Techn. Conf. on Metal Structures, Vol. No. 1, Gdansk 23-25 May 1984, Poland.
172. Priscu, R., - Construcții hidrotehnice, Ed. did. pedagog., București, 1982.
173. Radulovic, B., - Einfluss aus der Torsionsteifigkeit der Aussteifungen zur Stabilität einer Rechteckplatte, die einer in beiden Richtungen über die Plattenebene linear veränderlichen Last unterworfen ist. (Lineare Baultheorie) Der Stahlbau, Heft. 7, 1978.
174. Răduică, N., Soare, M., Stenatio, L., - Calculul stăvililor cu suprafețe curbe prin teoria plăcilor subțiri ortotrope. A-3-a Conf. de constr. metalice, Timișoara, 14-16 Oct. 1982.
175. Răduică, N., - Calculul stăvililor cu suprafața curbă, ținand seama de conlucrarea elementelor componente. Teză de doct., I.C.D., București, 1982.
176. Reis, A., J., Roorda, J., - The Interaction between Lateral-Torsional and Local Plate Buckling in Thin-Walled Beams. Int. Coll. on Stability of Steel Struct., Meeze, 13-15 April 1977, Preh. Rep.
177. Rhodes, J., Harvey, J., M., Examination of Plate Post-Buckling Behaviour. J. of the Eng. Mech. Div., ASCE, EM 3, June, 1977.
178. Rockey, K. O., Evans, H. D., Griffith, D. W., Nethercot, D., A., - The Finite Element Method. Ser. ed., Granada Publishing, London, Toronto, New-York, 1983.
179. Saharov, A., C., Attenbah, I., - Metodele rezoluției elementelor în mecanica tverdih tel. Kiev. Leipzig-VEB, 1982.
180. Sandi, H., - Metode matriceale în mecanica structurilor. Ed. tehn., București, 1976.
181. Scarlat, A., - Stabilitatea structurilor. Probleme speciale, Ed. tehn. București, 1969.
182. Schapitz, E., - Festigkeitslehre für den Leichtbau. VDI. Verlag, Düsseldorf, 1963.
183. Schiop, I., A., - Analiza unor metode de discretizare. Ed. Acad. R. S. R., București, 1978.

184. Smitses, J., G., - An Introduction to the Elastic Stability of Structures. Prentice-Hall, New-Jersey, 1976.
185. Soare, M., - Aplicarea ecuațiilor cu diferențe finite la calculul plăcilor curbe subțiri. Analele I.R.S.R., București, 1968.
186. Strang, G., Fix, G. J., - An Analysis of the Finite Element Method. Prentice-Hall Inc., Englewood Cliffs, New Jersey, 1973.
187. Tanaka, M., Iwata, Y., - Boundary element investigations of two-dimensional elastostatic problems. Rev. Roum. des Sc. Tehn., Serie de Mec. appl. tome 27, No 3, 1982.
188. Teodorescu, P., P., Ilie, V., - Teoria elasticității și introducerea în mecanica solidelor deformabile. Vol. 1, ediția, Cluj-Napoca, 1976.
189. Thomasson, P., O. Recent Cold-Formed Steel Research and Design Specifications Activities in Europe. 3-rd Int. Coll. Stability of Met. Struct., George Winter Man, Sea., Toronto, May 1983.
190. Thompson, J. M., T. Hunt, G., W., - A General Theory of Elastic Stability, John Wiley, London, 1973.
191. Timoshenko, S., P., Gere, J., M., - Teoria stabilității elastice. Ed. tehn., București, 1967.
192. Timoshenko, S., P., Woinowsky - Krieger, S., - Teoria plăcilor plane și curbe. Ed. tehn., București, 1968.
193. Timoshenko, S., P., Goodier, N., J. Teoria uprugosti. Izdatelstvo Nauka, Moskva, 1975.
194. Vasiliev, G., V. Torsiunea structurilor elastice cu pereți subțiri. Ed. Acad., București, 1970.
195. Vlasov, V., Z., - Tonkostennîe uprughie sterjini. Gosud. Izdat. Lat. Lit., Moskov, 1959.
196. Volmir, A., S. Ghibnîe plastinki i obolociki- Gosud. Izdat. Teor. Lit., Moskva, 1956.
197. Wang, P., C. Metode numerice și matriceale în mecanica construcțiilor. Ed. tehn., București, 1970.
198. Wikert, G., Schmauser, G., - Stahlwasserbau. Springer-Verlag, Berlin, 1971.
199. Wunderlick, V., Stein, E., Bathe, K., J., (editors) Nonlinear-Finite Element Analysis in Structural Mechanics. Proc. of the Europe-U.S. Workshop Ruhr-Univ. Bochum, Germany, July 28-31, 1980. Springer-Verlag, Berlin, Heidelberg, New-York, 1984.
200. Zoragno, T., A., L., - Contributo alla Studio della riserva di resistenza di lastre sottili in campo incrociato. Costruzioni metalliche, No 3, 4, 1975.
201. Zienkiewicz, C., C., - The Finite Element Method in Engineering Science. Mc.Graw-Hill, London, 1971.
202. Zurmühl, R., - Praktische Mathematik für Ingenieure und Physiker. Springer-Verlag, Berlin, 1961.
203. x x x E. C. C. S. Manual on the Stability of Steel Structures,

204. x x x E.C.C.S. European Recommendations for Steel Constructions. E.C.C.S., EG-77-1B, 1977.
205. x x x S.S.R.C - Guide to Stability Criteria for Metal Structures Structural Stability Research Council. 3-rd ed. John Wiley, New York, 1976.
206. x x x Voilement des Coques. Recommendations de la C.S.C.M., Construction metallique, No 4, 1981.
207. x x x Recommendations Européennes pour le calcul des plaques nervurées. C.E.C.M., Construction metallique, no 3, 1985.
208. x x x EUROCODE 3- 1984 - C.C.E. règles Unifiées Communes pour les constructions en acier.
209. x x x A.I.S.I., Cold Formed Steel Design Manual, 1983. Ed.
210. x x x Régles de calcul des constructions en éléments a parois minces en acier, Construction Metallique, Nr.4, 1978.
211. x x x N.B.M.B 51-00 1975, Norme Belge, Charpentes en acier.
212. x x x B.S. 449, British Standards Institution : Specification for the Use of Cold-Formed Steel Section in Building.
213. x x x SNIP II-23-81 Stroitelnie normi i pravila. Glava 23, Stroitelnie konstrukcii, Moskva, 1982.
214. x x x DIN 18800 Teil.2., StabilitätsfHle - Knicken von Stäben und Stabwerkwn, 1980.
215. x x x STAS 10106/2 -83 . Calculul elementelor din otel alcătuite din profile cu cereți subțiri forate la rece.
216. x x x STBK-N5. Swedish Code for Light-Gauge Metal Structures, Swedish Inst. of. Steel Constr., Publ. 75, Laren, 1982. Stockholm.